

COMMITTENTE:



DIREZIONE INVESTIMENTI
DIREZIONE PROGRAMMI INVESTIMENTI
DIRETTRICE SUD - PROGETTO ADRIATICA

DIREZIONE LAVORI:



APPALTATORE:

Mandataria

Mandanti



PROGETTAZIONE:

MANDATARIA

MANDANTI



PROGETTO ESECUTIVO

LINEA PESCARA - BARI
RADDOPPIO DELLA TRATTA FERROVIARIA TERMOLI - LESINA
LOTTI 2 e 3 - RADDOPPIO TERMOLI – RIPALTA

Opere d'arte maggiori – Ponti e Viadotti ferroviari

VI15 da km 22+780,80 a km 23+265,80

Relazione di calcolo Spalla S2

L'Appaltatore Ing. Gianguido Babini	A.A. D'AGOSTINO COSTRUZIONI GENERALI S.r.l. Il Direttore Tecnico (Ing. Gianguido Babini)	I progettisti (il Direttore della progettazione) Ing. Massimo Facchini
Data Dicembre 2022	firma	Data Dicembre 2022
		firma



COMMESSA	LOTTO	FASE	ENTE	TIPO DOC	OPERA / DISCIPLINA	PROGR	REV	SCALA
L I O B	0 2	E	Z Z	C L	V I 1 5 0 4	0 0 2	B	---

Rev.	Descrizione	Redatto	Data	Verificato	Data	Approvato	Data	Autorizzato/Data
A	Prima emissione	Marino	Dicembre 2022	Martignoni	Dicembre 2022	Rinaldi	Dicembre 2022	
B	Aggiornamento per RdV	Marino	07/06/23	Martignoni	08/06/23	Rinaldi	09/06/23	

MANDATARIA  CONSORZIO STABILE SOCIETÀ CONSORTILE A R.L.	MANDANTI 	LINEA PESCARA – BARI RADDOPPIO DELLA TRATTA FERROVIARIA TERMOLI-LESINA LOTTO 2 e 3 – RADDOPPIO TERMOLI - RIPALTA									
		VI15 da km 22+780,80 a km 23+265,80: Relazione di calcolo Spalla S2	COMMESSA LI0B	LOTTO 02	FASE E	ENTE ZZ	TIPO DOC CL	OPERA 7 DISCIPLINA VI 15 04			PROGR 002

INDICE

1.. PREMESSA	3
2.. DESCRIZIONE DELL'OPERA	4
2.1 Descrizione della spalla in esame	6
3.. DOCUMENTAZIONE DI RIFERIMENTO	8
3.1 Normativa di riferimento	8
3.2 Normativa tecnica nazionale	8
3.3 Manuali ITF	9
3.4 Bibliografia e altri riferimenti	9
4.. CARATTERISTICHE DEI MATERIALI	10
4.1 Calcestruzzo	10
4.2 Acciaio	11
4.3 Durabilità	12
5.. APPROCCIO DI CALCOLO.....	16
5.1 Caratteristiche delle opere.....	16
5.2 Criteri generali di verifica	16
5.3 Software di calcolo	23
5.4 Validazione programmi di calcolo	25
6.. CARATTERIZZAZIONE GEOTECNICA	26
6.1 Categoria di sottosuolo.....	26
6.2 Capacità portante dei pali e stratigrafia di progetto.....	26
7.. ANALISI DEI CARICHI	27
7.1 Azioni permanenti strutturali (G_1).....	27
7.2 Azioni permanenti non strutturali (G_2).....	27
7.3 Ritiro del calcestruzzo (ϵ_2)	29
7.4 Spinta del terreno (G_3).....	30
7.5 Azioni variabili verticali (Q)	33
7.6 Azioni Eccezionali (A).....	43
7.7 Azioni variabili orizzontali (Q)	48
7.8 Azione del vento (Q_6)	60
7.9 Azione sismica (e).....	65
7.10 Variazioni termiche (Q_7)	79
7.11 Attrito (Q_8)	79
7.12 Scarichi agli appoggi	80

MANDATARIA  	LINEA PESCARA – BARI RADDOPPIO DELLA TRATTA FERROVIARIA TERMOLI-LESINA LOTTO 2 e 3 – RADDOPPIO TERMOLI - RIPALTA										
	VI15 da km 22+780,80 a km 23+265,80: Relazione di calcolo Spalla S2	COMMESSA	LOTTO	FASE	ENTE	TIPO DOC	OPERA 7 DISCIPLINA			PROGR	REV
	LI0B	02	E	ZZ	CL	VI	15	04	002	B	2

8..	COMBINAZIONI DI CARICO	82
8.1	Combinazioni di carico adottate.....	83
9..	VERIFICHE DEGLI ELEMENTI STRUTTURALI.....	85
9.1	Elementi in cemento armato.....	85
10.	MODELLO DI CALCOLO	91
11.	ANALISI SPALLA MOBILE S2.....	92
11.1	Azione impalcanti.....	92
11.2	Sollecitazioni elevazione	98
11.3	Sollecitazioni in fondazione	106
11.4	Sollecitazioni muro paraghiaia.....	115
11.5	Sollecitazioni muro d'ala.....	119
11.6	Verifiche Muro Frontale	127
11.7	Verifiche plinto fondazione	139
11.8	Verifiche Muro Paraghiaia	149
11.9	Verifiche muro d'ala.....	155
12.	VERIFICHE LOCALI.....	168
12.1	Baggioli	168
12.2	Deformabilita' spalla	170
12.3	Ritegni.....	173
13.	RIEPILOGO INCIDENZE C.A.	175
14.	APPOGGI E GIUNTI.....	176
14.1	Appoggi.....	176
14.2	Escursione dei giunti	178

MANDATARIA 		MANDANTI 		LINEA PESCARA – BARI RADDOPPIO DELLA TRATTA FERROVIARIA TERMOLI-LESINA LOTTO 2 e 3 – RADDOPPIO TERMOLI - RIPALTA								
VI15 da km 22+780,80 a km 23+265,80: Relazione di calcolo Spalla S2		COMMESSA	LOTTO	FASE	ENTE	TIPO DOC	OPERA 7 DISCIPLINA			PROGR	REV	FOGLIO
		LI0B	02	E	ZZ	CL	VI	15	04	002	B	3

1. PREMESSA

Il presente documento viene emesso nell'ambito della redazione degli elaborati tecnici di progetto esecutivo del corpo stradale ferroviario, delle opere d'arte e delle opere interferite relative al raddoppio ferroviario della Linea Bari - Pescara nella tratta Termoli - Ripalta, per uno sviluppo complessivo di 24.930,52 km.

L'opera oggetto delle analisi riportate nei paragrafi seguenti rientra fra quelle inserite nella categoria denominata "OPERE PRINCIPALI – PONTI E VIADOTTI".

Quanto riportato di seguito consentirà di verificare che il dimensionamento delle strutture è stato effettuato nel rispetto dei requisiti di resistenza e deformabilità richiesti all'opera.

**VI15 da km 22+780,80 a km 23+265,80:
Relazione di calcolo Spalla S2**

COMMESSA	LOTTO	FASE	ENTE	TIPO DOC	OPERA 7 DISCIPLINA			PROGR	REV	FOGLIO
LI0B	02	E	ZZ	CL	VI	15	04	002	B	4

2. DESCRIZIONE DELL'OPERA

La presente relazione ha per oggetto l'analisi e la verifica della Spalla mobile denominata S02 che sostiene la campata in c.a.p. da 25 m del viadotto ferroviario denominato VI15, previsto tra le progressive chilometriche 22+780,80 a 23+265,80.

Il viadotto, avente lunghezza complessiva pari a circa 485m è a doppio binario composto da 19 campate in semplice appoggio di cui 1 in acciaio-calcestruzzo da 35m (campata n° 13) e le restanti 18 in C.A.P da 25 m costituite da quattro travi a cassoncino in c.a.p. preteso. La piattaforma ha una larghezza totale di 13.70 m ed ospita due binari posti ad interasse di 4.0 m.

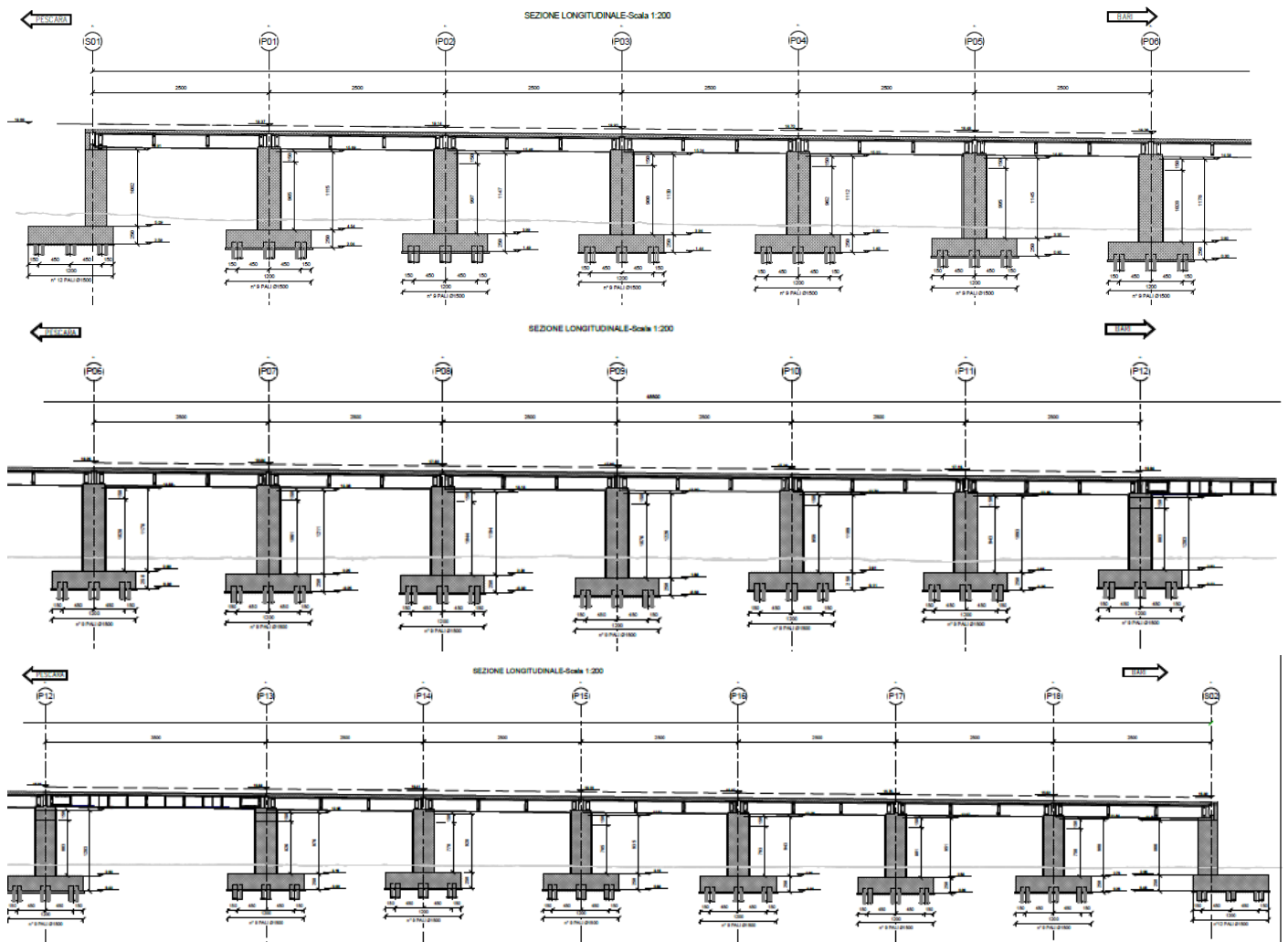


Figura 1 – Profilo longitudinale VI15

MANDATARIA HUB ENGINEERING <small>CONSORZIO STABILE SOCIETÀ CONSORTILE & S.R.L.</small>		MANDANTI HYpro S.P.A.		LINEA PESCARA – BARI RADDOPPIO DELLA TRATTA FERROVIARIA TERMOLI-LESINA LOTTO 2 e 3 – RADDOPPIO TERMOLI - RIPALTA										
VI15 da km 22+780,80 a km 23+265,80: Relazione di calcolo Spalla S2				COMMESSA	LOTTO	FASE	ENTE	TIPO DOC	OPERA 7 DISCIPLINA			PROGR	REV	FOGLIO
				LI0B	02	E	ZZ	CL	VI	15	04	002	B	5

Gli impalcati in c.a.p. sono costituiti da quattro cassoncini in c.a.p. preteso hanno altezza pari a 2.10 m ed interasse pari a 2.41 m. Al di sopra dei cassoncini viene realizzata una soletta in calcestruzzo gettata in opera avente spessore variabile da un minimo di 0.30 m ad un massimo di 0.40 m in asse impalcato.

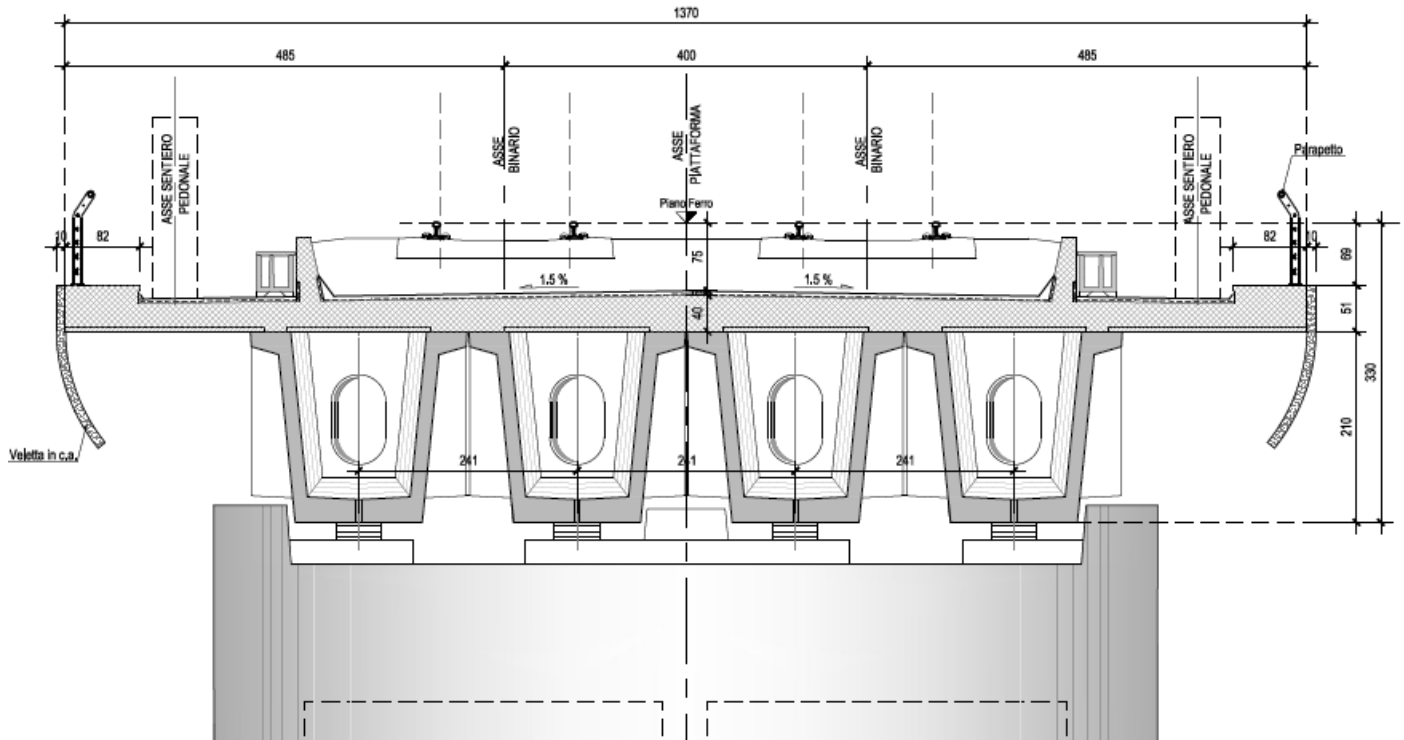


Figura 2 – Sezione trasversale impalcato da 25m

Nel presente documento si analizzano alcune delle sottostrutture del viadotto in esame.

OPERA				PILE			IMPALCATI							FONDAZIONE				
WBS	Pk iniz.	Pk fin.	L [m]	P	H [m]	Tipo	B.A.R.	R _{min}	SX	L [m]	Appoggi	DX	L [m]	Appoggi	Zona Sismica	Categoria Sottosuolo	D _{pali} [m]	n _{pali} [m]
							[-]	[m]										
VI15 - Palude-Capo d'Acqua	22777.6.0	23261.7	915.0	S01	5.50	Classica	-	2200	-	-	-	C.a.p.	25.0	FISSO	S4	B	1.5	12
				S02	5.00	Classica	-	2200	C.a.p.	25.0	MOBILE	-	-	-	S4	B	1.5	12

Tabella 1 – Sintesi delle spalle VI15

Oggetto del presente documento sono quindi le analisi e le verifiche delle spalle, in particolare della spalla S02, relativa all'impalcato in c.a.p.

**VI15 da km 22+780,80 a km 23+265,80:
Relazione di calcolo Spalla S2**

COMMESSA	LOTTO	FASE	ENTE	TIPO DOC	OPERA 7 DISCIPLINA			PROGR	REV	FOGLIO
LI0B	02	E	ZZ	CL	VI	15	04	002	B	7

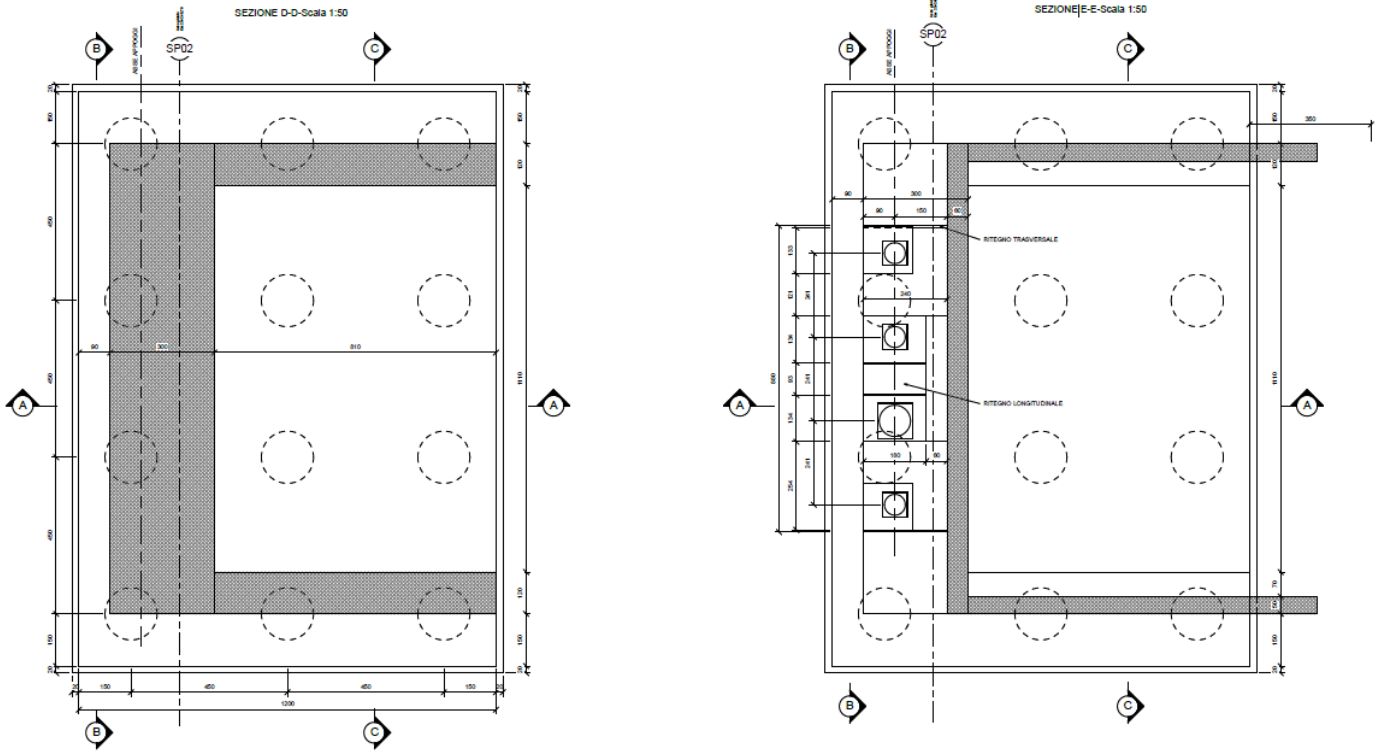


Figura 4 – Vista in pianta

MANDATARIA 		MANDANTI 		LINEA PESCARA – BARI RADDOPPIO DELLA TRATTA FERROVIARIA TERMOLI-LESINA LOTTO 2 e 3 – RADDOPPIO TERMOLI - RIPALTA										
VI15 da km 22+780,80 a km 23+265,80: Relazione di calcolo Spalla S2				COMMESSA	LOTTO	FASE	ENTE	TIPO DOC	OPERA 7 DISCIPLINA			PROGR	REV	FOGLIO
				LI0B	02	E	ZZ	CL	VI	15	04	002	B	8

3. DOCUMENTAZIONE DI RIFERIMENTO

3.1 NORMATIVA DI RIFERIMENTO

3.1.1 Specifiche tecniche interoperabilità ferroviarie

[1] Regolamento (UE) N.1299/2014 del 18 novembre 2014 della Commissione Europea. Relativo alle specifiche tecniche di interoperabilità per il sottosistema “infrastruttura” del sistema ferroviario dell’Unione Europea.

3.1.2 Materiali

[2] UNI 11104: 2016 – “Calcestruzzo: specificazione, prestazione, produzione e conformità”, Istruzioni complementari per l’applicazione delle EN 206”;

[3] UNI EN 206: 2014 – “Calcestruzzo: Specificazione, prestazione, produzione e conformità”;

3.1.3 Costruzioni in c.a. e acciaio

Eurocodice 1 - “Azioni sulle strutture”

[4] UNI EN 1991-1-4:2010 – “Parte 1-4: Azioni in generale - Azioni del vento”;

[5] UNI EN 1991-1-5:2004 – “Parte 1-5: Azioni in generale - Azioni termiche”;

[6] UNI EN 1991-1-7:2014 – “Parte 1-7: Azioni in generale - Azioni eccezionali”;

[7] UNI EN 1991-2:2005 – “Parte 2: Carichi da traffico sui ponti”;

Eurocodice 2 - “Progettazione delle strutture in calcestruzzo”

[8] UNI EN 1992-1-1:2015 – “Parte 1-1: Regole generali e regole per gli edifici”;

[9] UNI EN 1992-2:2006 – “Parte 2: Ponti di calcestruzzo - Progettazione e dettagli costruttivi”;

Eurocodice 3 - “Progettazione delle strutture in acciaio”

[10] UNI EN 1993-1-1:2014 – “Parte 1-1: Regole generali e regole per gli edifici”;

[11] UNI EN 1993-1-3:2007 – “Parte 1-3: Regole generali - Regole supplementari per l’impiego dei profilati e delle lamiere sottili piegati a freddo”;

3.2 NORMATIVA TECNICA NAZIONALE

[12] Legge 5 Novembre 1971 n°1086 – “Norme per la disciplina delle opere in calcestruzzo cementizio, normale e precompresso ed a struttura metallica”;

[13] Legge 2 Febbraio 1974 n°64 - “Provvedimenti per le costruzioni, con particolari prescrizioni per le zone sismiche”;

[14] D.M. 14/01/2008 – “Norme tecniche per le costruzioni”;

MANDATARIA 		MANDANTI 		LINEA PESCARA – BARI RADDOPPIO DELLA TRATTA FERROVIARIA TERMOLI-LESINA LOTTO 2 e 3 – RADDOPPIO TERMOLI - RIPALTA								
VI15 da km 22+780,80 a km 23+265,80: Relazione di calcolo Spalla S2		COMMESSA	LOTTO	FASE	ENTE	TIPO DOC	OPERA 7 DISCIPLINA			PROGR	REV	FOGLIO
		LI0B	02	E	ZZ	CL	VI	15	04	002	B	9

[15] Circolare LL.PP. n°617 02/02/2009 - "Istruzioni per l'applicazione dell'Aggiornamento delle norme tecniche per le costruzioni di cui al D.M. 14 gennaio 2008".

3.3 MANUALI ITF

- [16] RFI DTC SI PS MA IFS 001 E - Manuale di progettazione delle opere Civili;
- [17] RFI DTC SI SP IFS 001 C – Capitolato generale tecnico di Appalto delle opere civili;
- [18] RFI DINIC MA PO 00 001 B - Manuale di progettazione Ponti
- [19] RFI DTC ICI PO SP INF 001 A - Istruzioni per la progettazione e l'esecuzione dei ponti ferroviari del 12/10/2009
- [20] RFI DINIC MA PO 00 001 C - Prescrizioni tecniche per la progettazione esecutiva ponti Vol.1 e vol.2
- [21] RFI DTC INC PO SP IFS 003 A - Specifica per la verifica a fatica dei ponti ferroviari
- [22] RFI DTC INC PO SP IFS 005 A - Specifica per il calcolo, l'esecuzione e il collaudo e la posa in opera dei dispositivi di vincolo e dei coprigiunti negli impalcati ferroviari e cavalcavia.

3.4 BIBLIOGRAFIA E ALTRI RIFERIMENTI

- [23] Lancellotta R. [1991] " Geotecnica" – Edizioni Zanichelli.
- [24] Migliacci – F. Mola – "Progetto agli stati limite delle strutture in c.a." - Masson Italia Editori 1985
- [25] C. Cestelli Guidi - "Geotecnica e tecnica delle fondazioni" - Ulrico Hoepli Editore 1987
- [26] R. Lancellotta – "Geotecnica" - Edizioni Zanichelli 1987
- [27] Bowles J.E.: "Foundations Analysis and Design" 4th edition - McGraw-Hill – New York, 1988
- [28] Bustamante M., Gianceselli L. [1982] - "Pile bearing capacity prediction by means of static penetrometer CPT" -.Pr. of the 2th European symposium on penetration testing, Amsterdam.

MANDATARIA 		MANDANTI 		LINEA PESCARA – BARI RADDOPPIO DELLA TRATTA FERROVIARIA TERMOLI-LESINA LOTTO 2 e 3 – RADDOPPIO TERMOLI - RIPALTA										
VI15 da km 22+780,80 a km 23+265,80: Relazione di calcolo Spalla S2				COMMESSA	LOTTO	FASE	ENTE	TIPO DOC	OPERA 7 DISCIPLINA			PROGR	REV	FOGLIO
				LI0B	02	E	ZZ	CL	VI	15	04	002	B	10

4. CARATTERISTICHE DEI MATERIALI

4.1 CALCESTRUZZO

4.1.1 Calcestruzzo per magrone sottofondi

Classe minima	C12/15
Classe di esposizione ambientale	XC0

4.1.2 Calcestruzzo pali e plinti di fondazione

Classe minima	C25/30
Classe di esposizione ambientale	XC2
Resistenza caratteristica a compressione cubica a 28 gg	$R_{ck} \geq 30$ MPa
Resistenza caratteristica a compressione cilindrica	$f_{ck} = R_{ck} * 0.83 = 24.90$ MPa
Resistenza media a compressione cilindrica	$f_{cm} = f_{ck} + 8 = 32.90$ MPa
Modulo elastico	$E_c = 22000 * (f_{cm}/10)^{0.3} = 31447$ MPa
Valore medio di resistenza a trazione semplice	$f_{ctm} = 0.3 * (f_{ck})^{2/3} = 2.56$ MPa
Resistenza di calcolo a trazione semplice	$f_{ctk} = 0.7 * f_{ctm} = 1.79$ MPa
<u>Stato limite ultimo</u>	
Coefficiente parziale di sicurezza	$\gamma_C = 1.5$
Coefficiente riduttivo per resistenze di lunga durata	$\alpha_{CC} = 0.85$
Resistenza di calcolo a compressione	$f_{cd} = \alpha_{CC} * f_{ck} / \gamma_C = 14.11$ MPa
Resistenza di calcolo a trazione semplice	$f_{ctd} = f_{ctk} / \gamma_C = 1.19$ MPa
Valore ultimo della deformazione a compressione	$\epsilon_{cu} = 3.5 \%$
<u>Stato limite di esercizio</u>	
Tensione max di compressione – Comb. Rara	$\sigma_c = 0.55 * f_{ck} = 13.70$ MPa
Tensione max di compressione – Comb. Quasi perm.	$\sigma_c = 0.40 * f_{ck} = 9.96$ MPa

4.1.3 Calcestruzzo parti in elevazione pile, spalle e solettoni

Classe minima	C32/40
Classe di esposizione ambientale	XC4 – XS1
Resistenza caratteristica a compressione cubica a 28 gg	$R_{ck} \geq 40$ MPa
Resistenza caratteristica a compressione cilindrica	$f_{ck} = R_{ck} * 0.83 = 33.20$ MPa
Resistenza media a compressione cilindrica	$f_{cm} = f_{ck} + 8 = 41.20$ MPa
Modulo elastico	$E_c = 22000 * (f_{cm}/10)^{0.3} = 33643$ MPa
Valore medio di resistenza a trazione semplice	$f_{ctm} = 0.3 * (f_{ck})^{2/3} = 3.10$ MPa
Resistenza di calcolo a trazione semplice	$f_{ctk} = 0.7 * f_{ctm} = 2.17$ MPa
<u>Stato limite ultimo</u>	
Coefficiente parziale di sicurezza	$\gamma_C = 1.5$
Coefficiente riduttivo per resistenze di lunga durata	$\alpha_{CC} = 0.85$
Resistenza di calcolo a compressione	$f_{cd} = \alpha_{CC} * f_{ck} / \gamma_C = 18.81$ MPa
Resistenza di calcolo a trazione semplice	$f_{ctd} = f_{ctk} / \gamma_C = 1.45$ MPa
Valore ultimo della deformazione a compressione	$\epsilon_{cu} = 3.5 \%$
<u>Stato limite di esercizio</u>	

MANDATARIA  CONSORZIO STABILE SOCIETÀ CONSORTILE A.R.L.	MANDANTI 	LINEA PESCARA – BARI RADDOPPIO DELLA TRATTA FERROVIARIA TERMOLI-LESINA LOTTO 2 e 3 – RADDOPPIO TERMOLI - RIPALTA										
		VI15 da km 22+780,80 a km 23+265,80: Relazione di calcolo Spalla S2	COMMESSA	LOTTO	FASE	ENTE	TIPO DOC	OPERA 7 DISCIPLINA			PROGR	REV
		LI0B	02	E	ZZ	CL	VI	15	04	002	B	11

Tensione max di compressione – Comb. Rara $\sigma_c = 0.55 \cdot f_{ck} = 18.26$ MPa
Tensione max di compressione – Comb. Quasi perm. $\sigma_c = 0.40 \cdot f_{ck} = 13.28$ MPa

4.1.4 Calcestruzzo per baggioli e ritegni

Classe minima C32/40
Classe di esposizione ambientale XC4 – XS1
Resistenza caratteristica a compressione cubica a 28 gg $R_{ck} \geq 40$ MPa
Resistenza caratteristica a compressione cilindrica $f_{ck} = R_{ck} \cdot 0.83 = 33.20$ MPa
Resistenza media a compressione cilindrica $f_{cm} = f_{ck} + 8 = 41.20$ MPa
Modulo elastico $E_c = 22000 \cdot (f_{cm}/10)^{0.3} = 33643$ MPa
Valore medio di resistenza a trazione semplice $f_{ctm} = 0.3 \cdot (f_{ck})^{2/3} = 3.10$ MPa
Resistenza di calcolo a trazione semplice $f_{ctk} = 0.7 \cdot f_{ctm} = 2.17$ MPa

Stato limite ultimo
Coefficiente parziale di sicurezza $\gamma_c = 1.5$
Coefficiente riduttivo per resistenze di lunga durata $\alpha_{CC} = 0.85$
Resistenza di calcolo a compressione $f_{cd} = \alpha_{CC} \cdot f_{ck} / \gamma_c = 18.81$ MPa
Resistenza di calcolo a trazione semplice $f_{ctd} = f_{ctk} / \gamma_c = 1.45$ MPa
Valore ultimo della deformazione a compressione $\epsilon_{cu} = 3.5$ ‰

Stato limite di esercizio
Tensione max di compressione – Comb. Rara $\sigma_c = 0.55 \cdot f_{ck} = 18.26$ MPa
Tensione max di compressione – Comb. Quasi perm. $\sigma_c = 0.40 \cdot f_{ck} = 13.28$ MPa

4.2 ACCIAIO

4.2.1 Acciaio d'armatura in barre per calcestruzzo armato

Tensione caratteristica di rottura a trazione $f_{tk} = \geq 540$ MPa
Tensione caratteristica di snervamento a trazione $f_{yk} = \geq 450$ MPa
Modulo elastico $E_s = 200000$ MPa

Stato limite ultimo
Coefficiente parziale di sicurezza $\gamma_s = 1.15$
Resistenza di calcolo $f_{yd} = f_{yk} / \gamma_s = 391.30$ MPa
Valore ultimo della deformazione a trazione $\epsilon_{cu} = 10$ ‰

Stato limite di esercizio
Tensione max di trazione $\sigma_s = 0.75 \cdot f_{yk} = 337.50$ MPa

MANDATARIA  CONSORZIO STABILE SOCIETÀ CONSORTILE A R.L.	MANDANTI 	LINEA PESCARA – BARI RADDOPPIO DELLA TRATTA FERROVIARIA TERMOLI-LESINA LOTTO 2 e 3 – RADDOPPIO TERMOLI - RIPALTA										
		VI15 da km 22+780,80 a km 23+265,80: Relazione di calcolo Spalla S2	COMMESSA	LOTTO	FASE	ENTE	TIPO DOC	OPERA 7 DISCIPLINA			PROGR	REV
		LI0B	02	E	ZZ	CL	VI	15	04	002	B	12

4.3 DURABILITÀ

4.3.1 Conglomerati cementizi

Le classi di esposizione e le conseguenti limitazioni sulla composizione del calcestruzzo sono state ricavate ai sensi della normativa UNI EN 206: 2016 e UNI 11104: 2016, delle istruzioni contenute nella C.M. n°7 per l'applicazione delle NTC 2008, a cui si rimanda per ulteriori dettagli.

A seconda dell'esposizione ambientale, per opere con $V_N = 50$ anni la circolare al punto §C4.1.6.1.3 impone il rispetto dei limiti di copriferro riportati nella tabella successiva.

Per classi di resistenza inferiori a C_{min} i valori sono da aumentare di $\Delta c_{min} = +5$ mm.

Per produzioni di elementi sottoposte a controllo di qualità che preveda anche la verifica dei copriferri, i valori della tabella possono essere ridotti di $\Delta c_{min} = -5$ mm.

A tali valori di tabella vanno aggiunte le tolleranze di posa Δc_{dev} .

Nella norma UNI EN 1992-1-1 sono indicati al §4.4.1.3 i metodi per la valutazione rigorosa dei copriferri in base alla tipologia di armature e altre particolari specifiche di dettaglio previste in progetto.

Nelle tabelle seguenti si indicano i copriferri nominali c_{nom} e i parametri di mix design minimi richiesti dalle normative per ottenere le prestazioni di durabilità minime di progetto.

prospetto 5 Valori limite per la composizione e le proprietà del calcestruzzo

UNI 11104:2016	Classi di esposizione																				
	Nessun rischio di corrosione dell'armatura	Corrosione delle armature indotte dalla carbonatazione				Corrosione delle armature indotte da cloruri						Attacchi da cicli di gelo/disgelo				Ambiente aggressivo per attacco chimico					
		X0	XC1	XC2	XC3	XC4	Acqua di mare			Cloruri provenienti da altre fonti			XF1	XF2	XF3	XF4	XA1	XA2	XA3		
Massimo rapporto a/c	-	0,80			0,50	0,50			0,45			0,55		0,50		0,45	0,55	0,50	0,45		
Minima classe di resistenza	C12/15	C25/30			C30/37	C32/40	C32/40			C35/45			C30/37	C32/40	C35/45	C32/40	C25/30	C30/37	C32/40	C35/45	
Minimo contenuto in cemento (kg/m ³)	-	300			320	340	340			360			320	340	360	320	340	360	320	340	360
Contenuto minimo in aria (%)																b)	4,0 a)				
Altri requisiti						E' richiesto l'utilizzo di cementi resistenti all'acqua di mare a secondo UNI 9156						E' richiesto l'utilizzo di aggregati conformi alla UNI EN 12620 di adeguata resistenza al gelo/disgelo				In caso di esposizione a terreno o acqua del terreno contenente solfati nei limiti del prospetto 2 della all'acqua di mare adeguata resistenza al UNI EN 206:2014, è richiesto l'impiego di cementi resistenti ai solfati. c)					

a) Quando il calcestruzzo non contiene aria inglobata, le sue prestazioni devono essere verificate rispetto ad un calcestruzzo aerato per il quale è provata la resistenza al gelo/disgelo, da determinarsi secondo UNI CEN/TS 12390-9, UNI CEN/TR 15177 0 UNI 7087 per la relativa classe di esposizione. Il valore minima di aria inglobata del 4% può ritenersi adeguato per calcestruzzi specificati con b) Dupper >20mm, per Dupper inferiori limite minima andrà opportunamente aumentato (ad esempio 5% per Dupper tra 12 mm e 16 mm).

b) Qualora si ritenga opportuno impiegare calcestruzzo aerato anche in classe di esposizione XF1 si adottano le specifiche di composizione prescritte per le classi XF2 e XF3.

c) Cementi resistenti ai solfati sono definiti dalla UNI EN 197-1 e su base nazionale dalla UNI 9156. La UNI 9156 classifica i cementi resistenti ai solfati in tre classi: moderata, alta e altissima resistenza solfatica. La classe di resistenza solfatica del cemento deve essere prescelta in relazione alla classe di esposizione del calcestruzzo secondo il criterio di corrispondenza della UNI 11417-1.

d) Quando si applica il concetto di valore k il rapporto massimo a/c e il contenuto minima di cemento sono calcolati in conformità al punto 5.2.2.

Tabella 2 - Prospetto requisiti di mix-design (UNI 11104)

Tabella C4.1.IV - Copriferri minimi in mm

C_{min}	C_o	ambiente	barre da c.a. elementi a piastra		barre da c.a. altri elementi		cavi da c.a.p. elementi a piastra		cavi da c.a.p. altri elementi	
			$C \geq C_o$	$C_{min} < C < C_o$	$C \geq C_o$	$C_{min} < C < C_o$	$C \geq C_o$	$C_{min} < C < C_o$	$C \geq C_o$	$C_{min} < C < C_o$
C25/30	C35/45	ordinario	15	20	20	25	25	30	30	35
C30/37	C40/50	aggressivo	25	30	30	35	35	40	40	45
C35/45	C45/55	molto ag.	35	40	40	45	45	50	50	50

La classe di resistenza minima C_{min} indicata in tabella deve comunque intendersi riferita alla pertinente classe di esposizione di cui alla UNI EN 206:2016 richiamata nella Tabella 4.1.III delle NTC.

Tabella 3 - Copriferri minimi in mm (VN = 50 anni)

MANDATARIA  MANDANTI 	LINEA PESCARA – BARI RADDOPPIO DELLA TRATTA FERROVIARIA TERMOLI-LESINA LOTTO 2 e 3 – RADDOPPIO TERMOLI - RIPALTA										
	VI15 da km 22+780,80 a km 23+265,80: Relazione di calcolo Spalla S2	COMMESSA	LOTTO	FASE	ENTE	TIPO DOC	OPERA 7 DISCIPLINA			PROGR	REV
	LI0B	02	E	ZZ	CL	VI	15	04	002	B	13

Tab. 4.1.III – Descrizione delle condizioni ambientali

Condizioni ambientali	Classe di esposizione
Ordinarie	X0, XC1, XC2, XC3, XF1
Aggressive	XC4, XD1, XS1, XA1, XA2, XF2, XF3
Molto aggressive	XD2, XD3, XS2, XS3, XA3, XF4

Tabella 4 - Condizioni ambientali e classi di esposizione

NOME: FONDAZIONI	REQUISITI DURABILITA' CALCESTRUZZI (UNI EN 206, UNI 11104, UNI EN 1992-1-1, NTC2008)	Rev. 00.1
CLASSE DI ESPOSIZIONE Corrosione da carbonatazione XC2 Ambiente prevalentemente acquoso o saturo d'acqua, raramente secco. Cls a contatto con acqua per lungo tempo. Cls di strutture di contenimento acqua. Cls di molte fondazioni.		
- Valori raccomandati per il mix-design (UNI EN 206: 2016)		Mix design di progetto:
	XC2	XC2
Rapporto max A/C	0,60	0,6
Classe di resistenza minima	C25/30	C25/30
Contenuto minimo di cemento (kg/m³)	300	300
Contenuto minimo di aria (%)	-	-
Aggregati resistenti al gelo/disgelo (EN 12620)	-	-
Cemento resistente ai solfati	-	-
Cemento resistente all'acqua di mare	-	-
COPRIFERRO NOMINALE $c_{min} = \max(c_{min,b}; c_{min,dur} + \Delta c_{dur,\gamma} - \Delta c_{dur,st} - \Delta c_{dur,add}; 10 \text{ mm})$ (Formula 4.2 UNI EN 1992-1-1) $c_{nom} = c_{min} + \Delta c_{dev}$ (Formula 4.1 UNI EN 1992-1-1)		
- Margine di scostamento Δc_{dev} (4.4.1.3 Annesso italiano UNI EN 1992-1-1)		Δc_{dev} (mm) 10
- Copriferro minimo per messa in opera su superfici irregolari (4.4.1.3 (4) Annesso italiano UNI EN 1992-1-1)		$c_{nom,min}$ (mm)
- Copriferro minimo per aderenza (Prospetto 4.2 UNI EN 1992-1-1)		$c_{min,b}$ (mm) 26
Tipo di acciaio Ordinario		
\varnothing (mm) 26	diametro barra \varnothing (isolata) o equivalente \varnothing_n (raggruppate, vedi §8.9)	
D_{upper} (mm) 25	dimensione max aggregato	
- Copriferro minimo per durabilità (Tabella C4.1.IV NTC 2008)		$c_{min,dur}$ (mm) 30
Ambiente Ordinario		
Vita nominale 75	valori tabella +5 mm	C C25/30 Classe di resistenza utilizzata
Controllo qualità speciale cls NO	valori tabella	C_0 C35/45
Elemento a piastra NO		C_{min} C25/30
NTC 2008	Condizioni ambientali Ordinarie	Gruppo di esigenza A
		Copriferro nominale c_{nom} (mm) 40

LINEA PESCARA – BARI

**RADDOPPIO DELLA TRATTA FERROVIARIA TERMOLI-LESINA
LOTTO 2 e 3 – RADDOPPIO TERMOLI - RIPALTA**

**VI15 da km 22+780,80 a km 23+265,80:
Relazione di calcolo Spalla S2**

COMMESSA	LOTTO	FASE	ENTE	TIPO DOC	OPERA 7 DISCIPLINA			PROGR	REV	FOGLIO
LI0B	02	E	ZZ	CL	VI	15	04	002	B	14

NOME: ELEVAZIONI	REQUISITI DURABILITA' CALCESTRUZZI (UNI EN 206, UNI 11104, UNI EN 1992-1-1, NTC2008)		Rev. 00.1
CLASSE DI ESPOSIZIONE			
Corrosione da carbonatazione	XC4	Ambiente ciclicamente secco e acquoso o saturo d'acqua. Cls in esterni con superfici soggette ad alternanze di ambiente secco ed acquoso o saturo d'acqua. Cls ciclicamente esposto all'acqua in condizioni che non ricadono nella classe XC2.	
Corrosione da cloruri marini	XS1	Ambiente di aria che trasporta salsedine marina in assenza di contatto con l'acqua di mare. Cls di strutture in zone costiere.	
- Valori raccomandati per il mix-design (UNI EN 206: 2016)			Mix design di progetto:
Rapporto max A/C	XC4 0,50	XS1 0,50	XC4+XS1 0,5
Classe di resistenza minima	C32/40	C32/40	C32/40
Contenuto minimo di cemento (kg/m³)	340	340	340
Contenuto minimo di aria (%)	-	-	-
Aggregati resistenti al gelo/disgelo (EN 12620)	-	-	-
Cemento resistente ai solfati	-	-	-
Cemento resistente all'acqua di mare	-	SI	SI
COPRIFERRO NOMINALE			
$c_{min} = \max(c_{min,b}; c_{min,dur} + \Delta c_{dur,\gamma} - \Delta c_{dur,st} - \Delta c_{dur,add}; 10 \text{ mm})$		(Formula 4.2 UNI EN 1992-1-1)	
$c_{nom} = c_{min} + \Delta c_{dev}$		(Formula 4.1 UNI EN 1992-1-1)	
- Margine di scostamento Δc_{dev} (4.4.1.3 Annesso italiano UNI EN 1992-1-1)			Δc_{dev} (mm) 10
- Copriferro minimo per messa in opera su superfici irregolari (4.4.1.3 (4) Annesso italiano UNI EN 1992-1-1)			$c_{nom,min}$ (mm)
- Copriferro minimo per aderenza (Prospetto 4.2 UNI EN 1992-1-1)			$c_{min,b}$ (mm) 26
Tipo di acciaio	Ordinario		
\varnothing (mm)	26	diametro barra \varnothing (isolata) o equivalente \varnothing_n (raggruppate, vedi §8.9)	
D_{upper} (mm)	25	dimensione max aggregato	
- Copriferro minimo per durabilità (Tabella C4.1.IV NTC 2008)			$c_{min,dur}$ (mm) 40
Ambiente Aggressivo			
Vita nominale	75	valori tabella +5 mm	C C32/40 Classe di resistenza utilizzata
Controllo qualità speciale cls	NO	valori tabella	C_0 C40/50
Elemento a piastra	NO		C_{min} C30/37
NTC 2008	Condizioni ambientali Aggressive	Gruppo di esigenza B	Copriferro nominale c_{nom} (mm) 50

LINEA PESCARA – BARI

**RADDOPPIO DELLA TRATTA FERROVIARIA TERMOLI-LESINA
LOTTO 2 e 3 – RADDOPPIO TERMOLI - RIPALTA**

**VI15 da km 22+780,80 a km 23+265,80:
Relazione di calcolo Spalla S2**

COMMESSA	LOTTO	FASE	ENTE	TIPO DOC	OPERA 7 DISCIPLINA			PROGR	REV	FOGLIO
LI0B	02	E	ZZ	CL	VI	15	04	002	B	15

NOME: BAGGIOLI E RITEGNI	REQUISITI DURABILITA' CALCESTRUZZI (UNI EN 206, UNI 11104, UNI EN 1992-1-1, NTC2008)	Rev. 00.1
CLASSE DI ESPOSIZIONE		
Corrosione da carbonatazione	XC4	Ambiente ciclicamente secco e acquoso o saturo d'acqua. Cls in esterni con superfici soggette ad alternanze di ambiente secco ed acquoso o saturo d'acqua. Cls ciclicamente esposto all'acqua in condizioni che non ricadono nella classe XC2.
Corrosione da cloruri marini	XS1	Ambiente di aria che trasporta salsedine marina in assenza di contatto con l'acqua di mare. Cls di strutture in zone costiere.
- Valori raccomandati per il mix-design (UNI EN 206: 2016)		Mix design di progetto:
	XC4	XS1
Rapporto max A/C	0,50	0,50
Classe di resistenza minima	C32/40	C32/40
Contenuto minimo di cemento (kg/m³)	340	340
Contenuto minimo di aria (%)	-	-
Aggregati resistenti al gelo/disgelo (EN 12620)	-	-
Cemento resistente ai solfati	-	-
Cemento resistente all'acqua di mare	-	SI
COPRIFERRO NOMINALE		
$c_{min} = \max(c_{min,b}; c_{min,dur} + \Delta c_{dur,\gamma} - \Delta c_{dur,st} - \Delta c_{dur,add}; 10 \text{ mm})$		(Formula 4.2 UNI EN 1992-1-1)
$c_{nom} = c_{min} + \Delta c_{dev}$		(Formula 4.1 UNI EN 1992-1-1)
- Margine di scostamento Δc_{dev} (4.4.1.3 Annesso italiano UNI EN 1992-1-1)		Δc_{dev} (mm) 10
- Copriferro minimo per messa in opera su superfici irregolari (4.4.1.3 (4) Annesso italiano UNI EN 1992-1-1)		$c_{nom,min}$ (mm)
- Copriferro minimo per aderenza (Prospetto 4.2 UNI EN 1992-1-1)		$c_{min,b}$ (mm) 26
Tipo di acciaio	Ordinario	
\varnothing (mm)	26	diametro barra \varnothing (isolata) o equivalente \varnothing_n (raggruppate, vedi §8.9)
D_{upper} (mm)	25	dimensione max aggregato
- Copriferro minimo per durabilità (Tabella C4.1.IV NTC 2008)		$c_{min,dur}$ (mm) 30
Ambiente Aggressivo		
Vita nominale	75	valori tabella +5 mm
Controllo qualità speciale cls	SI	valori tabella -5 mm
Elemento a piastra	SI	
		C C32/40 Classe di resistenza utilizzata
		C_0 C40/50
		C_{min} C30/37
NTC 2008	Condizioni ambientali Aggressive	Gruppo di esigenza B
		Copriferro nominale c_{nom} (mm) 40

MANDATARIA 		MANDANTI 		LINEA PESCARA – BARI RADDOPPIO DELLA TRATTA FERROVIARIA TERMOLI-LESINA LOTTO 2 e 3 – RADDOPPIO TERMOLI - RIPALTA										
VI15 da km 22+780,80 a km 23+265,80: Relazione di calcolo Spalla S2				COMMESSA	LOTTO	FASE	ENTE	TIPO DOC	OPERA 7 DISCIPLINA			PROGR	REV	FOGLIO
				LI0B	02	E	ZZ	CL	VI	15	04	002	B	16

5. APPROCCIO DI CALCOLO

5.1 CARATTERISTICHE DELLE OPERE

Le opere oggetto della presente relazione sono state progettate e calcolate secondo i metodi della scienza delle costruzioni, adottando per le verifiche il criterio degli stati limite (S.L.).

I criteri generali di sicurezza, le azioni di calcolo e le caratteristiche dei materiali sono stati assunti in conformità con il D.M. 14.01.2008 – “Norme tecniche per le costruzioni” e relativa circolare esplicativa (Circolare 02.02.2009 n. 617/C.S.LL.PP.).

Con riferimento alle NTC, per le opere in oggetto si considerano i seguenti parametri di calcolo:

Vita nominale	$V_N = 75$ anni (§ 2.4.1 “Costruzioni con livelli di prestazioni ordinari”)
Classe d’uso	III (§ 2.4.2, “Costruzioni il cui uso preveda affollamenti significativi. Industrie con attività pericolose per l’ambiente. Reti viarie extraurbane non ricadenti in Classe d’uso IV. Ponti e reti ferroviarie la cui interruzione provochi situazioni di emergenza. Dighe rilevanti per le conseguenze di un loro eventuale collasso.”)
Coefficiente d’uso	$C_U = 1.5$
Periodo di riferimento	$V_R = V_N \cdot C_U = 112.5$ anni

5.2 CRITERI GENERALI DI VERIFICA

In accordo con quanto definito nel §2.3 delle NTC 2008, devono essere svolte le verifiche di sicurezza e delle prestazioni attese per Stati Limite Ultimi (SLU) e Stati Limite d’Esercizio (SLE) secondo opportune combinazioni di carico delle azioni.

5.2.1 Combinazioni di carico

Come riportato al §2.5.3 delle NTC 2008, si considerano le seguenti combinazioni delle azioni:

$Y_{G1} \cdot G_1 + Y_{G2} \cdot G_2 + Y_P \cdot P + Y_{Q1} \cdot Q_{k1} + Y_{Q2} \cdot \Psi_{02} \cdot Q_{k2} + Y_{Q3} \cdot \sum_{j=3}^n \Psi_{0j} \cdot Q_{kj}$	Combinazione fondamentale SLU
$G_1 + G_2 + P + Q_{k1} + \Psi_{02} \cdot Q_{k2} + \sum_{j=3}^n \Psi_{0j} \cdot Q_{kj}$	Combinazione caratteristica rara SLE
$G_1 + G_2 + P + \Psi_{11} \cdot Q_{k1} + \sum_{j=2}^n \Psi_{2j} \cdot Q_{kj}$	Combinazione frequente SLE
$G_1 + G_2 + P + \sum_{j=1}^n \Psi_{2j} \cdot Q_{kj}$	Combinazione quasi permanente SLE
$E + G_1 + G_2 + P + \sum_{j=1}^n \Psi_{2j} \cdot Q_{kj}$	Combinazione sismica SLE e SLU
$G_1 + G_2 + P + A_d + \sum_{j=1}^n \Psi_{2j} \cdot Q_{kj}$	Combinazione eccezionale SLU
G_1	masse dei pesi propri strutturali
G_2	masse dei carichi permanenti non strutturali
P	precompressione e pretensione
Q_{ki}	masse dei carichi accidentali
E	azione sismica
A_d	azione eccezionale
ψ_0, ψ_1, ψ_2	coefficienti di contemporaneità delle azioni (Tab.. 2.5.I oppure Tab.. 5.1.VI per i ponti stradali e Tab.. 5.2.VII per i ponti ferroviari)

MANDATARIA HUB ENGINEERING <small>CONSORZIO STABILE SOCIETÀ CONSORTILE & S.R.L.</small>		MANDANTI HYpro S.P.A.		LINEA PESCARA – BARI RADDOPPIO DELLA TRATTA FERROVIARIA TERMOLI-LESINA LOTTO 2 e 3 – RADDOPPIO TERMOLI - RIPALTA										
VI15 da km 22+780,80 a km 23+265,80: Relazione di calcolo Spalla S2				COMMESSA	LOTTO	FASE	ENTE	TIPO DOC	OPERA 7 DISCIPLINA			PROGR	REV	FOGLIO
				LI0B	02	E	ZZ	CL	VI	15	04	002	B	17

5.2.2 Stati limite ultimi

Per ogni Stato Limite Ultimo (SLU) deve essere rispettata la condizione:

$R_d \geq E_d$	(Eq. 2.2.1)
$E_d = E(F_d ; X_d ; a_d)$	valore di progetto della domanda, funzione dei valori di progetto delle azioni (F_d) e dei valori nominali delle grandezze geometriche della struttura interessate (a_d)
$R_d = R(F_d ; X_d ; a_d)$	capacità di progetto in termini di resistenza, duttilità e/o spostamento della struttura, funzione delle caratteristiche meccaniche dei materiali che la compongono (X_d) e dei valori nominali delle grandezze geometriche interessate (a_d)
$F_d = \gamma_F \cdot F_k$	azioni di progetto
$X_d = X_k / \gamma_M$	proprietà del materiale di progetto
a_d	parametri geometrici di progetto
γ_M	coefficiente parziale di sicurezza del materiale

Nelle verifiche agli stati limite ultimi si distinguono:

- stato limite di equilibrio come corpo rigido: **EQU**
- stato limite di resistenza della struttura compresi gli elementi di fondazione: **STR**
- stato limite di resistenza del terreno: **GEO**

5.2.3 Strutture non geotecniche

Fatte salve le prescrizioni specifiche e con riferimento alle tabelle seguenti, per la progettazione di componenti strutturali che non coinvolgano azioni di tipo geotecnico, i valori dei coefficienti parziali γ_F da assumersi per la determinazione degli effetti delle azioni per le verifiche di equilibrio (SLU EQU) sono quelle della colonna EQU mentre per le verifiche strutturali (SLU STR) sono quelle della colonna A1.

Tab. 5.2.IV - Valutazione dei carichi da traffico

TIPO DI CARICO	Azioni verticali		Azioni orizzontali			Commenti
	Carico verticale (1)	Treno scarico	Frenatura e avviamento	Centrifuga	Serpeggio	
Gruppo 1 (2)	1,0	-	0,5 (0,0)	1,0 (0,0)	1,0 (0,0)	massima azione verticale e laterale
Gruppo 2 (2)	-	1,0	0,0	1,0 (0,0)	1,0 (0,0)	stabilità laterale
Gruppo 3 (2)	1,0 (0,5)	-	1,0	0,5 (0,0)	0,5 (0,0)	massima azione longitudinale
Gruppo 4	0,8 (0,6;0,4)	-	0,8 (0,6;0,4)	0,8 (0,6;0,4)	0,8 (0,6;0,4)	Fessurazione

(1) Includendo tutti i valori (E; a; etc..)

(2) La simultaneità di due o tre valori caratteristici interi (assunzione di diversi coefficienti pari ad 1.0), sebbene improbabile, è stata considerata come semplificazione per i gruppi di carico 1,2 e 3 senza che ciò abbia significative conseguenze progettuali

I valori campiti in grigio rappresentano l'azione dominante.

MANDATARIA 		MANDANTI 		LINEA PESCARA – BARI RADDOPPIO DELLA TRATTA FERROVIARIA TERMOLI-LESINA LOTTO 2 e 3 – RADDOPPIO TERMOLI - RIPALTA										
VI15 da km 22+780,80 a km 23+265,80: Relazione di calcolo Spalla S2				COMMESSA	LOTTO	FASE	ENTE	TIPO DOC	OPERA 7 DISCIPLINA			PROGR	REV	FOGLIO
				LI0B	02	E	ZZ	CL	VI	15	04	002	B	18

Tab. 5.2.V - Coefficienti parziali di sicurezza per le combinazioni di carico agli SLU

Coefficiente			EQU ⁽¹⁾	A1	A2
Azioni permanenti	favorevoli	γ_{G1}	0,90	1,00	1,00
	sfavorevoli		1,10	1,35	1,00
Azioni permanenti non strutturali ⁽²⁾	favorevoli	γ_{G2}	0,00	0,00	0,00
	sfavorevoli		1,50	1,50	1,30
Ballast ⁽³⁾	favorevoli	γ_B	0,90	1,00	1,00
	sfavorevoli		1,50	1,50	1,30
Azioni variabili da traffico ⁽⁴⁾	favorevoli	γ_Q	0,00	0,00	0,00
	sfavorevoli		1,45	1,45	1,25
Azioni variabili	favorevoli	γ_{Qi}	0,00	0,00	0,00
	sfavorevoli		1,50	1,50	1,30
Precompressione	favorevole	γ_P	0,90	1,00	1,00
	sfavorevole		1,00 ⁽⁵⁾	1,00 ⁽⁶⁾	1,00
Ritiro, viscosità e cedimenti non imposti appositamente	favorevole	γ_{Ce}	0,00	0,00	0,00
	sfavorevole	d	1,20	1,20	1,00

⁽¹⁾ Equilibrio che non coinvolga i parametri di deformabilità e resistenza del terreno; altrimenti si applicano i valori della colonna A2.

⁽²⁾ Nel caso in cui l'intensità dei carichi permanenti non strutturali, o di una parte di essi (ad esempio carichi permanenti portati), sia ben definita in fase di progetto, per detti carichi o per la parte di essi nota si potranno adottare gli stessi coefficienti validi per le azioni permanenti.

⁽³⁾ Quando si prevedano variazioni significative del carico dovuto al ballast, se ne dovrà tener conto esplicitamente nelle verifiche.

⁽⁴⁾ Le componenti delle azioni da traffico sono introdotte in combinazione considerando uno dei gruppi di carico gr della Tab. 5.2.IV.

⁽⁵⁾ 1,30 per instabilità in strutture con precompressione esterna

⁽⁶⁾ 1,20 per effetti locali

Tabella 6 - Coefficienti parziali per le azioni nelle verifiche SLU (NTC 2008) – Ponti ferroviari

Tab. 5.2.VI - Coefficienti di combinazione Ψ delle azioni

Azioni		ψ_0	ψ_1	ψ_2
Azioni singole	Carico sul rilevato a tergo delle spalle	0,80	0,50	0,0
da traffico	Azioni aerodinamiche generate dal transito dei convogli	0,80	0,50	0,0
	gr ₁	0,80 ⁽²⁾	0,80 ⁽¹⁾	0,0
Gruppi di	gr ₂	0,80 ⁽²⁾	0,80 ⁽¹⁾	-
carico	gr ₃	0,80 ⁽²⁾	0,80 ⁽¹⁾	0,0
	gr ₄	1,00	1,00 ⁽¹⁾	0,0
Azioni del vento	F _{wk}	0,60	0,50	0,0
Azioni da	in fase di esecuzione	0,80	0,0	0,0
neve	SLU e SLE	0,0	0,0	0,0
Azioni termiche	T _k	0,60	0,60	0,50

⁽¹⁾ 0,80 se è carico solo un binario, 0,60 se sono carichi due binari e 0,40 se sono carichi tre o più binari.

⁽²⁾ Quando come azione di base venga assunta quella del vento, i coefficienti ψ_0 relativi ai gruppi di carico delle azioni da traffico vanno assunti pari a 0,0.

Tabella 7 - Coefficienti di contemporaneità delle azioni nelle verifiche SLU (NTC 2018) – Ponti ferroviari

MANDATARIA 		MANDANTI 		LINEA PESCARA – BARI RADDOPPIO DELLA TRATTA FERROVIARIA TERMOLI-LESINA LOTTO 2 e 3 – RADDOPPIO TERMOLI - RIPALTA										
VI15 da km 22+780,80 a km 23+265,80: Relazione di calcolo Spalla S2				COMMESSA	LOTTO	FASE	ENTE	TIPO DOC	OPERA 7 DISCIPLINA			PROGR	REV	FOGLIO
				LI0B	02	E	ZZ	CL	VI	15	04	002	B	19

5.2.4 Strutture geotecniche

Per la progettazione di elementi strutturali che coinvolgano azioni di tipo geotecnico (plinti, platee, pali, muri di sostegno, ...) le verifiche strutturali (SLU STR) e geotecniche (SLU GEO) si eseguono adottando due possibili approcci progettuali, fra loro alternativi.

Approccio 1

Le verifiche si conducono con due diverse combinazioni di gruppi di coefficienti parziali per le azioni (γ_F), la resistenza dei materiali (γ_M) e eventualmente la resistenza globale del sistema (γ_R).

In tale approccio nelle rispettive tabelle di combinazione si impiegano i coefficienti della colonna A1 per una *Combinazione 1* e i coefficienti della colonna A2 per una *Combinazione 2*.

In tutti i casi, sia nei confronti del dimensionamento strutturale che per quello geotecnico si deve utilizzare la combinazione più gravosa fra le due precedenti.

Approccio 2

Le verifiche si conducono con un'unica combinazione dei gruppi di coefficienti parziali per le Azioni (γ_F), per la resistenza dei materiali (γ_M) e eventualmente per la resistenza globale (γ_R).

In tale approccio nelle rispettive tabelle di combinazione si impiegano i coefficienti γ_F riportati nella colonna A1.

Per ogni stato limite per perdita di equilibrio (SLU EQU), come definito al §2.6.1, impiegando come fattori parziali per le azioni i valori γ_F riportati nella colonna EQU della tabella 6.2.1, deve essere rispettata la condizione:

$$E_{inst,d} \leq E_{stb,d}$$

$E_{inst,d}$ valore di progetto dell'azione instabilizzante

$E_{stb,d}$ valore di progetto dell'azione stabilizzante

Per ogni stato limite ultimo che preveda il raggiungimento della resistenza di un elemento strutturale (SLU STR) o del terreno (SLU GEO), come definiti al §2.6.1, impiegando diverse combinazioni di gruppi di coefficienti parziali per le azioni (A1 e A2), per i parametri geotecnici (M1 e M2) e per le resistenze (R1, R2 e R3), deve essere rispettata la condizione:

$$E_d \leq R_d$$

$$E_d = E(\gamma_F * F_k ; X_k / \gamma_M ; a_d)$$

$$E_d = \gamma_E * E(F_k ; X_k / \gamma_M ; a_d)$$

$$R_d = 1 / \gamma_R * R(\gamma_F * F_k ; X_k / \gamma_M ; a_d)$$

$$F_d = \gamma_F * F_k$$

$$X_d = X_k / \gamma_M$$

$$a_d$$

$$\gamma_E$$

$$\gamma_M$$

$$\gamma_R$$

valore di progetto dell'azione

valore di progetto dell'effetto dell'azione

valore di progetto della resistenza del sistema geotecnico

azioni di progetto

parametri geotecnici di progetto

parametri geometrici di progetto

coefficiente parziale di sicurezza sugli effetti delle azioni

coefficiente parziale di sicurezza del materiale

coefficiente parziale di sicurezza globale sulle resistenze

MANDATARIA 		MANDANTI 		LINEA PESCARA – BARI RADDOPPIO DELLA TRATTA FERROVIARIA TERMOLI-LESINA LOTTO 2 e 3 – RADDOPPIO TERMOLI - RIPALTA										
VI15 da km 22+780,80 a km 23+265,80: Relazione di calcolo Spalla S2				COMMESSA	LOTTO	FASE	ENTE	TIPO DOC	OPERA 7 DISCIPLINA			PROGR	REV	FOGLIO
				LI0B	02	E	ZZ	CL	VI	15	04	002	B	20

Tab. 6.2.I – Coefficienti parziali per le azioni o per l'effetto delle azioni

	Effetto	Coefficiente Parziale γ_F (o γ_E)	EQU	(A1)	(A2)
Carichi permanenti G_1	Favorevole	γ_{G1}	0,9	1,0	1,0
	Sfavorevole		1,1	1,3	1,0
Carichi permanenti $G_2^{(4)}$	Favorevole	γ_{G2}	0,8	0,8	0,8
	Sfavorevole		1,5	1,5	1,3
Azioni variabili Q	Favorevole	γ_{Qi}	0,0	0,0	0,0
	Sfavorevole		1,5	1,5	1,3

⁽⁴⁾ Per i carichi permanenti G_2 : si applica quanto indicato alla Tabella 2.6.I. Per la spinta delle terre si fa riferimento ai coefficienti γ_G .

Tabella 8 - Coefficienti parziali per le azioni nelle verifiche SLU (NTC 2008) – Strutture geotecniche

Tab. 6.2.II – Coefficienti parziali per i parametri geotecnici del terreno

Parametro	Grandezza alla quale applicare il coefficiente parziale	Coefficiente parziale γ_M	(M1)	(M2)
Tangente dell'angolo di resistenza al taglio	$\tan \varphi'_k$	γ_φ	1,0	1,25
Coesione efficace	c'_k	γ_c	1,0	1,25
Resistenza non drenata	c_{uk}	γ_{cu}	1,0	1,4
Peso dell'unità di volume	γ_γ	γ_γ	1,0	1,0

Tabella 9 - Coefficienti parziali per le resistenze nelle verifiche SLU (NTC 2008) – Strutture geotecniche

5.2.5 Stati limite di esercizio

Come riportato al §6.2.4.3 e §5.1.4.2 del [14], la verifica della sicurezza nei riguardi degli stati limite di esercizio si esprime controllando aspetti di funzionalità e stato tensionale. Si dovrà verificare che sia:

$$C_d \geq E_d \quad (\text{Eq. 2.2.2})$$

$E_d = E(F_d ; X_d ; a_d)$ valore di progetto dell'effetto delle azioni
 $C_d = C(F_d ; X_d ; a_d)$ valore limite di progetto associato a ciascun aspetto di funzionalità esaminato

All'interno del progetto devono essere quindi definite le prescrizioni relative agli spostamenti compatibili per l'opera e le prestazioni attese.

Il prescritto valore limite dell'effetto delle azioni deve essere stabilito in funzione del comportamento della struttura in elevazione e di tutte le costruzioni che interagiscono con le opere geotecniche in progetto, tenendo conto della durata dei carichi applicati.

5.2.6 Stati limite ultimi e di esercizio sismici

Con riferimento al §3.2.1 delle NTC 2008, nei confronti delle azioni sismiche, sia gli Stati limite di esercizio (SLE) che gli Stati limite ultimi (SLU) sono individuati riferendosi alle prestazioni della costruzione nel suo complesso, includendo gli elementi strutturali, quelli non strutturali e gli impianti.

Gli Stati limite di esercizio (SLE) comprendono:

MANDATARIA 		MANDANTI 		LINEA PESCARA – BARI RADDOPPIO DELLA TRATTA FERROVIARIA TERMOLI-LESINA LOTTO 2 e 3 – RADDOPPIO TERMOLI - RIPALTA										
VI15 da km 22+780,80 a km 23+265,80: Relazione di calcolo Spalla S2				COMMESSA	LOTTO	FASE	ENTE	TIPO DOC	OPERA 7 DISCIPLINA			PROGR	REV	FOGLIO
				LI0B	02	E	ZZ	CL	VI	15	04	002	B	21

- *Stato Limite di Operatività (SLO)*: a seguito del terremoto la costruzione nel suo complesso, includendo gli elementi strutturali, quelli non strutturali e le apparecchiature rilevanti in relazione alla sua funzione, non deve subire danni ed interruzioni d'uso significativi;
- *Stato Limite di Danno (SLD)*: a seguito del terremoto la costruzione nel suo complesso, includendo gli elementi strutturali, quelli non strutturali e le apparecchiature rilevanti alla sua funzione, subisce danni tali da non mettere a rischio gli utenti e da non compromettere significativamente la capacità di resistenza e di rigidezza nei confronti delle azioni verticali ed orizzontali, mantenendosi immediatamente utilizzabile pur nell'interruzione d'uso di parte delle apparecchiature.

Gli Stati limite ultimi (SLU) comprendono:

- *Stato Limite di salvaguardia della Vita (SLV)*: a seguito del terremoto la costruzione subisce rotture e crolli dei componenti non strutturali ed impiantistici e significativi danni dei componenti strutturali cui si associa una perdita significativa di rigidezza nei confronti delle azioni orizzontali; la costruzione conserva invece una parte della resistenza e rigidezza per azioni verticali e un margine di sicurezza nei confronti del collasso per azioni sismiche orizzontali;
- *Stato Limite di prevenzione del Collasso (SLC)*: a seguito del terremoto la costruzione subisce gravi rotture e crolli dei componenti non strutturali ed impiantistici e danni molto gravi dei componenti strutturali; la costruzione conserva ancora un margine di sicurezza per azioni verticali ed un esiguo margine di sicurezza nei confronti del collasso per azioni orizzontali.

Con riferimento al §3.2.1 delle NTC 2008, per tutti gli elementi strutturali primari e secondari, gli elementi non strutturali e gli impianti si deve verificare che il valore di ciascuna domanda di progetto, definito dalla tabella 7.3.III per ciascuno degli stati limite richiesti, sia inferiore al corrispondente valore della capacità di progetto. Le verifiche degli *elementi strutturali primari (ST)* si eseguono, come sintetizzato nella tabella 7.3.III, in dipendenza della Classe d'Uso (CU):

- nel caso di comportamento strutturale non dissipativo, in termini di *rigidezza (RIG)* e di *resistenza (RES)*, senza applicare le regole specifiche dei dettagli costruttivi e della progettazione in capacità;
- nel caso di comportamento strutturale dissipativo, in termini di *rigidezza (RIG)*, di *resistenza (RES)* e di *duttilità (DUT)* (quando richiesto), applicando le regole specifiche dei dettagli costruttivi e della progettazione in capacità.

Le verifiche degli elementi strutturali secondari si effettuano solo in termini di duttilità, mentre le verifiche degli *elementi non strutturali (NS)* e degli *impianti (IM)* si effettuano in termini di *funzionamento (FUN)* e *stabilità (STA)*, come sintetizzato nella tabella 7.3.III, in dipendenza della Classe d'Uso (CU).

Per le verifiche dettagliate di ogni parte strutturale si rimanda al capitolo §7 delle NTC 2018.

MANDATARIA HUB ENGINEERING <small>CONSORZIO STABILE SOCIETÀ CONSORTILE & S.R.L.</small>		MANDANTI HYpro S.P.A.		LINEA PESCARA – BARI RADDOPPIO DELLA TRATTA FERROVIARIA TERMOLI-LESINA LOTTO 2 e 3 – RADDOPPIO TERMOLI - RIPALTA										
VI15 da km 22+780,80 a km 23+265,80: Relazione di calcolo Spalla S2				COMMESSA	LOTTO	FASE	ENTE	TIPO DOC	OPERA 7 DISCIPLINA			PROGR	REV	FOGLIO
				LI0B	02	E	ZZ	CL	VI	15	04	002	B	22

Tab. 7.3.III – Stati limite di elementi strutturali primari, elementi non strutturali e impianti

STATI LIMITE		CU I	CU II			CU III e IV		
		ST	ST	NS	IM	ST	NS	IM ^(*)
SLE	SLO					RIG		FUN
	SLD	RIG	RIG			RES		
SLU	SLV	RES	RES	STA	STA	RES	STA	STA
	SLC		DUT ^(**)			DUT ^(**)		

^(*) Per le sole CU III e IV, nella categoria Impianti ricadono anche gli arredi fissi.

^(**) Nei casi esplicitamente indicati dalle presenti norme.

Tabella 10 – Schema delle verifiche da attuare per gli elementi strutturali primari in base alla tipologia, allo stato

MANDATARIA 		MANDANTI 		LINEA PESCARA – BARI RADDOPPIO DELLA TRATTA FERROVIARIA TERMOLI-LESINA LOTTO 2 e 3 – RADDOPPIO TERMOLI - RIPALTA								
VI15 da km 22+780,80 a km 23+265,80: Relazione di calcolo Spalla S2		COMMESSA	LOTTO	FASE	ENTE	TIPO DOC	OPERA 7 DISCIPLINA			PROGR	REV	FOGLIO
		LI0B	02	E	ZZ	CL	VI	15	04	002	B	23

5.3 SOFTWARE DI CALCOLO

Sono stati utilizzati i programmi di calcolo elencati nel seguito. La scrivente ha esaminato preliminarmente la documentazione a corredo dei software per valutarne l'affidabilità e soprattutto l'idoneità al caso specifico. Tale documentazione, contiene una esauriente descrizione delle basi teoriche e degli algoritmi impiegati, l'individuazione dei campi d'impiego, nonché casi prova interamente risolti e commentati. Il sottoscritto, inoltre, ha verificato l'affidabilità dei codici di calcolo attraverso un numero significativo di casi prova in cui i risultati dell'analisi numerica sono stati confrontati con soluzioni teoriche.

5.3.1 Analisi strutturale generica

Titolo:



Caratteristiche: Programma di calcolo strutturale agli elementi finiti che esegue il calcolo di strutture spaziali composte da elementi mono e/o bidimensionali anche con non linearità di materiale o con effetti dinamici

Autore: G + D Computing Pty Limited - Sidney NSW 2000 Australia

Distribuzione: HSH srl - Padova Italia

Versione: 2.4.6

5.3.2 Verifiche sezioni strutturali

Titolo:



Caratteristiche: Programma per la verifica di sezioni generiche

Autore: Aztec Informatica – Casole Bruzio, Cosenza

Distribuzione: Aztec Informatica S.r.l.

Versione: 10.05a

MANDATARIA HUB ENGINEERING <small>CONSORZIO STABILE SOCIETÀ CONSORTILE & S.R.L.</small>		MANDANTI HYpro S.P.A.		LINEA PESCARA – BARI RADDOPPIO DELLA TRATTA FERROVIARIA TERMOLI-LESINA LOTTO 2 e 3 – RADDOPPIO TERMOLI - RIPALTA								
VI15 da km 22+780,80 a km 23+265,80: Relazione di calcolo Spalla S2		COMMESSA	LOTTO	FASE	ENTE	TIPO DOC	OPERA 7 DISCIPLINA			PROGR	REV	FOGLIO
		LI0B	02	E	ZZ	CL	VI	15	04	002	B	24

Titolo:

Sezione generica in C.A. e C.A.P.
VERIFICHE A PRESSO-FLESSIONE
Stato Limite Ultimo
Metodo n
Progetto a flessione e taglio di sezione rettangolare
Progetto pilastri in zona sismica

Il modulo Progetto Sezione Rettangolare è stato sviluppato nella tesi di laurea dell'Ing. Davide Pari (2001)

Il modulo Sismica è stato parzialmente sviluppato nella tesi di laurea degli Ingg. Alberto Antonini e Giovanni Tanghetti (2006)

by Prof. Piero Gelfi
VERSIONE 7.8 (novembre 2021)

Aggiornamento sviluppato da Ing. Paolo Bertacchini con il supporto dell'Ordine degli Ingegneri della Provincia di Brescia.
 Supervisione Prof. Giovanni Metelli.

free distribution
vietata la vendita

Caratteristiche: Programma per la verifica di sezioni generiche
 Autore: Prof. Piero Gelfi
 Distribuzione: Distribuzione libera
 Versione: 7.8

MANDATARIA 		MANDANTI 		LINEA PESCARA – BARI RADDOPPIO DELLA TRATTA FERROVIARIA TERMOLI-LESINA LOTTO 2 e 3 – RADDOPPIO TERMOLI - RIPALTA								
VI15 da km 22+780,80 a km 23+265,80: Relazione di calcolo Spalla S2		COMMESSA	LOTTO	FASE	ENTE	TIPO DOC	OPERA 7 DISCIPLINA			PROGR	REV	FOGLIO
		LI0B	02	E	ZZ	CL	VI	15	04	002	B	25

5.4 VALIDAZIONE PROGRAMMI DI CALCOLO

5.4.1 Analisi e verifiche svolte con l'ausilio di codici di calcolo

Ai sensi del §10.2 delle NTC 2008 si dichiara quanto segue.

5.4.2 Tipo di analisi svolta

L'analisi strutturale e le verifiche sono condotte con l'ausilio di più codici di calcolo automatico. La verifica della sicurezza degli elementi strutturali è stata valutata con i metodi della scienza delle costruzioni. Per quanto riguarda i criteri di modellazione e le caratteristiche dei programmi utilizzati si rimanda ai relativi paragrafi.

5.4.3 Affidabilità dei codici di calcolo

Un attento esame preliminare della documentazione a corredo dei software ha consentito di valutarne l'affidabilità. La documentazione fornita dai produttori dei software contiene un'esauriente descrizione delle basi teoriche, degli algoritmi impiegati e l'individuazione dei campi d'impiego. L'affidabilità e la robustezza dei codici di calcolo sono garantite attraverso un numero significativo di casi prova in cui i risultati dell'analisi numerica sono stati confrontati con soluzioni teoriche.

5.4.4 Modalità di presentazione dei risultati

La relazione di calcolo strutturale presenta i dati di calcolo tale da garantirne la leggibilità, la corretta interpretazione e la riproducibilità. La relazione di calcolo illustra in modo esaustivo i dati in ingresso ed i risultati delle analisi in forma tabellare.

5.4.5 Informazioni generali sull'elaborazione

I software prevedono una serie di controlli automatici che consentono l'individuazione di errori di modellazione, di non rispetto di limitazioni geometriche e di armatura e di presenza di elementi non verificati. Il codice di calcolo consente di visualizzare e controllare, sia in forma grafica che tabellare, i dati del modello strutturale, in modo da avere una visione consapevole del comportamento corretto del modello strutturale.

5.4.6 Giudizio motivato di accettabilità dei risultati

I risultati delle elaborazioni sono stati sottoposti a controlli dal sottoscritto utente del software. Tale valutazione ha compreso il confronto con i risultati di semplici calcoli, eseguiti con metodi tradizionali. Inoltre sulla base di considerazioni riguardanti gli stati tensionali e deformativi determinati, si è valutata la validità delle scelte operate in sede di schematizzazione e di modellazione della struttura e delle azioni.

MANDATARIA 		MANDANTI 		LINEA PESCARA – BARI RADDOPPIO DELLA TRATTA FERROVIARIA TERMOLI-LESINA LOTTO 2 e 3 – RADDOPPIO TERMOLI - RIPALTA								
VI15 da km 22+780,80 a km 23+265,80: Relazione di calcolo Spalla S2		COMMESSA	LOTTO	FASE	ENTE	TIPO DOC	OPERA 7 DISCIPLINA			PROGR	REV	FOGLIO
		LI0B	02	E	ZZ	CL	VI	15	04	002	B	26

6. CARATTERIZZAZIONE GEOTECNICA

6.1 CATEGORIA DI SOTTOSUOLO

Dalle indagini sismiche (S35; DHLIA3V08; S37) è possibile determinare la categoria di sottosuolo di riferimento per la definizione dell'azione sismica; per l'opera in esame si assume una categoria di sottosuolo B.

6.2 CAPACITÀ PORTANTE DEI PALI E STRATIGRAFIA DI PROGETTO

Vedi relazioni di calcolo di verifica pali.

MANDATARIA  	LINEA PESCARA – BARI RADDOPPIO DELLA TRATTA FERROVIARIA TERMOLI-LESINA LOTTO 2 e 3 – RADDOPPIO TERMOLI - RIPALTA										
	VI15 da km 22+780,80 a km 23+265,80: Relazione di calcolo Spalla S2	COMMESSA	LOTTO	FASE	ENTE	TIPO DOC	OPERA 7 DISCIPLINA			PROGR	REV
	LI0B	02	E	ZZ	CL	VI	15	04	002	B	27

7. ANALISI DEI CARICHI

7.1 AZIONI PERMANENTI STRUTTURALI (G₁)

Nome	γ_G (Fav / Sfav)	ψ_0	ψ_1	ψ_2
PP (cat. G ₁)	1.00 / 1.30	-	-	-
PP (ponti stradali)	1.00 / 1.35	-	-	-

Per gli elementi in c.a. si considera un peso specifico $\gamma_c = 25 \text{ kN/m}^3$, per gli elementi in acciaio $\gamma_s = 78.5 \text{ kN/m}^3$.

Le azioni permanenti strutturali comprendono il peso proprio delle travi e il peso proprio della soletta.

Per il peso proprio delle travi di lunghezza 24.30 m, si considera un valore pari a 35 kN/m.

Per il peso proprio della soletta, si considera una distribuzione tra le travi secondo la loro posizione trasversale e lunghezza dell'impalcato 25 m. Per valutare gli scarichi agli appoggi delle singole campate, si fa riferimento al modello locale usato per l'analisi trasversale della soletta, vedi relazione di calcolo dell'impalcato in c.a.p. di luce L=25 m, di cui in seguito si riporta un riepilogo degli scarichi e le reazioni totali sui singoli appoggi.

Nome	R ₁ [kN/m]	R ₂ [kN/m]	R ₃ [kN/m]	R ₄ [kN/m]
PP travi	35	35	35	35
PP soletta	52	4	4	52

Reazioni totali appoggio	R ₁ [kN]	R ₂ [kN]	R ₃ [kN]	R ₄ [kN]
PP (cat. G ₁)	1075	475	475	1075

7.2 AZIONI PERMANENTI NON STRUTTURALI (G₂)

Nome	γ_G (Fav / Sfav)	ψ_0	ψ_1	ψ_2
PP (ponti ferroviari)	1.00 / 1.50	-	-	-

Per le valutazioni sul calcolo degli scarichi agli appoggi delle singole campate si fa riferimento all'analisi dei carichi impalcato, che sono ricavate del modello locale usato per l'analisi della soletta, riportate sulla relazione di calcolo dell'impalcato in c.a.p. di luce L=25 m.

Si considera una distribuzione tra le travi secondo la loro posizione trasversale e lunghezza dell'impalcato 25 m. Per valutare gli scarichi agli appoggi delle singole campate, si fa riferimento al modello locale usato per l'analisi trasversale della soletta, vedi relazione di calcolo dell'impalcato in c.a.p. di luce L=25 m, di cui in seguito si riporta un riepilogo degli scarichi e le reazioni totali sui singoli appoggi.

**VI15 da km 22+780,80 a km 23+265,80:
Relazione di calcolo Spalla S2**

COMMESSA	LOTTO	FASE	ENTE	TIPO DOC	OPERA 7 DISCIPLINA			PROGR	REV	FOGLIO
LI0B	02	E	ZZ	CL	VI	15	04	002	B	28

7.2.1 Ballast (G_{2,1})

Nome	R ₁ [kN/m]	R ₂ [kN/m]	R ₃ [kN/m]	R ₄ [kN/m]
Ballast	26	40	40	26

Azione totali	R ₁ [kN]	R ₂ [kN]	R ₃ [kN]	R ₄ [kN]
PP (cat. G _{2,1})	325	500	500	325

7.2.2 Velette (G_{2,2})

Nome	R ₁ [kN/m]	R ₂ [kN/m]	R ₃ [kN/m]	R ₄ [kN/m]
Velette	18	-11	-11	18

Azione totali	R ₁ [kN]	R ₂ [kN]	R ₃ [kN]	R ₄ [kN]
PP (cat. G _{2,1})	225	-138	-138	225

7.2.3 Arredi (G_{2,3})

Nome	R ₁ [kN/m]	R ₂ [kN/m]	R ₃ [kN/m]	R ₄ [kN/m]
Arredi	34	-18	-18	34

Azione totali	R ₁ [kN]	R ₂ [kN]	R ₃ [kN]	R ₄ [kN]
PP (cat. G _{2,1})	425	-225	-225	425

7.2.4 Barriere antirumore (G_{2,4})

Nome	R ₁ [kN/m]	R ₂ [kN/m]	R ₃ [kN/m]	R ₄ [kN/m]
Barriere	46	-26	-26	46

Azione totali	R ₁ [kN]	R ₂ [kN]	R ₃ [kN]	R ₄ [kN]
PP (cat. G _{2,1})	575	-325	-325	575

MANDATARIA 		MANDANTI 		LINEA PESCARA – BARI RADDOPPIO DELLA TRATTA FERROVIARIA TERMOLI-LESINA LOTTO 2 e 3 – RADDOPPIO TERMOLI - RIPALTA										
VI15 da km 22+780,80 a km 23+265,80: Relazione di calcolo Spalla S2				COMMESSA	LOTTO	FASE	ENTE	TIPO DOC	OPERA 7 DISCIPLINA			PROGR	REV	FOGLIO
				LI0B	02	E	ZZ	CL	VI	15	04	002	B	29

7.3 RITIRO DEL CALCESTRUZZO (E₂)

Nome	Tipo	γ_{e2} (Fav / Sfav)	ψ_0	ψ_1	ψ_2
RITIRO (ponti ferroviari)	Ritiro, viscosità, cedimenti imposti	EQU 0.00 / 1.20 (A1) 0.00 / 1.20 (A2) 0.00 / 1.00	-	-	-

Dato che il ritiro dipende dal tempo di maturazione del calcestruzzo, dalla resistenza e dalle condizioni ambientali, gli effetti possono evidenziarsi sia in fase di costruzione sulla sezione mista composta da due materiali di diverso modulo elastico (ritiro primario) sia a lungo termine sulla statica globale dell'impalcato (ritiro secondario).

Nel primo caso l'accorciamento primario della soletta determina l'insorgenza di tensioni di scorrimento all'interfaccia soletta-trave e uno stato di pressoflessione della sezione mista.

Nel secondo caso l'accorciamento secondario della soletta determina l'insorgenza di reazioni iperstatiche sulla statica globale dell'impalcato.

Nel caso in cui l'impalcato presenti uno schema isostatico, il ritiro secondario viene interamente assorbito dalle sezioni resistenti longitudinali con l'insorgenza di sole deformazioni cinematiche e nessuna tensione aggiuntiva, pertanto tale azione non viene trattata direttamente per il calcolo delle sottostrutture in oggetto.

MANDATARIA HUB ENGINEERING <small>CONSORZIO STABILE SOCIETÀ CONSORTILE & S.R.L.</small>	MANDANTI HYpro S.P.A.	LINEA PESCARA – BARI RADDOPPIO DELLA TRATTA FERROVIARIA TERMOLI-LESINA LOTTO 2 e 3 – RADDOPPIO TERMOLI - RIPALTA										
		VI15 da km 22+780,80 a km 23+265,80: Relazione di calcolo Spalla S2	COMMESSA LI0B	LOTTO 02	FASE E	ENTE ZZ	TIPO DOC CL	OPERA 7 DISCIPLINA VI 15 04			PROGR 002	REV B


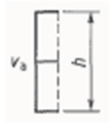
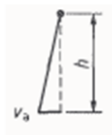

7.4 SPINTA DEL TERRENO (G₃)

I valori delle spinte vengono computate automaticamente dai software secondo le metodologie seguenti, per ulteriori approfondimenti si rimanda direttamente al manuale d'uso.

Nome	Tipo	γ _{G1} (Fav / Stav)	ψ ₀	ψ ₁	ψ ₂
TERRENO, FALDA	Permanente	EQU 0.90 / 1.10 (A1) 1.00 / 1.30 (A2) 1.00 / 1.00	-	-	-

Le condizioni di spinta sono assunte in base agli spostamenti delle pareti, ovvero del grado di mobilitazione necessario per innescare il regime di spinta, vedi a riguardo le indicazioni contenute nell'EC7.

Table C.1 — Ratios v_s/h

Kind of wall movement		v_s/h loose soil %	v_s/h dense soil %
a)		0,4 to 0,5	0,1 to 0,2
b)		0,2	0,05 to 0,1
c)		0,8 to 1,0	0,2 to 0,5
d)		0,4 to 0,5	0,1 to 0,2

where:
 v_s is the wall motion to mobilise active earth pressure
 h is the height of the wall

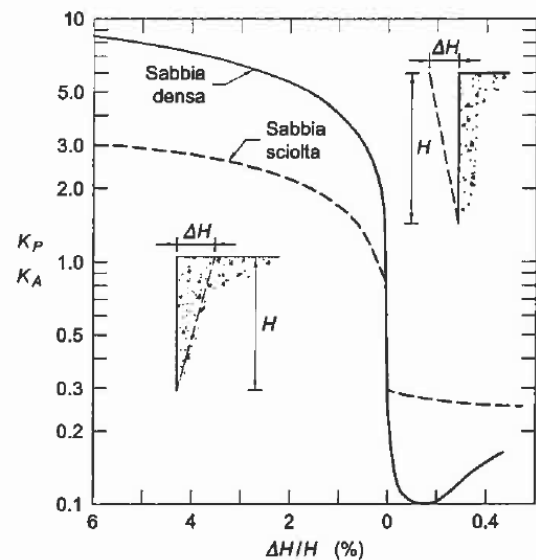


Figura 5 - Spostamenti relativi muro-terreno necessari per il raggiungimento di un regime di spinta attiva secondo EC7 Annex C e Lancellotta (1999)

7.4.1 Spinta a riposo

La spinta statica totale sulla parete S_{0h} si calcola secondo le seguenti relazioni:

$$S_{0h} = \int_0^H \sigma_h(z) dz \quad \text{spinta a riposo statica totale sul muro}$$

MANDATARIA HUB ENGINEERING <small>CONSORZIO STABILE SOCIETÀ CONSORTILE & R.L.</small>		MANDANTI HYpro S.P.A.		LINEA PESCARA – BARI RADDOPPIO DELLA TRATTA FERROVIARIA TERMOLI-LESINA LOTTO 2 e 3 – RADDOPPIO TERMOLI - RIPALTA										
VI15 da km 22+780,80 a km 23+265,80: Relazione di calcolo Spalla S2				COMMESSA	LOTTO	FASE	ENTE	TIPO DOC	OPERA 7 DISCIPLINA			PROGR	REV	FOGLIO
				LI0B	02	E	ZZ	CL	VI	15	04	002	B	31

$$\sigma_h(z) = \sigma_v(z) \cdot k_0$$

pressione orizzontale di spinta del terreno

Per piano campagna orizzontale si fa riferimento alla seguente correlazione (Jaky, 1944 e Schmidt, 1966):

$$k_0 = 1 - \sin(\varphi') \cdot OCR^\alpha$$

$$OCR = 1$$

grado di sovraconsolidazione

$$\alpha = 0.5$$

Per pendio inclinato (β) si può considerare che la spinta a riposo sia parallela al p.c. e che il coefficiente k_0 valga:

$$k_0 = (1 - \sin(\varphi') \cdot OCR^\alpha) \cdot (1 + \sin \beta)$$

$$\beta = 0$$

angolo inclinazione tra profilo e piano orizzontale

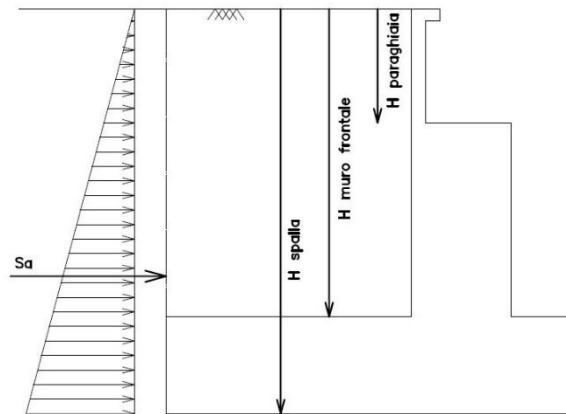


Figura 6: Schema per il calcolo degli effetti della spinta statica del terreno

7.4.2 Spinta attiva

Il coefficiente di spinta attiva (K_a) viene valutato ricorrendo alla correlazione generale di Mueller-Breslau basata sulla teoria di Coulomb e riferita a superfici di rottura piane. In questo caso l'approssimazione (rispetto a quanto si sarebbe ottenuto considerando superfici di rottura di geometria complessa) risulta molto contenuta e a favore di sicurezza.

La spinta attiva statica totale sulla parete S_{ah} si calcola secondo le seguenti relazioni:

$$S_{ah} = \int_0^H \sigma_h(z) dz$$

spinta attiva statica totale sul muro

$$K_a = \frac{\sin^2(\psi + \varphi)}{\sin^2 \psi \cdot \sin(\psi - \delta) \left[1 + \sqrt{\frac{\sin(\varphi + \delta) \cdot \sin(\varphi - \beta)}{\sin(\psi - \delta) \cdot \sin(\psi + \beta)}} \right]^2}$$

coefficiente di spinta attiva

$$\sigma_h(z) = \sigma_v(z) \cdot K_a - 2 \cdot c \cdot \sqrt{K_a}$$

pressione orizzontale di spinta del terreno

$$\sigma_v(z)$$

pressione verticale del terreno

$$H$$

altezza della parete di spinta

$$\varphi$$

angolo attrito del terreno

$$\delta = 0$$

attrito tra terreno e parete

MANDATARIA 		MANDANTI 		LINEA PESCARA – BARI RADDOPPIO DELLA TRATTA FERROVIARIA TERMOLI-LESINA LOTTO 2 e 3 – RADDOPPIO TERMOLI - RIPALTA										
VI15 da km 22+780,80 a km 23+265,80: Relazione di calcolo Spalla S2				COMMESSA	LOTTO	FASE	ENTE	TIPO DOC	OPERA 7 DISCIPLINA			PROGR	REV	FOGLIO
				LI0B	02	E	ZZ	CL	VI	15	04	002	B	32

$$\psi = 90^\circ$$

 β
 c

angolo tra parete di spinta e piano orizzontale

angolo inclinazione tra profilo e piano orizzontale

coesione del terreno

Nel caso in cui a monte della parete sia presente la falda il diagramma delle pressioni sulla parete risulta modificato a causa della sottospinta che l'acqua esercita sul terreno. Il peso di volume del terreno al di sopra della linea di falda non subisce variazioni, viceversa al di sotto del livello di falda va considerato il peso di volume di galleggiamento:

$$\gamma' = \gamma_{\text{sat}} - \gamma_w$$

 γ_{sat}
 γ_w

$$S_{\text{ah}} = \int_0^H \sigma'_h(z) dz + E_{\text{ws}} + E_{\text{wd}}$$

$$\sigma'_h(z) = \sigma'_h(z) \cdot K_a - 2 \cdot c \cdot \sqrt{K_a}$$

 $\sigma'_v(z)$
 E_{ws}
 E_{wd}

peso di volume saturo del terreno (dipendente dall'indice dei pori)

peso di volume dell'acqua

spinta attiva statica totale efficace sul muro

pressione orizzontale di spinta efficace del terreno

pressione verticale efficace del terreno

spinta idrostatica

spinta idrodinamica

MANDATARIA HUB ENGINEERING <small>CONSORZIO STABILE SOCIETÀ CONSORTILE & R.L.</small>		MANDANTI HYpro S.P.A.		LINEA PESCARA – BARI RADDOPPIO DELLA TRATTA FERROVIARIA TERMOLI-LESINA LOTTO 2 e 3 – RADDOPPIO TERMOLI - RIPALTA										
VI15 da km 22+780,80 a km 23+265,80: Relazione di calcolo Spalla S2				COMMESSA	LOTTO	FASE	ENTE	TIPO DOC	OPERA 7 DISCIPLINA			PROGR	REV	FOGLIO
				LI0B	02	E	ZZ	CL	VI	15	04	002	B	33

7.5 AZIONI VARIABILI VERTICALI (Q)

7.5.1 Azioni da traffico ferroviario (Q₁)

Nome	Tipo	Y _Q (Fav / Sfav)		ψ ₀	ψ ₁	ψ ₂
AZIONI VERTICALI	Variabili	EQU 0.00 / 1.45	Singole	0.80	0.50	0.00
	da traffico	(A1) 0.00 / 1.45	gr.1	0.80	0.80	0.00
	ferroviario	(A2) 0.00 / 1.25	gr.2	-	-	-
			gr.3	0.80	0.80	0.00
			gr.4	1.00	1.00	0.00

Si considerano i sovraccarichi ferroviari in accordo al §5.2.2.3 delle NTC2008, per mezzo di diversi modelli di carico rappresentativi delle tipologie di traffico ferroviario, normale o pesante. I valori dei suddetti carichi saranno poi moltiplicati per un coefficiente di adattamento α , variabile in ragione della tipologia dell'infrastruttura (ferrovie ordinarie, ferrovie leggere, metropolitane, ecc.). Per i requisiti S.T.I. imposti sulla tratta ferroviaria in progetto, per le categorie di traffico passeggeri P2/P4 il coefficiente $\alpha = 1.0$ e per le categorie merci F1 il coefficiente $\alpha = 1.0$.

Nei dimensionamenti per le opere in oggetto, rimanendo a favore di sicurezza, si considerano i coefficienti imposti dalle NTC2008, superiori o uguali a quelli S.T.I., come descritto nei paragrafi successivi per i singoli modelli di carico.

Tabella 11

Fattore alfa (α) per la progettazione di strutture nuove

Tipo di traffico	Valore minimo del fattore alfa (α)
P1, P2, P3, P4	1,0
P5	0,91
P6	0,83
P1520	Punto in sospeso
P1600	1,1
F1, F2, F3	1,0
F4	0,91
F1520	Punto in sospeso
F1600	1,1

Figura 7 – Specifiche Tecniche di Interoperabilità (S.T.I.) - Requisiti carichi da traffico ferroviario

MANDATARIA HUB ENGINEERING <small>CONSORZIO STABILE SOCIETÀ CONSORTILE A R.L.</small>	MANDANTI HYpro S.P.A.	LINEA PESCARA – BARI RADDOPPIO DELLA TRATTA FERROVIARIA TERMOLI-LESINA LOTTO 2 e 3 – RADDOPPIO TERMOLI - RIPALTA										
		VI15 da km 22+780,80 a km 23+265,80: Relazione di calcolo Spalla S2	COMMESSA LI0B	LOTTO 02	FASE E	ENTE ZZ	TIPO DOC CL	OPERA 7 DISCIPLINA VI 15 04			PROGR 002	REV B

7.5.1.1 Modello di carico LM71

Il treno LM71 è schematizzato da n°4 assi da 250 kN su una lunghezza di 6.40 m e da un carico distribuito di 80 kN/m in entrambe le direzioni per una lunghezza illimitata.

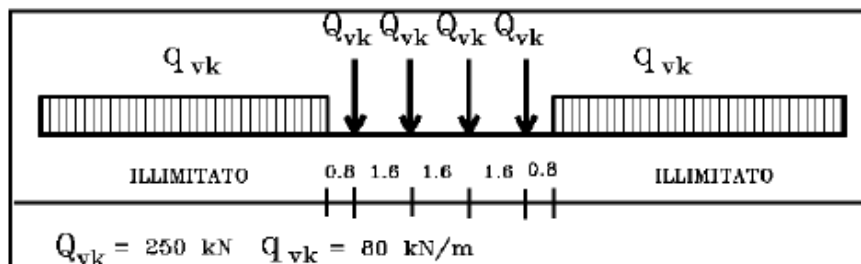


Fig. 5.2.1 - Modello di carico LM71

Figura 8 – Schema treno di carico LM71

Per questo modello è prevista una eccentricità del carico rispetto all'asse del binario, dipendente dallo scartamento s per tenere conto dello spostamento dei carichi. Per $s=1435$ mm risulta pari a $s/18=80$ mm. Per la progettazione di ferrovie ordinarie il valore del coefficiente di adattamento è $\alpha=1.1$.

7.5.1.2 Modello di carico SW

Per tale modello di carico, sono considerate due distinte configurazioni, il modello di carico SW/0 schematizza gli effetti statici prodotti dal traffico ferroviario normale per travi continue (utilizzato solo per travi continue qualora più sfavorevole dell'LM71), il modello di carico SW/2 schematizza gli effetti statici prodotti dal traffico ferroviario pesante.

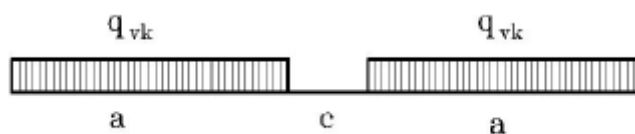


Fig. 5.2.2 -Modelli di carico SW

Tab. 5.2.I - Caratteristiche Modelli di Carico SW

Tipo di Carico	q_{vk} [kN/m]	a [m]	c [m]
SW/0	133	15,0	5,3
SW/2	150	25,0	7,0

Figura 9 – Schema treno di carico SW

Il valore del coefficiente di adattamento da adottarsi nella progettazione delle ferrovie ordinarie è pari, rispettivamente, a $\alpha=1.1$ per il modello di carico SW/0 ed a $\alpha=1.0$ per il modello di carico SW/2.

MANDATARIA HUB ENGINEERING <small>CONSORZIO STABILE SOCIETÀ CONSORTILE A R.L.</small>		MANDANTI HYpro S.p.A.		LINEA PESCARA – BARI RADDOPPIO DELLA TRATTA FERROVIARIA TERMOLI-LESINA LOTTO 2 e 3 – RADDOPPIO TERMOLI - RIPALTA										
VI15 da km 22+780,80 a km 23+265,80: Relazione di calcolo Spalla S2				COMMESSA	LOTTO	FASE	ENTE	TIPO DOC	OPERA 7 DISCIPLINA			PROGR	REV	FOGLIO
				LI0B	02	E	ZZ	CL	VI	15	04	002	B	35

7.5.1.3 Effetti dinamici

Le azioni statiche dei modelli di carico devono essere incrementate per tenere conto della natura dinamica del transito dei convogli, gli effetti di amplificazione dinamica dovranno valutarsi:

- per le usuali tipologie di ponti e per velocità di percorrenza non superiore a 200 km/h, quando la frequenza propria della struttura ricade all'interno del fuso indicato nella figura seguente è sufficiente utilizzare i coefficienti dinamici Φ definiti in §5.2.2.2.3 D.M. 14/01/2008. Come riportato in § 2.5.1.4.2.5.2 del MdP, si adotta il coefficiente dinamico $\Phi_3=1.00$ poiché si sta studiando il comportamento di una spalla;
- per le usuali tipologie di ponti, ove la velocità di percorrenza sia superiore a 200 km/h e quando la frequenza propria della struttura non ricade all'interno del fuso indicato nella figura seguente, e comunque per le tipologie non convenzionali (ponti strallati, ponti sospesi, ponti di grande luce, ponti metallici difformi dalle tipologie in uso in ambito ferroviario, ecc.) dovrà effettuarsi una analisi dinamica adottando convogli "reali" e parametri di controllo specifici dell'infrastruttura e del tipo di traffico ivi previsto, per ulteriori dettagli fare riferimento alle valutazioni contenute nella relazione di calcolo degli impalcati presenti sulla sottostruttura in oggetto.

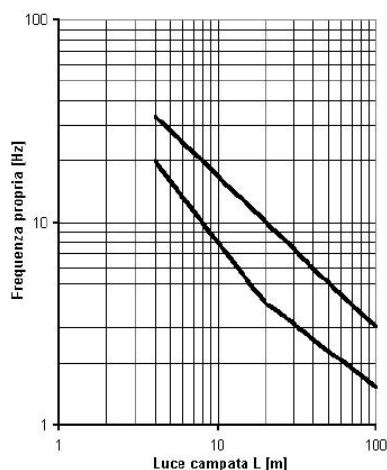
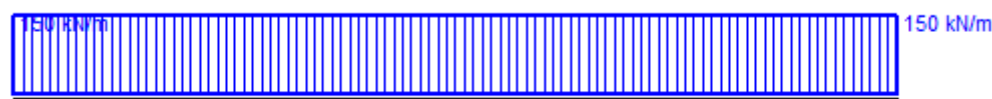


Fig. 5.2.7 - Limiti delle frequenze proprie n_o in Hz in funzione della luce della campata

Figura 10 – Limiti frequenze proprie per il calcolo del coefficiente dinamico Φ

7.5.1.4 Calcolo per campata $L=25\text{ m}$

Gli effetti sui singoli impalcati indotti dalle azioni da traffico, nelle varie combinazioni di carico accidentale ferroviario associate, vengono valutati nella condizione di massimo taglio all'appoggio mediante dei carichi equivalenti taglianti, come di seguiti riportato.



MANDATARIA 	MANDANTI 	LINEA PESCARA – BARI RADDOPPIO DELLA TRATTA FERROVIARIA TERMOLI-LESINA LOTTO 2 e 3 – RADDOPPIO TERMOLI - RIPALTA										
		VI15 da km 22+780,80 a km 23+265,80: Relazione di calcolo Spalla S2	COMMESSA LI0B	LOTTO 02	FASE E	ENTE ZZ	TIPO DOC CL	OPERA 7 DISCIPLINA VI 15 04			Progr 002	Rev B

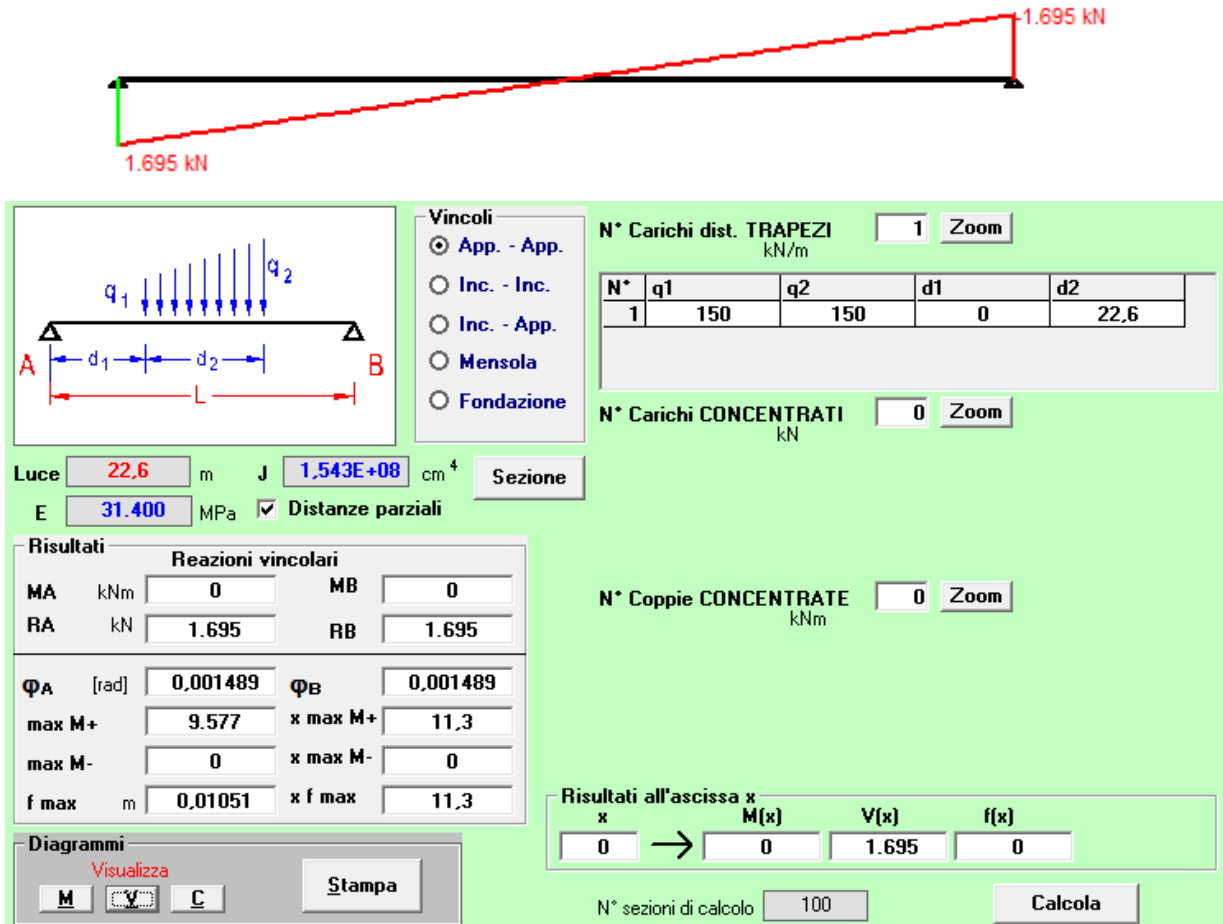


Figura 11 – Condizione di massimo taglio all'appoggio – Modello di carico SW/2

$$V_{\max} = 1695 \text{ kN}$$

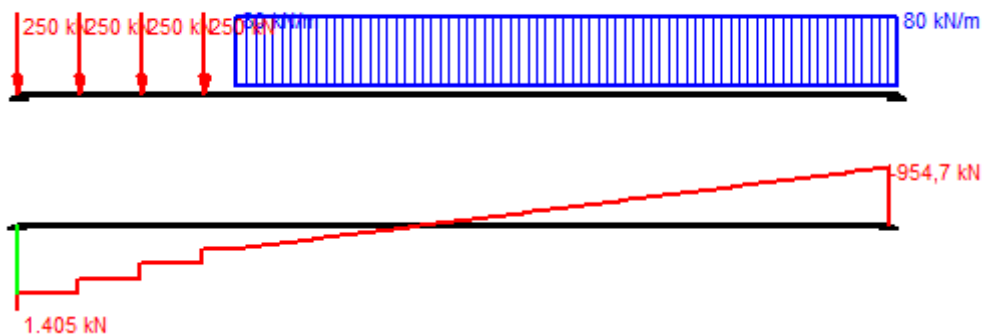
$$q'_v = V_{\max} / (L/2) = 1695 / (22.60/2) = 150.0 \text{ kN}$$

$$Q_1 = \Phi_3 * \alpha * q'_v * L/2 = 1.00 * 1.00 * 150.0 * 22.60/2 = 1695.0 \text{ kN}$$

(Q1_SW/2 B1)

Carico equivalente tagliante

Azione verticale applicata con e=+2.00 m



MANDATARIA  MANDANTI 	LINEA PESCARA – BARI RADDOPPIO DELLA TRATTA FERROVIARIA TERMOLI-LESINA LOTTO 2 e 3 – RADDOPPIO TERMOLI - RIPALTA										
	VI15 da km 22+780,80 a km 23+265,80: Relazione di calcolo Spalla S2	COMMESSA	LOTTO	FASE	ENTE	TIPO DOC	OPERA 7 DISCIPLINA			PROGR	REV
	LI0B	02	E	ZZ	CL	VI	15	04	002	B	37

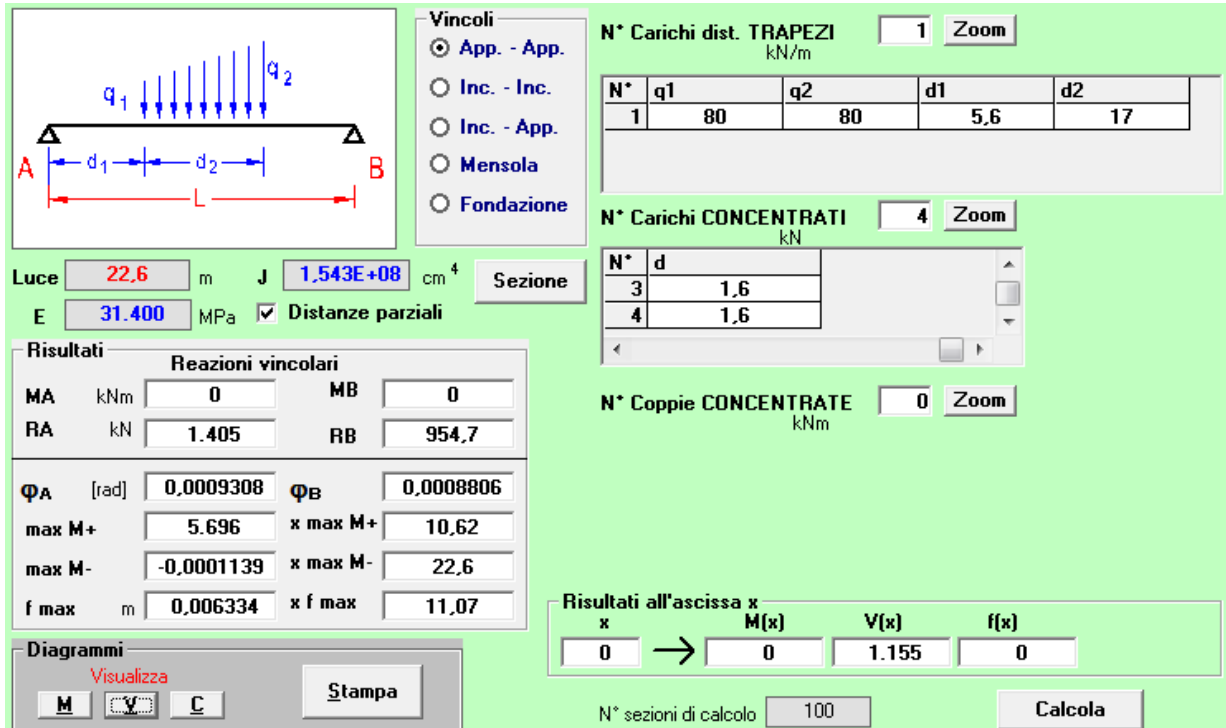


Figura 12 – Condizione di massimo taglio all'appoggio – Modello di carico LM71

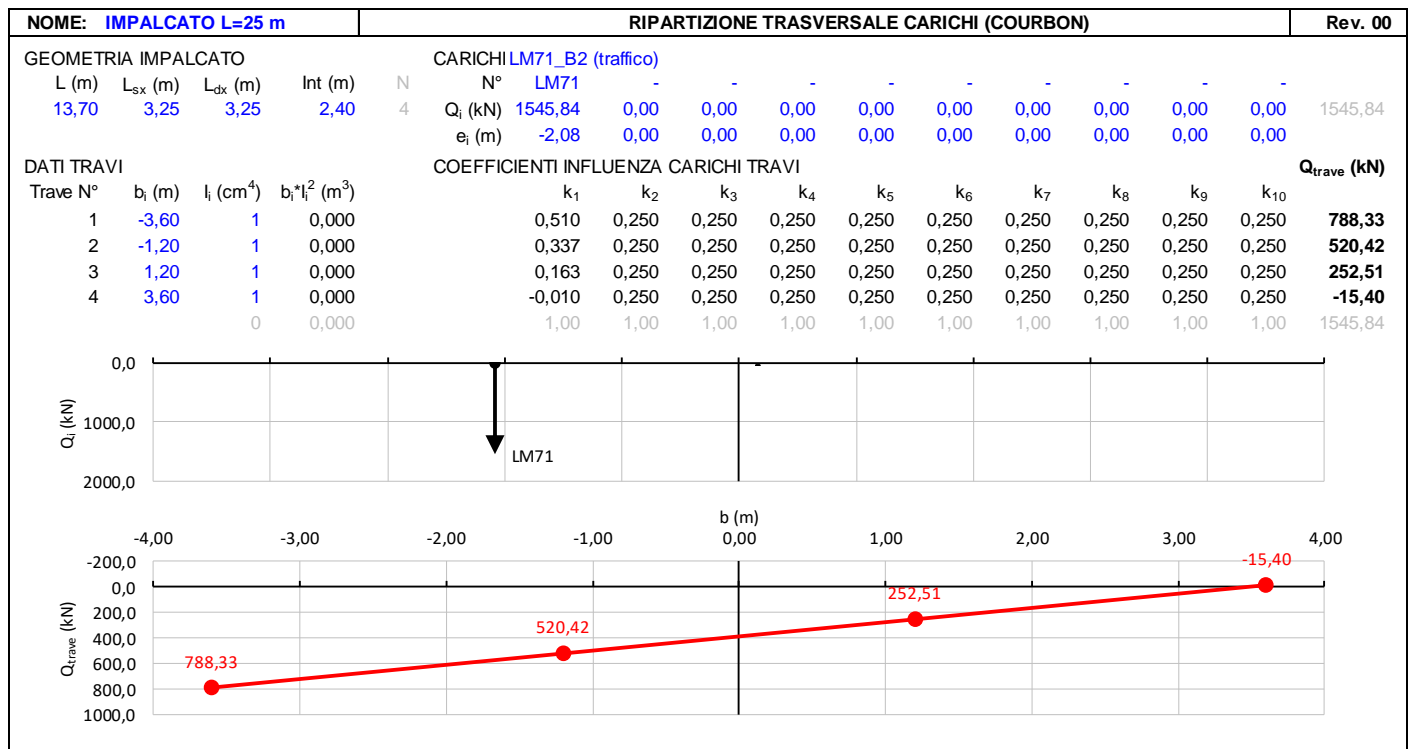
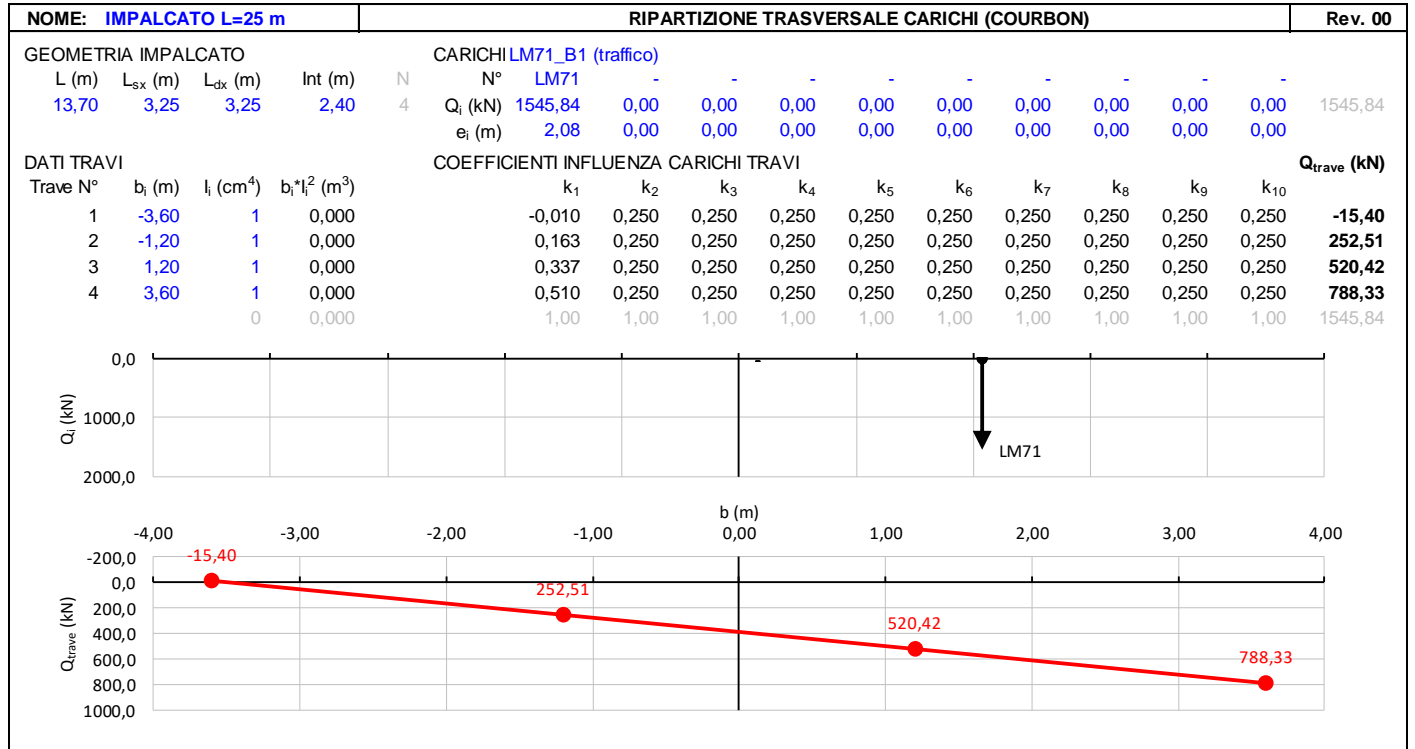
$V_{max} = 1405 \text{ kN}$ (Q1_LM71 B1)
 $q'_v = V_{max} / (L/2) = 1405 / (22.60/2) = 124.3 \text{ kN}$ Carico equivalente tagliante
 $Q_1 = \Phi_3 \cdot \alpha \cdot q'_v \cdot L/2 = 1.00 \cdot 1.10 \cdot 124.3 \cdot 22.60/2 = 1545.1 \text{ kN}$ Azione verticale applicata con $e=+2.08 \text{ m}$

$V_{max} = 1405 \text{ kN}$ (Q1_LM71 B2)
 $q'_v = V_{max} / (L/2) = 1405 / (22.60/2) = 124.3 \text{ kN}$ Carico equivalente tagliante
 $Q_1 = \Phi_3 \cdot \alpha \cdot q'_v \cdot L/2 = 1.00 \cdot 1.10 \cdot 124.3 \cdot 22.60/2 = 1545.1 \text{ kN}$ Azione verticale applicata con $e=-2.08 \text{ m}$

Le precedenti azioni vengono rigidamente distribuite alla Courbon calcolando in prossimità degli appoggi trave le reazioni verticali di equilibrio.

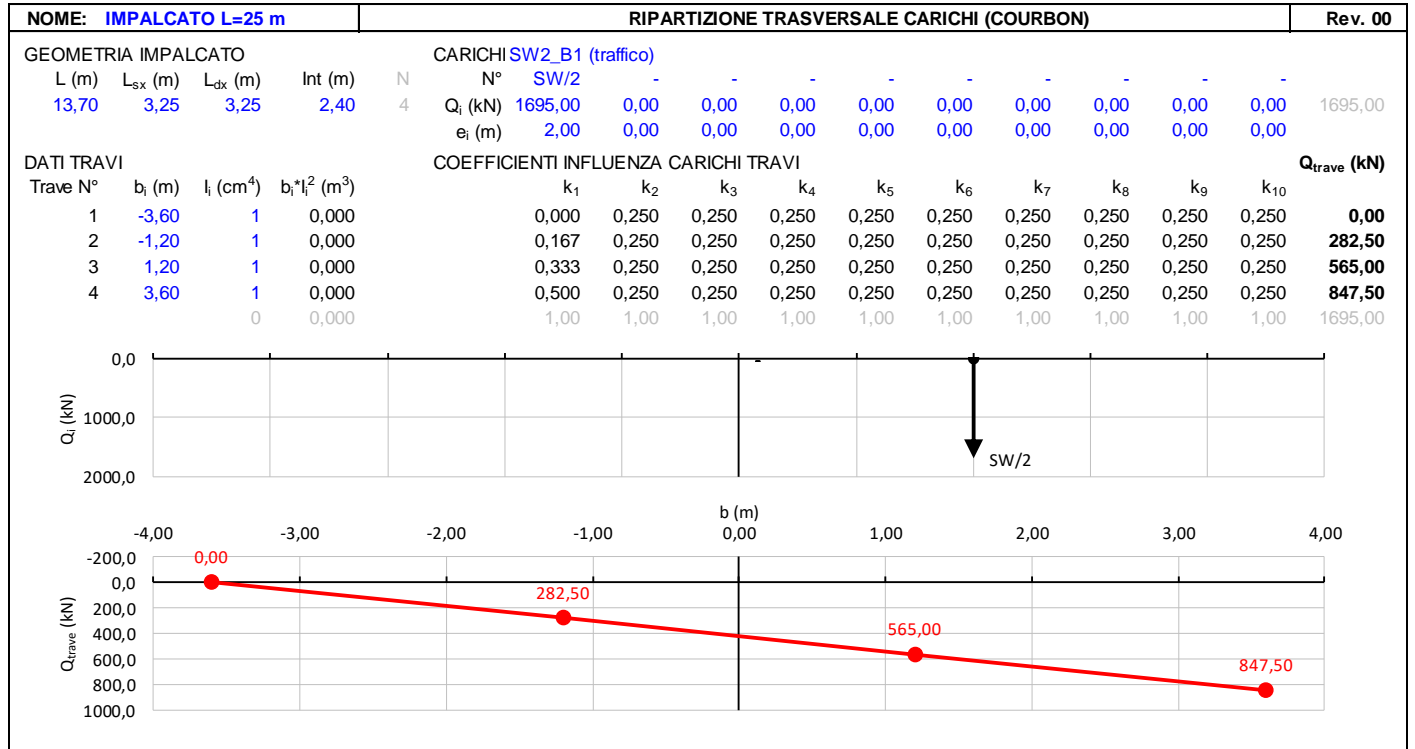
**VI15 da km 22+780,80 a km 23+265,80:
Relazione di calcolo Spalla S2**

COMMESSA	LOTTO	FASE	ENTE	TIPO DOC	OPERA 7 DISCIPLINA			PROGR	REV	FOGLIO
LI0B	02	E	ZZ	CL	VI	15	04	002	B	38



**VI15 da km 22+780,80 a km 23+265,80:
Relazione di calcolo Spalla S2**

COMMESSA	LOTTO	FASE	ENTE	TIPO DOC	OPERA 7 DISCIPLINA			PROGR	REV	FOGLIO
LI0B	02	E	ZZ	CL	VI	15	04	002	B	39



7.5.1.5 Decentramento dei carichi in tracciato curvilineo

Ai fini del calcolo delle sottostrutture, per un tracciato di lunghezza $L=25$ m, raggio massimo ipotetico di $R=2200$ m, si ha un decentramento del carico pari a circa $e=R-\sqrt{(R^2-L^2/4)}=0,035$ m, pertanto si ritiene tale effetto trascurabile in relazione alle dimensioni geometriche della sezione di appoggio.

7.5.1.6 Carichi sui marciapiedi

In accordo al punto 5.2.2.3.2, il carico non deve considerarsi contemporaneo al transito dei convogli ferroviari e viene quindi utilizzato solo per le verifiche locali della soletta di impalcato.

MANDATARIA HUB ENGINEERING <small>CONSORZIO STABILE SOCIETÀ CONSORTILE A R.L.</small>		MANDANTI HYpro S.P.A.		LINEA PESCARA – BARI RADDOPPIO DELLA TRATTA FERROVIARIA TERMOLI-LESINA LOTTO 2 e 3 – RADDOPPIO TERMOLI - RIPALTA										
VI15 da km 22+780,80 a km 23+265,80: Relazione di calcolo Spalla S2				COMMESSA	LOTTO	FASE	ENTE	TIPO DOC	OPERA 7 DISCIPLINA			PROGR	REV	FOGLIO
				LI0B	02	E	ZZ	CL	VI	15	04	002	B	40

7.5.1.7 Numero di treni contemporanei

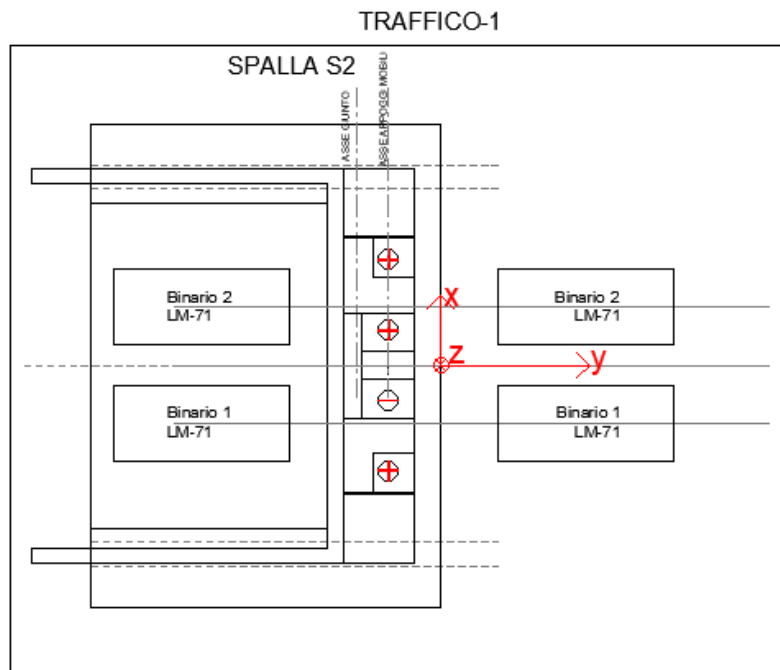
Nella progettazione andrà considerata l'eventuale contemporaneità di più treni, in genere sia per traffico normale (LM71) sia per traffico pesante (SW/2). Le azioni da traffico considerano una configurazione in campata, davanti alla spalla, in cui si massimizza il taglio all'appoggio.

Dietro la spalla si è considerato un sovraccarico da traffico generato dalla presenza del treno di carico LM71 su entrambi i binari dietro la spalla, che si considera in contemporaneo alla presenza dei treni di carico in campata.

Le condizioni da traffico in campata valutate per le spalle sono descritte in seguito:

- Traffico-1: Due treni di carico in contemporaneo: LM71 sul binario 1 "+" LM71 sul binario 2.
- Traffico-2: Due treni di carico in contemporaneo: SW2 sul binario 1 "+" LM71 sul binario 2
- Traffico-3: Un treno di carico: SW2 sul binario 1.

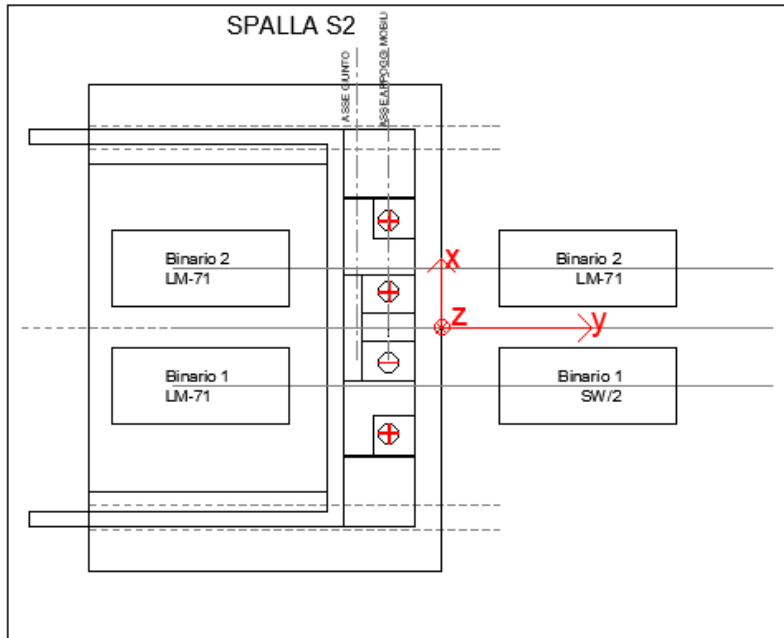
Nella figura successiva vengono riportati gli schemi considerati:



**VI15 da km 22+780,80 a km 23+265,80:
Relazione di calcolo Spalla S2**

COMMESSA	LOTTO	FASE	ENTE	TIPO DOC	OPERA 7 DISCIPLINA			PROGR	REV	FOGLIO
LI0B	02	E	ZZ	CL	VI	15	04	002	B	41

TRAFFICO-2



TRAFFICO-3

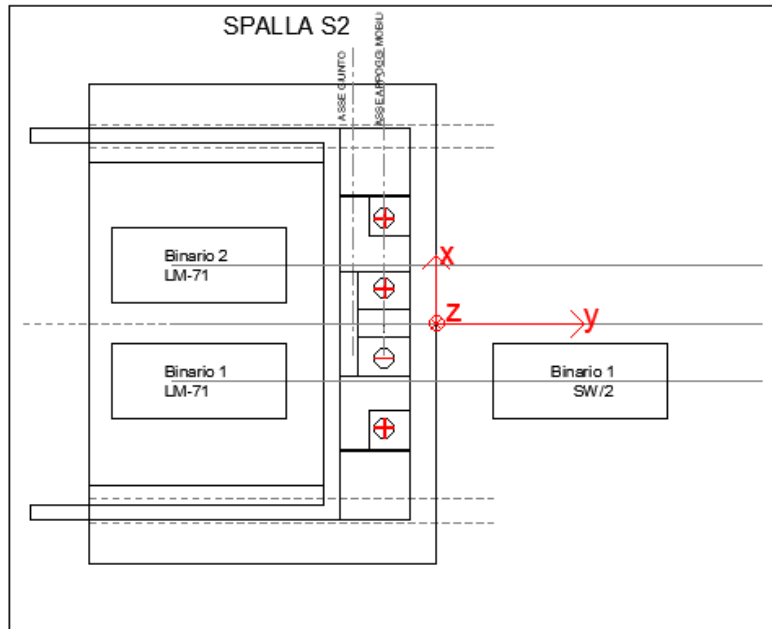


Figura 13 – Schemi di contemporaneità dei treni sui binari

MANDATARIA HUB ENGINEERING <small>CONSORZIO STABILE SOCIETÀ CONSORTILE A R.L.</small>		MANDANTI HYpro S.P.A.		LINEA PESCARA – BARI RADDOPPIO DELLA TRATTA FERROVIARIA TERMOLI-LESINA LOTTO 2 e 3 – RADDOPPIO TERMOLI - RIPALTA										
VI15 da km 22+780,80 a km 23+265,80: Relazione di calcolo Spalla S2				COMMESSA	LOTTO	FASE	ENTE	TIPO DOC	OPERA 7 DISCIPLINA			PROGR	REV	FOGLIO
				LI0B	02	E	ZZ	CL	VI	15	04	002	B	42

Tab. 5.2.III - Carichi mobili in funzione del numero di binari presenti sul ponte

Numero di binari	Binari Carichi	Traffico normale		Traffico pesante ⁽²⁾
		caso a ⁽¹⁾	caso b ⁽¹⁾	
1	Primo	1,0 (LM 71''+"SW/0)	-	1,0 SW/2
2	Primo	1,0 (LM 71''+"SW/0)	-	1,0 SW/2
	secondo	1,0 (LM 71''+"SW/0)	-	1,0 (LM 71''+"SW/0)
≥3	Primo	1,0 (LM 71''+"SW/0)	0,75 (LM 71''+"SW/0)	1,0 SW/2
	secondo	1,0 (LM 71''+"SW/0)	0,75 (LM 71''+"SW/0)	1,0 (LM 71''+"SW/0)
	Altri	-	0,75 (LM 71''+"SW/0)	-

⁽¹⁾ LM71 ''+" SW/0 significa considerare il più sfavorevole fra i treni LM 71, SW/0

⁽²⁾ Salvo i casi in cui sia esplicitamente escluso

Figura 14 – Carichi mobili da considerare nel caso di strutture a più binari

MANDATARIA HUB ENGINEERING <small>CONSORZIO STABILE SOCIETÀ CONSORTILE S.R.L.</small>		MANDANTI HYpro S.P.A.		LINEA PESCARA – BARI RADDOPPIO DELLA TRATTA FERROVIARIA TERMOLI-LESINA LOTTO 2 e 3 – RADDOPPIO TERMOLI - RIPALTA										
VI15 da km 22+780,80 a km 23+265,80: Relazione di calcolo Spalla S2				COMMESSA	LOTTO	FASE	ENTE	TIPO DOC	OPERA 7 DISCIPLINA			PROGR	REV	FOGLIO
				LI0B	02	E	ZZ	CL	VI	15	04	002	B	43

7.6 AZIONI ECCEZIONALI (A)

7.6.1 Deragliamento al di sopra del ponte

In accordo col §2.5.1.5 del Manuale di progettazione delle opere civili, parte II – sezione 2 – ponti e strutture, che riprende il contenuto del §5.2.2.9.2 delle NTC08, oltre a considerare i modelli di carico verticale da traffico ferroviario, ai fini della verifica della struttura si dovrà tenere conto della possibilità alternativa che un locomotore o un carro pesante deragli, esaminando separatamente le due seguenti situazioni di progetto.

7.6.1.1 Impalcato in c.a.p. di luce $L=25\text{ m}$

7.6.1.1.1 Caso 1

Si considerano due carichi verticali lineari $q_{A1d} = 60\text{ kN/m}$ (comprensivo dell'effetto dinamico) ciascuno. Tali carichi saranno posizionati longitudinalmente su una lunghezza di 6,40 m. Trasversalmente i carichi distano fra loro di S (scartamento del binario) e possono assumere tutte le posizioni comprese entro i limiti indicati in Fig. 5.2.12. Per questa condizione sono tollerati danni locali, purché possano essere facilmente riparati, mentre sono da evitare danneggiamenti delle strutture portanti principali.

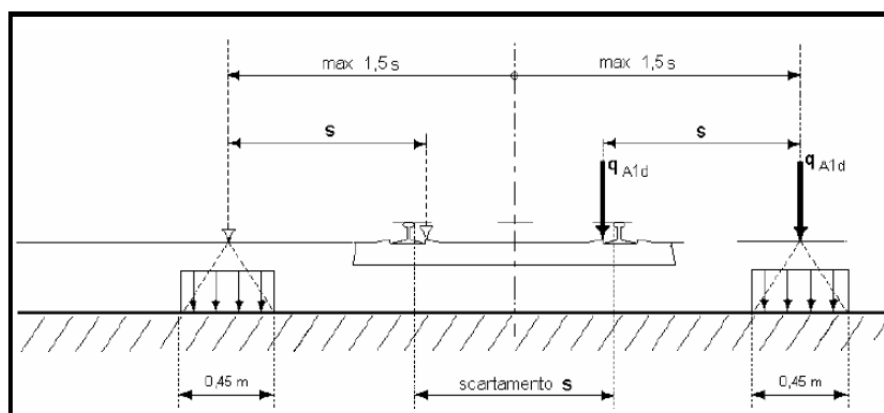
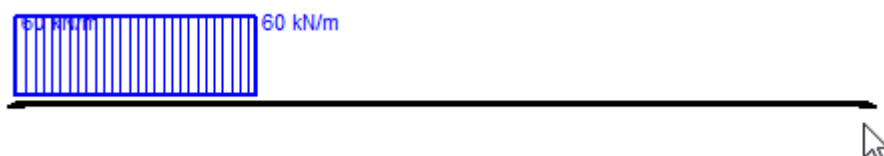


Figura 5.2.12 - Caso 1

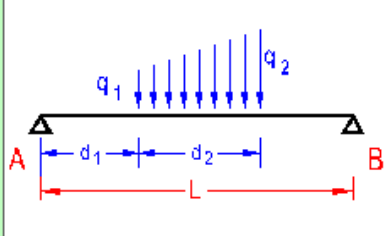
Figura 15 – Azione eccezionale da traffico ferroviario – Deragliamento al di sopra del ponte – Caso 1

Gli effetti sui singoli impalcati indotti dalle azioni da traffico vengono valutati nella condizione di massimo taglio all'appoggio mediante dei carichi equivalenti taglianti, come di seguito riportato.



MANDATARIA 	MANDANTI 	LINEA PESCARA – BARI RADDOPPIO DELLA TRATTA FERROVIARIA TERMOLI-LESINA LOTTO 2 e 3 – RADDOPPIO TERMOLI - RIPALTA									
		VI15 da km 22+780,80 a km 23+265,80: Relazione di calcolo Spalla S2	COMMESSA LI0B	LOTTO 02	FASE E	ENTE ZZ	TIPO DOC CL	OPERA 7 DISCIPLINA VI 15 04			PROGR 002





Vincoli

 App. - App.
 Inc. - Inc.
 Inc. - App.
 Mensola
 Fondazione

N° Carichi dist. TRAPEZI

N°	q1	q2	d1	d2
1	60	60	0	6.4

N° Carichi CONCENTRATI

N° Coppie CONCENTRATE

Luce m J cm⁴ Sezione

E MPa Distanze parziali

Risultati

Reazioni vincolari				
MA	kNm	<input type="text" value="0"/>	MB	<input type="text" value="0"/>
RA	kN	<input type="text" value="329.6"/>	RB	<input type="text" value="54.37"/>

ΦA	[rad]	<input type="text" value="0.0001408"/>	ΦB	<input type="text" value="9.170E-05"/>
max M+		<input type="text" value="905.3"/>	x max M+	<input type="text" value="5.424"/>
max M-		<input type="text" value="0"/>	x max M-	<input type="text" value="0"/>
f max	m	<input type="text" value="0.0007813"/>	x f max	<input type="text" value="9.718"/>

Risultati all'ascissa x

x	M(x)	V(x)	f(x)
0	<input type="text" value="0"/>	<input type="text" value="329.6"/>	<input type="text" value="0"/>

N° sezioni di calcolo

Diagrammi

Visualizza

Figura 16 – Deragliamento al di sopra del ponte – Caso 1

$$V_{\max} = 329.6 \text{ kN}$$

$$q'_v = V_{\max} / (L/2) = 330 / (22.60/2) = 29.2 \text{ kN/m}$$

$$Q_1 = q'_v \cdot L/2 = 29.2 \cdot 22.60/2 = 329.60 \text{ kN}$$

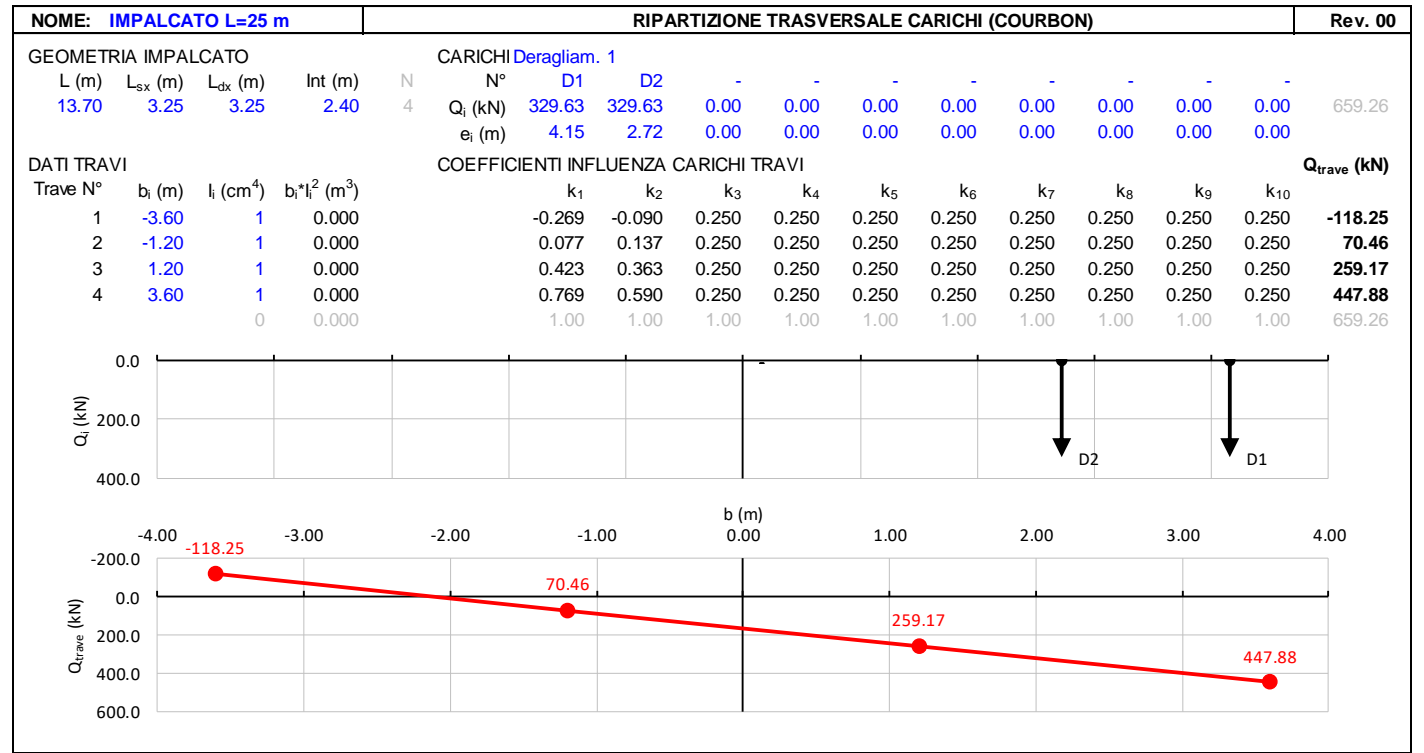
$$Q_1 = q'_v \cdot L/2 = 29.2 \cdot 22.60/2 = 329.60 \text{ kN}$$

Carico equivalente tagliante

$$\text{Azione verticale applicata } e = +2.00 + 1.435 \cdot 1.5 = 4.15 \text{ m}$$

$$\text{Azione verticale applicata } e = +2.00 + 1.435 \cdot 0.5 = 2.72 \text{ m}$$

<p>VI15 da km 22+780,80 a km 23+265,80:</p> <p>Relazione di calcolo Spalla S2</p>	COMMESSA	LOTTO	FASE	ENTE	TIPO DOC	OPERA 7 DISCIPLINA			PROGR	REV	FOGLIO
	LI0B	02	E	ZZ	CL	VI	15	04	002	B	45



7.6.1.1.2 Caso 2

Si considera un unico carico lineare $q_{A2d} = 80 \text{ kN/m} \times 1.4$ esteso per 20,00 m e disposto con una eccentricità massima, lato esterno, di 1,50 s rispetto all'asse del binario (Fig. 5.2.13). Per questa condizione convenzionale di carico andrà verificata la stabilità globale dell'opera, come il ribaltamento d'impalcato, il collasso della soletta, ecc. Per impalcati metallici con armamento diretto, il caso 2 dovrà essere considerato solo per le verifiche globali.

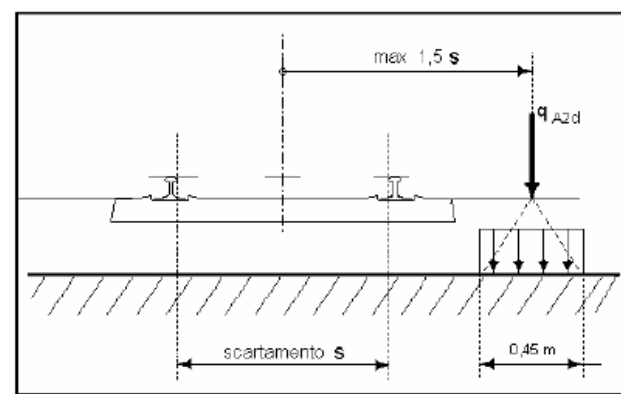
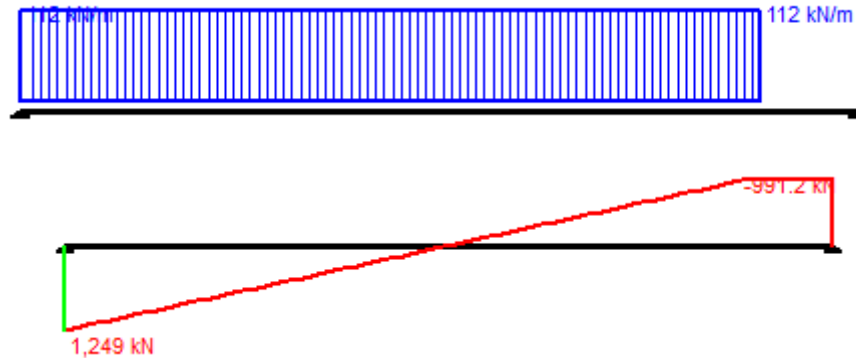


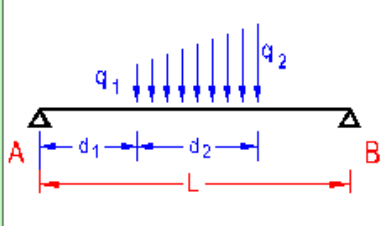
Figura 5.2.13 - Caso 2

Figura 17 – Azione eccezionale da traffico ferroviario – Deragliamento al di sopra del ponte – Caso 2

Gli effetti sui singoli impalcati indotti dalle azioni da traffico vengono valutati nella condizione di massimo taglio all'appoggio mediante dei carichi equivalenti taglianti, come di seguito riportato.

MANDATARIA 	MANDANTI 	LINEA PESCARA – BARI RADDOPPIO DELLA TRATTA FERROVIARIA TERMOLI-LESINA LOTTO 2 e 3 – RADDOPPIO TERMOLI - RIPALTA									
		VI15 da km 22+780,80 a km 23+265,80: Relazione di calcolo Spalla S2	COMMESSA LI0B	LOTTO 02	FASE E	ENTE ZZ	TIPO DOC CL	OPERA 7 DISCIPLINA VI 15 04			Progr 002





Vincoli

App. - App.

Inc. - Inc.

Inc. - App.

Mensola

Fondazione

N° Carichi dist. TRAPEZI **Zoom**

N°	q1	q2	d1	d2
1	112	112	0	20

N° Carichi CONCENTRATI **Zoom**

N° Coppie CONCENTRATE **Zoom**

Luce m J cm⁴ Sezione

E MPa Distanze parziali

Risultati

Reazioni vincolari				
MA	kNm	<input type="text" value="0"/>	MB	<input type="text" value="0"/>
RA	kN	<input type="text" value="1,249"/>	RB	<input type="text" value="991.2"/>

ΦA	[rad]	<input type="text" value="0.001083"/>	ΦB	<input type="text" value="0.001060"/>
max M+		<input type="text" value="6,962"/>	x max M+	<input type="text" value="11.07"/>
max M-		<input type="text" value="-0.001411"/>	x max M-	<input type="text" value="22.6"/>
f max	m	<input type="text" value="0.007603"/>	x f max	<input type="text" value="11.3"/>

Diagrammi

Risultati all'ascissa x

x	M(x)	V(x)	f(x)
0	<input type="text" value="0"/>	<input type="text" value="1,249"/>	<input type="text" value="0"/>

N° sezioni di calcolo

Figura 18 – Deragliamento al di sopra del ponte – Caso 2

$$V_{\max} = 1248.8 \text{ kN}$$

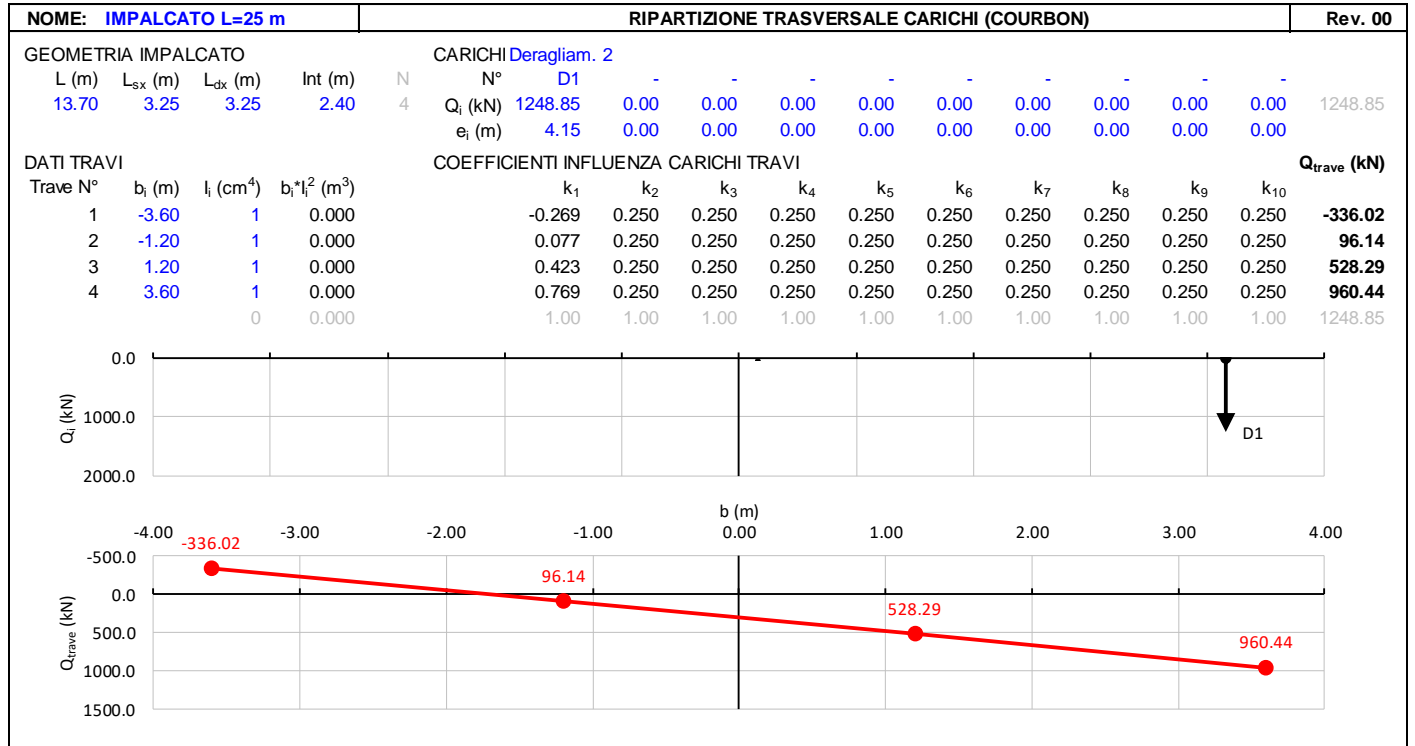
$$q'_v = V_{\max} / (L/2) = 1248.8 / (22.60/2) = 110.5 \text{ kN/m} \quad \text{Carico equivalente tagliante}$$

$$Q_1 = q'_v * L/2 = 110.5 * 22.60/2 = 1248.8 \text{ kN}$$

$$\text{Azione verticale applicata } e = +2.00 + 1.435 * 1.5 = 4.15 \text{ m}$$

**VI15 da km 22+780,80 a km 23+265,80:
Relazione di calcolo Spalla S2**

COMMESSA	LOTTO	FASE	ENTE	TIPO DOC	OPERA 7 DISCIPLINA			PROGR	REV	FOGLIO
LI0B	02	E	ZZ	CL	VI	15	04	002	B	47



7.6.1.1.3 Effetti sulla sottostruttura

Dato che le condizioni di carico previste sono da considerarsi solo per le verifiche eccezionali SLU con coefficiente unitario, mediante analisi preliminari si è accertato che tali combinazioni di azioni sollecitano la sottostruttura all'interno del campo di esercizio delle combinazioni SLU; pertanto, per brevità di trattazione non sono state direttamente esplicitate nei calcoli di dimensionamento dei capitoli successivi.

MANDATARIA HUB ENGINEERING <small>CONSORZIO STABILE SOCIETÀ CONSORTILE & S.R.L.</small>		MANDANTI HYpro S.P.A.		LINEA PESCARA – BARI RADDOPPIO DELLA TRATTA FERROVIARIA TERMOLI-LESINA LOTTO 2 e 3 – RADDOPPIO TERMOLI - RIPALTA										
VI15 da km 22+780,80 a km 23+265,80: Relazione di calcolo Spalla S2				COMMESSA	LOTTO	FASE	ENTE	TIPO DOC	OPERA 7 DISCIPLINA			PROGR	REV	FOGLIO
				LI0B	02	E	ZZ	CL	VI	15	04	002	B	48

7.7 AZIONI VARIABILI ORIZZONTALI (Q)

7.7.1 Azioni da traffico ferroviario (Q₁)

Sopra il profilo di monte della spalla si applicano le pressioni verticali derivanti dal transito ferroviario esterno. Come da normativa, si ipotizza come larghezza totale transitabile il tratto di profilo dove i carichi possono interagire con l'opera di sostegno, ovvero al di sopra della fondazione e all'interno del cuneo di spinta del terreno sulla parete.

Considerando caricati entrambi i binari, si valuta come carico accidentale associato una pressione uniforme media, come di seguito esposto:

$$q = \frac{1}{L_T \cdot L_L} \cdot \sum_1^n Q_i$$

pressione uniforme media sull'area caricata $L_T \cdot L_L$

$$L_L = 6.40 \text{ m}$$

lunghezza longitudinale interessata dai carichi

(lunghezza fondazione di monte spalla, comprensiva del cuneo di spinta del terreno)

$$L_T = 13.50 \text{ m}$$

larghezza trasversale transitabile (larghezza spalla)

Spalla S2

$$q = 1/(6.40 \cdot 13.50) \cdot (4 \cdot 250) \cdot 2 = 23.15 \text{ kPa}$$

Si ha pertanto una spinta a riposo distribuita sull'altezza libera fuori terra della spalla e di larghezza pari alle elevazioni spalle.

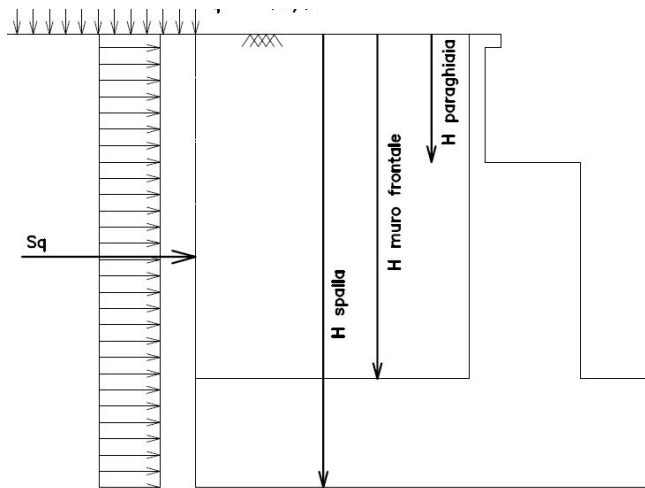


Figura 19: Schema per il calcolo degli effetti della spinta dovuta al sovraccarico accidentale

MANDATARIA HUB ENGINEERING <small>CONSORZIO STABILE SOCIETÀ CONSORTILE A R.L.</small>		MANDANTI HYpro S.P.A.		LINEA PESCARA – BARI RADDOPPIO DELLA TRATTA FERROVIARIA TERMOLI-LESINA LOTTO 2 e 3 – RADDOPPIO TERMOLI - RIPALTA										
VI15 da km 22+780,80 a km 23+265,80: Relazione di calcolo Spalla S2				COMMESSA	LOTTO	FASE	ENTE	TIPO DOC	OPERA 7 DISCIPLINA			PROGR	REV	FOGLIO
				LI0B	02	E	ZZ	CL	VI	15	04	002	B	49

7.7.1.1 Azione da traffico ferroviario sul muro paraghiaia

Al fine della valutazione degli effetti locali dei carichi verticali ferroviari sul muro paraghiaia è necessario operare una distribuzione degli stessi in direzione trasversale, eseguendo una diffusione del carico, a partire dalla larghezza della traversina ed $\frac{1}{4}$ attraverso la massiciata, per una lunghezza pari a:

$$b = (0.80 - 0.26) / 4 * 2 + 2.40 = 2.67 \text{ m}$$

laddove si sono considerate le seguenti caratteristiche geometriche:

	[m]
Altezza ballast	0.80
Altezza traversina	0.26
Larghezza traversina	2.40

Si considerano i carichi relativi al modello SW/2 visto che rappresentano una condizione più gravosa rispetto al modello di carico LM71, i cui vengono distribuiti secondo lo schema di Fig. 5.2.4 al §5.2.2.3.1.4 delle NTC2008.

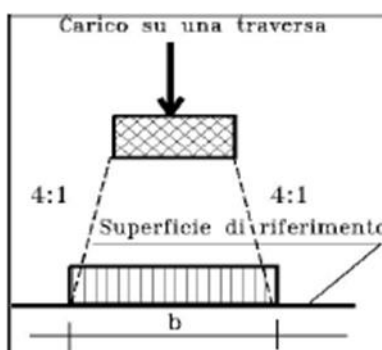


Fig. 5.2.4 - Distribuzione longitudinale dei carichi attraverso il ballast

In accordo con quanto riportato al par. 7.5.1 della presente relazione, si moltiplicano i valori dei carichi per il coefficiente di adattamento, ottenendo quindi:

TRENO SW/2

$$Q1 = 150 \text{ kN/m} * 1.0 = 150.00 \text{ kN/m}$$

Valore amplificato del carico longitudinale q_{vk}

L'eccentricità non è da considerarsi per il caso di treno di carico SW/2, per il quale quindi si effettua la ripartizione semplicemente dividendo il valore q_1 per la lunghezza $b = 2.67 \text{ m}$, risultando dunque in una distribuzione di tensioni sul muro paraghiaia pari a:

$$\sigma = 150.00 \text{ kN/m} / 2.67 \text{ m} = 56.18 \text{ kN/m}$$

MANDATARIA HUB ENGINEERING <small>CONSORZIO STABILE SOCIETÀ CONSORTILE A R.L.</small>		MANDANTI HYpro S.P.A.		LINEA PESCARA – BARI RADDOPPIO DELLA TRATTA FERROVIARIA TERMOLI-LESINA LOTTO 2 e 3 – RADDOPPIO TERMOLI - RIPALTA										
VI15 da km 22+780,80 a km 23+265,80: Relazione di calcolo Spalla S2				COMMESSA	LOTTO	FASE	ENTE	TIPO DOC	OPERA 7 DISCIPLINA			PROGR	REV	FOGLIO
				LI0B	02	E	ZZ	CL	VI	15	04	002	B	50

7.7.2 Forza centrifuga (Q₄)

Nome	Tipo	Y _Q	ψ ₀	ψ ₁	ψ ₂
		(Fav / Sfav)			
CENTRIFUGA	Variabili da traffico ferroviario	0.00 / 1.45	0.80	0.50	0.00

Nei ponti ferroviari al di sopra dei quali il binario presenta un tracciato in curva deve essere considerata la forza centrifuga agente su tutta l'estensione del tratto in curva.

La forza centrifuga si considera agente verso l'esterno della curva, in direzione orizzontale ed applicata alla quota di 1.80 m al di sopra del P.F..

Le forze centrifughe sono valutate in accordo al par. 2.5.1.4.3.1 del "Manuale di progettazione delle opere civili parte II - sezione 2- ponti e strutture: "RFI DTC SI PS MA IFS 001 E".

Il valore caratteristico della forza centrifuga si determinerà in accordo con la seguente espressione:

$$q_{tk} = \frac{V^2}{127 \cdot r} (f \cdot q_{vk})$$

q_{tk} valore caratteristico della forza centrifuga, espresso in kN/m

q_{vk} valore caratteristico dei carichi verticali ferroviari, espresso in kN/m

V velocità di progetto, espressa in km/h

f fattore di riduzione

R raggio di curvatura, espresso in m

Nel caso in esame essendo V=200 km/h vanno considerati i seguenti casi di calcolo:

Valore di α	Massima velocità della linea [Km/h]	Azione centrifuga basata su:				traffico verticale associato
		V	α	f		
SW/2	≥ 100	100	1	1	1 x 1 x SW/2	Φ x 1 x SW/2
	< 100	V	1	1	1 x 1 x SW/2	
LM71 e SW/0	> 120	V	1	f	1 x f x (LM71''+''SW/0)	Φ x 1 x 1 x (LM71''+''SW/0)
		120	α	1	α x 1 x (LM71''+''SW/0)	Φ x α x 1 x (LM71''+''SW/0)
	≤ 120	V	α	1	α x 1 x (LM71''+''SW/0)	

Tab. 2.5.1.4.3.1-1 - Parametri per determinazione della forza centrifuga

In particolare, per il treno LM71 andrà considerata la condizione più sfavorevole tra le due indicate in tabella.

**VI15 da km 22+780,80 a km 23+265,80:
Relazione di calcolo Spalla S2**

COMMESSA	LOTTO	FASE	ENTE	TIPO DOC	OPERA 7 DISCIPLINA			PROGR	REV	FOGLIO
LI0B	02	E	ZZ	CL	VI	15	04	002	B	51

NOME: IMPALCATO L=25 m			CALCOLO FORZA CENTRIFUGA				Rev. 00
DATI DEL PROGETTO							
V (km/h)	200	Velocità di progetto	Distanza PF/appoggi (m)		3,30		
R (m)	2200	Raggio di curvatura					
L _f (m)	12,50	Lunghezza di binario carico					
TRENO LM71 e SW/0			TRENO SW/2				
Q _{vk} (kN)	1405,0		Q _{vk} (kN)	1695,0	Carichi verticali ferroviari caratteristico		
	Caso 1	Caso 2		Caso 1			
V (km/h)	200	120	V (km/h)	100	Velocità di progetto		
α (-)	1,00	1,10	α (-)	1,00	Coefficiente di adattamento		
f (-)	0,758	1,000	f (-)	1,00	Fattore di riduzione		
q _{tk} (kN/m)	152,45	79,65					
Q _{4,c} (kN)	152,4		Q _{4,c} (kN)	60,7	Forza centrifuga caratt. trasversale		
M _{4,c} (kNm)	503,1		M _{4,c} (kNm)	200,2	Momento torcente forza centrifuga caratt.		
Nota: i valori iniziale di Q _{vk} sono caratteristici verticali (non amplificati per α o per Φ)							

Gli effetti sui singoli impalcato indotti dall'azione centrifuga, nelle varie combinazioni di carico accidentale ferroviario associate, vengono valutati secondo una lunghezza di influenza di mezza campata, distribuendo rigidamente alla Courbon le azioni torcenti (modellate come azioni verticali di 100 kN eccentriche) in prossimità degli appoggi trave, i quali determinano delle reazioni verticali che equilibrano le azioni sollecitanti torcenti generate dai carichi orizzontali.

NOME: IMPALCATO L=25 m				RIPARTIZIONE TRASVERSALE CARICHI (COURBON)											Rev. 00	
GEOMETRIA IMPALCATO				CARICHI Q4 B1-SW2 (centr)												
L (m)	L _{sx} (m)	L _{dx} (m)	Int (m)	N	N° -MZ/FY/2 MZ/FY/2		-	-	-	-	-	-	-	-	-	0,00
13,70	3,25	3,25	2,40	4	Q _i (kN)	-100,00	100,00	0,00	0,00	0,00	0,00	0,00	0,00	0,00	0,00	0,00
					e _i (m)	-1,00	1,00	0,00	0,00	0,00	0,00	0,00	0,00	0,00	0,00	0,00
DATI TRAVI				COEFFICIENTI INFLUENZA CARICHI TRAVI											Q_{trave} (kN)	
Trave N°	b _i (m)	I _i (cm ⁴)	b _i ·I _i ² (m ³)	k ₁	k ₂	k ₃	k ₄	k ₅	k ₆	k ₇	k ₈	k ₉	k ₁₀			
1	-3,60	1	0,000	0,375	0,125	0,250	0,250	0,250	0,250	0,250	0,250	0,250	0,250	-25,03		
2	-1,20	1	0,000	0,292	0,208	0,250	0,250	0,250	0,250	0,250	0,250	0,250	0,250	-8,34		
3	1,20	1	0,000	0,208	0,292	0,250	0,250	0,250	0,250	0,250	0,250	0,250	0,250	8,34		
4	3,60	1	0,000	0,125	0,375	0,250	0,250	0,250	0,250	0,250	0,250	0,250	0,250	25,03		
				0	0,000	1,00	1,00	1,00	1,00	1,00	1,00	1,00	1,00	0,00		

LINEA PESCARA – BARI

**RADDOPPIO DELLA TRATTA FERROVIARIA TERMOLI-LESINA
LOTTO 2 e 3 – RADDOPPIO TERMOLI - RIPALTA**

**VI15 da km 22+780,80 a km 23+265,80:
Relazione di calcolo Spalla S2**

COMMESSA	LOTTO	FASE	ENTE	TIPO DOC	OPERA 7 DISCIPLINA			PROGR	REV	FOGLIO
LI0B	02	E	ZZ	CL	VI	15	04	002	B	52

NOME: IMPALCATO L=25 m **RIPARTIZIONE TRASVERSALE CARICHI (COURBON)** **Rev. 00**

GEOMETRIA IMPALCATO				CARICHI Q4 B1-LM71 (centr)																		
L (m)	L _{SX} (m)	L _{DX} (m)	Int (m)	N	N° -MZ/FY/2	MZ/FY/2	-	-	-	-	-	-	-	-	-	-	-	-	-	-		
13,70	3,25	3,25	2,40	4	Q _i (kN)	-100,00	100,00	0,00	0,00	0,00	0,00	0,00	0,00	0,00	0,00	0,00	0,00	0,00	0,00	0,00	0,00	0,00
					e _i (m)	-2,52	2,52	0,00	0,00	0,00	0,00	0,00	0,00	0,00	0,00	0,00	0,00	0,00	0,00	0,00	0,00	0,00

DATI TRAVI				COEFFICIENTI INFLUENZA CARICHI TRAVI										Q_{trave} (kN)
Trave N°	b _i (m)	I _i (cm ⁴)	b _i *I _i ² (m ³)	k ₁	k ₂	k ₃	k ₄	k ₅	k ₆	k ₇	k ₈	k ₉	k ₁₀	
1	-3,60	1	0,000	0,564	-0,064	0,250	0,250	0,250	0,250	0,250	0,250	0,250	0,250	-62,89
2	-1,20	1	0,000	0,355	0,145	0,250	0,250	0,250	0,250	0,250	0,250	0,250	0,250	-20,96
3	1,20	1	0,000	0,145	0,355	0,250	0,250	0,250	0,250	0,250	0,250	0,250	0,250	20,96
4	3,60	1	0,000	-0,064	0,564	0,250	0,250	0,250	0,250	0,250	0,250	0,250	0,250	62,89
		0	0,000	1,00	1,00	1,00	1,00	1,00	1,00	1,00	1,00	1,00	1,00	0,00

NOME: IMPALCATO L=25 m **RIPARTIZIONE TRASVERSALE CARICHI (COURBON)** **Rev. 00**

GEOMETRIA IMPALCATO				CARICHI Q4 B2-LM71 (centr)																		
L (m)	L _{SX} (m)	L _{DX} (m)	Int (m)	N	N° -MZ/FY/2	MZ/FY/2	-	-	-	-	-	-	-	-	-	-	-	-	-	-		
13,70	3,25	3,25	2,40	4	Q _i (kN)	-100,00	100,00	0,00	0,00	0,00	0,00	0,00	0,00	0,00	0,00	0,00	0,00	0,00	0,00	0,00	0,00	0,00
					e _i (m)	-2,52	2,52	0,00	0,00	0,00	0,00	0,00	0,00	0,00	0,00	0,00	0,00	0,00	0,00	0,00	0,00	0,00

DATI TRAVI				COEFFICIENTI INFLUENZA CARICHI TRAVI										Q_{trave} (kN)
Trave N°	b _i (m)	I _i (cm ⁴)	b _i *I _i ² (m ³)	k ₁	k ₂	k ₃	k ₄	k ₅	k ₆	k ₇	k ₈	k ₉	k ₁₀	
1	-3,60	1	0,000	0,564	-0,064	0,250	0,250	0,250	0,250	0,250	0,250	0,250	0,250	-62,89
2	-1,20	1	0,000	0,355	0,145	0,250	0,250	0,250	0,250	0,250	0,250	0,250	0,250	-20,96
3	1,20	1	0,000	0,145	0,355	0,250	0,250	0,250	0,250	0,250	0,250	0,250	0,250	20,96
4	3,60	1	0,000	-0,064	0,564	0,250	0,250	0,250	0,250	0,250	0,250	0,250	0,250	62,89
		0	0,000	1,00	1,00	1,00	1,00	1,00	1,00	1,00	1,00	1,00	1,00	0,00

MANDATARIA HUB ENGINEERING <small>CONSORZIO STABILE SOCIETÀ CONSORTILE & R.L.</small>		MANDANTI HYpro S.P.A.		LINEA PESCARA – BARI RADDOPPIO DELLA TRATTA FERROVIARIA TERMOLI-LESINA LOTTO 2 e 3 – RADDOPPIO TERMOLI - RIPALTA										
VI15 da km 22+780,80 a km 23+265,80: Relazione di calcolo Spalla S2				COMMESSA	LOTTO	FASE	ENTE	TIPO DOC	OPERA 7 DISCIPLINA			PROGR	REV	FOGLIO
				LI0B	02	E	ZZ	CL	VI	15	04	002	B	53

7.7.3 Azione laterale serpeggio (Q_5)

Nome	Tipo	γ_Q (Fav / Sfav)	ψ_0	ψ_1	ψ_2
SERPEGGIO	Variabili da traffico ferroviario	0.0 / 1.45	0.80	0.50	0.00

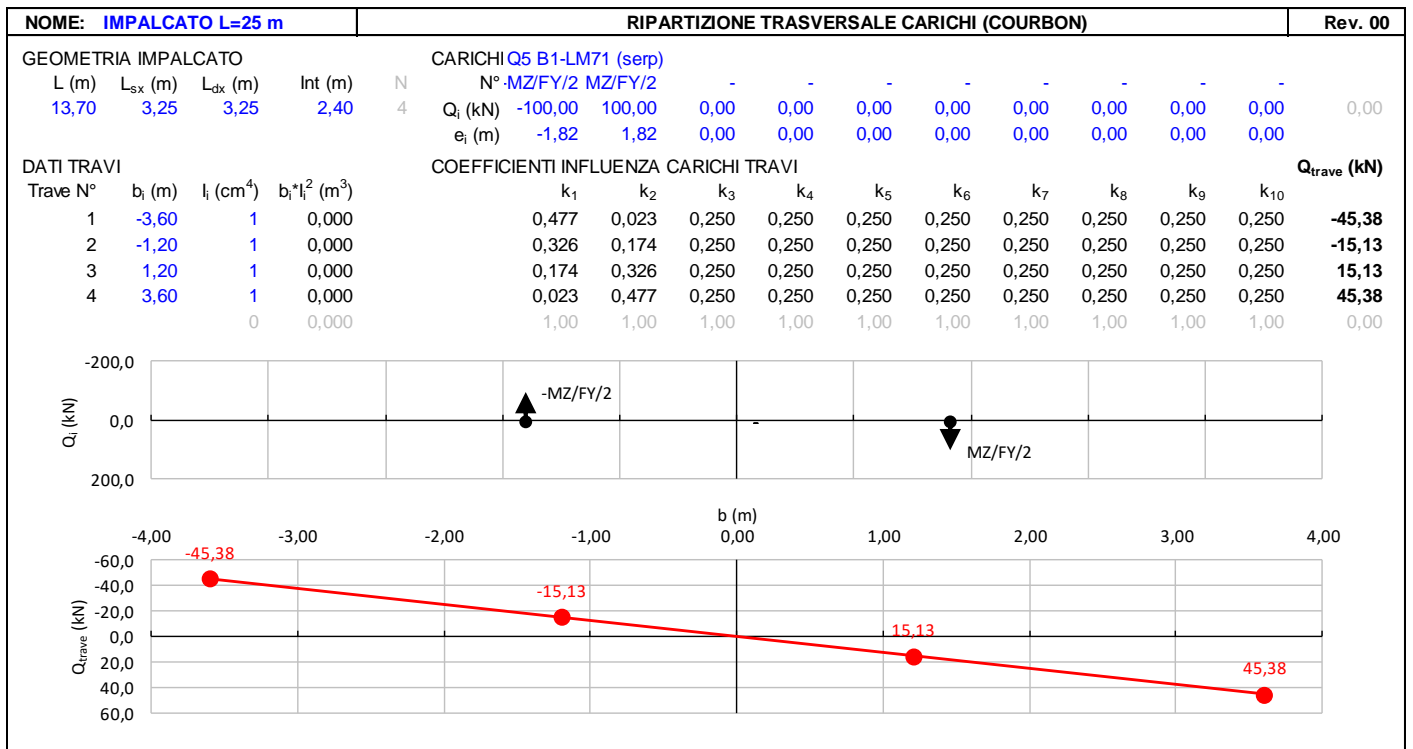
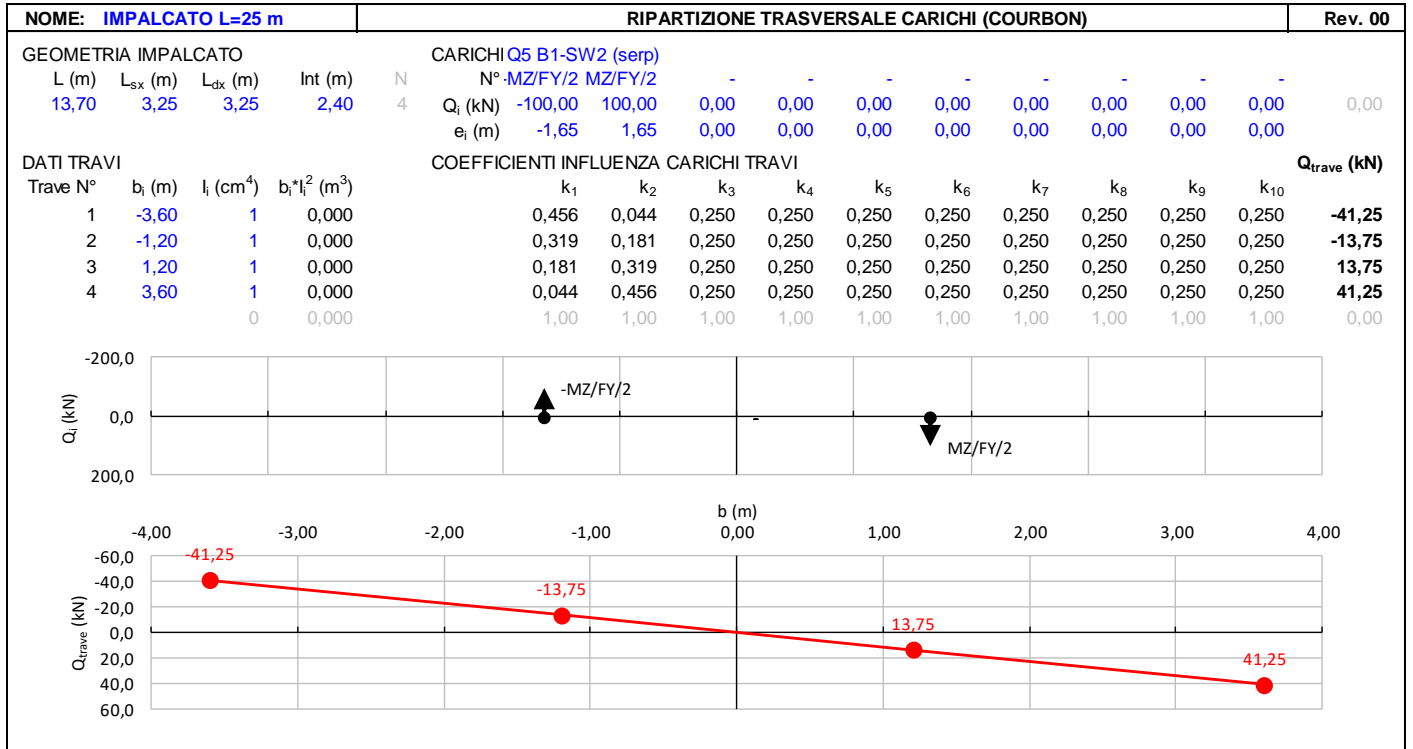
L'azione laterale associata al serpeggio è definita al par. 1.4.3.2 delle Istruzioni per la progettazione e l'esecuzione dei ponti ferroviari, che riprende il par. 5.2.2.4.2 delle NTC 2008, ed equivale ad una forza concentrata agente orizzontalmente, applicata alla sommità della rotaia più alta, perpendicolarmente all'asse del binario, del valore di 100 kN. Tale valore deve essere moltiplicato per il coefficiente di adattamento α .

Gli effetti sui singoli impalcato indotti dall'azione di serpeggio, nelle varie combinazioni di carico accidentale ferroviario associate, vengono valutati secondo una lunghezza di influenza di mezza campata, distribuendo rigidamente alla Courbon le azioni torcenti (modellate come azioni verticali di 100 kN eccentriche) in prossimità degli appoggi trave, i quali determinano delle reazioni verticali che equilibrano le azioni sollecitanti torcenti generate dai carichi orizzontali.

NOME: IMPALCATO L=25 m		CALCOLO FORZA SERPEGGIO			Rev. 00
Q_{sk} (kN)	100.0	Azione caratteristica di serpeggio	Distanza PF/appoggi (m)	3.30	
TRENO LM71 e SW/0		TRENO SW/2			
α (-)	1.10	α (-)	1.00		
Q_s (kN)	110.0	Q_s (kN)	100.0	Forza serpeggio caratt. trasversale	
M_{tk} (kNm)	363.00	M_{tk} (kNm)	330.00	Momento torcente forza serpeggio caratt.	

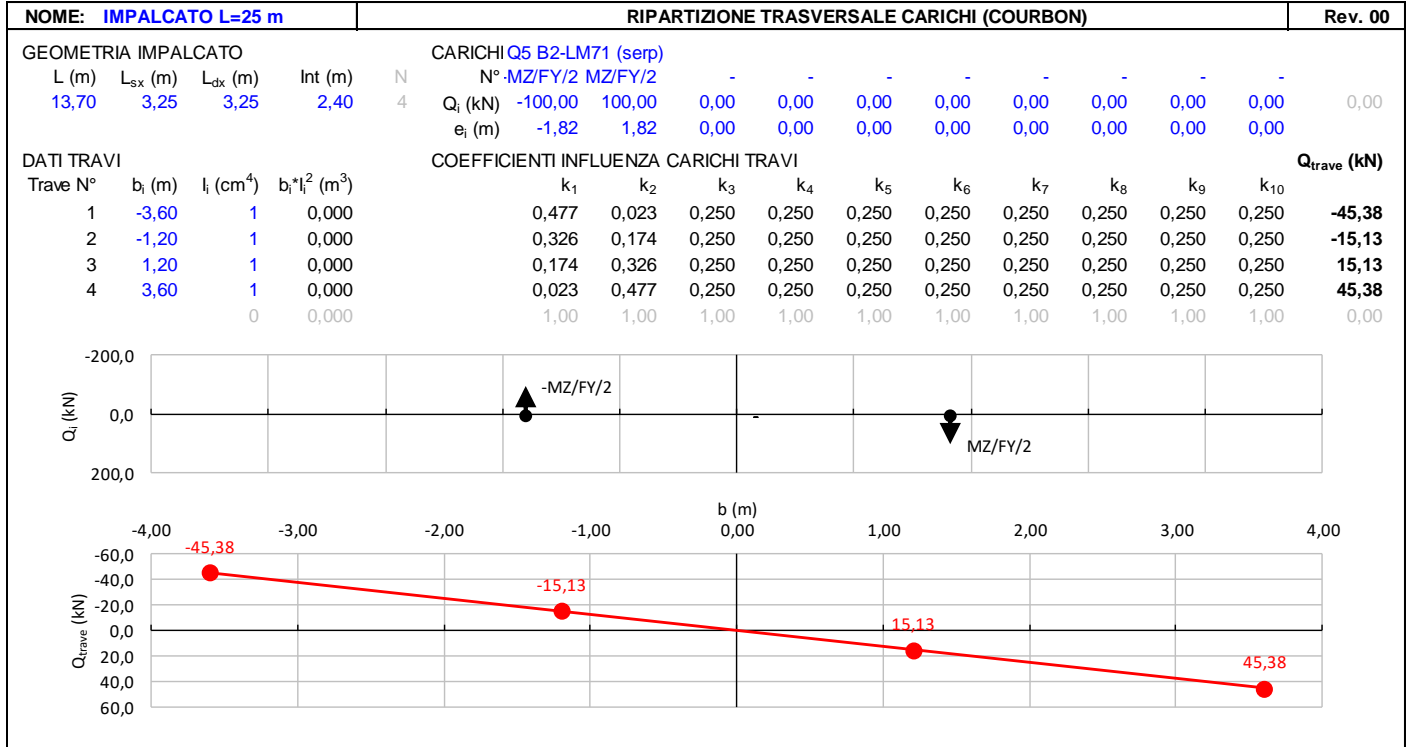
**VI15 da km 22+780,80 a km 23+265,80:
Relazione di calcolo Spalla S2**

COMMESSA	LOTTO	FASE	ENTE	TIPO DOC	OPERA 7 DISCIPLINA			PROGR	REV	FOGLIO
LI0B	02	E	ZZ	CL	VI	15	04	002	B	54



**VI15 da km 22+780,80 a km 23+265,80:
Relazione di calcolo Spalla S2**

COMMESSA	LOTTO	FASE	ENTE	TIPO DOC	OPERA 7 DISCIPLINA			PROGR	REV	FOGLIO
LI0B	02	E	ZZ	CL	VI	15	04	002	B	55



MANDATARIA 		MANDANTI 		LINEA PESCARA – BARI RADDOPPIO DELLA TRATTA FERROVIARIA TERMOLI-LESINA LOTTO 2 e 3 – RADDOPPIO TERMOLI - RIPALTA										
VI15 da km 22+780,80 a km 23+265,80: Relazione di calcolo Spalla S2				COMMESSA	LOTTO	FASE	ENTE	TIPO DOC	OPERA 7 DISCIPLINA			PROGR	REV	FOGLIO
				LI0B	02	E	ZZ	CL	VI	15	04	002	B	56

7.7.4 Azioni di avviamento e frenatura (Q₃)

L'azione orizzontale associata all'avviamento e alla frenatura dei treni è definita al par. 1.4.3.2 delle Istruzioni per la progettazione e l'esecuzione dei ponti ferroviari, che riprende il par. 5.2.2.4.2 delle NTC 2008, ed equivale ad una forza concentrata agente orizzontalmente, applicata alla sommità della rotaia più alta, parallelamente all'asse del binario.

Nome	Tipo	γ_Q (Fav / Sfav)	ψ_0	ψ_1	ψ_2
TRAFFICO LM71	Carichi da traffico	0.00 / 1.45	0.80	0.50	0.00
TRAFFICO SW/2	ferroviario	0.00 / 1.45	0.80	0.50	0.00

I valori caratteristici da considerare, da moltiplicare per i coefficienti di adattamento α , sono:

Avviamento

$$Q_{3a,k} = 33 \text{ [kN/m]} * L \text{ [m]} \leq 1000 \text{ KN} \quad \text{modelli di carico LM71, SW/0, SW/2}$$

Frenatura

$$Q_{3f,k} = 35 \text{ [kN/m]} * L \text{ [m]} \quad \text{modelli di carico SW/2}$$

$$Q_{3f,k} = 20 \text{ [kN/m]} * L \text{ [m]} \leq 6000 \text{ KN} \quad \text{modelli di carico LM71, SW/0}$$

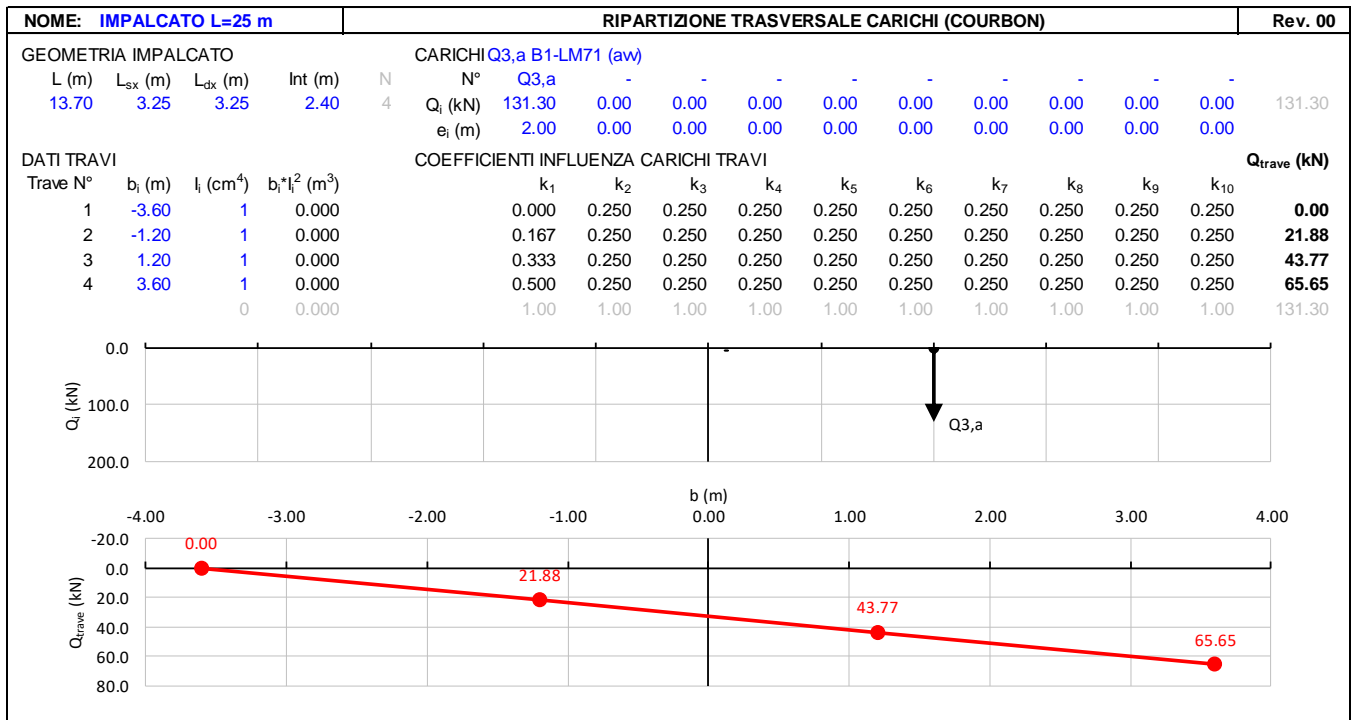
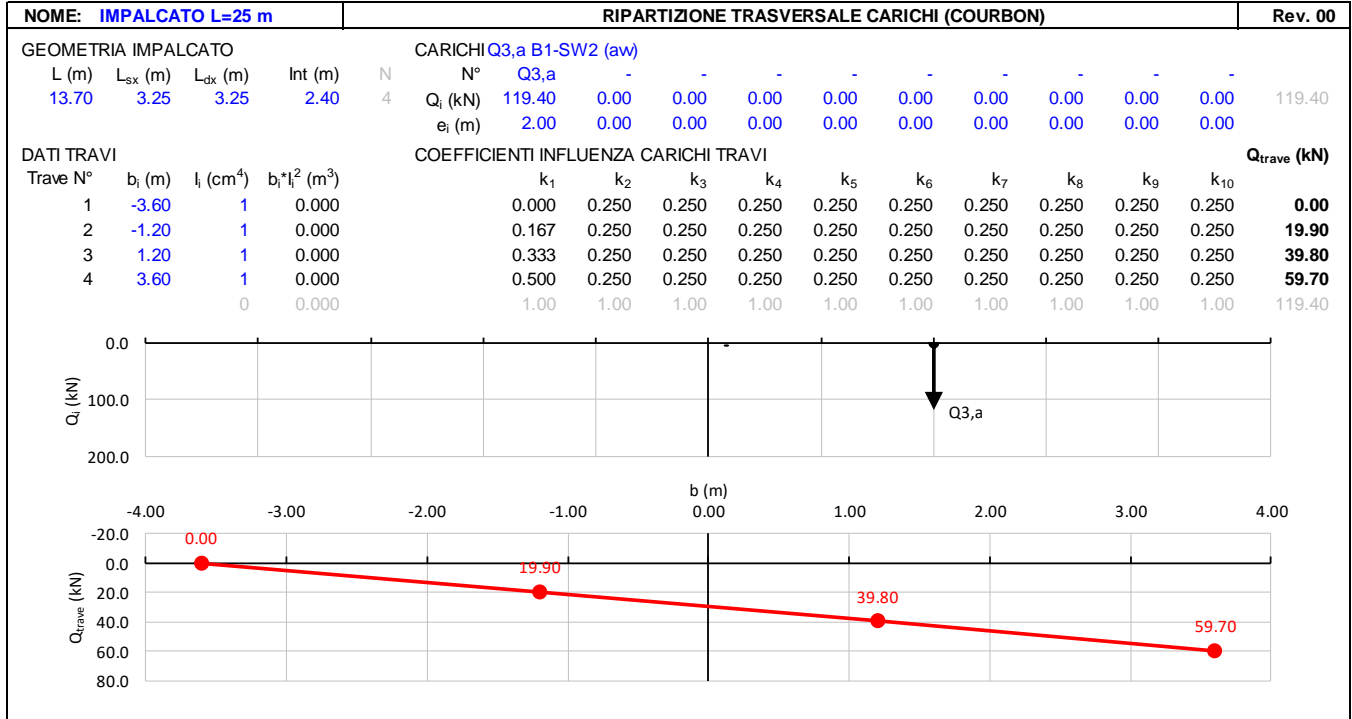
Nel caso di ponti a doppio binario si devono considerare due treni in transito in versi opposti, uno in fase di avviamento, l'altro in fase di frenatura; pertanto, per ogni binario (B1 o B2) si può avere:

NOME: IMPALCATO L=25 m		CALCOLO FORZA AVVIAMENTO / FRENATURA		Rev. 00
L calcolo (m)	22.80	Lunghezza tra appoggi	Distanza PF/appoggi (m)	3.30
L (m)	25.00	Lunghezza di binario carico		
TRENO LM71 e SW/0		TRENO SW/2		
α (-)	1.10	α (-)	1.00	
$Q_{3,f}$ (kN)	550.0	$Q_{3,f}$ (kN)	875.0	Forza frenatura caratt. longitudinale
$V_{3,f}$ (kNm)	79.6	$V_{3,f}$ (kNm)	126.6	Forza frenatura caratt. verticale
$Q_{3,a}$ (kN)	907.5	$Q_{3,a}$ (kN)	825.0	Forza avviamento caratt. longitudinale
$V_{3,a}$ (kNm)	131.3	$V_{3,a}$ (kNm)	119.4	Forza avviamento caratt. verticale

Gli effetti sui singoli impalcati indotti dall'azione di avviamento o frenatura, nelle varie combinazioni di carico accidentale ferroviario associate, vengono valutati secondo una lunghezza di influenza di mezza campata, distribuendo rigidamente alla Courbon le azioni torcenti in prossimità degli appoggi trave, i quali determinano delle reazioni verticali che equilibrano le azioni sollecitanti torcenti generate dai carichi orizzontali.

**VI15 da km 22+780,80 a km 23+265,80:
Relazione di calcolo Spalla S2**

COMMESSA	LOTTO	FASE	ENTE	TIPO DOC	OPERA 7 DISCIPLINA			PROGR	REV	FOGLIO
LI0B	02	E	ZZ	CL	VI	15	04	002	B	57



LINEA PESCARA – BARI

**RADDOPPIO DELLA TRATTA FERROVIARIA TERMOLI-LESINA
LOTTO 2 e 3 – RADDOPPIO TERMOLI - RIPALTA**

**VI15 da km 22+780,80 a km 23+265,80:
Relazione di calcolo Spalla S2**

COMMESSA	LOTTO	FASE	ENTE	TIPO DOC	OPERA 7 DISCIPLINA			PROGR	REV	FOGLIO
LI0B	02	E	ZZ	CL	VI	15	04	002	B	58

NOME: IMPALCATO L=25 m **RIPARTIZIONE TRASVERSALE CARICHI (COURBON)** **Rev. 00**

GEOMETRIA IMPALCATO				CARICHI Q3,a B2-LM71 (av)														
L (m)	L _{SX} (m)	L _{DX} (m)	Int (m)	N	N°	Q _{3,a}	-	-	-	-	-	-	-	-	-	-	-	
13.70	3.25	3.25	2.40	4	Q _i (kN)	131.30	0.00	0.00	0.00	0.00	0.00	0.00	0.00	0.00	0.00	0.00	0.00	131.30
					e _i (m)	-2.00	0.00	0.00	0.00	0.00	0.00	0.00	0.00	0.00	0.00	0.00	0.00	

DATI TRAVI				COEFFICIENTI INFLUENZA CARICHI TRAVI											Q _{trave} (kN)
Trave N°	b _i (m)	I _i (cm ⁴)	b _i *I _i ² (m ³)	k ₁	k ₂	k ₃	k ₄	k ₅	k ₆	k ₇	k ₈	k ₉	k ₁₀	Q _{trave} (kN)	
1	-3.60	1	0.000	0.500	0.250	0.250	0.250	0.250	0.250	0.250	0.250	0.250	0.250	65.65	
2	-1.20	1	0.000	0.333	0.250	0.250	0.250	0.250	0.250	0.250	0.250	0.250	0.250	43.77	
3	1.20	1	0.000	0.167	0.250	0.250	0.250	0.250	0.250	0.250	0.250	0.250	0.250	21.88	
4	3.60	1	0.000	0.000	0.250	0.250	0.250	0.250	0.250	0.250	0.250	0.250	0.250	0.00	
		0	0.000	1.00	1.00	1.00	1.00	1.00	1.00	1.00	1.00	1.00	1.00	131.30	

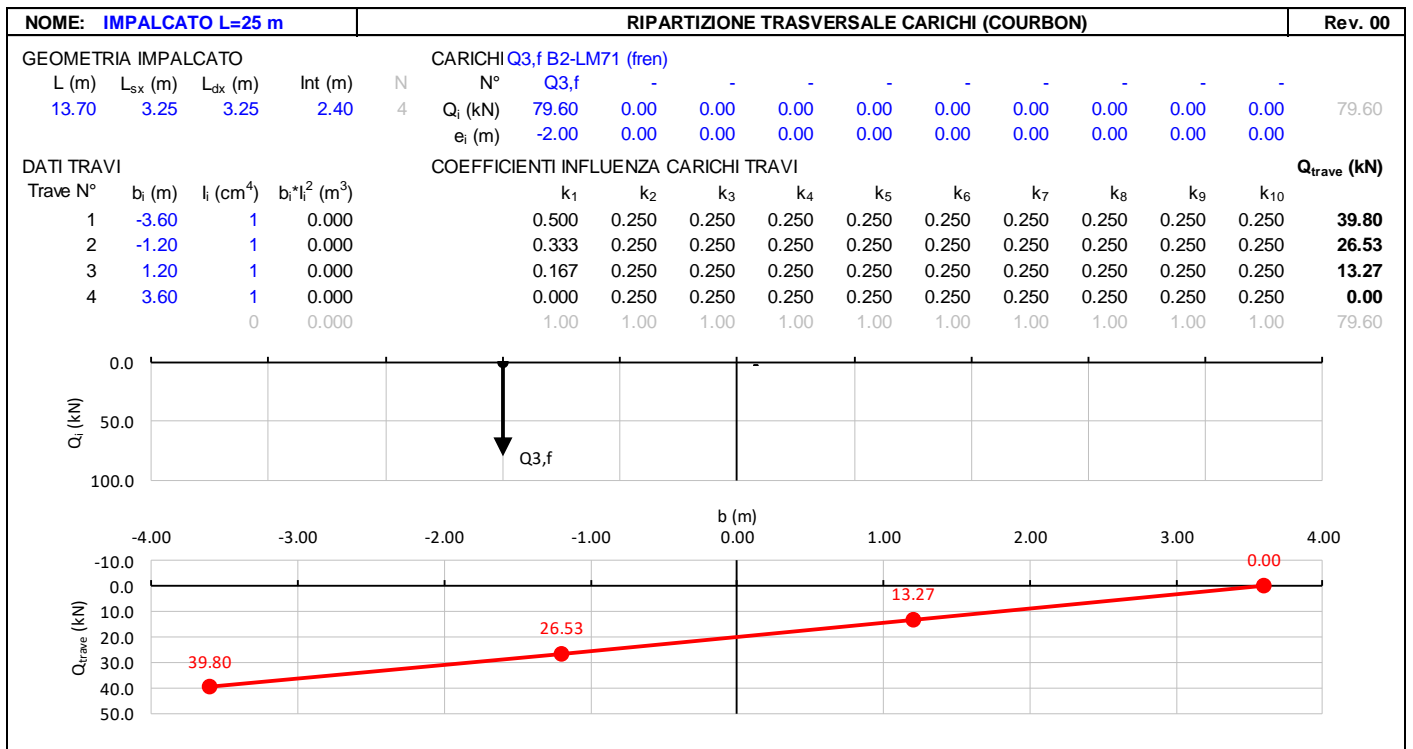
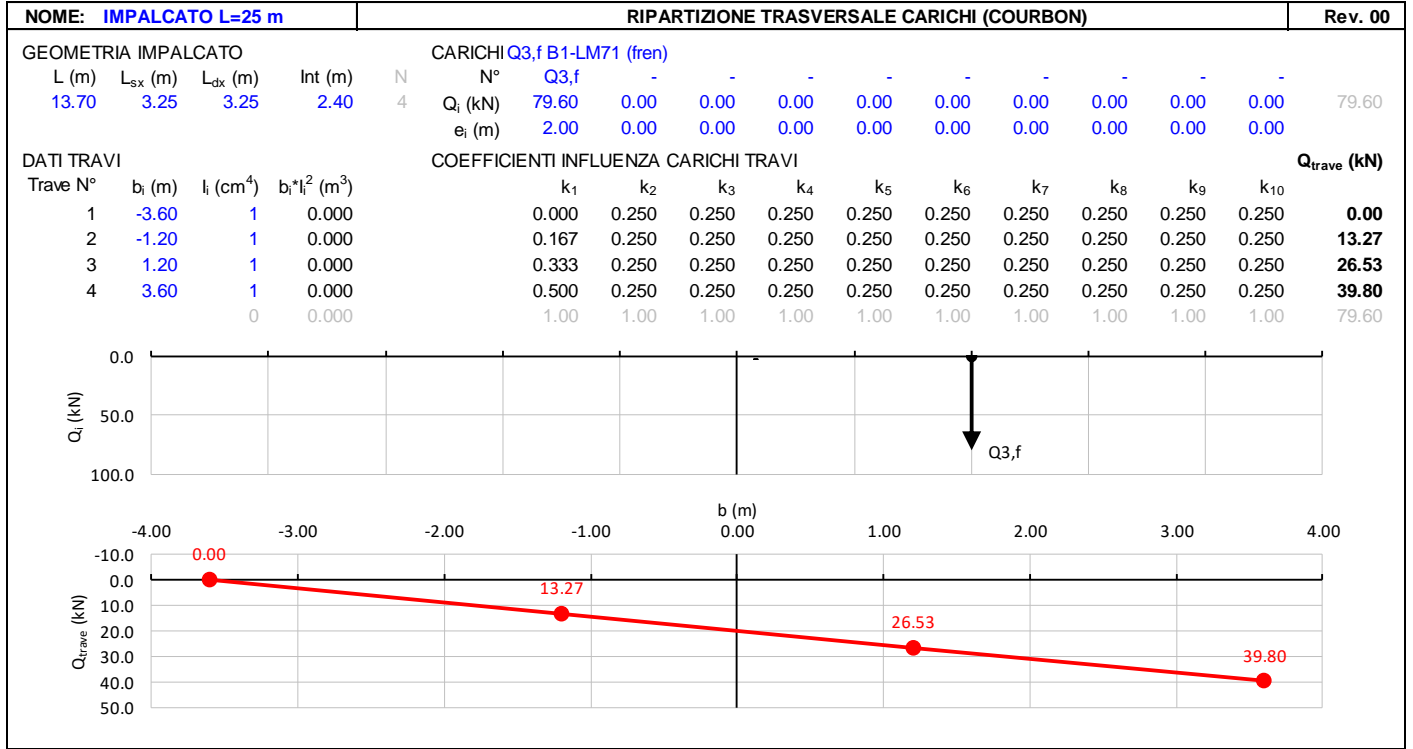
NOME: IMPALCATO L=25 m **RIPARTIZIONE TRASVERSALE CARICHI (COURBON)** **Rev. 00**

GEOMETRIA IMPALCATO				CARICHI Q3,f B1-SW2 (fren)														
L (m)	L _{SX} (m)	L _{DX} (m)	Int (m)	N	N°	Q _{3,f}	-	-	-	-	-	-	-	-	-	-	-	
13.70	3.25	3.25	2.40	4	Q _i (kN)	126.60	0.00	0.00	0.00	0.00	0.00	0.00	0.00	0.00	0.00	0.00	0.00	126.60
					e _i (m)	2.00	0.00	0.00	0.00	0.00	0.00	0.00	0.00	0.00	0.00	0.00	0.00	

DATI TRAVI				COEFFICIENTI INFLUENZA CARICHI TRAVI											Q _{trave} (kN)
Trave N°	b _i (m)	I _i (cm ⁴)	b _i *I _i ² (m ³)	k ₁	k ₂	k ₃	k ₄	k ₅	k ₆	k ₇	k ₈	k ₉	k ₁₀	Q _{trave} (kN)	
1	-3.60	1	0.000	0.000	0.250	0.250	0.250	0.250	0.250	0.250	0.250	0.250	0.250	0.00	
2	-1.20	1	0.000	0.167	0.250	0.250	0.250	0.250	0.250	0.250	0.250	0.250	0.250	21.10	
3	1.20	1	0.000	0.333	0.250	0.250	0.250	0.250	0.250	0.250	0.250	0.250	0.250	42.20	
4	3.60	1	0.000	0.500	0.250	0.250	0.250	0.250	0.250	0.250	0.250	0.250	0.250	63.30	
		0	0.000	1.00	1.00	1.00	1.00	1.00	1.00	1.00	1.00	1.00	1.00	126.60	

**VI15 da km 22+780,80 a km 23+265,80:
Relazione di calcolo Spalla S2**

COMMESSA	LOTTO	FASE	ENTE	TIPO DOC	OPERA 7 DISCIPLINA			PROGR	REV	FOGLIO
LI0B	02	E	ZZ	CL	VI	15	04	002	B	59



MANDATARIA HUB ENGINEERING <small>CONSORZIO STABILE SOCIETÀ CONSORTILE A R.L.</small>		MANDANTI HYpro S.P.A.		LINEA PESCARA – BARI RADDOPPIO DELLA TRATTA FERROVIARIA TERMOLI-LESINA LOTTO 2 e 3 – RADDOPPIO TERMOLI - RIPALTA										
VI15 da km 22+780,80 a km 23+265,80: Relazione di calcolo Spalla S2				COMMESSA	LOTTO	FASE	ENTE	TIPO DOC	OPERA 7 DISCIPLINA			PROGR	REV	FOGLIO
				LI0B	02	E	ZZ	CL	VI	15	04	002	B	60

7.8 AZIONE DEL VENTO (Q₆)

Nome	Tipo	Y _q	ψ ₀	ψ ₁	ψ ₂
(Fav / Sfav)					
VENTO	Variabile	EQU 0.00 / 1.50 (A1) 0.00 / 1.50 (A2) 0.00 / 1.30	0.60	0.50	0.00

In accordo con le raccomandazioni CNR DT207 R1/2018, l'azione del vento può essere convenzionalmente assimilata ad un carico statico uniformemente distribuito sulle superfici. La componente ortogonale è calcolata secondo la seguente espressione:

- $q_b(z)$ pressione cinetica di riferimento
 $c_e(z)$ coefficiente di esposizione
 C_{pm} coefficiente di forma (o aerodinamico) complessivo

Il coefficiente di esposizione dipende dall'altezza z sul suolo del punto considerato, dalla topografia del terreno, dalla categoria di esposizione dove sorge la costruzione. Viene calcolato con le seguenti espressioni:

$$c_e(z) = k_r^2 \cdot c_t(z) \cdot \ln(z/z_0) (7 + c_t(z) \cdot \ln(z/z_0)) \quad z \geq z_{\min}$$

$$c_e(z) = c_e(z_{\min}) \quad z < z_{\min}$$

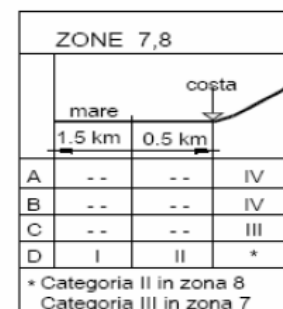
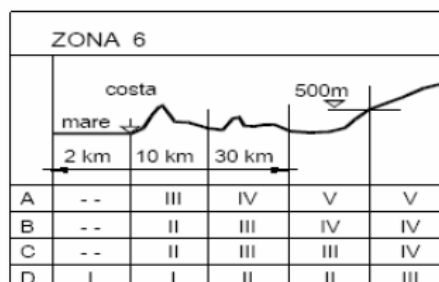
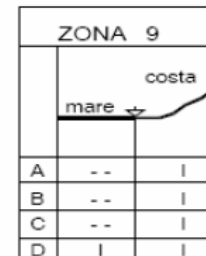
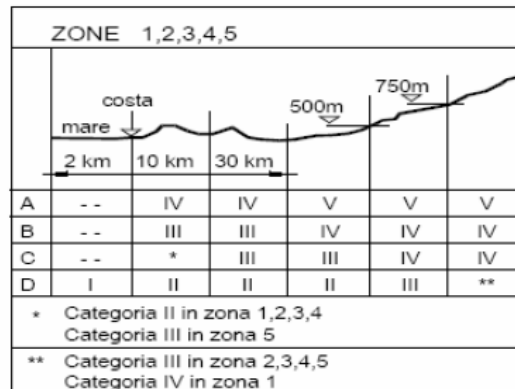


Fig. 3.3.2 - Definizione delle categorie di esposizione

MANDATARIA HUB ENGINEERING <small>CONSORZIO STABILE SOCIETÀ CONSORTILE & R.L.</small>		MANDANTI HYpro S.P.A.		LINEA PESCARA – BARI RADDOPPIO DELLA TRATTA FERROVIARIA TERMOLI-LESINA LOTTO 2 e 3 – RADDOPPIO TERMOLI - RIPALTA										
VI15 da km 22+780,80 a km 23+265,80: Relazione di calcolo Spalla S2				COMMESSA	LOTTO	FASE	ENTE	TIPO DOC	OPERA 7 DISCIPLINA			PROGR	REV	FOGLIO
				LI0B	02	E	ZZ	CL	VI	15	04	002	B	61

Tab. 3.3.II - Parametri per la definizione del coefficiente di esposizione

Categoria di esposizione del sito	K_r	z_0 [m]	z_{min} [m]
I	0,17	0,01	2
II	0,19	0,05	4
III	0,20	0,10	5
IV	0,22	0,30	8
V	0,23	0,70	12

Tabella 11 - Criterio di assegnazione della categoria di esposizione per le diverse zone italiane

Tab. 3.3.III - Classi di rugosità del terreno

Classe di rugosità del terreno	Descrizione
A	Aree urbane in cui almeno il 15% della superficie sia coperto da edifici la cui altezza media superi i 15 m
B	Aree urbane (non di classe A), suburbane, industriali e boschive
C	Aree con ostacoli diffusi (alberi, case, muri, recinzioni,....); aree con rugosità non riconducibile alle classi A, B, D
D	a) Mare e relativa fascia costiera (entro 2 km dalla costa); b) Lago (con larghezza massima pari ad almeno 1 km) e relativa fascia costiera (entro 1 km dalla costa) c) Aree prive di ostacoli o con al più rari ostacoli isolati (aperta campagna, aeroporti, aree agricole, pascoli, zone paludose o sabbiose, superfici innevate o ghiacciate,)

L'assegnazione della classe di rugosità non dipende dalla conformazione orografica e topografica del terreno. Si può assumere che il sito appartenga alla Classe A o B, purché la costruzione si trovi nell'area relativa per non meno di 1 km e comunque per non meno di 20 volte l'altezza della costruzione, per tutti i settori di provenienza del vento ampi almeno 30°. Si deve assumere che il sito appartenga alla Classe D, qualora la costruzione sorga nelle aree indicate con le lettere a) o b), oppure entro un raggio di 1 km da essa vi sia un settore ampio 30°, dove il 90% del terreno sia del tipo indicato con la lettera c). Laddove sussistano dubbi sulla scelta della classe di rugosità, si deve assegnare la classe più sfavorevole (l'azione del vento è in genere minima in Classe A e massima in Classe D).

Tabella 12 - Classi di rugosità del terreno

MANDATARIA HUB ENGINEERING <small>CONSORZIO STABILE SOCIETÀ CONSORTILE A R.L.</small>		MANDANTI HYpro S.P.A.		LINEA PESCARA – BARI RADDOPPIO DELLA TRATTA FERROVIARIA TERMOLI-LESINA LOTTO 2 e 3 – RADDOPPIO TERMOLI - RIPALTA										
VI15 da km 22+780,80 a km 23+265,80: Relazione di calcolo Spalla S2				COMMESSA	LOTTO	FASE	ENTE	TIPO DOC	OPERA 7 DISCIPLINA			PROGR	REV	FOGLIO
				LI0B	02	E	ZZ	CL	VI	15	04	002	B	62

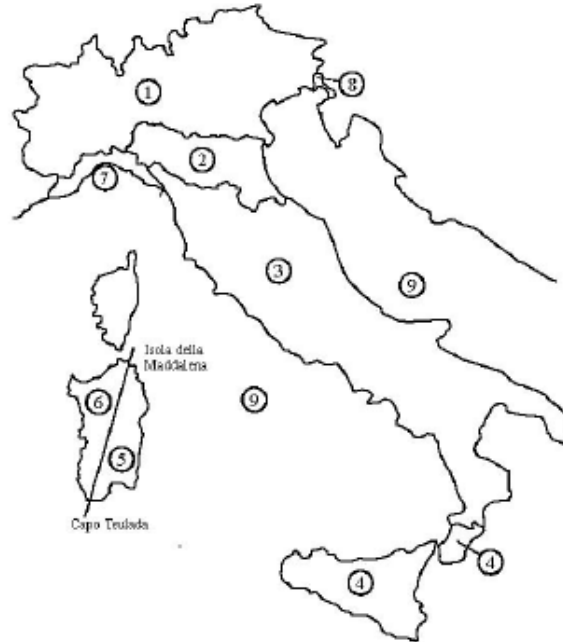


Fig. 3.3.1 - Mappa delle zone in cui è suddiviso il territorio italiano

Figura 20 - Zone caratterizzate da diversi valori della velocità di riferimento

Tab. 3.3.I - Valori dei parametri $v_{b,0}$, a_0 , k_s

Zona	Descrizione	$v_{b,0}$ [m/s]	a_0 [m]	k_s
1	Valle d'Aosta, Piemonte, Lombardia, Trentino Alto Adige, Veneto, Friuli Venezia Giulia (con l'eccezione della provincia di Trieste)	25	1000	0,40
2	Emilia Romagna	25	750	0,45
3	Toscana, Marche, Umbria, Lazio, Abruzzo, Molise, Puglia, Campania, Basilicata, Calabria (esclusa la provincia di Reggio Calabria)	27	500	0,37
4	Sicilia e provincia di Reggio Calabria	28	500	0,36
5	Sardegna (zona a oriente della retta congiungente Capo Teulada con l'Isola di Maddalena)	28	750	0,40
6	Sardegna (zona a occidente della retta congiungente Capo Teulada con l'Isola di Maddalena)	28	500	0,36
7	Liguria	28	1000	0,54
8	Provincia di Trieste	30	1500	0,50
9	Isole (con l'eccezione di Sicilia e Sardegna) e mare aperto	31	500	0,32

Tabella 13 - Valori dei parametri $v_{b,0}$, a_0 e k_s per le diverse zone italiane

**VI15 da km 22+780,80 a km 23+265,80:
Relazione di calcolo Spalla S2**

COMMESSA	LOTTO	FASE	ENTE	TIPO DOC	OPERA 7 DISCIPLINA			PROGR	REV	FOGLIO
LI0B	02	E	ZZ	CL	VI	15	04	002	B	63

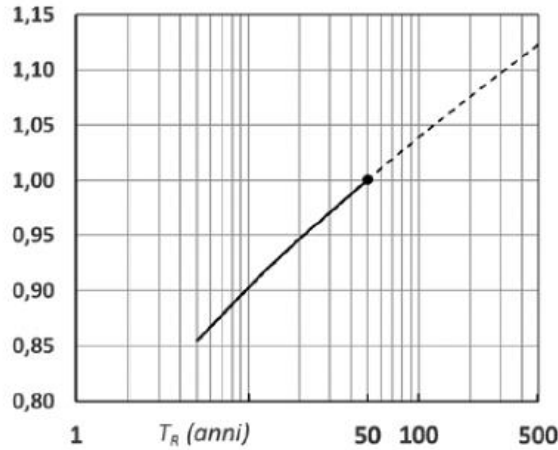


Figura C3.3.1 – Valori del coefficiente α_R in funzione del periodo di ritorno T_R (asse in scala logaritmica),

Figura 21 - Diagramma del coefficiente di ritorno α_r in funzione del periodo di ritorno TR

7.8.1 Azione del vento impalcato

NOME: CAMPATA L=25 m		CALCOLO AZIONE VENTO IMPALCATO (CNR DT207/2008)				Rev. 00
PARAMETRI VENTO DI PROGETTO		DATI GEOMETRICI IMPALCATO				AZIONI TOTALI IMPALCATO
Zona	3 (Tab.3.I)	h_{tot} (m)	7,80	Altezza impalcato		L influenza (m) 12,50
$v_{b,0}$ (m/s)	27,00 Velocità base liv. mare (Tab.3.I)	d (m)	13,70	Larghezza impalcato		F_x (kN) 234,6
c_a	1,00 Coeff. altitudine	d/h_{tot}	1,76 (§G.10.3)			F_y (kN) 206,3
v_b (m/s)	27,00 Velocità base riferimento vento	z (m)	20,00	Altezza dal suolo impalcato		M_z (kNm) 645,6
T_R (anni)	75 Tempo ritorno vento	c_e	2,81	Coeff. esposizione		
c_r	1,037 Coeff. tempo ritorno	ρ (kg/m ³)	1,25	Massa specifica aria		
v_r (m/s)	27,99 Velocità riferimento vento	q_p (Pa)	1376	Pressione cinetica picco		
k_a	0,02 Fattore altitudine (Tab.3.I)	c_{fx}	1,749			
a_s (m s.l.m.)	500 Altitudine sito	c_{fy}	0,876			
a_0 (m s.l.m.)	500 Altitudine base (Tab.3.I)	c_{mz}	0,20			
Categoria	2 (Tab. 3.II - 3.III)	f_x (kN/m)	18,77 (§G.10.3)			
k_r	0,19 Fattore terreno (Tab.3.II)	f_y (kN/m)	16,51 (§G.11.1)			
z_{min} (m)	4,00 Altezza minima (Tab.3.II)	m_z (kNm/m)	51,65 (§G.11.1)			
z_0 (m)	0,05 Altezza rugosità (Tab.3.II)					
c_t	1,00 Coeff. topografico					

$$f_x(z) = q_p(z) \cdot l \cdot c_{fx}$$

$$f_y(z) = q_p(z) \cdot l \cdot c_{fy}$$

$$m_z(z) = q_p(z) \cdot l^2 \cdot c_{mz}$$

**VI15 da km 22+780,80 a km 23+265,80:
Relazione di calcolo Spalla S2**

COMMESSA	LOTTO	FASE	ENTE	TIPO DOC	OPERA 7 DISCIPLINA			PROGR	REV	FOGLIO
LI0B	02	E	ZZ	CL	VI	15	04	002	B	64

NOME: IMPALCATO L=25 m				RIPARTIZIONE TRASVERSALE CARICHI (COURBON)											Rev. 00		
GEOMETRIA IMPALCATO				CARICHI Q6 (vento)													
L (m)	L _{sx} (m)	L _{dx} (m)	Int (m)	N	N°	-MZ/FY/2	MZ/FY/2	FY	-	-	-	-	-	-	-	-	-
13,70	3,25	3,25	2,40	4	Q _i (kN)	-206,32	206,32	206,32	0,00	0,00	0,00	0,00	0,00	0,00	0,00	0,00	206,32
					e _i (m)	-1,56	1,56	0,00	0,00	0,00	0,00	0,00	0,00	0,00	0,00	0,00	
DATI TRAVI				COEFFICIENTI INFLUENZA CARICHI TRAVI													
Trave N°	b _i (m)	I _i (cm ⁴)	b _i *I _i ² (m ³)	k ₁	k ₂	k ₃	k ₄	k ₅	k ₆	k ₇	k ₈	k ₉	k ₁₀	Q _{trave} (kN)			
1	-3,60	1	0,000	0,446	0,054	0,250	0,250	0,250	0,250	0,250	0,250	0,250	0,250	-29,12			
2	-1,20	1	0,000	0,315	0,185	0,250	0,250	0,250	0,250	0,250	0,250	0,250	0,250	24,68			
3	1,20	1	0,000	0,185	0,315	0,250	0,250	0,250	0,250	0,250	0,250	0,250	0,250	78,48			
4	3,60	1	0,000	0,054	0,446	0,250	0,250	0,250	0,250	0,250	0,250	0,250	0,250	132,28			
				0	0,000	1,00	1,00	1,00	1,00	1,00	1,00	1,00	1,00	206,32			

7.8.2 Azioni del vento muro d'ala

Per la valutazione delle azioni agenti sul muro d'ala, si considera la risultante dell'azione del vento su una barriera alta 5m. Inoltre, questa azione comprende le azioni aerodinamiche, per la cui si fa riferimento all'analisi dei carichi impalcato, che sono ricavate del modello locale usato per l'analisi della soletta, riportate sulla relazione di calcolo dell'impalcato in c.a.p. di luce L=25 m, in cui è stata considerata una pressione totale di 1.99 kN/m².

MANDATARIA 		MANDANTI 		LINEA PESCARA – BARI RADDOPPIO DELLA TRATTA FERROVIARIA TERMOLI-LESINA LOTTO 2 e 3 – RADDOPPIO TERMOLI - RIPALTA										
VI15 da km 22+780,80 a km 23+265,80: Relazione di calcolo Spalla S2				COMMESSA	LOTTO	FASE	ENTE	TIPO DOC	OPERA 7 DISCIPLINA			PROGR	REV	FOGLIO
				LI0B	02	E	ZZ	CL	VI	15	04	002	B	65

7.9 AZIONE SISMICA (E)

Nome	Tipo	γ_E (Fav / Sfav)	ψ_0	ψ_1	ψ_2
SISMA	Sismiche	EQU 0.00 / 1.00 (A1) 0.00 / 1.00 (A2) 0.00 / 1.00	-	-	-

Le azioni sismiche di progetto, in base alle quali valutare il rispetto dei diversi stati limite considerati, si definiscono a partire dalla “pericolosità sismica di base” del sito di costruzione, che costituisce l’elemento di conoscenza primario per la determinazione delle azioni sismiche. La pericolosità sismica del sito è definita in termini di:

a_g	accelerazione orizzontale massima del terreno
F_0	valore massimo del fattore di amplificazione dello spettro in accelerazione orizzontale
T_C^*	periodo di inizio del tratto a velocità costante dello spettro in accelerazione orizzontale

L’accelerazione orizzontale massima attesa a_g è riferita in condizioni di campo libero su sito di riferimento rigido con superficie topografica orizzontale di categoria A, nonché di ordinate dello spettro di risposta elastico in accelerazione ad essa corrispondente $S_e(T)$, con riferimento a prefissate probabilità di eccedenza P_{VR} nel periodo di riferimento V_R per ogni stato limite considerato.

I valori dei parametri a_g , F_0 e T_C^* relativi alla pericolosità sismica su reticolo di riferimento nell’intervallo di riferimento sono forniti nelle tabelle riportate nell’ALLEGATO B delle NTC.

7.9.1 Stati limite di progetto sismici

L’opera in questione rientra in particolare nell’ambito del Progetto di Raddoppio della tratta Ferroviaria “Linea Pescara - Bari - Raddoppio Termoli - Lesina”, che si sviluppa per circa 25Km, attraversando il territorio di diverse località, tra cui Termoli (CB), Campomarino (CB), Campomarino – Santa Monica (CB), Marina di Chieti / Chieti (FG), Serracapriola- Loc.SS16 (FG).

MANDATARIA HUB ENGINEERING <small>CONSORZIO STABILE SOCIETÀ CONSORTILE A R.L.</small>		MANDANTI HYpro S.P.A.		LINEA PESCARA – BARI RADDOPPIO DELLA TRATTA FERROVIARIA TERMOLI-LESINA LOTTO 2 e 3 – RADDOPPIO TERMOLI - RIPALTA										
VI15 da km 22+780,80 a km 23+265,80: Relazione di calcolo Spalla S2				COMMESSA	LOTTO	FASE	ENTE	TIPO DOC	OPERA 7 DISCIPLINA			PROGR	REV	FOGLIO
				LI0B	02	E	ZZ	CL	VI	15	04	002	B	66

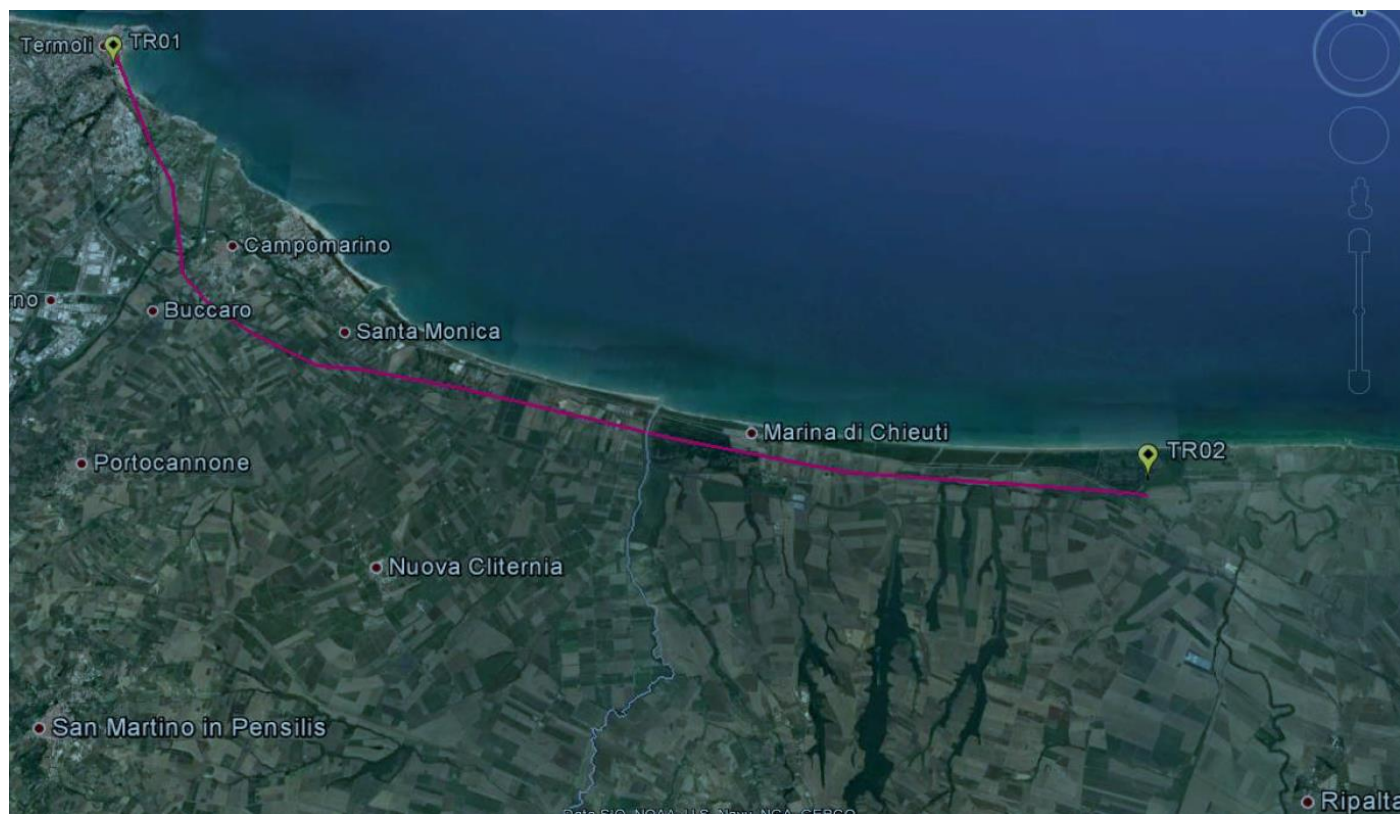


Figura 22- Configurazione planimetrica tracciato

In considerazione della variabilità dei parametri di pericolosità sismica con la localizzazione geografica del sito, ed allo scopo di individuare dei tratti omogenei nell'ambito dei quali assumere costanti detti parametri, si è provveduto a suddividere il tracciato in quattro sottozone sismiche, a seguito di un esame generale del livello pericolosità sismica dell'area che evidenzia un graduale incremento dell'intensità sismica da nord verso sud; nella fattispecie le zone sismiche "omogenee" individuate, sono quelle di seguito elencate:

Progr. Inizio	Progr. Fine	Località di Riferimento Azioni Sismiche	Zona sismica Locale
0	5.250,00	Campomarino(CB)	S1
5.250,00	10.000,00	Campomarino - Santa Monica (CB)	S2
10.000,00	18.650,00	Marina di Chieuti /Chieuti (FG)	S3
18.650,00	24.200,00	Serracapriola- Loc.SS16 (FG)	S4

Tabella 14 - Tabella di riepilogo località di riferimento per la valutazione delle azioni sismiche per il progetto delle opere

La vita nominale V_N delle infrastrutture ferroviarie può, di norma, assumersi come indicato nella seguente tabella:

MANDATARIA 		MANDANTI 		LINEA PESCARA – BARI RADDOPPIO DELLA TRATTA FERROVIARIA TERMOLI-LESINA LOTTO 2 e 3 – RADDOPPIO TERMOLI - RIPALTA										
VI15 da km 22+780,80 a km 23+265,80: Relazione di calcolo Spalla S2				COMMESSA	LOTTO	FASE	ENTE	TIPO DOC	OPERA 7 DISCIPLINA			PROGR	REV	FOGLIO
				LI0B	02	E	ZZ	CL	VI	15	04	002	B	67

TIPO DI COSTRUZIONE ⁽¹⁾	Vita Nominale V_N [Anni] ⁽¹⁾
OPERE NUOVE SU INFRASTRUTTURE FERROVIARIE PROGETTATE CON LE NORME VIGENTI PRIMA DEL DM 14.01.2008 A VELOCITÀ CONVENZIONALE ($V < 250$ Km/h)	50
ALTRE OPERE NUOVE A VELOCITÀ $V < 250$ Km/h	75
ALTRE OPERE NUOVE A VELOCITÀ $V \geq 250$ km/h	100
OPERE DI GRANDI DIMENSIONI: PONTI E VIADOTTI CON CAMPATE DI LUCE MAGGIORE DI 150 m	≥ 100 ⁽²⁾
(1) – La stessa V_N si applica anche ad apparecchi di appoggio, coprigiunti e impermeabilizzazione delle stesse opere. (2) - Da definirsi per il singolo progetto a cura di FERROVIE.	

Per le opere definitive e tenendo conto delle indicazioni precedenti, si ha il periodo di riferimento della struttura $V_R = 112.5$ anni, si possono pertanto individuare i seguenti stati limite:

SLATO LIMITE	T_R [anni]	a_g [g]	F_o [-]	T_c^* [s]
SLO	68	0,066	2,494	0,324
SLD	113	0,082	2,548	0,332
SLV	1068	0,195	2,532	0,375
SLC	2193	0,253	2,507	0,382

Tabella 15 - Parametri sismici per i vari stati limite di progetto

Con riferimento al §7 delle NTC 2008, le costruzioni caratterizzate nei confronti dello SLV, da $a_g S \leq 0.075g$, possono essere progettate e verificate con la sola verifica nei confronti dello SLV.

Con riferimento alle caratteristiche dell'opera, si sono analizzati i seguenti stati limite di progetto:

- *Stato limite di danno (SLD)*: a seguito del terremoto la costruzione nel suo complesso, includendo gli elementi strutturali quelli non strutturali e le apparecchiature rilevanti alla sua funzione, subisce danni tali da non mettere a rischio gli utenti e da non compromettere significativamente la capacità di resistenza e di rigidità nei confronti delle azioni verticali ed orizzontali, mantenendosi immediatamente utilizzabile pur nell'interruzione d'uso di parte delle apparecchiature

Probabilità di superamento

$$P_{VR} = 63\%$$

Tempo di ritorno

$$T_R = -V_R / \ln(1-P_{VR}) = -112.5 / \ln(1-0.63) = 113 \text{ anni}$$

- *Stato limite ultimo di salvaguardia della vita (SLV)*: a seguito del terremoto la costruzione subisce rotture e crolli dei componenti non strutturali ed impiantistici e significativi danni dei componenti strutturali cui si associa una perdita significativa di rigidità nei confronti delle azioni orizzontali; la costruzione conserva

MANDATARIA 		MANDANTI 		LINEA PESCARA – BARI RADDOPPIO DELLA TRATTA FERROVIARIA TERMOLI-LESINA LOTTO 2 e 3 – RADDOPPIO TERMOLI - RIPALTA										
VI15 da km 22+780,80 a km 23+265,80: Relazione di calcolo Spalla S2				COMMESSA	LOTTO	FASE	ENTE	TIPO DOC	OPERA 7 DISCIPLINA			PROGR	REV	FOGLIO
				LI0B	02	E	ZZ	CL	VI	15	04	002	B	68

invece una parte della resistenza e rigidezza per azioni verticali e un margine di sicurezza nei confronti del collasso per azioni sismiche orizzontali

Probabilità di superamento

$$P_{VR} = 10\%$$

Tempo di ritorno

$$T_R = -V_R / \ln(1-P_{VR}) = -112.5 / \ln(1-0.10) = 1068 \text{ anni}$$

7.9.2 Spettri di risposta

Per il sito in esame, in base alle caratteristiche geotecniche di riferimento e dalla morfologia del terreno descritti nei capitoli precedenti, il sottosuolo può essere classificato come:

Categoria sottosuolo

“B”

Rocce tenere e depositi di terreni a gran grossa molto addensati o terreni a grana fina molto consistenti, caratterizzati da un miglioramento delle proprietà meccaniche con la profondità e da valori di velocità equivalente compresi tra 360 m/s e 800 m/s

Categoria topografica

“T1”

Superficie pianeggiante, pendii e rilievi isolati con inclinazione media $i \leq 15^\circ$

Lo spettro di risposta elastico orizzontale $S_e(T)$ del sisma è definito dalle espressioni seguenti:

$$0 \leq T < T_B \quad S_e(T) = a_g \cdot S \cdot \eta \cdot F_0 \cdot \left[\frac{T}{T_B} + \frac{1}{\eta \cdot F_0} \cdot \left(1 - \frac{T}{T_B} \right) \right]$$

$$T_B \leq T < T_C \quad S_e(T) = a_g \cdot S \cdot \eta \cdot F_0$$

$$T_C \leq T < T_D \quad S_e(T) = a_g \cdot S \cdot \eta \cdot F_0 \cdot \left[\frac{T_C}{T} \right]$$

$$T_D \leq T \quad S_e(T) = a_g \cdot S \cdot \eta \cdot F_0 \cdot \left[\frac{T_D \cdot T_C}{T^2} \right]$$

T periodo di vibrazione orizzontale [s]

$S_e(T)$ accelerazione spettrale orizzontale [m/s^2]

$S = S_S \cdot S_T$ coefficiente della categoria di sottosuolo e delle condizioni topografiche

S_S coefficiente di amplificazione stratigrafica (vedi tabella seguente)

S_T coefficiente di amplificazione topografica (vedi tabella seguente)

$\eta = \sqrt{10 / (5 + \xi)} \geq 0,55$ fattore che altera lo spettro elastico per smorzamento viscosi diversi dal 5%

ξ coefficiente di smorzamento viscoso [%]

F_0 fattore che quantifica l'amplificazione spettrale massima

$T_C = C_C \cdot T_C^*$ periodo corrispondente all'inizio del tratto a velocità costante dello spettro

C_C coefficiente definito nella tabella seguente

$T_B = T_C/3$ periodo corrispondente all'inizio del tratto dello spettro ad accelerazione costante

$T_D = 4 \cdot a_g/g + 1,6$ periodo corrispondente all'inizio del tratto a spostamento costante dello spettro

Categoria sottosuolo	S_S	C_C
A	1.00	1.00
B	$1.0 \leq 1.40 - 0.40 \cdot F_0 \cdot a_g/g \leq 1.20$	$1.10 \cdot (T_C^*)^{-0.20}$

MANDATARIA 		MANDANTI 		LINEA PESCARA – BARI RADDOPPIO DELLA TRATTA FERROVIARIA TERMOLI-LESINA LOTTO 2 e 3 – RADDOPPIO TERMOLI - RIPALTA										
VI15 da km 22+780,80 a km 23+265,80: Relazione di calcolo Spalla S2				COMMESSA	LOTTO	FASE	ENTE	TIPO DOC	OPERA 7 DISCIPLINA			PROGR	REV	FOGLIO
				LI0B	02	E	ZZ	CL	VI	15	04	002	B	69

C	$1.0 \leq 1.70 - 0.6 \cdot F_0 \cdot a_g / g \leq 1.50$	$1.05 \cdot (T_c^*)^{-0.33}$
D	$0.90 \leq 2.40 - 1.50 \cdot F_0 \cdot a_g / g \leq 1.80$	$1.25 \cdot (T_c^*)^{-0.50}$
E	$1.0 \leq 2.00 - 1.10 \cdot F_0 \cdot a_g / g \leq 1.60$	$1.15 \cdot (T_c^*)^{-0.40}$

Tabella 16 - Coefficienti di amplificazione stratigrafica orizzontale

Categoria topografica	Ubicazione dell'opera o dell'intervento	S _T
T1	-	1.0
T2	In corrispondenza della sommità del pendio	1.2
T3	In corrispondenza della cresta del rilievo	1.2
T4	In corrispondenza della cresta del rilievo	1.4

Tabella 17 - Coefficienti di amplificazione topografica

Lo spettro di risposta elastico verticale $S_{ve}(T)$ del sisma è definito dalle espressioni seguenti:

$$0 \leq T < T_B \quad S_{ve}(T) = a_g \cdot S \cdot \eta \cdot F_v \cdot \left[\frac{T}{T_B} + \frac{1}{\eta \cdot F_v} \cdot \left(1 - \frac{T}{T_B} \right) \right]$$

$$T_B \leq T < T_C \quad S_{ve}(T) = a_g \cdot S \cdot \eta \cdot F_v$$

$$T_C \leq T < T_D \quad S_{ve}(T) = a_g \cdot S \cdot \eta \cdot F_v \cdot \left[\frac{T_C}{T} \right]$$

$$T_D \leq T \quad S_{ve}(T) = a_g \cdot S \cdot \eta \cdot F_v \cdot \left[\frac{T_D \cdot T_C}{T^2} \right]$$

T periodo di vibrazione verticale [s]

$S_{ve}(T)$ accelerazione spettrale verticale [m/s²]

$F_v = 1,35 \cdot F_0 \cdot (a_g/g)^{0.5}$ fattore che quantifica l'accelerazione spettrale massima

I parametri S_s , T_B , T_C e T_D per la definizione dello spettro verticale sono indipendenti dalla categoria di suolo e assumono i valori riportati nella tabella seguente.

Categoria sottosuolo	S _s	T _B	T _C	T _D
A, B, C, D, E	1.0	0.05 s	0.15 s	1.0 s

Tabella 18 - Coefficienti di amplificazione stratigrafica verticale

Le capacità dissipative della struttura possono essere considerate nella fase di analisi attraverso una riduzione delle forze elastiche, che tiene conto in modo semplificato della capacità dissipativa anelastica della struttura, della sua sovraresistenza, dell'incremento del suo periodo proprio a seguito delle plasticizzazioni. In tal caso, lo spettro di progetto $S_d(T)$ da utilizzare è lo spettro elastico ridotto sostituendo nelle formule corrispondenti η con $1/q$, dove q è il fattore di struttura. Si assume comunque $S_d(T) \geq 0,2a_g$.

MANDATARIA 		MANDANTI 		LINEA PESCARA – BARI RADDOPPIO DELLA TRATTA FERROVIARIA TERMOLI-LESINA LOTTO 2 e 3 – RADDOPPIO TERMOLI - RIPALTA										
VI15 da km 22+780,80 a km 23+265,80: Relazione di calcolo Spalla S2				COMMESSA	LOTTO	FASE	ENTE	TIPO DOC	OPERA 7 DISCIPLINA			PROGR	REV	FOGLIO
				LI0B	02	E	ZZ	CL	VI	15	04	002	B	70

Il valore del fattore di struttura q da utilizzare per ciascuna direzione della azione sismica dipende dalla tipologia strutturale, dal suo grado di iperstaticità e dai criteri di progettazione adottati e prende in conto le non linearità di materiale. Esso può essere calcolato tramite la seguente espressione:

$$q = q_0 \cdot K_R$$

q_0 valore massimo del fattore di struttura che dipende dal livello di duttilità attesa, dalla tipologia strutturale e dal rapporto α_u/α_1 tra il valore dell'azione sismica per il quale si verifica la formazione di un numero di cerniere plastiche tali da rendere la struttura labile e quello per il quale il primo elemento strutturale raggiunge la plasticizzazione a flessione

K_R fattore riduttivo che dipende dalle caratteristiche di regolarità in altezza della costruzione

Il valore di q utilizzato per la componente verticale dell'azione sismica allo SLV, a meno di adeguate analisi giustificative, è $q = 1.50$ per qualunque tipologia strutturale e di materiale, tranne che per i ponti per i quali è $q = 1.00$.

7.9.2.1 *Pile e spalle da ponte*

Le capacità dissipative delle singole sottostrutture sono variabili a seconda di che si tratti delle pile o delle spalle.

Nel caso di comportamento strutturale non dissipativo, la capacità delle membrature e dei collegamenti deve essere valutata in accordo con le regole di cui al Capitolo 4, senza nessun requisito aggiuntivo, a condizione che: per le strutture di calcestruzzo armato, nessuna sezione superi la curvatura convenzionale di prima plasticizzazione, come definita al § 7.4.4.1.2; per le strutture di calcestruzzo armato precompresso e per le strutture in carpenteria metallica, nessun materiale superi la deformazione di snervamento di progetto.

Nel caso di comportamento strutturale dissipativo, la struttura del ponte deve essere concepita e dimensionata in modo tale che, sotto l'azione sismica relativa allo SLV, essa dia luogo alla formazione di un meccanismo dissipativo stabile nel quale la dissipazione sia limitata alle pile.

Ai soli fini del progetto dei pali di fondazione, con riferimento al §7.2.5, è possibile considerare una limitata capacità dissipativa, dividendo per 1.50 le sollecitazioni sismiche sui pali derivanti dall'analisi strutturale con comportamento non dissipativo. In questo caso, per una lunghezza pari a 10 diametri dalla sommità del palo, devono applicarsi i dettagli costruttivi di cui al §7.9.6.1 relativi alla CD"B".

Gli elementi ai quali non è mai richiesta capacità dissipativa devono mantenere un comportamento sostanzialmente elastico; essi sono: gli elementi progettati per avere un comportamento non dissipativo, le porzioni esterne alle zone dissipative delle pile, l'impalcato, gli apparecchi di appoggio, le strutture di fondazione, le spalle, le pile che non scambiano azioni orizzontali con l'impalcato.

Per le due componenti orizzontali dell'azione sismica, nel caso di comportamento strutturale non dissipativo $q_0 = 1.00$, mentre per comportamento strutturale dissipativo i valori di q_0 sono quelli di Tab. 7.3.II con le seguenti:

$$\lambda(\alpha) = \begin{cases} 1.00 & \alpha \geq 3.00 \\ (\alpha/3)^{0.5} & 3.00 > \alpha \geq 1.00 \end{cases}$$

MANDATARIA 		MANDANTI 		LINEA PESCARA – BARI RADDOPPIO DELLA TRATTA FERROVIARIA TERMOLI-LESINA LOTTO 2 e 3 – RADDOPPIO TERMOLI - RIPALTA								
VI15 da km 22+780,80 a km 23+265,80: Relazione di calcolo Spalla S2		COMMESSA	LOTTO	FASE	ENTE	TIPO DOC	OPERA 7 DISCIPLINA			PROGR	REV	FOGLIO
		LI0B	02	E	ZZ	CL	VI	15	04	002	B	71

$\alpha = L/H$

L distanza della sezione di cerniera plastica dalla sezione di momento nullo

H dimensione della sezione nel piano di inflessione della cerniera plastica

Per gli elementi duttili di calcestruzzo armato si ha che per la scelta dei valori di q_0 si ha:

$v_k < 0.30$

$q_0 =$ valori di Tab. 7.3.II

$0.30 < v_k < 0.60$

$q_0(v_k) = q_0(v_k=0.3) - (v_k / 0.3 - 1) * (q_0(v_k=0.3) - 1)$

$v_k = N_{Ed} / (A_c * f_{ck}) < 0.30$

sollecitazione di compressione normalizzata

N_{Ed}

sforzo di progetto

$A_c * f_{ck}$

resistenza a compressione semplice della sezione

In accordo al §7.9.2 delle NTC 2008, per le verifiche strutturali delle pile si considera classe di duttilità CD“B” e coefficiente di struttura $q_0 = 1.50$, per le spalle si considera coefficiente di struttura $q_0 = 1.50$.

VI15 da km 22+780,80 a km 23+265,80:
Relazione di calcolo Spalla S2

COMMESSA	LOTTO	FASE	ENTE	TIPO DOC	OPERA 7 DISCIPLINA			PROGR	REV	FOGLIO
LI0B	02	E	ZZ	CL	VI	15	04	002	B	72

Parametri e punti dello spettro di risposta orizzontale per lo stato limiSLV

Parametri indipendenti

STATO LIMITE	SLV
a_g	0,242 g
F_o	2,452
T_c	0,346 s
S_s	1,163
C_c	1,360
S_T	1,000
q	1,000

Parametri dipendenti

S	1,163
η	1,000
T_B	0,157 s
T_C	0,470 s
T_D	2,567 s

Espressioni dei parametri dipendenti

$$S = S_s \cdot S_T \quad (\text{NTC-08 Eq. 3.2.5})$$

$$\eta = \sqrt{10/(5+\xi)} \geq 0,55; \eta = 1/q \quad (\text{NTC-08 Eq. 3.2.6; §. 3.2.3.5})$$

$$T_B = T_c / 3 \quad (\text{NTC-07 Eq. 3.2.8})$$

$$T_C = C_c \cdot T_c \quad (\text{NTC-07 Eq. 3.2.7})$$

$$T_D = 4,0 \cdot a_g / g + 1,6 \quad (\text{NTC-07 Eq. 3.2.9})$$

Espressioni dello spettro di risposta (NTC-08 Eq. 3.2.4)

$$0 \leq T < T_B \quad S_e(T) = a_g \cdot S \cdot \eta \cdot F_o \cdot \left[\frac{T}{T_B} + \frac{1}{\eta \cdot F_o} \left(1 - \frac{T}{T_B} \right) \right]$$

$$T_B \leq T < T_C \quad S_e(T) = a_g \cdot S \cdot \eta \cdot F_o$$

$$T_C \leq T < T_D \quad S_e(T) = a_g \cdot S \cdot \eta \cdot F_o \cdot \left(\frac{T_C}{T} \right)$$

$$T_D \leq T \quad S_e(T) = a_g \cdot S \cdot \eta \cdot F_o \cdot \left(\frac{T_C \cdot T_D}{T} \right)$$

Lo spettro di progetto $S_d(T)$ per le verifiche agli Stati Limite Ultimi è ottenuto dalle espressioni dello spettro elastico $S_e(T)$ sostituendo η con $1/q$, dove q è il fattore di struttura. (NTC-08 § 3.2.3.5)

Punti dello spettro di risposta

	T [s]	Se [g]
	0,000	0,281
T_B	0,157	0,689
T_C	0,470	0,689
	0,570	0,568
	0,670	0,484
	0,770	0,421
	0,869	0,373
	0,969	0,334
	1,069	0,303
	1,169	0,277
	1,269	0,255
	1,369	0,237
	1,468	0,221
	1,568	0,207
	1,668	0,194
	1,768	0,183
	1,868	0,173
	1,968	0,165
	2,067	0,157
	2,167	0,149
	2,267	0,143
	2,367	0,137
	2,467	0,131
T_D	2,567	0,126
	2,635	0,120
	2,703	0,114
	2,771	0,108
	2,840	0,103
	2,908	0,098
	2,976	0,094
	3,044	0,090
	3,113	0,086
	3,181	0,082
	3,249	0,079
	3,317	0,076
	3,386	0,073
	3,454	0,070
	3,522	0,067
	3,590	0,064
	3,659	0,062
	3,727	0,060
	3,795	0,058
	3,863	0,056
	3,932	0,054
	4,000	0,052

Tabella 19 - Opere definitive - Parametri dello spettro di risposta orizzontale allo SLV

VI15 da km 22+780,80 a km 23+265,80:
Relazione di calcolo Spalla S2

COMMESSA	LOTTO	FASE	ENTE	TIPO DOC	OPERA 7 DISCIPLINA			PROGR	REV	FOGLIO
LI0B	02	E	ZZ	CL	VI	15	04	002	B	73

Parametri e punti dello spettro di risposta verticale per lo stato limite SLV

Parametri indipendenti

STATO LIMITE	SLV
a_{TV}	0,160 g
S_S	1,000
S_T	1,000
q	1,000
T_B	0,050 s
T_C	0,150 s
T_D	1,000 s

Parametri dipendenti

F_v	1,627
S	1,000
η	1,000

Espressioni dei parametri dipendenti

$$S = S_s \cdot S_T \quad (\text{NTC-08 Eq. 3.2.5})$$

$$\eta = 1/q \quad (\text{NTC-08 §. 3.2.3.5})$$

$$F_v = 1,35 \cdot F_o \cdot \left(\frac{a_g}{g}\right)^{0,5} \quad (\text{NTC-08 Eq. 3.2.11})$$

Espressioni dello spettro di risposta (NTC-08 Eq. 3.2.10)

$$0 \leq T < T_B \quad S_e(T) = a_g \cdot S \cdot \eta \cdot F_v \cdot \left[\frac{T}{T_B} + \frac{1}{\eta \cdot F_o} \left(1 - \frac{T}{T_B} \right) \right]$$

$$T_B \leq T < T_C \quad S_e(T) = a_g \cdot S \cdot \eta \cdot F_v$$

$$T_C \leq T < T_D \quad S_e(T) = a_g \cdot S \cdot \eta \cdot F_v \cdot \left(\frac{T_C}{T} \right)$$

$$T_D \leq T \quad S_e(T) = a_g \cdot S \cdot \eta \cdot F_v \cdot \left(\frac{T_C \cdot T_D}{T^2} \right)$$

Punti dello spettro di risposta

	T [s]	Se [g]
	0,000	0,160
$T_B \leftarrow$	0,050	0,393
$T_C \leftarrow$	0,150	0,393
	0,235	0,251
	0,320	0,184
	0,405	0,146
	0,490	0,120
	0,575	0,103
	0,660	0,089
	0,745	0,079
	0,830	0,071
	0,915	0,064
$T_D \leftarrow$	1,000	0,059
	1,094	0,049
	1,188	0,042
	1,281	0,036
	1,375	0,031
	1,469	0,027
	1,563	0,024
	1,656	0,021
	1,750	0,019
	1,844	0,017
	1,938	0,016
	2,031	0,014
	2,125	0,013
	2,219	0,012
	2,313	0,011
	2,406	0,010
	2,500	0,009
	2,594	0,009
	2,688	0,008
	2,781	0,008
	2,875	0,007
	2,969	0,007
	3,063	0,006
	3,156	0,006
	3,250	0,006
	3,344	0,005
	3,438	0,005
	3,531	0,005
	3,625	0,004
	3,719	0,004
	3,813	0,004
	3,906	0,004
	4,000	0,004

Tabella 20 - Opere definitive - Parametri dello spettro di risposta verticale allo SLV

**VI15 da km 22+780,80 a km 23+265,80:
Relazione di calcolo Spalla S2**

COMMESSA	LOTTO	FASE	ENTE	TIPO DOC	OPERA 7 DISCIPLINA			PROGR	REV	FOGLIO
LI0B	02	E	ZZ	CL	VI	15	04	002	B	74

Spettri di risposta (componenti orizz. e vert.) per lo stato limit SLV

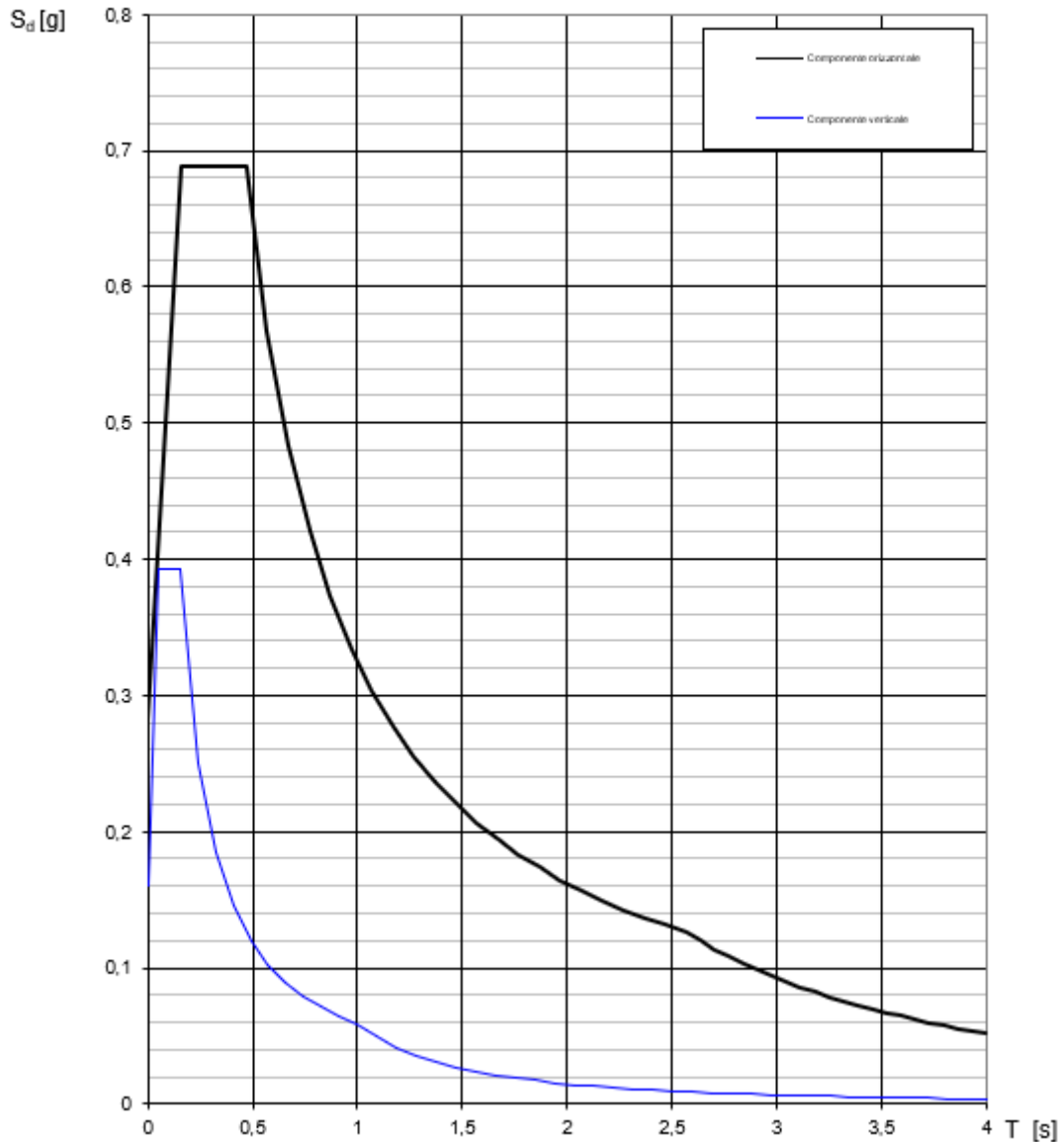


Figura 23- Spettri di risposta elastici (componente orizzontale e verticale)

In accordo con le prescrizioni normative, lo spettro di risposta elastico è stato considerato solo ai fini della valutazione delle azioni in fondazione e per la valutazione delle azioni sugli apparecchi di appoggio.

**VI15 da km 22+780,80 a km 23+265,80:
Relazione di calcolo Spalla S2**

COMMESSA	LOTTO	FASE	ENTE	TIPO DOC	OPERA 7 DISCIPLINA			PROGR	REV	FOGLIO
LI0B	02	E	ZZ	CL	VI	15	04	002	B	75

Spettri di risposta (componenti orizz. e vert.) per lo stato limiti SLV

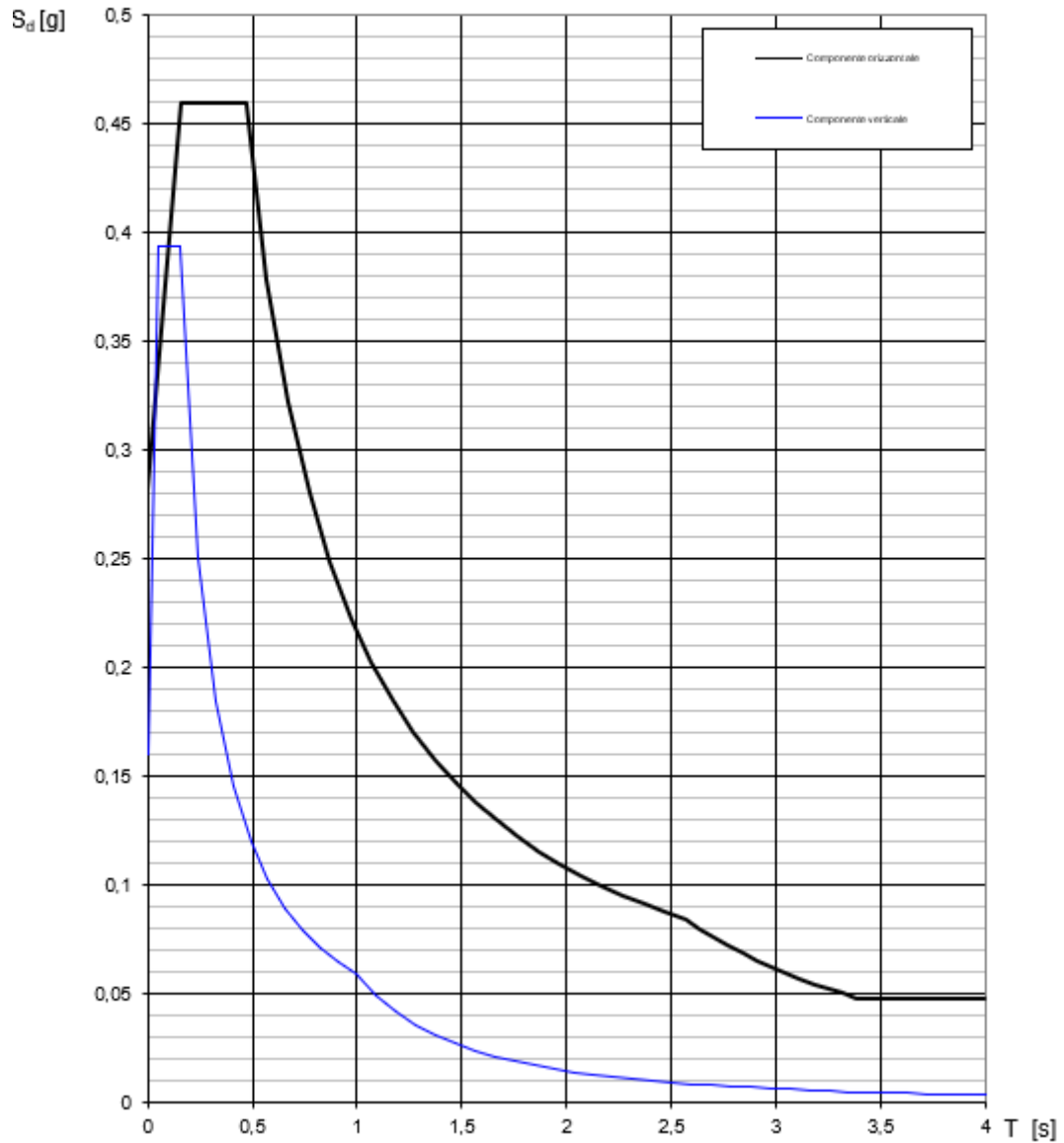


Figura 24- Spettri di risposta di progetto (componente orizzontale e verticale)

MANDATARIA 		MANDANTI 		LINEA PESCARA – BARI RADDOPPIO DELLA TRATTA FERROVIARIA TERMOLI-LESINA LOTTO 2 e 3 – RADDOPPIO TERMOLI - RIPALTA										
VI15 da km 22+780,80 a km 23+265,80: Relazione di calcolo Spalla S2				COMMESSA	LOTTO	FASE	ENTE	TIPO DOC	OPERA 7 DISCIPLINA			PROGR	REV	FOGLIO
				LI0B	02	E	ZZ	CL	VI	15	04	002	B	76

7.9.3 Amplificazione sismica di progetto

7.9.3.1 Metodo pseudostatico per muri

Con riferimento al § 7.11.6.2 delle NTC 2008 si esegue l'analisi con il metodo pseudostatico, dove l'azione sismica è rappresentata da una forza statica equivalente pari al prodotto delle forze di gravità per un opportuno coefficiente sismico.

La deformabilità della parete viene tenuta in conto mediante dei coefficienti riduttivi correlati al massimo spostamento u_s che l'opera di altezza complessiva H , può ammettere senza riduzioni di resistenza ($u_{s,max}$) e tale per cui sia verificata l'ipotesi di riduzione dell'azione sismica per duttilità strutturale ($u_{s,min}$).

$k_v = \beta_m \cdot S_S \cdot S_T \cdot a_g / g$	coefficiente sismico orizzontale
$k_v = \pm 0.5 \cdot k_h$	coefficiente sismico verticale (di solito non considerato nelle paratie)
$S_S = 1.404$	coefficiente di amplificazione stratigrafica orizzontale
$S_T = 1.00$	coefficiente di amplificazione topografica
a_g	accelerazione massima attesa al sito per lo Stato Limite considerato
$g = 9.81 \text{ m/s}^2$	accelerazione di gravità
$\beta_m = 1.00$	(per muri non liberi di seguire spostamenti relativi rispetto al terreno, vedi §7.11.6.2.1 delle NTC2008)

Si aggiunge che, secondo le NTC2018, i valori del coefficiente β_m possono eventualmente essere incrementati in ragione di particolari caratteristiche prestazionali del muro, prendendo a riferimento il diagramma di Figura 7.11.3 di cui al successivo §7.11.6.3.2 (coefficiente delle spinte β_m vs spostamenti orizzontali massimi u_s).

Secondo il §3.10.3.1 del MdP del Corpo Stradale si ha infatti che:

“Nelle analisi di muri su pali eseguite con il metodo pseudostatico, i valori dei coefficienti sismici orizzontali e verticali, nelle verifiche allo stato limite ultimo, potranno essere assunti come definito al paragrafo 7.11.6.2.1 delle NTC 2018 adottando coefficiente β_m unitario.”

7.9.3.2 Azioni inerziali masse

Le azioni inerziali E_h e E_v associate alle masse degli elementi strutturali dei carichi permanenti strutturali e non strutturali sono determinati incrementando le masse schematizzate nel modello di calcolo secondo gli spettri di progetto secondo le seguenti relazioni:

$$E_h = G \cdot S_e(T) \quad \text{azione inerziale orizzontale}$$

$$E_v = G \cdot S_{ve}(T) \quad \text{azione inerziale verticale}$$

Con riferimento a §3.2.4 delle NTC 2008, si considera in fase sismica il contributo delle azioni accidentali come previsto per i ponti ferroviari, pari al 20% del sovraccarico nominale:

$$G = G_1 + G_2 + \sum_j \psi_{2j} \cdot Q_{kj}$$

G	massa totale efficace
G_1	masse dei pesi propri strutturali
G_2	masse dei carichi permanenti non strutturali (permanentemente, terreno)
Q_{kj}	masse dei carichi accidentali

MANDATARIA 		MANDANTI 		LINEA PESCARA – BARI RADDOPPIO DELLA TRATTA FERROVIARIA TERMOLI-LESINA LOTTO 2 e 3 – RADDOPPIO TERMOLI - RIPALTA										
VI15 da km 22+780,80 a km 23+265,80: Relazione di calcolo Spalla S2				COMMESSA	LOTTO	FASE	ENTE	TIPO DOC	OPERA 7 DISCIPLINA			PROGR	REV	FOGLIO
				LI0B	02	E	ZZ	CL	VI	15	04	002	B	77

$\Psi_{2j} = 0.2$ se ponti ferroviari (§5.2.2.8) o ponti stradali alto traffico (§5.1.3.12)

Le azioni inerziali orizzontali E_x e verticali E_y delle masse efficaci sono determinate incrementando i pesi propri G con accelerazioni verticali e orizzontali definite dai coefficienti di amplificazione dinamica k_h e k_v :

$E_x = G \cdot k_h$ azione inerziale orizzontale

$E_y = G \cdot k_v$ azione inerziale verticale

$G = G_1 + G_2 + \Psi_{2j} \cdot Q$ masse efficaci sismiche

7.9.4 Sovrappinte dinamiche del terreno

I valori delle spinte vengono computate automaticamente dai software secondo le metodologie seguenti, per ulteriori approfondimenti si rimanda direttamente al manuale d'uso.

7.9.4.1 Azioni inerziali masse

Le sovrappinte $\Delta S_{ah,E}$ sono calcolate in spinta attiva secondo il metodo di Mononome-Okabe:

$$\Delta S_{ah,E} = S_{ah,E} - S_{ah}$$

$$S_{ah} = \frac{1}{2} \cdot \gamma^* \cdot H^2 \cdot K_a \quad \text{spinta attiva statica sulla parete}$$

$$S_{ah,E} = \frac{1}{2} \cdot \gamma^* \cdot (1 \pm k_v) \cdot H^2 \cdot K_{aE} \quad \text{spinta attiva sismica sulla parete}$$

$$K_{aE} = \frac{\sin^2(\psi + \varphi - \theta)}{\cos\theta \cdot \sin^2\psi \cdot \sin(\psi - \theta - \delta) \left[1 + \sqrt{\frac{\sin(\varphi + \delta) \cdot \sin(\varphi - \beta - \theta)}{\sin(\psi - \theta - \delta) \cdot \sin(\psi + \beta)}} \right]^2} \quad \text{coeff. spinta att. sismica (M-O)}$$

K_a coefficiente di spinta attiva statico

$H^* = H + \Delta H$ altezza della parete di spinta dal fondo scavo

$\Delta H = 0$ incremento dell'altezza della parete di spinta dal fondo scavo

$\gamma^*(z)$ peso specifico del terreno

φ angolo attrito del terreno

δ attrito tra terreno e parete

$\psi = 90^\circ$ angolo tra parete di spinta e piano orizzontale

β angolo inclinazione tra profilo e piano orizzontale

k_h coefficiente di amplificazione orizzontale

k_v coefficiente di amplificazione verticale

$\Theta = \arctan(k_h / (1 \pm k_v))$ terreni sopra falda $\gamma^* = \gamma_{sat}$

$\Theta = \arctan(k_h / (1 \pm k_v)) \cdot (\gamma_{sat} / (\gamma_{sat} - \gamma_w))$ terreni sotto falda $\gamma^* = \gamma'$

Restando a favore della sicurezza, la risultante $\Delta S_{ah,E}$ viene applicata su tutta l'altezza H^* come una pressione orizzontale distribuita $\Delta \sigma_{h,E}$ pari a:

$$\Delta \sigma_{h,E} = \Delta S_{ah,E} / H^*$$

**VI15 da km 22+780,80 a km 23+265,80:
Relazione di calcolo Spalla S2**

COMMESSA	LOTTO	FASE	ENTE	TIPO DOC	OPERA 7 DISCIPLINA			PROGR	REV	FOGLIO
LI0B	02	E	ZZ	CL	VI	15	04	002	B	78

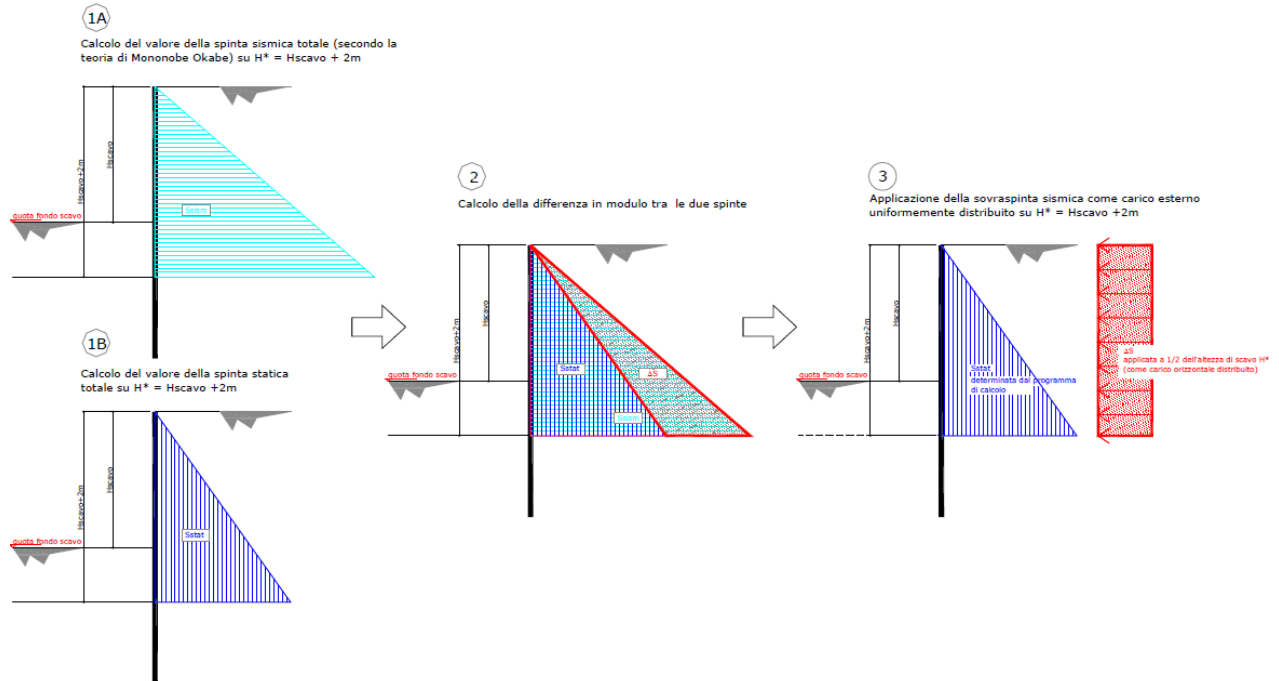


Figura 25 - Schema di calcolo sovraspinte dinamiche terreno

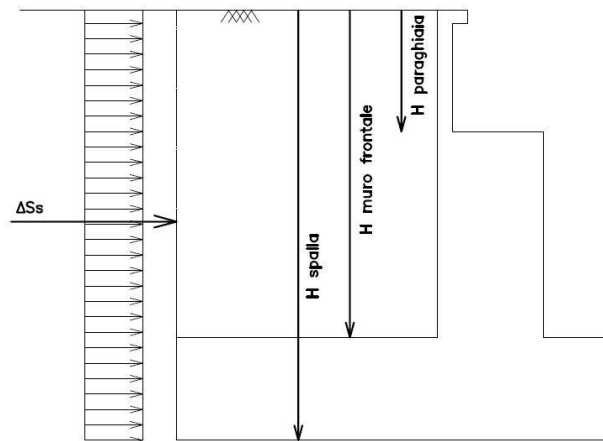


Figura 26: Schema per il calcolo degli effetti della sovraspinta sismica

7.9.4.2 Spinta attiva in Excel®

Si adotta la formulazione del metodo di Mononome-Okabe prima descritto.

MANDATARIA 		MANDANTI 		LINEA PESCARA – BARI RADDOPPIO DELLA TRATTA FERROVIARIA TERMOLI-LESINA LOTTO 2 e 3 – RADDOPPIO TERMOLI - RIPALTA										
VI15 da km 22+780,80 a km 23+265,80: Relazione di calcolo Spalla S2				COMMESSA	LOTTO	FASE	ENTE	TIPO DOC	OPERA 7 DISCIPLINA			PROGR	REV	FOGLIO
				LI0B	02	E	ZZ	CL	VI	15	04	002	B	79

7.10 VARIAZIONI TERMICHE (Q₇)

Essendo le campate isostatiche, tale azione non rientra direttamente nel calcolo delle sottostrutture, ma viene inclusa indirettamente nelle valutazioni sulle azioni agli appoggi (escursioni ed attriti meccanici).

La variazione termica è definita secondo quanto riportato nel § 2.5.1.4.4.1 del “Manuale di progettazione delle opere civili parte II - sezione 2- ponti e strutture” che riprende il § 5.2.2.5.2 delle NTC08.

La variazione termica uniforme volumetrica da considerare per l’impalcato risulta $\pm 15^\circ$, ai fini della valutazione delle escursioni dei giunti e degli appoggi mobili viene incrementata del 50% per una variazione totale di calcolo di $\pm 22.5^\circ\text{C}$.

7.11 ATTRITO (Q₈)

Nome	Tipo	γ_E (Fav / Sfav)	ψ_0	ψ_1	ψ_2
ATTRITO PERM	Permanenti non strutturali	1.00 / 1.50	-	-	-
ATTRITO VAR	Variabili traffico ferroviario	EQU 0.00 / 1.45 (A1) 0.00 / 1.45 (A2) 0.00 / 1.25	0.80	0.50	0.00

Gli effetti dell’attrito sono valutati associando, in corrispondenza degli appoggi scorrevoli, alle reazioni verticali dovute a carichi permanenti (V_G) e quelle dovute a carichi accidentali (V_Q) le seguenti forze orizzontali in direzione longitudinale, dove il coefficiente di attrito $f = 3\%$.

$$Q_8 F_{a,G} = f \cdot (\sum V_{G,i})$$

$$Q_8 F_{a,Q} = f \cdot (\sum V_{Q,i})$$

Per le forze orizzontali associate ubicate ai singoli appoggi, vedi tabella scarichi impalcato.

MANDATARIA 		MANDANTI 		LINEA PESCARA – BARI RADDOPPIO DELLA TRATTA FERROVIARIA TERMOLI-LESINA LOTTO 2 e 3 – RADDOPPIO TERMOLI - RIPALTA										
VI15 da km 22+780,80 a km 23+265,80: Relazione di calcolo Spalla S2				COMMESSA	LOTTO	FASE	ENTE	TIPO DOC	OPERA 7 DISCIPLINA			PROGR	REV	FOGLIO
				LI0B	02	E	ZZ	CL	VI	15	04	002	B	80

7.12 SCARICHI AGLI APPOGGI

Dalle valutazioni sui carichi derivanti dagli impalcati in appoggio, effettuate mediante metodi semplificati e riportate nei capitoli precedenti per le varie tipologie di azione, si sono considerati i valori nominali degli scarichi riepilogati nella tabella seguente.

Tali scarichi sono stati confrontati rispetto alle calcolazioni di dettaglio effettuate mediante analisi FEM sui singoli impalcati, alle cui relazioni di calcolo si rimanda per ulteriori verifiche di confronto.

IMPALCATO CAP L=25m	Lato Appoggi Scorrevoli																
	Appoggio 5 (M)			Appoggio 6 (UL)			Appoggio 7 (M)			Appoggio 8 (M)							
	y (m)	x (m)	z (m)	y (m)	x (m)	z (m)	y (m)	x (m)	z (m)	y (m)	x (m)	z (m)					
	0,00	-3,62	-0,60	0,00	-1,21	-0,60	0,00	1,21	-0,60	0,00	3,62	-0,60					
Long. [kN]			Trasv. [kN]			Vert. [kN]			Long. [kN]			Trasv. [kN]			Vert. [kN]		
Permanenti																	
G1 (peso proprio)	0	0	1075	0	0	475	0	0	475	0	0	1075					
Ballast																	
G2,1 (ballast)	0	0	325	0	0	500	0	0	500	0	0	325					
Perm. non strutturali																	
G2,2 (velette)	0	0	225	0	0	-138	0	0	-138	0	0	225					
G2,3 (arredi)	0	0	425	0	0	-225	0	0	-225	0	0	425					
G2,4 (barriere)	0	0	575	0	0	-325	0	0	-325	0	0	575					
Q8 Fa,G (attrito)	79	0	0	9	0	0	9	0	0	79	0	0					
Accidentali da traffico																	
Q1 LM71_B1 (traffico)	0	0	-15	0	0	253	0	0	520	0	0	788					
Q1 LM71_B2 (traffico)	0	0	788	0	0	520	0	0	253	0	0	-15					
Q1 SW2_B1 (traffico)	0	0	0	0	0	283	0	0	565	0	0	848					
Q3,a B1-SW2 (avv)	0	0	0	0	0	20	0	0	40	0	0	60					
Q3,a B1-LM71 (avv)	0	0	0	0	0	22	0	0	44	0	0	66					
Q3,a B2-LM71 (avv)	0	0	66	0	0	44	0	0	22	0	0	0					
Q3,f B1-SW2 (fren)	0	0	0	0	0	21	0	0	42	0	0	63					
Q3,f B1-LM71 (fren)	0	0	0	0	0	13	0	0	27	0	0	40					
Q3,f B2-LM71 (fren)	0	0	40	0	0	27	0	0	13	0	0	0					
Q4 B1-SW2 (centr)	0	0	-25	0	61	-8	0	0	8	0	0	25					
Q4 B1-LM71 (centr)	0	0	-63	0	152	-21	0	0	21	0	0	63					
Q4 B2-LM71 (centr)	0	0	-63	0	152	-21	0	0	21	0	0	63					
Q5 B1-SW2 (serp)	0	0	-41	0	100	-14	0	0	14	0	0	41					
Q5 B1-LM71 (serp)	0	0	-45	0	110	-15	0	0	15	0	0	45					
Q5 B2-LM71 (serp)	0	0	-45	0	110	-15	0	0	15	0	0	45					
Q8 Fa,Q (attrito)	24	0	0	16	0	0	17	0	0	25	0	0					
Effetti ambientali																	
Q6 (vento)	0	0	-29	0	234	25	0	0	78	0	0	132					

Tabella 21 – Scarichi caratteristici agli appoggi della spalla fissa

VI15 da km 22+780,80 a km 23+265,80:
Relazione di calcolo Spalla S2

COMMESSA	LOTTO	FASE	ENTE	TIPO DOC	OPERA 7 DISCIPLINA			PROGR	REV	FOGLIO
LI0B	02	E	ZZ	CL	VI	15	04	002	B	81

SPALLA S1

SPALLA S2

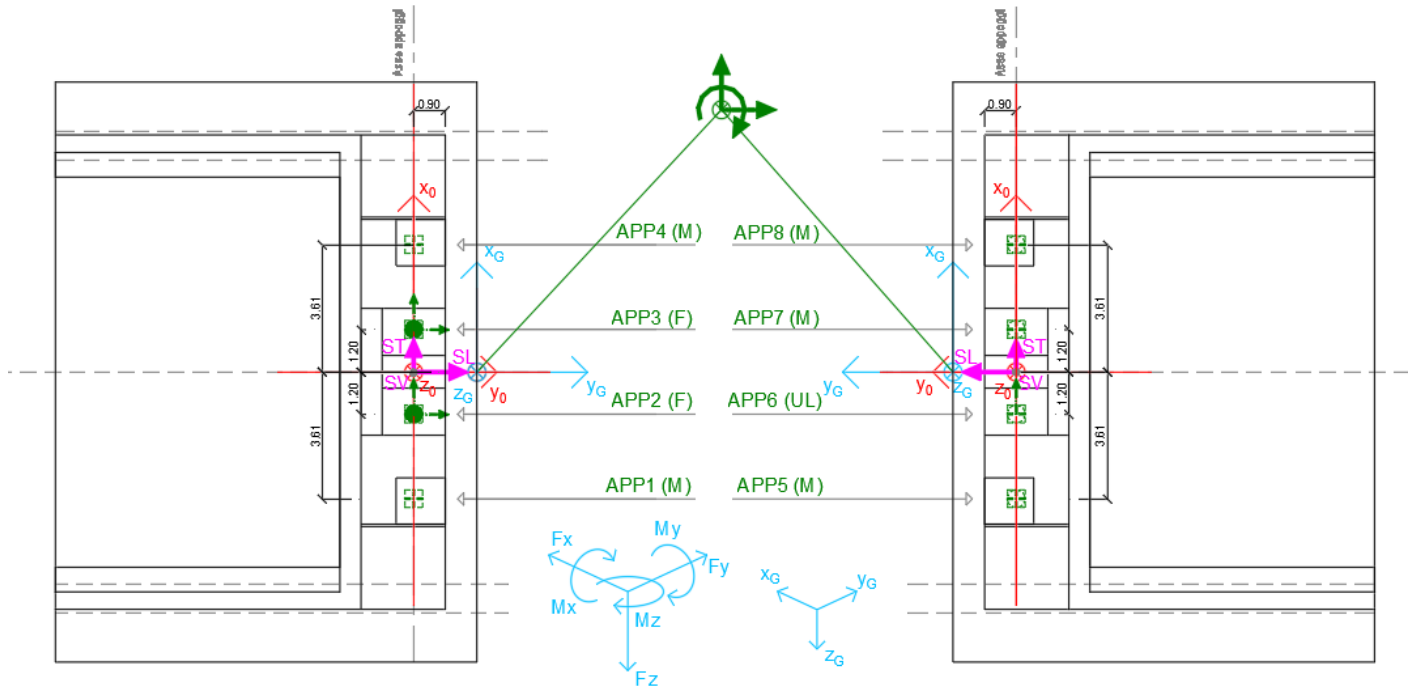


Figura 27- - Schema dei vincoli a terra impalcato

MANDATARIA 		MANDANTI 		LINEA PESCARA – BARI RADDOPPIO DELLA TRATTA FERROVIARIA TERMOLI-LESINA LOTTO 2 e 3 – RADDOPPIO TERMOLI - RIPALTA										
VI15 da km 22+780,80 a km 23+265,80: Relazione di calcolo Spalla S2				COMMESSA	LOTTO	FASE	ENTE	TIPO DOC	OPERA 7 DISCIPLINA			PROGR	REV	FOGLIO
				LI0B	02	E	ZZ	CL	VI	15	04	002	B	82

8. COMBINAZIONI DI CARICO

Le singole azioni elementari vengono combinate utilizzando i coefficienti parziali di sicurezza γ_i e i coefficienti di combinazione ψ_i di seguito riportati:

		Coefficiente	EQU ⁽¹⁾	A1 STR	A2 GEO	Combinazione eccezionale	Combinazione Sismica
Carichi permanenti	favorevoli	γ_{G1}	0,90	1,00	1,00	1,00	1,00
	sfavorevoli		1,10	1,35	1,00	1,00	1,00
Carichi permanenti non strutturali ⁽²⁾	favorevoli	γ_{G2}	0,00	0,00	0,00	1,00	1,00
	sfavorevoli		1,50	1,50	1,30	1,00	1,00
Ballast ⁽³⁾	favorevoli	γ_B	0,90	1,00	1,00	1,00	1,00
	sfavorevoli		1,50	1,50	1,30	1,00	1,00
Carichi variabili da traffico ⁽⁴⁾	favorevoli	γ_Q	0,00	0,00	0,00	0,00	0,00
	sfavorevoli		1,45	1,45	1,25	0,20 ⁽⁵⁾	0,20 ⁽⁵⁾
Carichi variabili	favorevoli	γ_{Qi}	0,00	0,00	0,00	0,00	0,00
	sfavorevoli		1,50	1,50	1,30	1,00	0,00
Precompressione	favorevole	γ_P	0,90	1,00	1,00	1,00	1,00
	sfavorevole		1,00 ⁽⁶⁾	1,00 ⁽⁷⁾	1,00	1,00	1,00

⁽¹⁾ Equilibrio che non coinvolga i parametri di deformabilità e resistenza del terreno; altrimenti si applicano i valori di GEO.
⁽²⁾ Nel caso in cui i carichi permanenti non strutturali (ad es. carichi permanenti portati) siano compiutamente definiti si potranno adottare gli stessi coefficienti validi per le azioni permanenti.
⁽³⁾ Quando si prevedano variazioni significative del carico dovuto al ballast, se ne dovrà tener conto esplicitamente nelle verifiche.
⁽⁴⁾ Le componenti delle azioni da traffico sono introdotte in combinazione considerando uno dei gruppi di carico gr della Tab. 5.2.IV.
⁽⁵⁾ Aliquota di carico da traffico da considerare.
⁽⁶⁾ 1,30 per instabilità in strutture con precompressione esterna
⁽⁷⁾ 1,20 per effetti locali

Azioni		ψ_0	ψ_1	ψ_2
Azioni singole	Carico sul rilevato a tergo delle spalle	0,80	0,50	0,0
da traffico	Azioni aerodinamiche generate dal transito dei convogli	0,80	0,50	0,0
	gr_1	0,80 ⁽²⁾	0,80 ⁽²⁾	0,0
Gruppi di carico	gr_2	0,80 ⁽²⁾	0,80 ⁽²⁾	-
	gr_3	0,80 ⁽²⁾	0,80 ⁽²⁾	0,0
	gr_4	1,00	1,00 ⁽²⁾	0,0
	Azioni del vento	F_{Wk}	0,60	0,50
Azioni da neve	in fase di esecuzione SLU e SLE	0,80 0,0	0,0 0,0	0,0 0,0
Azioni termiche	T_k	0,60	0,60	0,50

⁽¹⁾ 0,80 se è carico solo un binario, 0,60 se sono carichi due binari e 0,40 se sono carichi tre o più binari.

⁽²⁾ Quando come azione di base venga assunta quella del vento, i coefficienti ψ_0 relativi ai gruppi di carico delle azioni da traffico vanno assunti pari a 0,0.

Tabella 22 – Combinazioni di carico

MANDATARIA HUB ENGINEERING <small>CONSORZIO STABILE SOCIETÀ CONSORTILE & S.R.L.</small>		MANDANTI HYpro S.P.A.		LINEA PESCARA – BARI RADDOPPIO DELLA TRATTA FERROVIARIA TERMOLI-LESINA LOTTO 2 e 3 – RADDOPPIO TERMOLI - RIPALTA										
VI15 da km 22+780,80 a km 23+265,80: Relazione di calcolo Spalla S2				COMMESSA	LOTTO	FASE	ENTE	TIPO DOC	OPERA 7 DISCIPLINA			PROGR	REV	FOGLIO
				LI0B	02	E	ZZ	CL	VI	15	04	002	B	83

8.1 COMBINAZIONI DI CARICO ADOTTATE

Per la determinazione degli effetti delle azioni da traffico si fa riferimento ai gruppi di carico da 1 a 4 secondo la tabella riportata di seguito:

TIPO DI CARICO	Azioni verticali		Azioni orizzontali			Commenti
	Carico verticale (1)	Treno scarico	Frenatura e avviamento	Centrifuga	Serpeggio	
Gruppo 1 (2)	1,00	-	0,5 (0,0)	1,0 (0,0)	1,0 (0,0)	massima azione verticale e laterale
Gruppo 2 (2)	-	1,00	0,00	1,0 (0,0)	1,0(0,0)	stabilità laterale
Gruppo 3 (2)	1,0 (0,5)	-	1,00	0,5 (0,0)	0,5 (0,0)	massima azione longitudinale
Gruppo 4	0,8 (0,6; 0,4)	-	0,8 (0,6; 0,4)	0,8 (0,6; 0,4)	0,8 (0,6; 0,4)	fessurazione

Azione dominante
 (1) Includendo tutti i fattori ad essi relativi (Φ, α , ecc.)
 (2) La simultaneità di due o tre valori caratteristici interi (assunzione di diversi coefficienti pari ad 1), sebbene improbabile, è stata considerata come semplificazione per i gruppi di carico 1, 2, 3 senza che ciò abbia significative conseguenze progettuali.

Nel caso in esame, le azioni agenti sull'impalcato sono state combinate secondo i gruppi 1 e 3 che comportano le maggiori sollecitazioni per le strutture in elevazione e in fondazione.

Nella figura successiva vengono esplicitate le tipologie di combinazioni utilizzate:

- Tipo Comb
- 1 $1,35 \cdot Gk1 + 1,50 \cdot Gk2b + 1,35 \cdot Gk2v + 0,73 \cdot Qk3a, i + 0,73 \cdot Qk3f, i + 1,45 \cdot Qk4, i + 1,45 \cdot Qk5, i + 0,9 \cdot Qk6 + 1,45 \cdot Qk1, i + 1,35 \cdot Qk2g + 1,45 \cdot Qk2q$
 - 2 $1,35 \cdot Gk1 + 1,50 \cdot Gk2b + 1,35 \cdot Gk2v + 1,45 \cdot Qk3a, i + 1,45 \cdot Qk3f, i + 0,73 \cdot Qk4, i + 0,73 \cdot Qk5, i + 0,9 \cdot Qk6 + 1,45 \cdot Qk1, i + 1,35 \cdot Qk2g + 1,45 \cdot Qk2q$
 - 3 $1,00 \cdot Gk1 + 1,00 \cdot Gk2b + 1,00 \cdot Gk2v + 0,73 \cdot Qk3a, i + 0,73 \cdot Qk3f, i + 1,45 \cdot Qk4, i + 1,45 \cdot Qk5, i + 0,9 \cdot Qk6 + 1,45 \cdot Qk1, i + 1,35 \cdot Qk2g + 1,45 \cdot Qk2q$
 - 4 $1,00 \cdot Gk1 + 1,00 \cdot Gk2b + 1,00 \cdot Gk2v + 1,45 \cdot Qk3a, i + 1,45 \cdot Qk3f, i + 0,73 \cdot Qk4, i + 0,73 \cdot Qk5, i + 0,9 \cdot Qk6 + 1,45 \cdot Qk1, i + 1,35 \cdot Qk2g + 1,45 \cdot Qk2q$
 - 5 $1,00 \cdot Gk1 + 1,00 \cdot Gk2b + 1,00 \cdot Gk2v + 1,50 \cdot Qk6 + 1,00 \cdot Qk2g$
 - 6 $1,00 \cdot Gk1 + 1,00 \cdot Gk2b + 1,00 \cdot Gk2v + 1,00 \cdot Qk2g + 0,73 \cdot Qk2q$
 - 7 $1,00 \cdot Gk1 + 1,00 \cdot Gk2b + 1,00 \cdot Gk2v + 0,8 \cdot Qk3a, i + 0,8 \cdot Qk3f, i + 1,00 \cdot Qk4 + 1,00 \cdot Qk5 + 0,6 \cdot Qk6 + 1,00 \cdot Qk1 + 1,00 \cdot Qk2g + 1,00 \cdot Qk2q$
 - 8 $1,00 \cdot Gk1 + 1,00 \cdot Gk2b + 1,00 \cdot Gk2v + 1,00 \cdot Qk3a, i + 1,00 \cdot Qk3f, i + 0,8 \cdot Qk4 + 0,8 \cdot Qk5 + 0,6 \cdot Qk6 + 1,00 \cdot Qk1 + 1,00 \cdot Qk2g + 1,00 \cdot Qk2q$
 - 9 $1,00 \cdot Gk1 + 1,00 \cdot Gk2b + 1,00 \cdot Gk2v + 1,00 \cdot Qk6 + 1,00 \cdot Qk2g$
 - 10 $1,00 \cdot Gk1 + 1,00 \cdot Gk2b + 1,00 \cdot Gk2v$
 - 11 $1,00 \cdot Gk1 + 1,00 \cdot Gk2b + 1,00 \cdot Gk2v + 1,00 \cdot Qk2g$

Figura 28 - Tipologie di combinazioni di carico

MANDATARIA  	LINEA PESCARA – BARI RADDOPPIO DELLA TRATTA FERROVIARIA TERMOLI-LESINA LOTTO 2 e 3 – RADDOPPIO TERMOLI - RIPALTA											
	VI15 da km 22+780,80 a km 23+265,80: Relazione di calcolo Spalla S2		COMMESSA LI0B	LOTTO 02	FASE E	ENTE ZZ	TIPO DOC CL	OPERA 7 DISCIPLINA VI 15 04			PROGR 002	REV B

NomeEnv:	TipoComb:	NumComb:	Comb:	Gk1 Perm. Str.-G1 (peso proprio)	Gk2b Ballast-G2,1 (ballast)	Gk2v-Perm. non str. vari	Gk3a-Traffico 1	Gk3a-Traffico 2	Gk3a-Traffico 3	Gk3f-Traffico 1	Gk3f-Traffico 2	Gk3f-Traffico 3	Gk4-Traffico 1	Gk4-Traffico 2	Gk4-Traffico 3	Gk5-Traffico 1	Gk5-Traffico 2	Gk5-Traffico 3	Gk6 vento-Q6 (vento)	Gk1-Traffico 1	Gk1-Traffico 2	Gk1-Traffico 3	Gk2g attrito-Q8 Fa,G (attrito)	Gk2q attrito-Q8 Fa,Q (attrito)
SLU 1	1	1	SLU1	1,35	1,50	1,35	0,73	0,00	0,00	0,73	0,00	0,00	1,45	0,00	0,00	1,45	0,00	0,00	0,90	1,45	0,00	0,00	1,35	1,45
SLU 2	2	2	SLU2	1,35	1,50	1,35	1,45	0,00	0,00	1,45	0,00	0,00	0,73	0,00	0,00	0,73	0,00	0,00	0,90	1,45	0,00	0,00	1,35	1,45
SLU 3	3	3	SLU3	1,35	1,50	1,35	0,00	0,73	0,00	0,00	0,73	0,00	0,00	1,45	0,00	0,00	1,45	0,00	0,90	0,00	1,45	0,00	1,35	1,45
SLU 4	4	4	SLU4	1,35	1,50	1,35	0,00	1,45	0,00	0,00	1,45	0,00	0,00	0,73	0,00	0,00	0,73	0,00	0,90	0,00	1,45	0,00	1,35	1,45
SLU 5	5	5	SLU5	1,35	1,50	1,35	0,00	0,00	0,73	0,00	0,00	0,73	0,00	0,00	1,45	0,00	0,00	1,45	0,90	0,00	0,00	1,45	1,35	1,45
SLU 6	6	6	SLU6	1,35	1,50	1,35	0,00	0,00	1,45	0,00	0,00	1,45	0,00	0,00	0,73	0,00	0,00	0,73	0,90	0,00	0,00	1,45	1,35	1,45
SLU 7	7	7	SLU7	1,00	1,00	1,00	0,73	0,00	0,00	0,73	0,00	0,00	1,45	0,00	0,00	1,45	0,00	0,00	0,90	1,45	0,00	0,00	1,35	1,45
SLU 8	8	8	SLU8	1,00	1,00	1,00	1,45	0,00	0,00	1,45	0,00	0,00	0,73	0,00	0,00	0,73	0,00	0,00	0,90	1,45	0,00	0,00	1,35	1,45
SLU 9	9	9	SLU9	1,00	1,00	1,00	0,00	0,73	0,00	0,00	0,73	0,00	0,00	1,45	0,00	0,00	1,45	0,00	0,90	0,00	1,45	0,00	1,35	1,45
SLU 10	10	10	SLU10	1,00	1,00	1,00	0,00	1,45	0,00	0,00	1,45	0,00	0,00	0,73	0,00	0,00	0,73	0,00	0,90	0,00	1,45	0,00	1,35	1,45
SLU 11	11	11	SLU11	1,00	1,00	1,00	0,00	0,00	0,73	0,00	0,00	0,73	0,00	0,00	1,45	0,00	0,00	1,45	0,90	0,00	0,00	1,45	1,35	1,45
SLU 12	12	12	SLU12	1,00	1,00	1,00	0,00	0,00	1,45	0,00	0,00	1,45	0,00	0,00	0,73	0,00	0,00	0,73	0,90	0,00	0,00	1,45	1,35	1,45
SLU 13	13	13	SLU13	1,00	1,00	1,00	0,00	0,00	0,00	0,00	0,00	0,00	0,00	0,00	0,00	0,00	0,00	0,00	1,50	0,00	0,00	0,00	1,00	0,00
SLU 14	14	14	SLU14	1,00	1,00	1,00	0,00	0,00	0,00	0,00	0,00	0,00	0,00	0,00	0,00	0,00	0,00	0,00	1,50	0,00	0,00	0,00	-1,00	0,00
SLU 15	15	15	SLU15	1,00	1,00	1,00	0,00	0,00	0,00	0,00	0,00	0,00	0,00	0,00	0,00	0,00	0,00	0,00	-1,50	0,00	0,00	0,00	1,00	0,00
SLU 16	16	16	SLU16	1,00	1,00	1,00	0,00	0,00	0,00	0,00	0,00	0,00	0,00	0,00	0,00	0,00	0,00	0,00	-1,50	0,00	0,00	0,00	-1,00	0,00
SLU 17	17	17	SLU17	1,00	1,00	1,00	0,00	0,00	0,00	0,00	0,00	0,00	0,00	0,00	0,00	0,00	0,00	0,00	0,00	0,00	0,00	0,00	1,00	0,73
SLU 18	18	18	SLU18	1,00	1,00	1,00	0,00	0,00	0,00	0,00	0,00	0,00	0,00	0,00	0,00	0,00	0,00	0,00	0,00	0,00	0,00	0,00	-1,00	-0,73
SLE RA 7	19	19	RA1	1,00	1,00	1,00	0,80	0,00	0,00	0,80	0,00	0,00	1,00	0,00	0,00	1,00	0,00	0,00	0,60	1,00	0,00	0,00	1,00	1,00
SLE RA 8	20	20	RA2	1,00	1,00	1,00	1,00	0,00	0,00	1,00	0,00	0,00	0,80	0,00	0,00	0,80	0,00	0,00	0,60	1,00	0,00	0,00	1,00	1,00
SLE RA 7	21	21	RA3	1,00	1,00	1,00	0,00	0,80	0,00	0,00	0,80	0,00	0,00	1,00	0,00	0,00	1,00	0,00	0,60	0,00	1,00	0,00	1,00	1,00
SLE RA 8	22	22	RA4	1,00	1,00	1,00	0,00	1,00	0,00	0,00	1,00	0,00	0,00	0,80	0,00	0,00	0,80	0,00	0,60	0,00	1,00	0,00	1,00	1,00
SLE RA 7	23	23	RA5	1,00	1,00	1,00	0,00	0,00	0,80	0,00	0,00	0,80	0,00	0,00	1,00	0,00	0,00	1,00	0,60	0,00	0,00	1,00	1,00	0,50
SLE RA 8	24	24	RA6	1,00	1,00	1,00	0,00	0,00	1,00	0,00	0,00	1,00	0,00	0,00	0,80	0,00	0,00	0,80	0,60	0,00	0,00	1,00	1,00	0,50
SLE RA 7	25	25	RA7	1,00	1,00	1,00	0,80	0,00	0,00	0,80	0,00	0,00	1,00	0,00	0,00	1,00	0,00	0,00	0,60	1,00	0,00	0,00	-1,00	-1,00
SLE RA 8	26	26	RA8	1,00	1,00	1,00	1,00	0,00	0,00	1,00	0,00	0,00	0,80	0,00	0,00	0,80	0,00	0,00	0,60	1,00	0,00	0,00	-1,00	-1,00
SLE RA 7	27	27	RA9	1,00	1,00	1,00	0,00	0,80	0,00	0,00	0,80	0,00	0,00	1,00	0,00	0,00	1,00	0,00	0,60	0,00	1,00	0,00	-1,00	-1,00
SLE RA 8	28	28	RA10	1,00	1,00	1,00	0,00	1,00	0,00	0,00	1,00	0,00	0,00	0,80	0,00	0,00	0,80	0,00	0,60	0,00	1,00	0,00	-1,00	-1,00
SLE RA 7	29	29	RA11	1,00	1,00	1,00	0,00	0,00	0,80	0,00	0,00	0,80	0,00	0,00	1,00	0,00	0,00	1,00	0,60	0,00	0,00	1,00	-1,00	-0,50
SLE RA 8	30	30	RA12	1,00	1,00	1,00	0,00	0,00	1,00	0,00	0,00	1,00	0,00	0,00	0,80	0,00	0,00	0,80	0,60	0,00	0,00	1,00	-1,00	-0,50
SLE RA 9	31	31	RA13	1,00	1,00	1,00	0,00	0,00	0,00	0,00	0,00	0,00	0,00	0,00	0,00	0,00	0,00	0,00	1,00	0,00	0,00	0,00	-1,00	0,00
SLE RA 9	32	32	RA14	1,00	1,00	1,00	0,00	0,00	0,00	0,00	0,00	0,00	0,00	0,00	0,00	0,00	0,00	0,00	-1,00	0,00	0,00	0,00	-1,00	0,00
SLE RA 9	33	33	RA15	1,00	1,00	1,00	0,00	0,00	0,00	0,00	0,00	0,00	0,00	0,00	0,00	0,00	0,00	0,00	0,00	0,00	0,00	0,00	1,00	1,00
SLE QP 10	34	34	QP1	1,00	1,00	1,00	0,00	0,00	0,00	0,00	0,00	0,00	0,00	0,00	0,00	0,00	0,00	0,00	0,00	0,00	0,00	0,00	0,00	0,00
SLE QP 11	35	35	QP2	1,00	1,00	1,00	0,00	0,00	0,00	0,00	0,00	0,00	0,00	0,00	0,00	0,00	0,00	0,00	0,00	0,00	0,00	0,00	-1,00	0,00
SLE QP 11	36	36	QP3	1,00	1,00	1,00	0,00	0,00	0,00	0,00	0,00	0,00	0,00	0,00	0,00	0,00	0,00	0,00	0,00	0,00	0,00	0,00	1,00	0,00

Tabella 23 – Combinazioni di carico Spalla (fondazione ed elevazione)

MANDATARIA 		MANDANTI 		LINEA PESCARA – BARI RADDOPPIO DELLA TRATTA FERROVIARIA TERMOLI-LESINA LOTTO 2 e 3 – RADDOPPIO TERMOLI - RIPALTA										
VI15 da km 22+780,80 a km 23+265,80: Relazione di calcolo Spalla S2				COMMESSA	LOTTO	FASE	ENTE	TIPO DOC	OPERA 7 DISCIPLINA			PROGR	REV	FOGLIO
				LI0B	02	E	ZZ	CL	VI	15	04	002	B	85

9. VERIFICHE DEGLI ELEMENTI STRUTTURALI

9.1 ELEMENTI IN CEMENTO ARMATO

9.1.1 Stati Limite Ultimi strutturali (SLU STR)

Come riportato al §2.3 delle NTC 2008, per ogni stato limite ultimo deve essere rispettata la condizione:

$$E_d \leq R_d$$

$E_d = E(Y_F \cdot F_k; X_k / Y_M; a_d)$ Valore di progetto dell'azione o dell'effetto dell'azione

$R_d = R(Y_F \cdot F_k; X_k / Y_M; a_d)$ Valore di progetto della resistenza del sistema geotecnico

$Y_F \cdot F_k$ Azioni di progetto

X_k / Y_M Proprietà del materiale di progetto

a_d Geometria di progetto

Y_M Coefficiente parziale di sicurezza del materiale

9.1.1.1 Verifica a presso/tenso flessione

Come previsto al §4.1.2.1.2.4 delle [12] con riferimento alla generica sezione, la verifica di resistenza allo SLU si esegue controllando che:

$$M_{Rd} = M_{Rd}(N_{Ed}) \geq M_{Ed}$$

M_{Rd} Valore di calcolo del momento resistente corrispondente a N_{Ed}

N_{Ed} Valore di calcolo della componente assiale (sforzo normale)

M_{Ed} Valore di calcolo della componente flettente dell'azione

9.1.1.2 Verifica a taglio

Secondo quanto previsto §4.1.2.1.3 delle [12], indicato con V_{Ed} il valore di calcolo dello sforzo di taglio agente allo SLU, si verifica in generale che risulti:

$$V_{Ed} < V_{Rd}$$

Elementi senza armature resistenti a taglio

$$V_{Rd,c} = \max \left\{ \left(0.18 \cdot k \cdot \frac{\sqrt[3]{100 \cdot \rho_l \cdot f_{ck}}}{\gamma_c} + 0.15 \cdot \sigma_{cp} \right) \cdot b_w \cdot d; (v_{min} + 0.15 \cdot \sigma_{cp}) \cdot b_w \cdot d \right\} \quad \text{Resistenza di calcolo a taglio}$$

$$k = 1 + \sqrt{\frac{200}{d}} \leq 2$$

$$v_{min} = 0.035 \cdot \sqrt{k^3 \cdot f_{ck}}$$

$\rho_l = \frac{A_{sl}}{b_w \cdot d} \leq 0.02$ Rapporto percentuale armatura in zona tesa A_{sl}

$\sigma_{cp} = \frac{N_{Ed}}{A_c} \leq 0.2 \cdot f_{cd}$ Tensione media di compressione nella sezione

d Altezza utile della sezione (mm)

b_w Larghezza minima della sezione (mm)

Elementi provvisti di armature resistenti a taglio

MANDATARIA HUB ENGINEERING <small>CONSORZIO STABILE SOCIETÀ CONSORTILE A R.L.</small>		MANDANTI HYpro S.P.A.		LINEA PESCARA – BARI RADDOPPIO DELLA TRATTA FERROVIARIA TERMOLI-LESINA LOTTO 2 e 3 – RADDOPPIO TERMOLI - RIPALTA										
VI15 da km 22+780,80 a km 23+265,80: Relazione di calcolo Spalla S2				COMMESSA	LOTTO	FASE	ENTE	TIPO DOC	OPERA 7 DISCIPLINA			PROGR	REV	FOGLIO
				LI0B	02	E	ZZ	CL	VI	15	04	002	B	86

$$V_{Rd} = \min(V_{Rd,s}; V_{Rd,max})$$

$$V_{Rd,s} = 0.9 \cdot d \cdot \frac{A_{sw}}{s} \cdot f_{yd} \cdot (\cot \alpha + \cot \theta) \cdot \sin \alpha$$

$$V_{Rd,max} = 0.9 \cdot d \cdot b_w \cdot \alpha_c \cdot f'_{cd} \cdot \frac{(\cot \alpha + \cot \theta)}{1 + \cot^2 \theta}$$

$$\theta$$

$$\cot \theta \leq 2.5)$$

α

A_{sw}

s

$$f'_{cd} = 0.5 \cdot f_{cd}$$

α_c

Resistenza di calcolo a taglio

Resistenza a taglio-trazione

Resistenza a taglio-compressione

Inclinazione puntoni di cls rispetto asse elemento ($1 \leq$

Inclinazione dell'armatura trasversale rispetto asse elemento

Area dell'armatura trasversale

Interasse tra due armature trasversali consecutive

Resistenza a compressione ridotta del calcestruzzo d'anima

Coefficienti maggiorativi pari a:

1 per membrature non compresse

$1 + \sigma_{cp}/f_{cd}$ per $0 \leq \sigma_{cp} < 0.25 \cdot f_{cd}$

1.25 per $0.25 \cdot f_{cd} \leq \sigma_{cp} < 0.50 \cdot f_{cd}$

$2.5 \cdot (1 - \sigma_{cp}/f_{cd})$ per $0.50 \cdot f_{cd} \leq \sigma_{cp} < f_{cd}$

9.1.1.3 Verifica a punzonamento

In corrispondenza del collegamento tra setti, pilastri o pali di fondazione ed elementi piani (plinti, solette) si hanno sollecitazioni concentrate, con meccanismo resistente a taglio in condizioni di rottura SLU dipendente dalla geometria locale tra i due elementi e le loro condizioni al contorno.

Le verifiche a taglio-punzonamento vengono eseguite in accordo con le UNI EN 1992-1-1: 2005, dove il taglio sollecitante unitario v_{Ed} si assume distribuito sul perimetro u_i del cono di rottura:

$$v_{Ed} = \beta \frac{V_{Ed}}{u_i \cdot d}$$

β coeff. posizioni reciproche tra aree di carico (pilastro interno 1.15, spigolo 1.50, bordo 1.40)

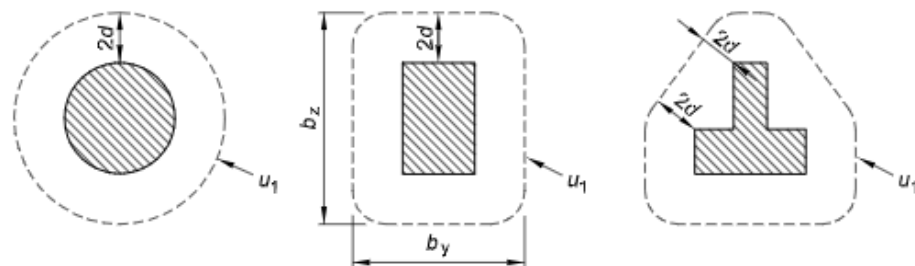
V_{Ed} azione sollecitante di progetto

u_i perimetro della sezione di verifica

$d = \frac{d_y + d_z}{2}$ altezza utile della sezione

d_y, d_z altezze utili delle armature disposte nelle due direzioni principali

figura 6.13 Perimetri di verifica di base tipici intorno ad aree caricate



VI15 da km 22+780,80 a km 23+265,80:
Relazione di calcolo Spalla S2

COMMESSA	LOTTO	FASE	ENTE	TIPO DOC	OPERA 7 DISCIPLINA			PROGR	REV	FOGLIO
LI0B	02	E	ZZ	CL	VI	15	04	002	B	87

figura 6.15 Perimetro di verifica di base per aree caricate in prossimità di bordi o di angoli

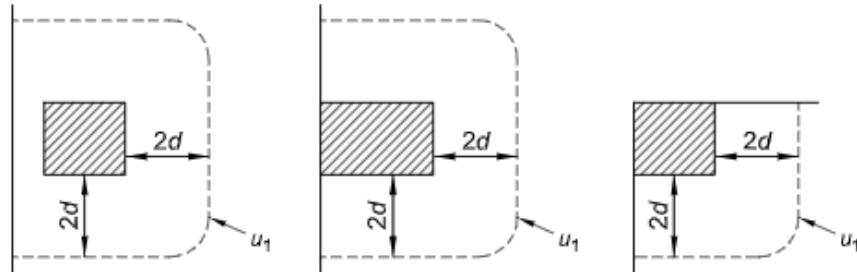


Figura 29 - Schemi aree di carico per diverse geometrie

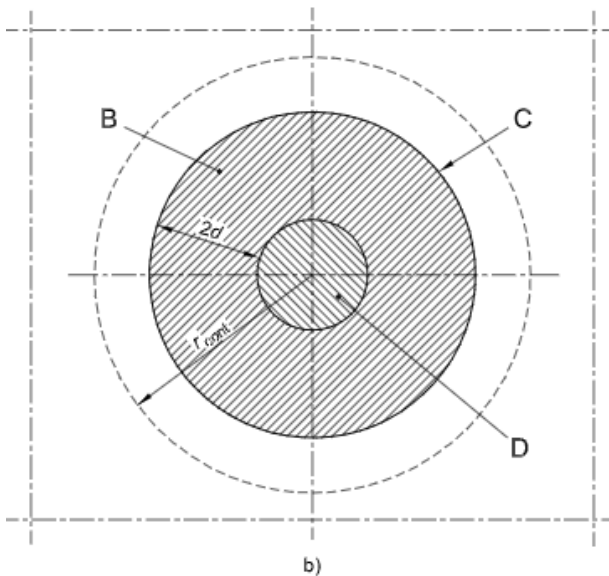
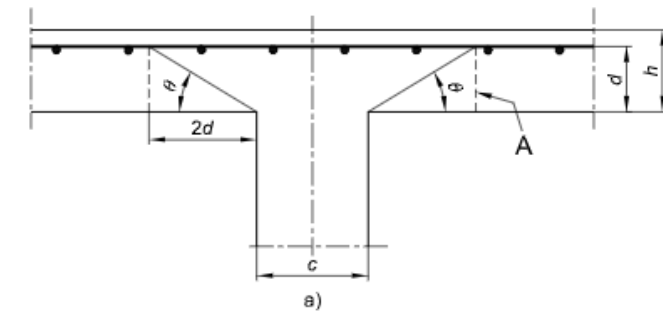


figura 6.12 Modello di verifica a punzonamento allo stato limite ultimo

Legenda

- a) Sezione
- b) Pianta
- A Sezione di base per la verifica
- B Area di verifica di base A_{cont}
- C Perimetro di verifica di base, u_1
- D Area caricata A_{load}
- r_{cont} Ulteriore perimetro di verifica
- $\theta = \arctan(1/2)$
 $= 26,6^\circ$

Figura 30 – Modello di verifica a punzonamento SLU

Per un elemento a piastra e lungo le sezioni di verifica considerate, si definiscono le seguenti resistenze di progetto a taglio-punzonamento:

$$V_{Rd,c} = \max \left(C_{Rd,c} \cdot k \cdot (100 \cdot \rho_1 \cdot f_{ck})^{1/3} + k_1 \cdot \sigma_{cp}; V_{min} + k_1 \cdot \sigma_{cp} \right) \quad \text{per piastra senza armature a punzonamento}$$

$$V_{Rd,cs} = 0.75 \cdot V_{Rd,c} + 1.5 \cdot \left(\frac{d}{s_r} \right) \cdot A_{sw} \cdot f_{ywd,ef} \cdot \frac{1}{u_1 \cdot d} \cdot \sin \alpha \quad \text{per piastra con armature a punzonamento}$$

MANDATARIA HUB ENGINEERING <small>CONSORZIO STABILE SOCIETÀ CONSORTILE A R.L.</small>		MANDANTI HYpro S.P.A.		LINEA PESCARA – BARI RADDOPPIO DELLA TRATTA FERROVIARIA TERMOLI-LESINA LOTTO 2 e 3 – RADDOPPIO TERMOLI - RIPALTA										
VI15 da km 22+780,80 a km 23+265,80: Relazione di calcolo Spalla S2				COMMESSA	LOTTO	FASE	ENTE	TIPO DOC	OPERA 7 DISCIPLINA			PROGR	REV	FOGLIO
				LI0B	02	E	ZZ	CL	VI	15	04	002	B	88

$$V_{Rd,max} = 0.5 \cdot v \cdot f_{cd}$$

valore massimo assoluto

$$C_{Rd,c} = \frac{0.18}{\gamma_c}$$

$$k = \min\left(1 + \sqrt{\frac{200}{d}}; 2\right)$$

$$\rho_1 = \min\left(\sqrt{\rho_{1y} \cdot \rho_{1z}}; 0.02\right)$$

ρ_{1y}, ρ_{1z}

percentuale di armatura longitudinale nelle due direzioni principali

$$\sigma_{cp} = \frac{\sigma_{cy} + \sigma_{cz}}{2}$$

$$\sigma_{c,y} = \frac{N_{Ed,y}}{A_{cy}}, \quad \sigma_{c,z} = \frac{N_{Ed,z}}{A_{cz}}$$

tensioni normali nelle due direzioni principali

$N_{Ed,y}, N_{Ed,z}$

azioni normali nelle due direzioni principali

A_{cy}, A_{cz}

aree delle due direzioni principali

$$v_{min} = 0.035 \cdot \sqrt{k^3 \cdot f_{ck}}$$

$$k_1 = 0.1$$

(annesso italiano all'Eurocodice)

s_r

passo radiale perimetri di armatura a taglio-punzonamento

A_{sw}

area armatura a taglio-punzonamento all'interno del perimetro di verifica

$$f_{ywd,ef} = \min(f_{ywd}; 250 + 0.25 \cdot d)$$

resistenza di progetto efficace dell'armatura a taglio-punzonamento

α

angolo compreso tra l'armatura a taglio e il piano della piastra

La verifica da effettuare lungo il perimetro del pilastro u_0 , descritto dall'area caricata A_{load} , è la seguente:

$$V_{Ed} \leq V_{Rd,max}$$

u_0	= sviluppo del perimetro pilastro	pilastro interno
	= $c_2 + 3d \leq c_2 + 2 \cdot c_1$	pilastro di bordo
	= $3d \leq c_1 + c_2$	pilastro d'angolo

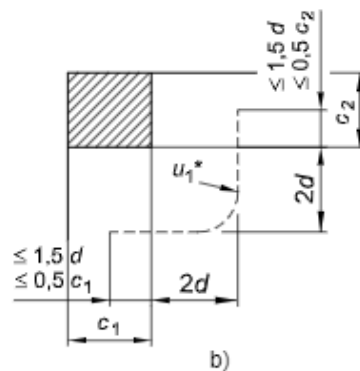
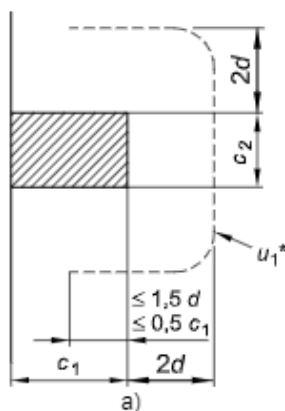


figura 6.20

Perimetro di verifica equivalente u_1 .

Legenda

- a) Pilastro di bordo
- b) Pilastro d'angolo

Figura 31 – Geometria dei perimetri pilastri per elementi d'angolo e di bordo

Le verifiche da effettuare lungo il perimetro di base u_1 sono le seguenti:

$$V_{Ed} \leq V_{Rd,c} \quad \text{piastra senza armature a taglio-punzonamento}$$

$$V_{Ed} \leq V_{Rd,cs} \quad \text{piastra con armature a taglio-punzonamento}$$

MANDATARIA HUB ENGINEERING <small>CONSORZIO STABILE SOCIETÀ CONSORTILE & S.R.L.</small>		MANDANTI HYpro S.P.A.		LINEA PESCARA – BARI RADDOPPIO DELLA TRATTA FERROVIARIA TERMOLI-LESINA LOTTO 2 e 3 – RADDOPPIO TERMOLI - RIPALTA										
VI15 da km 22+780,80 a km 23+265,80: Relazione di calcolo Spalla S2				COMMESSA	LOTTO	FASE	ENTE	TIPO DOC	OPERA 7 DISCIPLINA			PROGR	REV	FOGLIO
				LI0B	02	E	ZZ	CL	VI	15	04	002	B	89

9.1.2 Stati Limite Ultimi di esercizio (SLE STR, SLD)

9.1.2.1 Limiti tensionali in esercizio

Come riportato al §6.2.4.3 e §5.1.4.2 delle NTC 2008, la verifica della sicurezza nei riguardi degli stati limite di esercizio si esprime controllando aspetti di funzionalità e stato tensionale. Si dovrà verificare che sia:

$$E_d \leq C_d$$

$$E_d = E(Y_F \cdot F_k; X_k / Y_M; a_d) \quad \text{Valore di progetto dell'azione o dell'effetto dell'azione}$$

$$C_d = C(Y_F \cdot F_k; X_k / Y_M; a_d) \quad \text{Valore nominale o funzione di certe proprietà dei materiali legate agli effetti progettuali delle azioni considerate}$$

Le verifiche si risolvono nel controllare che i valori di tensione nei materiali siano inferiori ai valori limite delle tensioni riportati al paragrafo 2.5.1.8.3.2.1 del MdP ITF:

	Combinazione quasi permanente	$\sigma_c < 0.40 \cdot f_{ck}$
Acciaio teso	Combinazione rara	$\sigma_s < 0.75 \cdot f_{yk}$

9.1.2.2 Verifiche agli Stati Limite di Fessurazione

Viene eseguita la verifica allo stato limite di apertura delle fessure con riferimento al §4.1.2.2.4 delle NTC 2008. Prima di procedere alle verifiche a fessurazione è necessario definire delle apposite combinazioni di carico ed effettuare una valutazione relativa al grado di protezione delle armature metalliche contro la corrosione (in termini di condizioni ambientali e sensibilità delle armature stesse alla corrosione). Si distinguono i seguenti casi:

Combinazioni di azioni	Rara (RA) Quasi Permanente (QP)
Condizioni ambientali	Ordinarie (Gruppo A) Aggressive (Gruppo B) Molto aggressive (Gruppo C)
Sensibilità delle armature alla corrosione	Sensibili (acciai da precompresso) Poco sensibili (acciai ordinari)
Stato limite	Apertura fessure (AF) Formazione fessure (FF) Decompressione (D)
Apertura delle fessure	$w_1 = 0.20 \text{ mm}$ $w_2 = 0.30 \text{ mm}$ $w_3 = 0.40 \text{ mm}$

Tab. 4.1.III – Descrizione delle condizioni ambientali

Condizioni ambientali	Classe di esposizione
Ordinarie	X0, XC1, XC2, XC3, XF1
Aggressive	XC4, XD1, XS1, XA1, XA2, XF2, XF3
Molto aggressive	XD2, XD3, XS2, XS3, XA3, XF4

Tabella 24 - Condizioni ambientali e classi di esposizione secondo NTC 2008

MANDATARIA HUB ENGINEERING <small>CONSORZIO STABILE SOCIETÀ CONSORTILE & R.L.</small>		MANDANTI HYpro S.P.A.		LINEA PESCARA – BARI RADDOPPIO DELLA TRATTA FERROVIARIA TERMOLI-LESINA LOTTO 2 e 3 – RADDOPPIO TERMOLI - RIPALTA										
VI15 da km 22+780,80 a km 23+265,80: Relazione di calcolo Spalla S2				COMMESSA	LOTTO	FASE	ENTE	TIPO DOC	OPERA 7 DISCIPLINA			PROGR	REV	FOGLIO
				LI0B	02	E	ZZ	CL	VI	15	04	002	B	90

Tab. 4.1.IV - Criteri di scelta dello stato limite di fessurazione

Gruppi di Esigenze	Condizioni ambientali	Combinazione di azioni	Armatura			
			Sensibile		Poco sensibile	
			Stato limite	w_k	Stato limite	w_k
A	Ordinarie	frequente	apertura fessure	$\leq w_2$	apertura fessure	$\leq w_3$
		quasi permanente	apertura fessure	$\leq w_1$	apertura fessure	$\leq w_2$
B	Aggressive	frequente	apertura fessure	$\leq w_1$	apertura fessure	$\leq w_2$
		quasi permanente	decompressione	-	apertura fessure	$\leq w_1$
C	Molto aggressive	frequente	formazione fessure	-	apertura fessure	$\leq w_1$
		quasi permanente	decompressione	-	apertura fessure	$\leq w_1$

Tabella 25 - Stati limite di fessurazione secondo NTC 2008

Il calcolo, condotto con riferimento alla procedura analitica prevista al §C4.1.2.2.4 del [15], prevede i seguenti passaggi:

- Valutazione della distanza media tra le fessure (Δ_{sm});
- Valutazione della deformazione media delle barre d'armatura (ε_{sm});
- Valutazione dell'ampiezza delle fessure (valore medio w_m e valore di calcolo w_k).

Come riportato al paragrafo 2.5.1.8.3.2.4 del MdP ITF, la verifica allo stato limite di apertura delle fessure viene calcolata con la combinazione caratteristica (rara) nei riguardi dello stato limite di esercizio. I limiti per l'apertura convenzionale delle fessure vengono valutati secondo le condizioni ambientali della struttura.

La verifica dell'ampiezza di fessurazione può anche essere condotta senza calcolo diretto, limitando la tensione di trazione nell'armatura, valutata nella sezione parzializzata per la combinazione di carico pertinente, ad un massimo correlato al diametro delle barre ed alla loro spaziatura. Si distinguono i seguenti casi:

Elemento strutturale	Classi di esposizione	Gruppo di esigenza	Condizioni ambientali	Combinaz. di azioni	Stato limite	w_k
Elevazioni	XC4 – XS1	B	Aggressive	RA	AF	$\leq w_1 = 0.20 \text{ mm}$
Fondazioni	XC2	A	Ordinarie	RA	AF	$\leq w_2 = 0.30 \text{ mm}$

Tabella 26 – Riepilogo stati limite di fessurazione di verifica

MANDATARIA 		MANDANTI 		LINEA PESCARA – BARI RADDOPPIO DELLA TRATTA FERROVIARIA TERMOLI-LESINA LOTTO 2 e 3 – RADDOPPIO TERMOLI - RIPALTA								
VI15 da km 22+780,80 a km 23+265,80: Relazione di calcolo Spalla S2		COMMESSA	LOTTO	FASE	ENTE	TIPO DOC	OPERA 7 DISCIPLINA			PROGR	REV	FOGLIO
		LI0B	02	E	ZZ	CL	VI	15	04	002	B	91

10. MODELLO DI CALCOLO

Il modello della struttura è stato implementato in un foglio di calcolo preparato specificatamente per ricavare le sollecitazioni globali partendo dagli scarichi appoggi dell'impalcato.

A tali sollecitazioni sono aggiunti i pesi propri degli elementi strutturali, del terreno di riempimento della spalla, le spinte del terreno di rilevato e, in condizioni sismiche, le masse, secondo le ipotesi illustrate nell'analisi dei carichi.

Vengono schematizzate ed analizzate le singole parti della struttura, a partire dal muro frontale e muri laterali che vengono modellati come delle mensole incastrate alla base.

Il solettone di fondazione viene considerato come una piastra rigida su pali.

Per il terreno di riempimento si considera lo standard per rilevati ferroviari e si assegnano le seguenti caratteristiche meccaniche:

Parametri Geotecnici		
γ	ϕ'	c'
[kN/m ³]	[°]	[kPa]
20	38	0

Tabella 27 – Parametri geotecnici terreno di riempimento

Tutte le azioni e le combinazioni di carico considerate per le verifiche strutturali e geotecniche sono state sviluppate nell'ipotesi A1-M1.

10.1.1 Condizioni statiche

Le spinte del terreno a monte degli elementi verticali della spalla sono calcolate con la teoria di Rankine, con distribuzione triangolare delle tensioni e conseguente risultante della spinta.

Si deve notare che essendo presente una fondazione su pali si ipotizza che la spalla sia impedita di traslare rispetto al terreno; pertanto, la spinta in condizioni di esercizio viene calcolata con il coefficiente di spinta in quiete k_0 .

Per considerare la presenza di un sovraccarico da traffico gravante sulla spalla e tergo di essa, si considera un carico uniformemente distribuito di lunghezza indefinita con valore equivalente pari ad entrambi i binari caricati con dei modelli di carico LM71, non amplificato per il coefficiente dinamico.

10.1.2 Condizioni sismiche

In condizione sismica si considera un incremento della spinta del terreno rispetto alla condizione statica in esercizio. La sovraspinta sismica viene calcolata con la teoria di Mononome-Okabe con $\beta_m = 1.00$, in quanto si considera la spalla debolmente deformabile in condizione sismica.

In fase sismica si considerano inoltre le azioni orizzontali e verticali dovute all'inerzia delle parti in calcestruzzo e del rinterro compreso tra i muri andatori.

VI15 da km 22+780,80 a km 23+265,80:
Relazione di calcolo Spalla S2

COMMESSA	LOTTO	FASE	ENTE	TIPO DOC	OPERA 7 DISCIPLINA			PROGR	REV	FOGLIO
LI0B	02	E	ZZ	CL	VI	15	04	002	B	92

11. ANALISI SPALLA MOBILE S2

11.1 AZIONE IMPALCATI

Mediante l'ausilio di un foglio di calcolo, si sono valutate le singole azioni caratteristiche permanenti strutturali (G_{k1}), non strutturali (G_{k2}) e accidentali (Q_{ki}) derivanti dagli scarichi degli impalcati in appoggio, secondo le azioni descritte nei capitoli precedenti di analisi dei carichi.

Tutte le azioni elementari caratteristiche, accorpate per gruppi omogenei dello stesso tipo, sono state valutate come forze F_x (trasversali), F_y (longitudinali), F_z (verticali) e momenti M_x (longitudinali), M_y (trasversali), M_z (torcenti) rispetto al punto G, posto al centro della elevazione spalla, secondo lo schema di riferimento, a quota estradosso muro frontale, e i rispettivi assi x, y, z come riportato nella figura seguente.

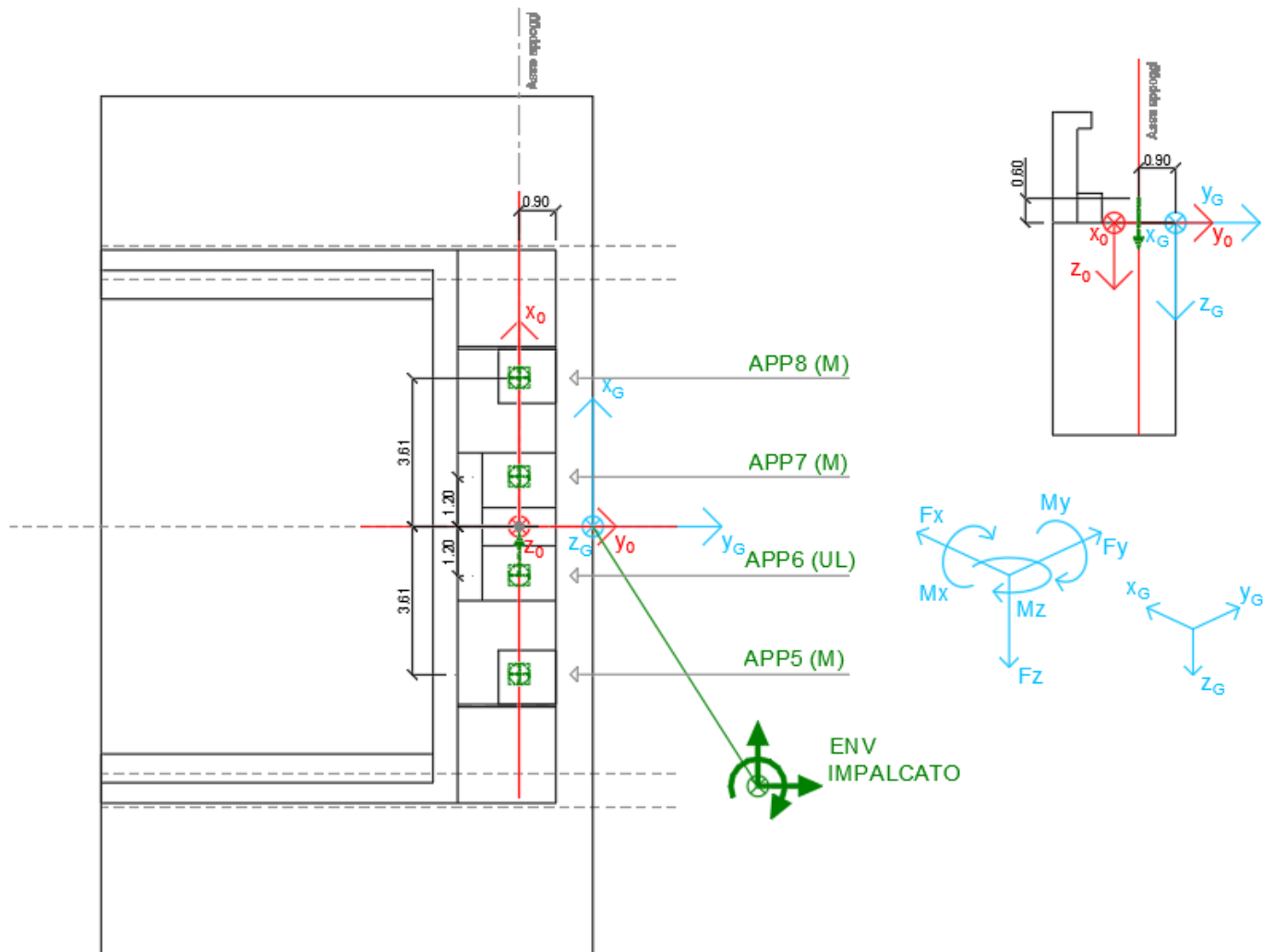


Figura 32 – Schema e sistema di riferimento utilizzato per il calcolo delle azioni applicate

LINEA PESCARA – BARI

**RADDOPPIO DELLA TRATTA FERROVIARIA TERMOLI-LESINA
LOTTO 2 e 3 – RADDOPPIO TERMOLI - RIPALTA**

**VI15 da km 22+780,80 a km 23+265,80:
Relazione di calcolo Spalla S2**

COMMESSA	LOTTO	FASE	ENTE	TIPO DOC	OPERA 7 DISCIPLINA			PROGR	REV	FOGLIO
LI0B	02	E	ZZ	CL	VI	15	04	002	B	93

NOME: SPALLA 2		CALCOLO AZIONI DA IMPALCATO														
LATO APPOGGI SCORREVOLI (IMPALCATO CAP L=25m)																
APPOGGIO 5 (M)	F _{x0} (kN)	F _{y0} (kN)	F _{z0} (kN)	x ₀ (m)	y ₀ (m)	z ₀ (m)	M _{x0} (kNm)	M _{y0} (kNm)	M _{z0} (kNm)	F _{xG} (m)	F _{yG} (m)	F _{zG} (m)	M _{xG} (kNm)	M _{yG} (kNm)	M _{zG} (kNm)	
G1 (peso proprio)	0	0	1075	-3,62	0,00	-0,60	0	3887	0	0	0	0	1075	-968	3887	0
G2,1 (ballast)	0	0	325	-3,62	0,00	-0,60	0	1175	0	0	0	0	325	-293	1175	0
G2,2 (velette)	0	0	225	-3,62	0,00	-0,60	0	813	0	0	0	0	225	-203	813	0
G2,3 (arredi)	0	0	425	-3,62	0,00	-0,60	0	1536	0	0	0	0	425	-383	1536	0
G2,4 (barriere)	0	0	575	-3,62	0,00	-0,60	0	2079	0	0	0	0	575	-518	2079	0
Q3,a B1-SW2 (avv)	0	0	0	-3,62	0,00	-0,60	0	0	0	0	0	0	0	0	0	0
Q3,a B1-LM71 (avv)	0	0	0	-3,62	0,00	-0,60	0	0	0	0	0	0	0	0	0	0
Q3,a B2-LM71 (avv)	0	0	66	-3,62	0,00	-0,60	0	237	0	0	0	0	66	-59	237	0
Q3,f B1-SW2 (fren)	0	0	0	-3,62	0,00	-0,60	0	0	0	0	0	0	0	0	0	0
Q3,f B1-LM71 (fren)	0	0	0	-3,62	0,00	-0,60	0	0	0	0	0	0	0	0	0	0
Q3,f B2-LM71 (fren)	0	0	40	-3,62	0,00	-0,60	0	144	0	0	0	0	40	-36	144	0
Q4 B1-SW2 (centr)	0	0	-25	-3,62	0,00	-0,60	0	-90	0	0	0	0	-25	23	-90	0
Q4 B1-LM71 (centr)	0	0	-63	-3,62	0,00	-0,60	0	-227	0	0	0	0	-63	57	-227	0
Q4 B2-LM71 (centr)	0	0	-63	-3,62	0,00	-0,60	0	-227	0	0	0	0	-63	57	-227	0
Q5 B1-SW2 (serp)	0	0	-41	-3,62	0,00	-0,60	0	-149	0	0	0	0	-41	37	-149	0
Q5 B1-LM71 (serp)	0	0	-45	-3,62	0,00	-0,60	0	-164	0	0	0	0	-45	41	-164	0
Q5 B2-LM71 (serp)	0	0	-45	-3,62	0,00	-0,60	0	-164	0	0	0	0	-45	41	-164	0
Q6 (vento)	0	0	-29	-3,62	0,00	-0,60	0	-106	0	0	0	0	-29	26	-106	0
Q1 LM71_B1 (traffico)	0	0	-15	-3,62	0,00	-0,60	0	-56	0	0	0	0	-15	14	-56	0
Q1 LM71_B2 (traffico)	0	0	788	-3,62	0,00	-0,60	0	2850	0	0	0	0	788	-709	2850	0
Q1 SW2_B1 (traffico)	0	0	0	-3,62	0,00	-0,60	0	0	0	0	0	0	0	0	0	0
Q8 Fa,G (attrito)	0	79	0	-3,62	0,00	-0,60	47	0	-285	0	79	0	47	0	0	-285
Q8 Fa,Q (attrito)	0	24	0	-3,62	0,00	-0,60	14	0	-85	0	24	0	14	0	0	-85
APPOGGIO 6 (UL)	F _{x0} (kN)	F _{y0} (kN)	F _{z0} (kN)	x ₀ (m)	y ₀ (m)	z ₀ (m)	M _{x0} (kNm)	M _{y0} (kNm)	M _{z0} (kNm)	F _{xG} (m)	F _{yG} (m)	F _{zG} (m)	M _{xG} (kNm)	M _{yG} (kNm)	M _{zG} (kNm)	
G1 (peso proprio)	0	0	475	-1,21	0,00	-0,60	0	573	0	0	0	0	475	-428	573	0
G2,1 (ballast)	0	0	500	-1,21	0,00	-0,60	0	603	0	0	0	0	500	-450	603	0
G2,2 (velette)	0	0	-138	-1,21	0,00	-0,60	0	-166	0	0	0	0	-138	124	-166	0
G2,3 (arredi)	0	0	-225	-1,21	0,00	-0,60	0	-271	0	0	0	0	-225	203	-271	0
G2,4 (barriere)	0	0	-325	-1,21	0,00	-0,60	0	-392	0	0	0	0	-325	293	-392	0
Q3,a B1-SW2 (avv)	0	0	20	-1,21	0,00	-0,60	0	24	0	0	0	0	20	-18	24	0
Q3,a B1-LM71 (avv)	0	0	22	-1,21	0,00	-0,60	0	26	0	0	0	0	22	-20	26	0
Q3,a B2-LM71 (avv)	0	0	44	-1,21	0,00	-0,60	0	53	0	0	0	0	44	-39	53	0
Q3,f B1-SW2 (fren)	0	0	21	-1,21	0,00	-0,60	0	25	0	0	0	0	21	-19	25	0
Q3,f B1-LM71 (fren)	0	0	13	-1,21	0,00	-0,60	0	16	0	0	0	0	13	-12	16	0
Q3,f B2-LM71 (fren)	0	0	27	-1,21	0,00	-0,60	0	32	0	0	0	0	27	-24	32	0
Q4 B1-SW2 (centr)	61	0	-8	-1,21	0,00	-0,60	0	-46	0	61	0	0	-8	8	-46	55
Q4 B1-LM71 (centr)	152	0	-21	-1,21	0,00	-0,60	0	-117	0	152	0	0	-21	19	-117	137
Q4 B2-LM71 (centr)	152	0	-21	-1,21	0,00	-0,60	0	-117	0	152	0	0	-21	19	-117	137
Q5 B1-SW2 (serp)	100	0	-14	-1,21	0,00	-0,60	0	-77	0	100	0	0	-14	12	-77	90
Q5 B1-LM71 (serp)	110	0	-15	-1,21	0,00	-0,60	0	-84	0	110	0	0	-15	14	-84	99
Q5 B2-LM71 (serp)	110	0	-15	-1,21	0,00	-0,60	0	-84	0	110	0	0	-15	14	-84	99
Q6 (vento)	234	0	25	-1,21	0,00	-0,60	0	-111	0	234	0	0	25	-22	-111	211
Q1 LM71_B1 (traffico)	0	0	253	-1,21	0,00	-0,60	0	304	0	0	0	0	253	-227	304	0
Q1 LM71_B2 (traffico)	0	0	520	-1,21	0,00	-0,60	0	627	0	0	0	0	520	-468	627	0
Q1 SW2_B1 (traffico)	0	0	283	-1,21	0,00	-0,60	0	340	0	0	0	0	283	-254	340	0
Q8 Fa,G (attrito)	0	9	0	-1,21	0,00	-0,60	5	0	-10	0	9	0	5	0	0	-10
Q8 Fa,Q (attrito)	0	16	0	-1,21	0,00	-0,60	9	0	-19	0	16	0	9	0	0	-19
APPOGGIO 7 (M)	F _{x0} (kN)	F _{y0} (kN)	F _{z0} (kN)	x ₀ (m)	y ₀ (m)	z ₀ (m)	M _{x0} (kNm)	M _{y0} (kNm)	M _{z0} (kNm)	F _{xG} (m)	F _{yG} (m)	F _{zG} (m)	M _{xG} (kNm)	M _{yG} (kNm)	M _{zG} (kNm)	
G1 (peso proprio)	0	0	475	1,21	0,00	-0,60	0	-573	0	0	0	0	475	-428	-573	0
G2,1 (ballast)	0	0	500	1,21	0,00	-0,60	0	-603	0	0	0	0	500	-450	-603	0
G2,2 (velette)	0	0	-138	1,21	0,00	-0,60	0	166	0	0	0	0	-138	124	166	0
G2,3 (arredi)	0	0	-225	1,21	0,00	-0,60	0	271	0	0	0	0	-225	203	271	0
G2,4 (barriere)	0	0	-325	1,21	0,00	-0,60	0	392	0	0	0	0	-325	293	392	0
Q3,a B1-SW2 (avv)	0	0	40	1,21	0,00	-0,60	0	-48	0	0	0	0	40	-36	-48	0
Q3,a B1-LM71 (avv)	0	0	44	1,21	0,00	-0,60	0	-53	0	0	0	0	44	-39	-53	0
Q3,a B2-LM71 (avv)	0	0	22	1,21	0,00	-0,60	0	-26	0	0	0	0	22	-20	-26	0
Q3,f B1-SW2 (fren)	0	0	42	1,21	0,00	-0,60	0	-51	0	0	0	0	42	-38	-51	0
Q3,f B1-LM71 (fren)	0	0	27	1,21	0,00	-0,60	0	-32	0	0	0	0	27	-24	-32	0
Q3,f B2-LM71 (fren)	0	0	13	1,21	0,00	-0,60	0	-16	0	0	0	0	13	-12	-16	0
Q4 B1-SW2 (centr)	0	0	8	1,21	0,00	-0,60	0	-10	0	0	0	0	8	-8	-10	0
Q4 B1-LM71 (centr)	0	0	21	1,21	0,00	-0,60	0	-25	0	0	0	0	21	-19	-25	0
Q4 B2-LM71 (centr)	0	0	21	1,21	0,00	-0,60	0	-25	0	0	0	0	21	-19	-25	0
Q5 B1-SW2 (serp)	0	0	14	1,21	0,00	-0,60	0	-17	0	0	0	0	14	-12	-17	0
Q5 B1-LM71 (serp)	0	0	15	1,21	0,00	-0,60	0	-18	0	0	0	0	15	-14	-18	0
Q5 B2-LM71 (serp)	0	0	15	1,21	0,00	-0,60	0	-18	0	0	0	0	15	-14	-18	0
Q6 (vento)	0	0	78	1,21	0,00	-0,60	0	-95	0	0	0	0	78	-71	-95	0
Q1 LM71_B1 (traffico)	0	0	520	1,21	0,00	-0,60	0	-627	0	0	0	0	520	-468	-627	0
Q1 LM71_B2 (traffico)	0	0	253	1,21	0,00	-0,60	0	-304	0	0	0	0	253	-227	-304	0
Q1 SW2_B1 (traffico)	0	0	565	1,21	0,00	-0,60	0	-681	0	0	0	0	565	-509	-681	0
Q8 Fa,G (attrito)	0	9	0	1,21	0,00	-0,60	5	0	10	0	9	0	5	0	0	10
Q8 Fa,Q (attrito)	0	17	0	1,21	0,00	-0,60	10	0	20	0	17	0	10	0	0	20

MANDATARIA 		MANDANTI 		LINEA PESCARA – BARI RADDOPPIO DELLA TRATTA FERROVIARIA TERMOLI-LESINA LOTTO 2 e 3 – RADDOPPIO TERMOLI - RIPALTA										
VI15 da km 22+780,80 a km 23+265,80: Relazione di calcolo Spalla S2				COMMESSA	LOTTO	FASE	ENTE	TIPO DOC	OPERA 7 DISCIPLINA			PROGR	REV	FOGLIO
				LI0B	02	E	ZZ	CL	VI	15	04	002	B	94

APPOGGIO 8 (M)	F _{x0} (kN)	F _{y0} (kN)	F _{z0} (kN)	x ₀ (m)	y ₀ (m)	z ₀ (m)	M _{x0} (kNm)	M _{y0} (kNm)	M _{z0} (kNm)	F _{xG} (m)	F _{yG} (m)	F _{zG} (m)	M _{xG} (kNm)	M _{yG} (kNm)	M _{zG} (kNm)
G1 (peso proprio)	0	0	1075	3,62	0,00	-0,60	0	-3887	0	0	0	1075	-968	-3887	0
G2,1 (ballast)	0	0	325	3,62	0,00	-0,60	0	-1175	0	0	0	325	-293	-1175	0
G2,2 (velette)	0	0	225	3,62	0,00	-0,60	0	-813	0	0	0	225	-203	-813	0
G2,3 (arredi)	0	0	425	3,62	0,00	-0,60	0	-1536	0	0	0	425	-383	-1536	0
G2,4 (barriere)	0	0	575	3,62	0,00	-0,60	0	-2079	0	0	0	575	-518	-2079	0
Q3,a B1-SW2 (aw)	0	0	60	3,62	0,00	-0,60	0	-216	0	0	0	60	-54	-216	0
Q3,a B1-LM71 (aw)	0	0	66	3,62	0,00	-0,60	0	-237	0	0	0	66	-59	-237	0
Q3,a B2-LM71 (aw)	0	0	0	3,62	0,00	-0,60	0	0	0	0	0	0	0	0	0
Q3,f B1-SW2 (fren)	0	0	63	3,62	0,00	-0,60	0	-229	0	0	0	63	-57	-229	0
Q3,f B1-LM71 (fren)	0	0	40	3,62	0,00	-0,60	0	-144	0	0	0	40	-36	-144	0
Q3,f B2-LM71 (fren)	0	0	0	3,62	0,00	-0,60	0	0	0	0	0	0	0	0	0
Q4 B1-SW2 (centr)	0	0	25	3,62	0,00	-0,60	0	-90	0	0	0	25	-23	-90	0
Q4 B1-LM71 (centr)	0	0	63	3,62	0,00	-0,60	0	-227	0	0	0	63	-57	-227	0
Q4 B2-LM71 (centr)	0	0	63	3,62	0,00	-0,60	0	-227	0	0	0	63	-57	-227	0
Q5 B1-SW2 (serp)	0	0	41	3,62	0,00	-0,60	0	-149	0	0	0	41	-37	-149	0
Q5 B1-LM71 (serp)	0	0	45	3,62	0,00	-0,60	0	-164	0	0	0	45	-41	-164	0
Q5 B2-LM71 (serp)	0	0	45	3,62	0,00	-0,60	0	-164	0	0	0	45	-41	-164	0
Q6 (vento)	0	0	132	3,62	0,00	-0,60	0	-478	0	0	0	132	-119	-478	0
Q1 LM71_B1 (traffico)	0	0	788	3,62	0,00	-0,60	0	-2850	0	0	0	788	-709	-2850	0
Q1 LM71_B2 (traffico)	0	0	-15	3,62	0,00	-0,60	0	56	0	0	0	-15	14	56	0
Q1 SW2_B1 (traffico)	0	0	848	3,62	0,00	-0,60	0	-3064	0	0	0	848	-763	-3064	0
Q8 Fa,G (attrito)	0	79	0	3,62	0,00	-0,60	47	0	285	0	79	0	47	0	285
Q8 Fa,Q (attrito)	0	25	0	3,62	0,00	-0,60	15	0	92	0	25	0	15	0	92

Tabella 28 - Riepilogo azioni elementari derivanti dagli scarichi degli impalcati

Tipo azione	Descrizione azione	V _{trav}		V _{long}		N _{vert}		M _{long}		M _{trav}		M _{torc}	
		F _x [kN]	F _y [kN]	F _x [kN]	F _y [kN]	F _z [kN]	M _x [kNm]	M _y [kNm]	M _z [kNm]				
Gk1 Perm. Str.	G1 (peso proprio)	0	0	0	0	3101	-2791	0	0				
Gk2b Ballast	G2,1 (ballast)	0	0	0	0	1650	-1485	0	0				
Gk2v	G2,2 (arredi vari)	0	0	0	0	1075	-968	0	0				
Qk3a Avviamento	Traffico 1	0	0	0	0	131	-118	-264	0				
	Traffico 2	0	0	0	0	119	-107	-240	0				
	Traffico 3	0	0	0	0	119	-107	-240	0				
Qk3f Frenatura	Traffico 1	0	0	0	0	80	-72	160	0				
	Traffico 2	0	0	0	0	80	-72	160	0				
	Traffico 3	0	0	0	0	127	-114	-254	0				
Qk4 Centrifuga	Traffico 1	305	0	0	0	0	0	-1193	274				
	Traffico 2	213	0	0	0	0	0	-834	192				
	Traffico 3	61	0	0	0	0	0	-237	55				
Qk5 Serpeggio	Traffico 1	220	0	0	0	0	0	-861	198				
	Traffico 2	210	0	0	0	0	0	-822	189				
	Traffico 3	100	0	0	0	0	0	-391	90				
Qk6 vento	Q6 (vento)	234	0	0	0	206	-186	-789	211				
Qk1 Treno	Traffico 1	0	0	0	0	3092	-2783	0	0				
	Traffico 2	0	0	0	0	3241	-2917	-176	0				
	Traffico 3	0	0	0	0	1695	-1526	-3404	0				
Qk2g attrito	Q8 Fa,G (attrito)	0	175	0	0	105	0	0	0				
Qk2q attrito	Q8 Fa,Q (attrito)	0	82	0	0	49	0	0	8				

Tabella 29 - Risultanti azioni elementari al centro dell'elevazione G (quota estradosso muro frontale)

LINEA PESCARA – BARI

**RADDOPPIO DELLA TRATTA FERROVIARIA TERMOLI-LESINA
LOTTO 2 e 3 – RADDOPPIO TERMOLI - RIPALTA**

**VI15 da km 22+780,80 a km 23+265,80:
Relazione di calcolo Spalla S2**

COMMESSA	LOTTO	FASE	ENTE	TIPO DOC	OPERA 7 DISCIPLINA			PROGR	REV	FOGLIO
LI0B	02	E	ZZ	CL	VI	15	04	002	B	95

NomeEnv:	TipoComb:	NumComb:	Comb:	Gk1 Perm. Str.-G1 (peso proprio)	Gk2b Ballast-G2,1 (ballast)	Gk2v-Perm. non str. vari	Gk3a-Traffico 1	Gk3a-Traffico 2	Gk3a-Traffico 3	Gk3f-Traffico 1	Gk3f-Traffico 2	Gk3f-Traffico 3	Gk4-Traffico 1	Gk4-Traffico 2	Gk4-Traffico 3	Gk5-Traffico 1	Gk5-Traffico 2	Gk5-Traffico 3	Gk6 vento-Q6 (vento)	Gk1-Traffico 1	Gk1-Traffico 2	Gk1-Traffico 3	Gk2g attrito-Q8 Fa.G (attrito)	Gk2q attrito-Q8 Fa.Q (attrito)
SLU	1	1	SLU1	1,35	1,50	1,35	0,73	0,00	0,00	0,73	0,00	0,00	1,45	0,00	0,00	1,45	0,00	0,00	0,90	1,45	0,00	0,00	1,35	1,45
SLU	2	2	SLU2	1,35	1,50	1,35	1,45	0,00	0,00	1,45	0,00	0,00	0,73	0,00	0,00	0,73	0,00	0,00	0,90	1,45	0,00	0,00	1,35	1,45
SLU	1	3	SLU3	1,35	1,50	1,35	0,00	0,73	0,00	0,00	0,73	0,00	0,00	1,45	0,00	0,00	1,45	0,00	0,90	0,00	1,45	0,00	1,35	1,45
SLU	2	4	SLU4	1,35	1,50	1,35	0,00	1,45	0,00	0,00	1,45	0,00	0,00	0,73	0,00	0,00	0,73	0,00	0,90	0,00	1,45	0,00	1,35	1,45
SLU	1	5	SLU5	1,35	1,50	1,35	0,00	0,00	0,73	0,00	0,00	0,73	0,00	0,00	1,45	0,00	0,00	1,45	0,90	0,00	0,00	1,45	1,35	1,45
SLU	2	6	SLU6	1,35	1,50	1,35	0,00	0,00	1,45	0,00	0,00	1,45	0,00	0,00	0,73	0,00	0,00	0,73	0,90	0,00	0,00	1,45	1,35	1,45
SLU	3	7	SLU7	1,00	1,00	1,00	0,73	0,00	0,00	0,73	0,00	0,00	1,45	0,00	0,00	1,45	0,00	0,00	0,90	1,45	0,00	0,00	1,35	1,45
SLU	4	8	SLU8	1,00	1,00	1,00	1,45	0,00	0,00	1,45	0,00	0,00	0,73	0,00	0,00	0,73	0,00	0,00	0,90	1,45	0,00	0,00	1,35	1,45
SLU	3	9	SLU9	1,00	1,00	1,00	0,00	0,73	0,00	0,00	0,73	0,00	0,00	1,45	0,00	0,00	1,45	0,00	0,90	0,00	1,45	0,00	1,35	1,45
SLU	4	10	SLU10	1,00	1,00	1,00	0,00	1,45	0,00	0,00	1,45	0,00	0,00	0,73	0,00	0,00	0,73	0,00	0,90	0,00	1,45	0,00	1,35	1,45
SLU	3	11	SLU11	1,00	1,00	1,00	0,00	0,00	0,73	0,00	0,00	0,73	0,00	0,00	1,45	0,00	0,00	1,45	0,90	0,00	0,00	1,45	1,35	1,45
SLU	4	12	SLU12	1,00	1,00	1,00	0,00	0,00	1,45	0,00	0,00	1,45	0,00	0,00	0,73	0,00	0,00	0,73	0,90	0,00	0,00	1,45	1,35	1,45
SLU	5	13	SLU13	1,00	1,00	1,00	0,00	0,00	0,00	0,00	0,00	0,00	0,00	0,00	0,00	0,00	0,00	0,00	1,50	0,00	0,00	0,00	1,00	0,00
SLU	5	14	SLU14	1,00	1,00	1,00	0,00	0,00	0,00	0,00	0,00	0,00	0,00	0,00	0,00	0,00	0,00	0,00	1,50	0,00	0,00	0,00	-1,00	0,00
SLU	5	15	SLU15	1,00	1,00	1,00	0,00	0,00	0,00	0,00	0,00	0,00	0,00	0,00	0,00	0,00	0,00	0,00	-1,50	0,00	0,00	0,00	1,00	0,00
SLU	5	16	SLU16	1,00	1,00	1,00	0,00	0,00	0,00	0,00	0,00	0,00	0,00	0,00	0,00	0,00	0,00	0,00	-1,50	0,00	0,00	0,00	-1,00	0,00
SLU	6	17	SLU17	1,00	1,00	1,00	0,00	0,00	0,00	0,00	0,00	0,00	0,00	0,00	0,00	0,00	0,00	0,00	0,00	0,00	0,00	0,00	1,00	0,73
SLU	6	18	SLU18	1,00	1,00	1,00	0,00	0,00	0,00	0,00	0,00	0,00	0,00	0,00	0,00	0,00	0,00	0,00	0,00	0,00	0,00	0,00	-1,00	-0,73
SLE RA	7	19	RA1	1,00	1,00	1,00	0,80	0,00	0,00	0,80	0,00	0,00	1,00	0,00	0,00	1,00	0,00	0,00	0,60	1,00	0,00	0,00	1,00	1,00
SLE RA	8	20	RA2	1,00	1,00	1,00	1,00	0,00	0,00	1,00	0,00	0,00	0,80	0,00	0,00	0,80	0,00	0,00	0,60	1,00	0,00	0,00	1,00	1,00
SLE RA	7	21	RA3	1,00	1,00	1,00	0,00	0,80	0,00	0,00	0,80	0,00	0,00	1,00	0,00	0,00	1,00	0,00	0,60	0,00	1,00	0,00	1,00	1,00
SLE RA	8	22	RA4	1,00	1,00	1,00	0,00	1,00	0,00	0,00	1,00	0,00	0,00	0,80	0,00	0,00	0,80	0,00	0,60	0,00	1,00	0,00	1,00	1,00
SLE RA	7	23	RA5	1,00	1,00	1,00	0,00	0,00	0,80	0,00	0,00	0,80	0,00	0,00	1,00	0,00	0,00	1,00	0,60	0,00	0,00	1,00	1,00	0,50
SLE RA	8	24	RA6	1,00	1,00	1,00	0,00	0,00	1,00	0,00	0,00	1,00	0,00	0,00	0,80	0,00	0,00	0,80	0,60	0,00	0,00	1,00	1,00	0,50
SLE RA	7	25	RA7	1,00	1,00	1,00	0,80	0,00	0,00	0,80	0,00	0,00	1,00	0,00	0,00	1,00	0,00	0,00	0,60	1,00	0,00	0,00	-1,00	-1,00
SLE RA	8	26	RA8	1,00	1,00	1,00	1,00	0,00	0,00	1,00	0,00	0,00	0,80	0,00	0,00	0,80	0,00	0,00	0,60	1,00	0,00	0,00	-1,00	-1,00
SLE RA	7	27	RA9	1,00	1,00	1,00	0,00	0,80	0,00	0,00	0,80	0,00	0,00	1,00	0,00	0,00	1,00	0,00	0,60	0,00	1,00	0,00	-1,00	-1,00
SLE RA	8	28	RA10	1,00	1,00	1,00	0,00	1,00	0,00	0,00	1,00	0,00	0,00	0,80	0,00	0,00	0,80	0,00	0,60	0,00	1,00	0,00	-1,00	-1,00
SLE RA	7	29	RA11	1,00	1,00	1,00	0,00	0,00	0,80	0,00	0,00	0,80	0,00	0,00	1,00	0,00	0,00	1,00	0,60	0,00	0,00	1,00	-1,00	-0,50
SLE RA	8	30	RA12	1,00	1,00	1,00	0,00	0,00	1,00	0,00	0,00	1,00	0,00	0,00	0,80	0,00	0,00	0,80	0,60	0,00	0,00	1,00	-1,00	-0,50
SLE RA	9	31	RA13	1,00	1,00	1,00	0,00	0,00	0,00	0,00	0,00	0,00	0,00	0,00	0,00	0,00	0,00	0,00	1,00	0,00	0,00	0,00	-1,00	0,00
SLE RA	9	32	RA14	1,00	1,00	1,00	0,00	0,00	0,00	0,00	0,00	0,00	0,00	0,00	0,00	0,00	0,00	0,00	-1,00	0,00	0,00	0,00	-1,00	0,00
SLE RA	9	33	RA15	1,00	1,00	1,00	0,00	0,00	0,00	0,00	0,00	0,00	0,00	0,00	0,00	0,00	0,00	0,00	0,00	0,00	0,00	0,00	1,00	1,00
SLE QP	10	34	QP1	1,00	1,00	1,00	0,00	0,00	0,00	0,00	0,00	0,00	0,00	0,00	0,00	0,00	0,00	0,00	0,00	0,00	0,00	0,00	0,00	0,00
SLE QP	11	35	QP2	1,00	1,00	1,00	0,00	0,00	0,00	0,00	0,00	0,00	0,00	0,00	0,00	0,00	0,00	0,00	0,00	0,00	0,00	0,00	-1,00	0,00
SLE QP	11	36	QP3	1,00	1,00	1,00	0,00	0,00	0,00	0,00	0,00	0,00	0,00	0,00	0,00	0,00	0,00	0,00	0,00	0,00	0,00	0,00	1,00	0,00

Tabella 30 – Combinazioni di carico adottate

**VI15 da km 22+780,80 a km 23+265,80:
Relazione di calcolo Spalla S2**

COMMESSA	LOTTO	FASE	ENTE	TIPO DOC	OPERA 7 DISCIPLINA			PROGR	REV	FOGLIO
LI0B	02	E	ZZ	CL	VI	15	04	002	B	96

INVILUPPO: SLU		N _{vert}	V _{trasv}	M _{trasv}	V _{long}	M _{long}	M _{torc}
Tipologia Comb.	Nome Comb.	Fz (kN)	Fx (kN)	My (kNm)	Fy (kN)	Mx (kNm)	Mz (kNm)
N _{vert} Max	SLU4	13286	517	-2282	354	-11745	477
N _{vert} Min	SLU15	5517	-351	1184	175	-4860	-316
V _{trasv} Max	SLU7	10647	972	-3764	354	-9370	886
V _{trasv} Min	SLU16	5517	-351	1184	-175	-5070	-316
M _{trasv} Max	SLU15	5517	-351	1184	175	-4860	-316
M _{trasv} Min	SLU5	10934	444	-6916	354	-9628	411
V _{long} Max	SLU12	8826	327	-6818	354	-7731	306
V _{long} Min	SLU18	5826	0	0	-234	-5384	-6
M _{long} Max	SLU15	5517	-351	1184	175	-4860	-316
M _{long} Min	SLU4	13286	517	-2282	354	-11745	477
M _{torc} Max	SLU7	10647	972	-3764	354	-9370	886
M _{torc} Min	SLU16	5517	-351	1184	-175	-5070	-316

Tabella 31 – ENV SLU - Azioni totali involuppo

INVILUPPO: SLE RA		N _{vert}	V _{trasv}	M _{trasv}	V _{long}	M _{long}	M _{torc}
Tipologia Comb.	Nome Comb.	Fz (kN)	Fx (kN)	My (kNm)	Fy (kN)	Mx (kNm)	Mz (kNm)
N _{vert} Max	RA4	9390	479	-2054	256	-8297	439
N _{vert} Min	RA14	5620	-234	789	-175	-5163	-211
V _{trasv} Max	RA1	9210	665	-2611	256	-8135	607
V _{trasv} Min	RA14	5620	-234	789	-175	-5163	-211
M _{trasv} Max	RA14	5620	-234	789	-175	-5163	-211
M _{trasv} Min	RA11	7842	301	-4902	-216	-7187	267
V _{long} Max	RA15	5826	0	0	256	-5090	8
V _{long} Min	RA10	9390	479	-2054	-256	-8604	423
M _{long} Max	RA15	5826	0	0	256	-5090	8
M _{long} Min	RA10	9390	479	-2054	-256	-8604	423
M _{torc} Max	RA1	9210	665	-2611	256	-8135	607
M _{torc} Min	RA14	5620	-234	789	-175	-5163	-211
INVILUPPO: SLE QP		N _{vert}	V _{trasv}	M _{trasv}	V _{long}	M _{long}	M _{torc}
Tipologia Comb.	Nome Comb.	Fz (kN)	Fx (kN)	My (kNm)	Fy (kN)	Mx (kNm)	Mz (kNm)
N _{vert} Max	QP3	5826	0	0	175	-5139	0
N _{vert} Min	QP2	5826	0	0	-175	-5348	0
V _{trasv} Max	QP3	5826	0	0	175	-5139	0
V _{trasv} Min	QP2	5826	0	0	-175	-5348	0
M _{trasv} Max	QP3	5826	0	0	175	-5139	0
M _{trasv} Min	QP2	5826	0	0	-175	-5348	0

LINEA PESCARA – BARI

**RADDOPPIO DELLA TRATTA FERROVIARIA TERMOLI-LESINA
LOTTO 2 e 3 – RADDOPPIO TERMOLI - RIPALTA**

VI15 da km 22+780,80 a km 23+265,80: Relazione di calcolo Spalla S2	COMMESSA	LOTTO	FASE	ENTE	TIPO DOC	OPERA 7 DISCIPLINA			PROGR	REV	FOGLIO
	LI0B	02	E	ZZ	CL	VI	15	04	002	B	97

V _{long} Max	QP3	5826	0	0	175	-5139	0
V _{long} Min	QP2	5826	0	0	-175	-5348	0
M _{long} Max	QP3	5826	0	0	175	-5139	0
M _{long} Min	QP2	5826	0	0	-175	-5348	0
M _{torc} Max	QP3	5826	0	0	175	-5139	0
M _{torc} Min	QP2	5826	0	0	-175	-5348	0

Tabella 32 – ENV SLE RA, SLE QP - Azioni totali involucro

**VI15 da km 22+780,80 a km 23+265,80:
Relazione di calcolo Spalla S2**

COMMESSA	LOTTO	FASE	ENTE	TIPO DOC	OPERA 7 DISCIPLINA			PROGR	REV	FOGLIO
LI0B	02	E	ZZ	CL	VI	15	04	002	B	98

11.2 SOLLECITAZIONI ELEVAZIONE

In analogia con quanto svolto per gli scarichi di impalcato, sempre mediante foglio di calcolo, si sono valutate le singole azioni caratteristiche permanenti strutturali (G_{k1}), non strutturali (G_{k2}) e accidentali (Q_{ki}) applicate all'elevazione spalla, secondo le azioni descritte nei capitoli precedenti di analisi dei carichi, combinandole opportunamente con gli involuppi di azioni totali ricavate a testa elevazione.

Tutte le azioni elementari caratteristiche sopra descritte, accorpate per gruppi omogenei dello stesso tipo, sono state valutate come forze F_x (trasversali), F_y (longitudinali), F_z (verticali) e momenti M_x (longitudinali), M_y (trasversali), M_z (torcenti) rispetto al punto G, posto al centro della elevazione pila a quota estradosso fondazione, e i rispettivi assi x, y, z come riportato nella figura seguente.

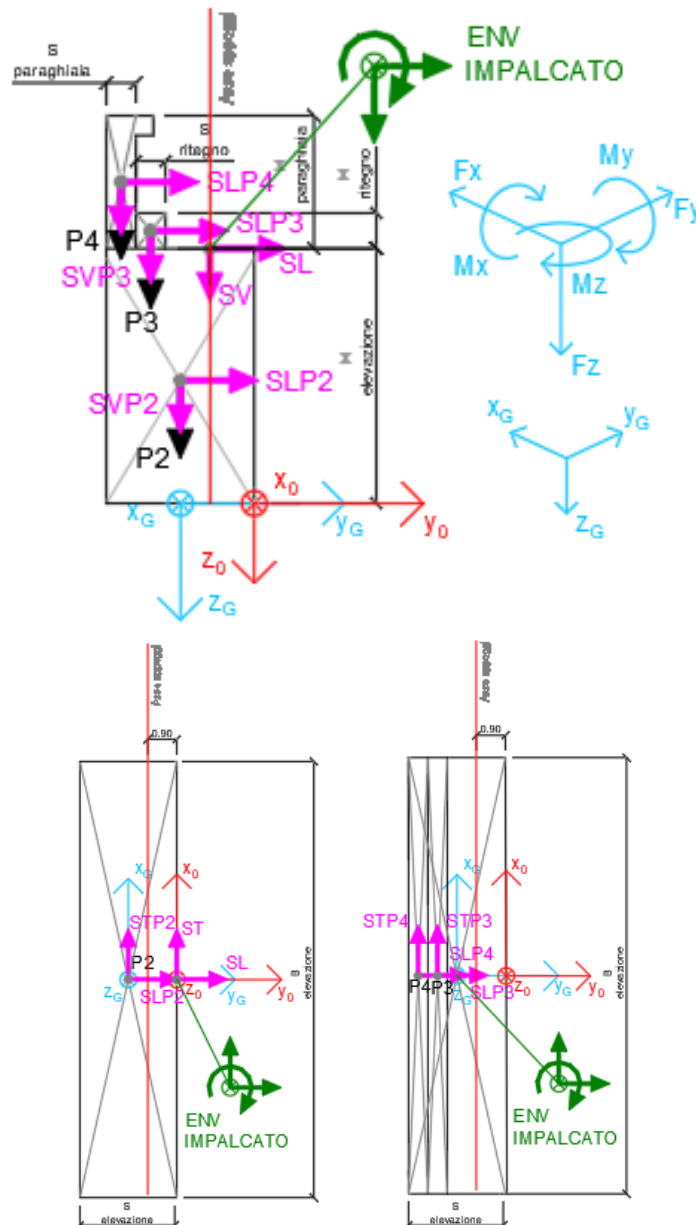


Figura 23 – Schema e sistema di riferimento utilizzato per il calcolo delle azioni applicate

MANDATARIA 		MANDANTI 		LINEA PESCARA – BARI RADDOPPIO DELLA TRATTA FERROVIARIA TERMOLI-LESINA LOTTO 2 e 3 – RADDOPPIO TERMOLI - RIPALTA										
VI15 da km 22+780,80 a km 23+265,80: Relazione di calcolo Spalla S2				COMMESSA	LOTTO	FASE	ENTE	TIPO DOC	OPERA 7 DISCIPLINA			PROGR	REV	FOGLIO
				LI0B	02	E	ZZ	CL	VI	15	04	002	B	99

11.2.1 Analisi statica (SLU, SLE) e sismica (SLV)

Nel seguito vengono riportati i dettagli dei calcoli effettuati per la valutazione delle risultanti delle combinazioni statiche SLU / SLE e sismiche SLV, secondo le combinazioni di carico descritte nei capitoli precedenti.

NOME: ELEVAZIONE SPALLA 2				CALCOLO SPETTRO SISMICO DI PROGETTO													
PGA orizzontale a_g (g)		0,242		Coeff. sismico orizz. k_h				0,2814				Coeff. spinta attiva sismica k_{aE}				0,3878	
Coeff. stratigrafico S_s		1,163		Coeff. sismico vert. k_v				0,1407									
NOME: ELEVAZIONE SPALLA 2				CALCOLO AZIONI SISMICHE CORPO SPALLA													
		F_{x0} (kN)	F_{y0} (kN)	F_{z0} (kN)	x_0 (m)	y_0 (m)	z_0 (m)	M_{x0} (kNm)	M_{y0} (kNm)	M_{z0} (kNm)	F_{xG} (m)	F_{yG} (m)	F_{zG} (m)	M_{xG} (kNm)	M_{yG} (kNm)	M_{zG} (kNm)	
Sisma long	SLP2	0	1425	0	0,00	-1,50	-2,50	3562	0	0							
	SLP3	0	52	0	0,00	-2,10	-5,46	286	0	0							
	SLP4	0	177	0	0,00	-2,70	-6,55	1157	0	0							
			0	1654	0				5006	0	0	0	1654	0	5006	0	0
Sisma trasv	STP2	1425	0	0	0,00	-1,50	-2,50	0	-3562	2137							
	STP3	52	0	0	0,00	-2,10	-5,46	0	-286	110							
	STP4	177	0	0	0,00	-2,70	-6,55	0	-1157	477							
			1654	0	0				0	-5006	2724	1654	0	0	0	-5006	243
Sisma vert	SVP2	0	0	712	0,00	-1,50	-2,50	-1069	0	0							
	SVP3	0	0	26	0,00	-2,10	-5,46	-55	0	0							
	SVP4	0	0	88	0,00	-2,70	-6,55	-239	0	0							
			0	0	827				-1362	0	0	0	0	827	-122	0	0
Sisma ballast long	SGBH	0	217	0	0,00	-3,00	-4,05	880	0	0							
		0	217	0				880	0	0	0	217	0	880	0	0	
Sisma terreno long	STHL	0	1811	0	0,00	-3,00	-4,05	7335	0	0							
		0	1811	0				7335	0	0	0	1811	0	7335	0	0	
Sisma impalcato long	SL	0	0	0	0,00	0,00	-5,00	0	0	0							
		0	0	0				0	0	0	0	0	0	0	0	0	
Sisma impalcato trasv	ST	2552	0	0	0,00	0,00	-5,00	0	-12759	0							
		2552	0	0				0	-12759	0	2552	0	0	0	-12759	-3828	
Sisma impalcato vert	SV	0	0	1276	0,00	0,00	-5,00	0	0	0							
		0	0	1276				0	0	0	0	0	1276	1914	0	0	

Tabella 33 – Calcolo spettri sismici risposta strutturale e riepilogo azioni elementari sismiche

LINEA PESCARA – BARI

**RADDOPPIO DELLA TRATTA FERROVIARIA TERMOLI-LESINA
LOTTO 2 e 3 – RADDOPPIO TERMOLI - RIPALTA**

**VI15 da km 22+780,80 a km 23+265,80:
Relazione di calcolo Spalla S2**

COMMESSA	LOTTO	FASE	ENTE	TIPO DOC	OPERA 7 DISCIPLINA			PROGR	REV	FOGLIO
LI0B	02	E	ZZ	CL	VI	15	04	002	B	100

NOME: ELEVAZIONE SPALLA 2				PARAMETRI DI CALCOLO ELEVAZIONE						
H paraghiaia (m)	3,10	H elevazione (m)	5,00	Peso terreno (kN/m3)	20,00	Carico variab. Q LM71 (kPa)				23,15
S paraghiaia (m)	0,60	S elevazione (m)	3,00	Angolo di attrito terreno (°)	38,00	XG elevazione				0,00
H ritegno (m)	0,92	B elevazione (m)	13,50	Coeff. spinta attiva statica ka	0,2379	YG elevazione				-1,50
S ritegno (m)	0,60	Carico perm. Gb ballast (kPa)	9,72	Coeff. spinta riposo statica k0	0,3843	ZG elevazione				0,00

NOME: ELEVAZIONE SPALLA 2				CALCOLO AZIONI CORPO SPALLA												
		F _{x0} (kN)	F _{y0} (kN)	F _{z0} (kN)	x ₀ (m)	y ₀ (m)	z ₀ (m)	M _{x0} (kNm)	M _{y0} (kNm)	M _{z0} (kNm)	F _{xG} (m)	F _{yG} (m)	F _{zG} (m)	M _{xG} (kNm)	M _{yG} (kNm)	M _{zG} (kNm)
Peso proprio	P2	0	0	5063	0,00	-1,50	-2,50	-7594	0	0	0	0	0	5877	-865	0
	P3	0	0	186	0,00	-2,10	-5,46	-391	0	0	0	0	0	0	0	0
	P4	0	0	628	0,00	-2,70	-6,55	-1695	0	0	0	0	0	0	0	0
Ballast	GBH	0	408	0	0,00	-3,00	-4,05	1654	0	0	0	408	0	1654	0	0
Spinta terreno	THL	0	3404	0	0,00	-3,00	-2,70	9191	0	0	0	3404	0	9191	0	0
Sovraccarico long	Q1	0	973	0	0,00	-3,00	-4,05	3940	0	0	0	973	0	3940	0	0

NOME: ELEVAZIONE SPALLA 2				CALCOLO AZIONI DA IMPALCATO												
		F _{x0} (kN)	F _{y0} (kN)	F _{z0} (kN)	x ₀ (m)	y ₀ (m)	z ₀ (m)	M _{x0} (kNm)	M _{y0} (kNm)	M _{z0} (kNm)	F _{xG} (m)	F _{yG} (m)	F _{zG} (m)	M _{xG} (kNm)	M _{yG} (kNm)	M _{zG} (kNm)
ENV SLU	Nvert Max	517	354	13286	0,00	0,00	-5,00	-11745	-2282	477	517	354	13286	9956	-4869	-299
	Nvert Min	-351	175	5517	0,00	0,00	-5,00	-4860	1184	-316	-351	175	5517	4289	2939	211
	Vtrasv Max	972	354	10647	0,00	0,00	-5,00	-9370	-3764	886	972	354	10647	8373	-8623	-571
	Vtrasv Min	-351	-175	5517	0,00	0,00	-5,00	-5070	1184	-316	-351	-175	5517	2331	2939	211
	Mlong Max	-351	175	5517	0,00	0,00	-5,00	-4860	1184	-316	-351	175	5517	4289	2939	211
	Mlong Min	517	354	13286	0,00	0,00	-5,00	-11745	-2282	477	517	354	13286	9956	-4869	-299
	Vlong Max	327	354	8826	0,00	0,00	-5,00	-7731	-6818	306	327	354	8826	7280	-8454	-185
	Vlong Min	0	-234	5826	0,00	0,00	-5,00	-5348	0	-6	0	-234	5826	2185	0	-6
	Mtrasv Max	-351	175	5517	0,00	0,00	-5,00	-4860	1184	-316	-351	175	5517	4289	2939	211
	Mtrasv Min	444	354	10934	0,00	0,00	-5,00	-9628	-6916	411	444	354	10934	8545	-9135	-255
	Mtorc Max	972	354	10647	0,00	0,00	-5,00	-9370	-3764	886	972	354	10647	8373	-8623	-571
	Mtorc Min	-351	-175	5517	0,00	0,00	-5,00	-5070	1184	-316	-351	-175	5517	2331	2939	211
ENV SLE RA	Nvert Max	479	256	9390	0,00	0,00	-5,00	-8297	-2054	439	479	256	9390	7070	-4449	-279
	Nvert Min	-234	-175	5620	0,00	0,00	-5,00	-5163	789	-211	-234	-175	5620	2393	1960	140
	Vtrasv Max	665	256	9210	0,00	0,00	-5,00	-8135	-2611	607	665	256	9210	6962	-5937	-391
	Vtrasv Min	-234	-175	5620	0,00	0,00	-5,00	-5163	789	-211	-234	-175	5620	2393	1960	140
	Mtrasv Max	-234	-175	5620	0,00	0,00	-5,00	-5163	789	-211	-234	-175	5620	2393	1960	140
	Mtrasv Min	301	-216	7842	0,00	0,00	-5,00	-7187	-4902	267	301	-216	7842	3498	-6407	-185
	Vlong Max	0	256	5826	0,00	0,00	-5,00	-5090	0	8	0	256	5826	4932	0	8
	Vlong Min	479	-256	9390	0,00	0,00	-5,00	-8604	-2054	423	479	-256	9390	4198	-4449	-295
	Mlong Max	0	256	5826	0,00	0,00	-5,00	-5090	0	8	0	256	5826	4932	0	8
	Mlong Min	479	-256	9390	0,00	0,00	-5,00	-8604	-2054	423	479	-256	9390	4198	-4449	-295
	Mtorc Max	665	256	9210	0,00	0,00	-5,00	-8135	-2611	607	665	256	9210	6962	-5937	-391
	Mtorc Min	-234	-175	5620	0,00	0,00	-5,00	-5163	789	-211	-234	-175	5620	2393	1960	140
ENV SLE QP	Nvert Max	0	175	5826	0,00	0,00	-5,00	-5139	0	0	0	175	5826	4474	0	0
	Nvert Min	0	-175	5826	0,00	0,00	-5,00	-5348	0	0	0	-175	5826	2517	0	0
	Vtrasv Max	0	175	5826	0,00	0,00	-5,00	-5139	0	0	0	175	5826	4474	0	0
	Vtrasv Min	0	-175	5826	0,00	0,00	-5,00	-5348	0	0	0	-175	5826	2517	0	0
	Mtrasv Max	0	175	5826	0,00	0,00	-5,00	-5139	0	0	0	175	5826	4474	0	0
	Mtrasv Min	0	-175	5826	0,00	0,00	-5,00	-5348	0	0	0	-175	5826	2517	0	0
	Vlong Max	0	175	5826	0,00	0,00	-5,00	-5139	0	0	0	175	5826	4474	0	0
	Vlong Min	0	-175	5826	0,00	0,00	-5,00	-5348	0	0	0	-175	5826	2517	0	0
	Mlong Max	0	175	5826	0,00	0,00	-5,00	-5139	0	0	0	175	5826	4474	0	0
	Mlong Min	0	-175	5826	0,00	0,00	-5,00	-5348	0	0	0	-175	5826	2517	0	0
	Mtorc Max	0	175	5826	0,00	0,00	-5,00	-5139	0	0	0	175	5826	4474	0	0
	Mtorc Min	0	-175	5826	0,00	0,00	-5,00	-5348	0	0	0	-175	5826	2517	0	0

Tabella 34 – Riepilogo azioni elementari statiche

LINEA PESCARA – BARI

**RADDOPPIO DELLA TRATTA FERROVIARIA TERMOLI-LESINA
LOTTO 2 e 3 – RADDOPPIO TERMOLI - RIPALTA**

**VI15 da km 22+780,80 a km 23+265,80:
Relazione di calcolo Spalla S2**

COMMESSA	LOTTO	FASE	ENTE	TIPO DOC	OPERA 7 DISCIPLINA			PROGR	REV	FOGLIO
LI0B	02	E	ZZ	CL	VI	15	04	002	B	101

Tipo azione	Descrizione azione	V _{trasv}	V _{long}	N _{vert}	M _{long}	M _{trasv}	M _{torc}
		F _x [kN]	F _y [kN]	F _z [kN]	M _x [kNm]	M _y [kNm]	M _z [kNm]
Gk1 Perm. Str.	G1 (peso proprio)	0	0	5877	-865	0	0
Gk2b Ballast	G2,1 (ballast)	0	408	0	1654	0	0
Gk2 Perm. Non Str.	G2,2 (terreno)	0	3404	0	9191	0	0
SLU Impalcato	Nvert Max	517	354	13286	9956	-4869	-299
	Nvert Min	-351	175	5517	4289	2939	211
	Vtrasv Max	972	354	10647	8373	-8623	-571
	Vtrasv Min	-351	-175	5517	2331	2939	211
	Mtrasv Max	-351	175	5517	4289	2939	211
	Mtrasv Min	517	354	13286	9956	-4869	-299
	Vlong Max	327	354	8826	7280	-8454	-185
	Vlong Min	0	-234	5826	2185	0	-6
	Mlong Max	-351	175	5517	4289	2939	211
	Mlong Min	444	354	10934	8545	-9135	-255
	Mtorc Max	972	354	10647	8373	-8623	-571
	Mtorc Min	-351	-175	5517	2331	2939	211
SLE RA Impalcato	Nvert Max	479	256	9390	7070	-4449	-279
	Nvert Min	-234	-175	5620	2393	1960	140
	Vtrasv Max	665	256	9210	6962	-5937	-391
	Vtrasv Min	-234	-175	5620	2393	1960	140
	Mtrasv Max	-234	-175	5620	2393	1960	140
	Mtrasv Min	301	-216	7842	3498	-6407	-185
	Vlong Max	0	256	5826	4932	0	8
	Vlong Min	479	-256	9390	4198	-4449	-295
	Mlong Max	0	256	5826	4932	0	8
	Mlong Min	479	-256	9390	4198	-4449	-295
	Mtorc Max	665	256	9210	6962	-5937	-391
	Mtorc Min	-234	-175	5620	2393	1960	140
SLE QP Impalcato	Nvert Max	0	175	5826	4474	0	0
	Nvert Min	0	-175	5826	2517	0	0
	Vtrasv Max	0	175	5826	4474	0	0
	Vtrasv Min	0	-175	5826	2517	0	0
	Mtrasv Max	0	175	5826	4474	0	0
	Mtrasv Min	0	-175	5826	2517	0	0
	Vlong Max	0	175	5826	4474	0	0
	Vlong Min	0	-175	5826	2517	0	0
	Mlong Max	0	175	5826	4474	0	0
	Mlong Min	0	-175	5826	2517	0	0
	Mtorc Max	0	175	5826	4474	0	0
	Mtorc Min	0	-175	5826	2517	0	0

MANDATARIA 		MANDANTI 		LINEA PESCARA – BARI RADDOPPIO DELLA TRATTA FERROVIARIA TERMOLI-LESINA LOTTO 2 e 3 – RADDOPPIO TERMOLI - RIPALTA								
VI15 da km 22+780,80 a km 23+265,80: Relazione di calcolo Spalla S2		COMMESSA	LOTTO	FASE	ENTE	TIPO DOC	OPERA 7 DISCIPLINA			PROGR	REV	FOGLIO
		LI0B	02	E	ZZ	CL	VI	15	04	002	B	102

Qk1	Q (acc. Traffico)	0	973	0	3940	0	0
E	Sisma long	0	3682	0	13221	0	0
Sisma	Sisma trasv	4206	0	0	0	-17765	-3584
	Sisma vert	0	0	2103	1792	0	0

Tabella 35 – Risultanti azioni elementari al centro dell'elevazione G (quota estradosso fondazione)

LINEA PESCARA - BARI

RADDOPPIO DELLA TRATTA FERROVIARIA TERMOLI-LESINA LOTTO 2 e 3 - RADDOPPIO TERMOLI - RIPALTA

VI15 da km 22+780,80 a km 23+265,80: Relazione di calcolo Spalla S2

Table with 11 columns: COMMESSA, LOTTO, FASE, ENTE, TIPO DOC, OPERA 7 DISCIPLINA, PROGR, REV, FOGGIO. Values: LI0B, 02, E, ZZ, CL, VI 15 04, 002, B, 103.

Main data table with multiple columns for structural analysis. Columns include 'Nome Inv.', 'Tipo Comb.', 'Num Comb.', 'Comb.', 'Gk1 Perm. Str.-G1 (peso proprio)', 'Gk2b Ballast-G2.1 (ballast)', 'Gk2 Perm. Non Str.-G2.2 (terreno)', 'SLU-Nvert Max', 'SLU-Nvert Min', 'SLU-Vtrasy Max', 'SLU-Vtrasy Min', 'SLU-Mtrasy Max', 'SLU-Mtrasy Min', 'SLE-RA-Nvert Max', 'SLE-RA-Nvert Min', 'SLE-RA-Vtrasy Max', 'SLE-RA-Vtrasy Min', 'SLE-RA-Mtrasy Max', 'SLE-RA-Mtrasy Min', 'SLE-RA-Vlong Max', 'SLE-RA-Vlong Min', 'SLE-RA-Mlong Max', 'SLE-RA-Mlong Min', 'SLE-RA-Mtrc Max', 'SLE-RA-Mtrc Min', 'SLE-OP-Nvert Max', 'SLE-OP-Nvert Min', 'SLE-OP-Vtrasy Max', 'SLE-OP-Vtrasy Min', 'SLE-OP-Mtrasy Max', 'SLE-OP-Mtrasy Min', 'SLE-OP-Vlong Max', 'SLE-OP-Vlong Min', 'SLE-OP-Mlong Max', 'SLE-OP-Mlong Min', 'SLE-OP-Mtrc Max', 'SLE-OP-Mtrc Min', 'OK1-Q (acc. Traffico)', 'E-Sistema long', 'E-Sistema trasv', 'E-Sistema vert'. Values range from 0.00 to 1.00 and 1.45.

Tabella 36 - Combinazioni di carico adottate

**VI15 da km 22+780,80 a km 23+265,80:
Relazione di calcolo Spalla S2**

COMMESSA	LOTTO	FASE	ENTE	TIPO DOC	OPERA 7 DISCIPLINA			PROGR	REV	FOGLIO
LI0B	02	E	ZZ	CL	VI	15	04	002	B	104

INVILUPPO: SLU		N_{vert}	V_{trasv}	M_{trasv}	V_{long}	M_{long}	M_{torc}
Tipologia Comb.	Nome Comb.	Fz (kN)	Fx (kN)	My (kNm)	Fy (kN)	Mx (kNm)	Mz (kNm)
N _{vert} Max	SLU6	21219	517	-4869	7484	30769	-299
N _{vert} Min	SLU24	11393	-351	2939	5049	18025	211
V _{trasv} Max	SLU3	18581	972	-8623	7484	29186	-571
V _{trasv} Min	SLU24	11393	-351	2939	5049	18025	211
M _{trasv} Max	SLU2	13450	-351	2939	7304	25102	211
M _{trasv} Min	SLU22	16811	444	-9135	5578	24238	-255
V _{long} Max	SLU11	18581	972	-8623	7484	29186	-571
V _{long} Min	SLU20	11703	0	0	4989	17879	-6
M _{long} Max	SLU6	21219	517	-4869	7484	30769	-299
M _{long} Min	SLU20	11703	0	0	4989	17879	-6
M _{torc} Max	SLU2	13450	-351	2939	7304	25102	211
M _{torc} Min	SLU15	16524	972	-8623	5578	24066	-571
INVILUPPO: SLV		N_{vert}	V_{trasv}	M_{trasv}	V_{long}	M_{long}	M_{torc}
Tipologia Comb.	Nome Comb.	Fz (kN)	Fx (kN)	My (kNm)	Fy (kN)	Mx (kNm)	Mz (kNm)
N _{vert} Max	SLV5	13805	4206	-17765	5092	20213	-3584
N _{vert} Min	SLV6	9600	4206	-17765	5092	16629	-3584
V _{trasv} Max	SLV5	13805	4206	-17765	5092	20213	-3584
V _{trasv} Min	SLV2	11072	1262	-5329	7670	27138	-1075
M _{trasv} Max	SLV1	12333	1262	-5329	7670	28213	-1075
M _{trasv} Min	SLV6	9600	4206	-17765	5092	16629	-3584
V _{long} Max	SLV1	12333	1262	-5329	7670	28213	-1075
V _{long} Min	SLV6	9600	4206	-17765	5092	16629	-3584
M _{long} Max	SLV1	12333	1262	-5329	7670	28213	-1075
M _{long} Min	SLV6	9600	4206	-17765	5092	16629	-3584
M _{torc} Max	SLV1	12333	1262	-5329	7670	28213	-1075
M _{torc} Min	SLV6	9600	4206	-17765	5092	16629	-3584

Tabella 37 – ENV SLU, SLV - Azioni totali inviluppo

LINEA PESCARA – BARI

**RADDOPPIO DELLA TRATTA FERROVIARIA TERMOLI-LESINA
LOTTO 2 e 3 – RADDOPPIO TERMOLI - RIPALTA**

**VI15 da km 22+780,80 a km 23+265,80:
Relazione di calcolo Spalla S2**

COMMESSA	LOTTO	FASE	ENTE	TIPO DOC	OPERA 7 DISCIPLINA			PROGR	REV	FOGLIO
LI0B	02	E	ZZ	CL	VI	15	04	002	B	105

INVILUPPO: SLE RA		N _{vert}	V _{trasv}	M _{trasv}	V _{long}	M _{long}	M _{torc}
Tipologia Comb.	Nome Comb.	Fz (kN)	Fx (kN)	My (kNm)	Fy (kN)	Mx (kNm)	Mz (kNm)
N _{vert} Max	RA1	15266	479	-4449	5042	20990	-279
N _{vert} Min	RA12	11496	-234	1960	4611	16314	140
V _{trasv} Max	RA3	15087	665	-5937	5042	20883	-391
V _{trasv} Min	RA12	11496	-234	1960	4611	16314	140
M _{trasv} Max	RA12	11496	-234	1960	4611	16314	140
M _{trasv} Min	RA6	13718	301	-6407	4570	17418	-185
V _{long} Max	RA11	15087	665	-5937	5042	20883	-391
V _{long} Min	RA8	15266	479	-4449	4529	18118	-295
M _{long} Max	RA1	15266	479	-4449	5042	20990	-279
M _{long} Min	RA12	11496	-234	1960	4611	16314	140
M _{torc} Max	RA12	11496	-234	1960	4611	16314	140
M _{torc} Min	RA3	15087	665	-5937	5042	20883	-391
INVILUPPO: SLE QP		N _{vert}	V _{trasv}	M _{trasv}	V _{long}	M _{long}	M _{torc}
Tipologia Comb.	Nome Comb.	Fz (kN)	Fx (kN)	My (kNm)	Fy (kN)	Mx (kNm)	Mz (kNm)
N _{vert} Max	QP1	11703	0	0	3987	14455	0
N _{vert} Min	QP12	11703	0	0	3638	12497	0
V _{trasv} Max	QP1	11703	0	0	3987	14455	0
V _{trasv} Min	QP12	11703	0	0	3638	12497	0
M _{trasv} Max	QP1	11703	0	0	3987	14455	0
M _{trasv} Min	QP12	11703	0	0	3638	12497	0
V _{long} Max	QP1	11703	0	0	3987	14455	0
V _{long} Min	QP12	11703	0	0	3638	12497	0
M _{long} Max	QP1	11703	0	0	3987	14455	0
M _{long} Min	QP12	11703	0	0	3638	12497	0
M _{torc} Max	QP1	11703	0	0	3987	14455	0
M _{torc} Min	QP12	11703	0	0	3638	12497	0

Tabella 38 – ENV SLE RA, SLE QP - Azioni totali inviluppo

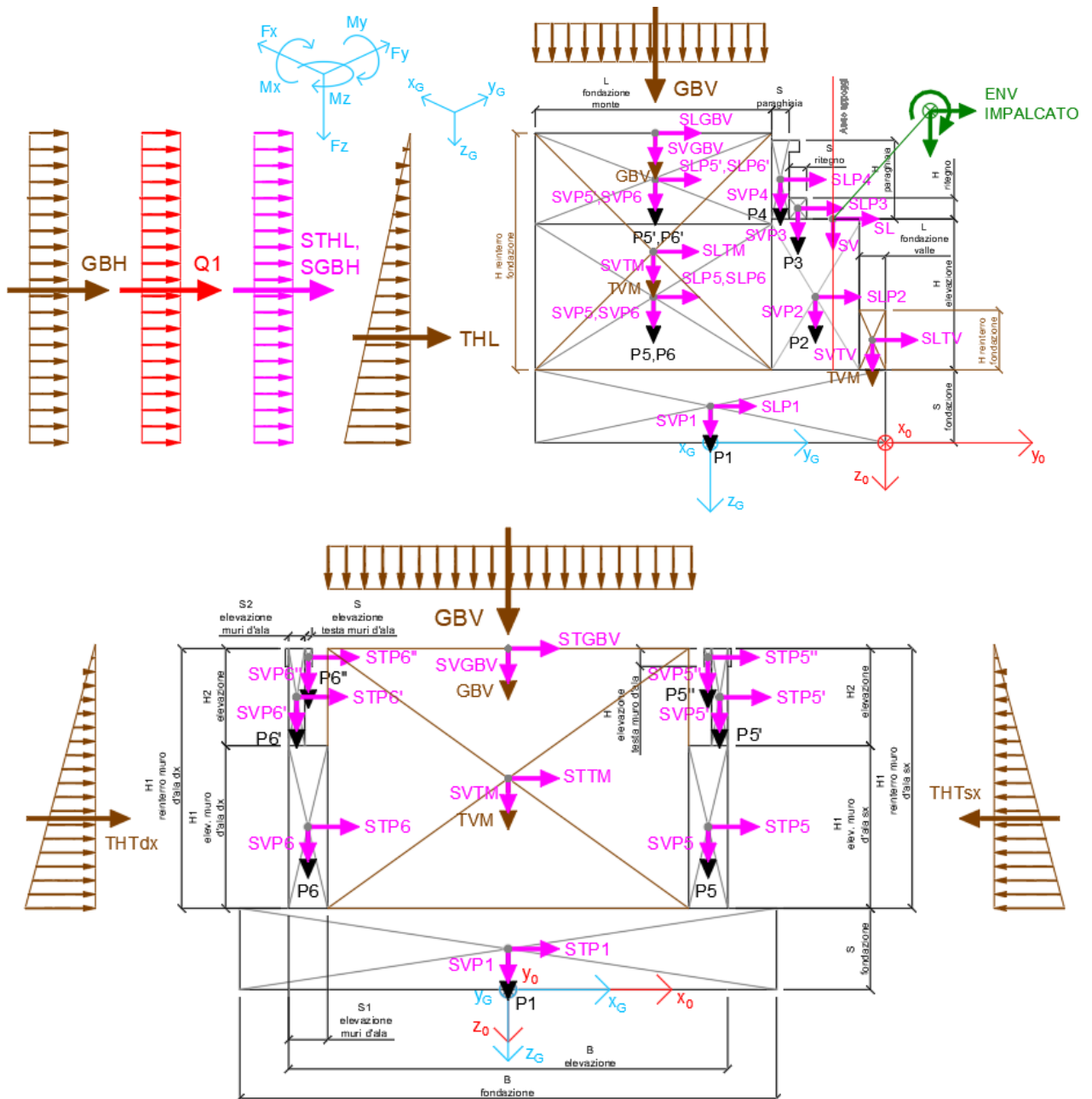
**VI15 da km 22+780,80 a km 23+265,80:
Relazione di calcolo Spalla S2**

COMMESSA	LOTTO	FASE	ENTE	TIPO DOC	OPERA 7 DISCIPLINA			PROGR	REV	FOGLIO
LI0B	02	E	ZZ	CL	VI	15	04	002	B	106

11.3 SOLLECITAZIONI IN FONDAZIONE

In analogia con quanto svolto per gli scarichi di impalcato, sempre mediante foglio di calcolo, si sono valutate le singole azioni caratteristiche permanenti strutturali (G_{k1}), non strutturali (G_{k2}) e accidentali (Q_{ki}) applicate all'elevazione spalla, secondo le azioni descritte nei capitoli precedenti di analisi dei carichi, combinandole opportunamente con gli involuppi di azioni totali ricavate a testa elevazione.

Tutte le azioni elementari caratteristiche sopra descritte, accorpate per gruppi omogenei dello stesso tipo, sono state valutate come forze F_x (trasversali), F_y (longitudinali), F_z (verticali) e momenti M_x (longitudinali), M_y (trasversali), M_z (torcenti) rispetto al punto G posto al centro palificata a quota testa pali., e i rispettivi assi x, y, z come riportato nella figura seguente.



VI15 da km 22+780,80 a km 23+265,80:
Relazione di calcolo Spalla S2

COMMESSA	LOTTO	FASE	ENTE	TIPO DOC	OPERA 7 DISCIPLINA			PROGR	REV	FOGLIO
LI0B	02	E	ZZ	CL	VI	15	04	002	B	107

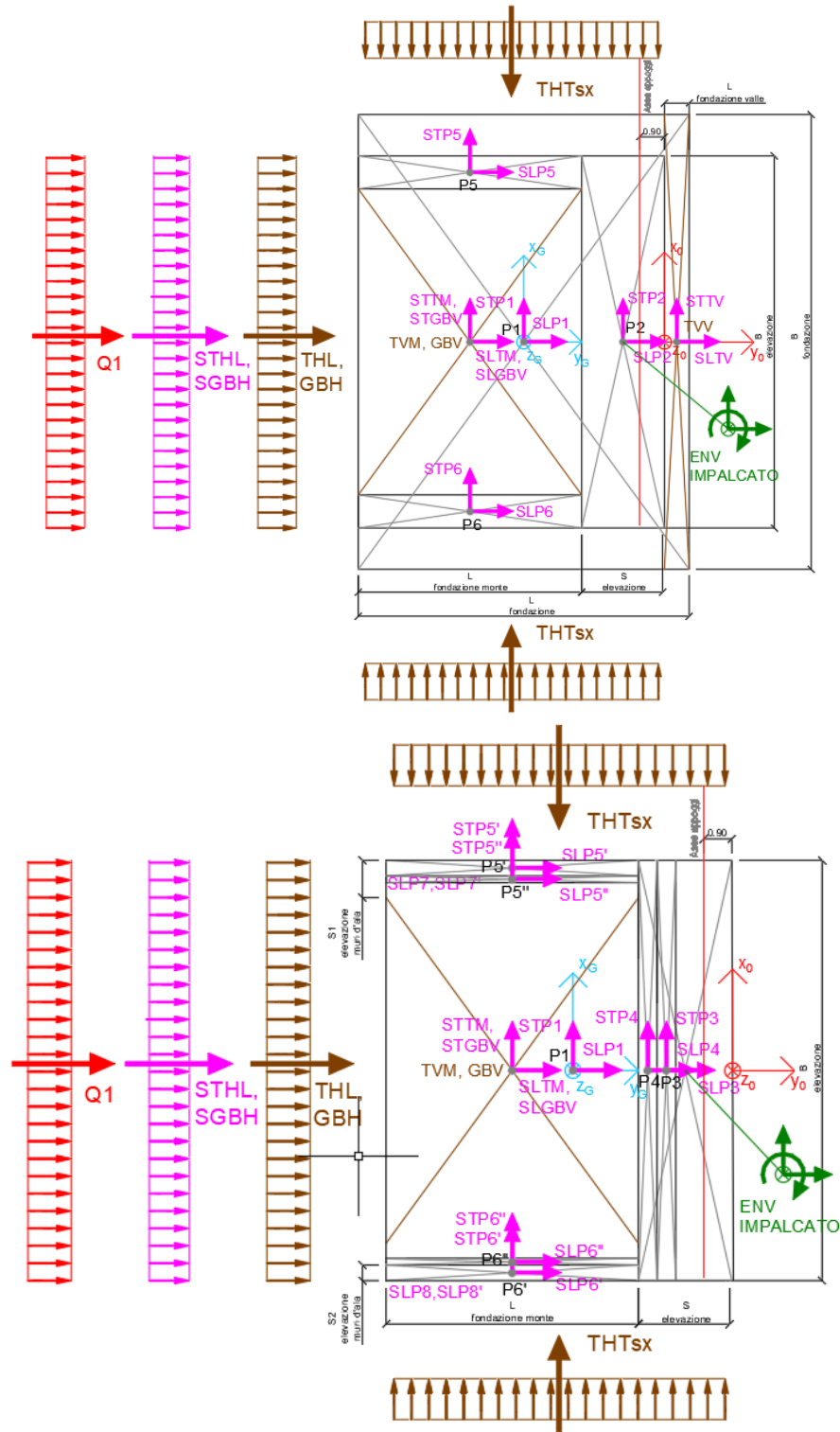


Figura 23 – Schema e sistema di riferimento utilizzato per il calcolo delle azioni applicate

**VI15 da km 22+780,80 a km 23+265,80:
Relazione di calcolo Spalla S2**

COMMESSA	LOTTO	FASE	ENTE	TIPO DOC	OPERA 7 DISCIPLINA			PROGR	REV	FOGLIO
LI0B	02	E	ZZ	CL	VI	15	04	002	B	110

Tipo azione	Descrizione azione	V _{trasv} F _x [kN]	V _{long} F _y [kN]	N _{vert} F _z [kN]	M _{long} M _x [kNm]	M _{trasv} M _y [kNm]	M _{torc} M _z [kNm]
Gk1 Perm. Str.	G1 (peso proprio)	0	0	21496	13118	0	0
Gk2b Ballast	G2,1 (ballast)	0	535	1063	761	0	0
Gk2 Perm. Non Str.	G2,2 (terreno)	0	5830	14862	-6155	0	0
SLU Impalcato	Nvert Max	517	354	13286	58671	-6162	-2162
	Nvert Min	-351	175	5517	24586	3817	1475
	Vtrasv Max	972	354	10647	47589	-11052	-4069
	Vtrasv Min	-351	-175	5517	21754	3817	1475
	Mtrasv Max	-351	175	5517	24586	3817	1475
	Mtrasv Min	517	354	13286	58671	-6162	-2162
	Vlong Max	327	354	8826	39940	-9272	-1363
	Vlong Min	0	-234	5826	22574	0	-6
	Mlong Max	-351	175	5517	24586	3817	1475
	Mlong Min	444	354	10934	48794	-10244	-1852
	Mtorc Max	972	354	10647	47589	-11052	-4069
Mtorc Min	-351	-175	5517	21754	3817	1475	
SLE RA Impalcato	Nvert Max	479	256	9390	41513	-5646	-2004
	Nvert Min	-234	-175	5620	22187	2545	983
	Vtrasv Max	665	256	9210	40760	-7600	-2786
	Vtrasv Min	-234	-175	5620	22187	2545	983
	Mtrasv Max	-234	-175	5620	22187	2545	983
	Mtrasv Min	301	-216	7842	31188	-7160	-1269
	Vlong Max	0	256	5826	26546	0	8
	Vlong Min	479	-256	9390	37359	-5646	-2020
	Mlong Max	0	256	5826	26546	0	8
	Mlong Min	479	-256	9390	37359	-5646	-2020
	Mtorc Max	665	256	9210	40760	-7600	-2786
Mtorc Min	-234	-175	5620	22187	2545	983	
SLE QP Impalcato	Nvert Max	0	175	5826	25885	0	0
	Nvert Min	0	-175	5826	23053	0	0
	Vtrasv Max	0	175	5826	25885	0	0
	Vtrasv Min	0	-175	5826	23053	0	0
	Mtrasv Max	0	175	5826	25885	0	0
	Mtrasv Min	0	-175	5826	23053	0	0
	Vlong Max	0	175	5826	25885	0	0
	Vlong Min	0	-175	5826	23053	0	0
	Mlong Max	0	175	5826	25885	0	0
	Mlong Min	0	-175	5826	23053	0	0
	Mtorc Max	0	175	5826	25885	0	0
Mtorc Min	0	-175	5826	23053	0	0	

MANDATARIA 		MANDANTI 		LINEA PESCARA – BARI RADDOPPIO DELLA TRATTA FERROVIARIA TERMOLI-LESINA LOTTO 2 e 3 – RADDOPPIO TERMOLI - RIPALTA								
VI15 da km 22+780,80 a km 23+265,80: Relazione di calcolo Spalla S2		COMMESSA	LOTTO	FASE	ENTE	TIPO DOC	OPERA 7 DISCIPLINA			PROGR	REV	FOGLIO
		LI0B	02	E	ZZ	CL	VI	15	04	002	B	111

Qk1	Q (acc. Traffico)	0	1273	0	6748	0	0
E	Sisma long	0	13918	0	61720	0	0
Sisma	Sisma trasv	13084	0	0	0	-68393	-8593
	Sisma vert	0	0	6542	4297	0	0

Tabella 41 – Risultanti azioni elementari al centro della palificata G (quota testa palo)

**VI15 da km 22+780,80 a km 23+265,80:
Relazione di calcolo Spalla S2**

COMMESSA	LOTTO	FASE	ENTE	TIPO DOC	OPERA 7 DISCIPLINA			PROGR	REV	FOGLIO
LI0B	02	E	ZZ	CL	VI	15	04	002	B	113

INVILUPPO: SLU		N _{vert}	V _{trasv}	M _{trasv}	V _{long}	M _{long}	M _{torc}
Tipologia Comb.	Nome Comb.	Fz (kN)	Fx (kN)	My (kNm)	Fy (kN)	Mx (kNm)	Mz (kNm)
N _{vert} Max	SLU6	66193	517	-6162	11747	78072	-2162
N _{vert} Min	SLU24	42937	-351	3817	8036	39261	1475
V _{trasv} Max	SLU3	63554	972	-11052	11747	66990	-4069
V _{trasv} Min	SLU24	42937	-351	3817	8036	39261	1475
M _{trasv} Max	SLU6	58423	-351	3817	11567	43986	1475
M _{trasv} Min	SLU24	48068	972	-11052	8565	65096	-4069
V _{long} Max	SLU11	63554	972	-11052	11747	66990	-4069
V _{long} Min	SLU20	43247	0	0	7976	40081	-6
M _{long} Max	SLU2	66193	517	-6162	11747	78072	-2162
M _{long} Min	SLU15	42937	-351	3817	8036	39261	1475
M _{torc} Max	SLU2	58423	-351	3817	11567	43986	1475
M _{torc} Min	SLU15	48068	972	-11052	8565	65096	-4069
INVILUPPO: SLV		N _{vert}	V _{trasv}	M _{trasv}	V _{long}	M _{long}	M _{torc}
Tipologia Comb.	Nome Comb.	Fz (kN)	Fx (kN)	My (kNm)	Fy (kN)	Mx (kNm)	Mz (kNm)
N _{vert} Max	SLV5	49789	3925	-20518	10715	56420	-2578
N _{vert} Min	SLV6	36705	3925	-20518	10715	47827	-2578
V _{trasv} Max	SLV3	45209	13084	-68393	10715	53413	-8593
V _{trasv} Min	SLV6	36705	3925	-20518	10715	47827	-2578
M _{trasv} Max	SLV1	45209	3925	-20518	20457	96617	-2578
M _{trasv} Min	SLV6	41284	13084	-68393	10715	50835	-8593
V _{long} Max	SLV1	45209	3925	-20518	20457	96617	-2578
V _{long} Min	SLV6	36705	3925	-20518	10715	47827	-2578
M _{long} Max	SLV1	45209	3925	-20518	20457	96617	-2578
M _{long} Min	SLV4	36705	3925	-20518	10715	47827	-2578
M _{torc} Max	SLV5	49789	3925	-20518	10715	56420	-2578
M _{torc} Min	SLV4	41284	13084	-68393	10715	50835	-8593

Tabella 43 – ENV SLU, SLV - Azioni totali inviluppo

**VI15 da km 22+780,80 a km 23+265,80:
Relazione di calcolo Spalla S2**

COMMESSA	LOTTO	FASE	ENTE	TIPO DOC	OPERA 7 DISCIPLINA			PROGR	REV	FOGLIO
LI0B	02	E	ZZ	CL	VI	15	04	002	B	114

INVILUPPO: SLE RA		N_{vert}	V_{trasv}	M_{trasv}	V_{long}	M_{long}	M_{torc}
Tipologia Comb.	Nome Comb.	Fz (kN)	Fx (kN)	My (kNm)	Fy (kN)	Mx (kNm)	Mz (kNm)
N _{vert} Max	RA1	46810	479	-5646	7894	55984	-2004
N _{vert} Min	RA12	43040	-234	2545	7463	36658	983
V _{trasv} Max	RA3	46631	665	-7600	7894	55230	-2786
V _{trasv} Min	RA12	43040	-234	2545	7463	36658	983
M _{trasv} Max	RA1	43040	-234	2545	7463	36658	983
M _{trasv} Min	RA12	46631	665	-7600	7894	55230	-2786
V _{long} Max	RA11	46631	665	-7600	7894	55230	-2786
V _{long} Min	RA8	46810	479	-5646	7381	51830	-2020
M _{long} Max	RA12	46810	479	-5646	7894	55984	-2004
M _{long} Min	RA3	43040	-234	2545	7463	36658	983
M _{torc} Max	RA12	43040	-234	2545	7463	36658	983
M _{torc} Min	RA3	46631	665	-7600	7894	55230	-2786
INVILUPPO: SLE QP		N_{vert}	V_{trasv}	M_{trasv}	V_{long}	M_{long}	M_{torc}
Tipologia Comb.	Nome Comb.	Fz (kN)	Fx (kN)	My (kNm)	Fy (kN)	Mx (kNm)	Mz (kNm)
N _{vert} Max	QP1	43247	0	0	6539	33608	0
N _{vert} Min	QP12	43247	0	0	6190	30776	0
V _{trasv} Max	QP1	43247	0	0	6539	33608	0
V _{trasv} Min	QP12	43247	0	0	6190	30776	0
M _{trasv} Max	QP1	43247	0	0	6539	33608	0
M _{trasv} Min	QP12	43247	0	0	6190	30776	0
V _{long} Max	QP1	43247	0	0	6539	33608	0
V _{long} Min	QP12	43247	0	0	6190	30776	0
M _{long} Max	QP1	43247	0	0	6539	33608	0
M _{long} Min	QP12	43247	0	0	6190	30776	0
M _{torc} Max	QP1	43247	0	0	6539	33608	0
M _{torc} Min	QP12	43247	0	0	6190	30776	0

Tabella 44 – ENV SLE RA, SLE QP - Azioni totali inviluppo

VI15 da km 22+780,80 a km 23+265,80:
Relazione di calcolo Spalla S2

COMMESSA	LOTTO	FASE	ENTE	TIPO DOC	OPERA 7 DISCIPLINA			PROGR	REV	FOGLIO
LI0B	02	E	ZZ	CL	VI	15	04	002	B	115

11.4 SOLLECITAZIONI MURO PARAGHIAIA

In analogia con quanto svolto per gli scarichi di impalcato, sempre mediante foglio di calcolo, si sono valutate le singole azioni caratteristiche permanenti strutturali (G_{k1}), non strutturali (G_{k2}) e accidentali (Q_{ki}) applicate al muro paraghiaia della spalla, secondo le azioni descritte nei capitoli precedenti di analisi dei carichi.

Tutte le azioni elementari caratteristiche sopra descritte, accorpate per gruppi omogenei dello stesso tipo, sono state valutate come forze F_x (trasversali), F_y (longitudinali), F_z (verticali) e momenti M_x (longitudinali), M_y (trasversali), M_z (torcenti) rispetto al punto G, posto al centro del muro paraghiaia a quota estradosso elevazione, e i rispettivi assi x, y, z come riportato nella figura seguente.

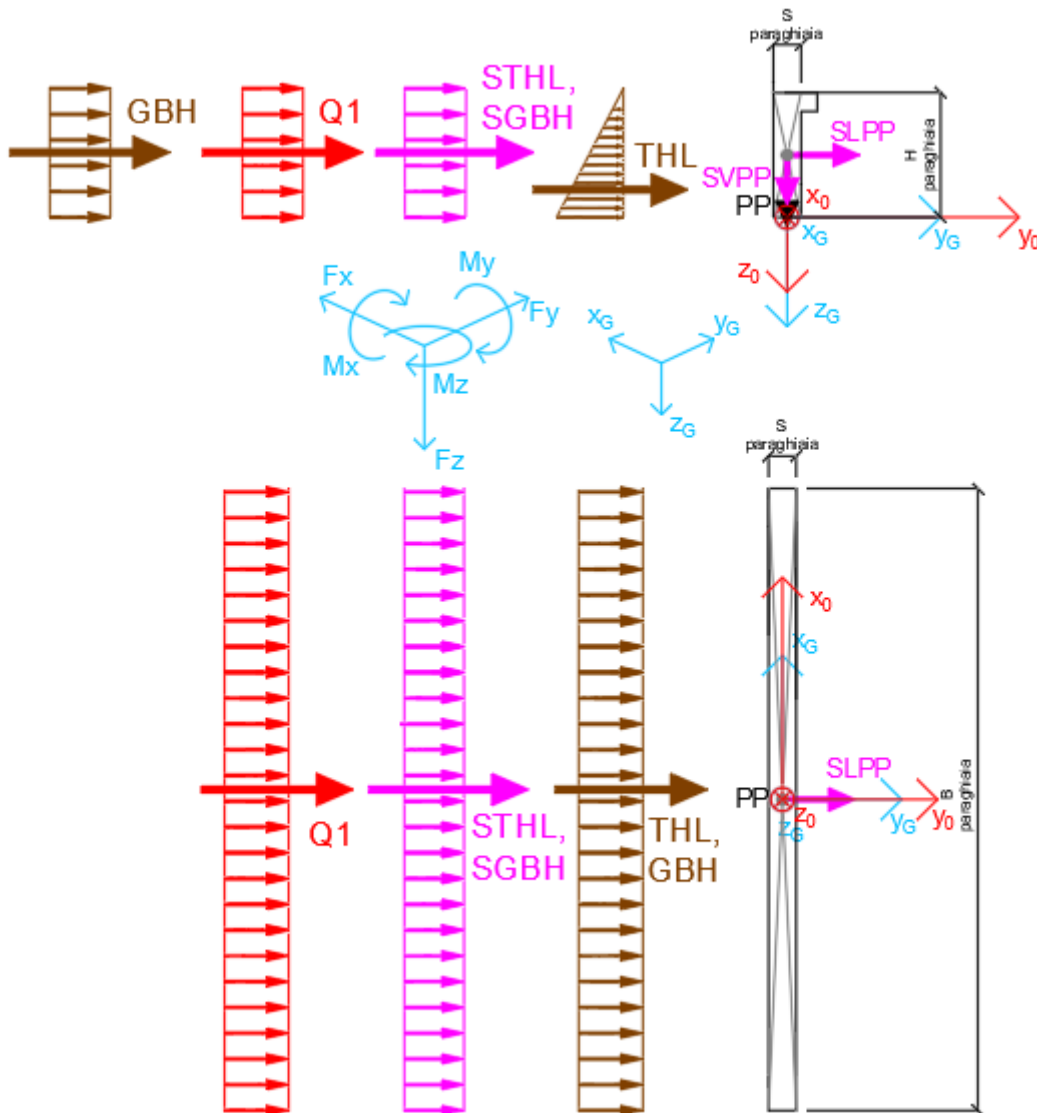


Figura 23 – Schema e sistema di riferimento utilizzato per il calcolo delle azioni applicate

MANDATARIA 		MANDANTI 		LINEA PESCARA – BARI RADDOPPIO DELLA TRATTA FERROVIARIA TERMOLI-LESINA LOTTO 2 e 3 – RADDOPPIO TERMOLI - RIPALTA										
VI15 da km 22+780,80 a km 23+265,80: Relazione di calcolo Spalla S2				COMMESSA	LOTTO	FASE	ENTE	TIPO DOC	OPERA 7 DISCIPLINA			PROGR	REV	FOGLIO
				LI0B	02	E	ZZ	CL	VI	15	04	002	B	116

11.4.1 Analisi statica (SLU, SLE) e sismica (SLV)

Nel seguito vengono riportati i dettagli dei calcoli effettuati per la valutazione delle risultanti delle combinazioni statiche SLU / SLE e sismiche SLV, secondo le combinazioni di carico descritte nei capitoli precedenti.

NOME: MURO PARAGHIAIA				CALCOLO SPETTRO SISMICO DI PROGETTO												
PGA orizzontale a _g (g)	0,242	Coeff. sismico orizz. k _h		0,2814		Coeff. spinta attiva sismica k _{aE}		0,3878								
Coeff. stratigrafico S _s	1,163	Coeff. sismico vert. k _v		0,1407												
NOME: MURO PARAGHIAIA				CALCOLO AZIONI SISMICHE CORPO SPALLA												
		F _{x0} (kN)	F _{y0} (kN)	F _{z0} (kN)	x ₀ (m)	y ₀ (m)	z ₀ (m)	M _{x0} (kNm)	M _{y0} (kNm)	M _{z0} (kNm)	F _{xG} (m)	F _{yG} (m)	F _{zG} (m)	M _{xG} (kNm)	M _{yG} (kNm)	M _{zG} (kNm)
Sisma long	SLPP	0	177	0	0,00	0,00	-1,55	274	0	0	0	177	0	274	0	0
Sisma vert	SVPP	0	0	88	0,00	0,00	-1,55	0	0	0	0	0	88	0	0	0
Sisma ballast long	SGBH	0	83	0	0,00	-0,30	-1,55	129	0	0	0	83	0	129	0	0
Sisma terreno long	SHTL	0	265	0	0,00	-0,30	-1,55	411	0	0	0	265	0	411	0	0

Tabella 45 – Calcolo spettri sismici risposta strutturale e riepilogo azioni elementari sismiche

NOME: MURO PARAGHIAIA				PARAMETRI DI CALCOLO MURO PARAGHIAIA												
H paraghiaia (m)	3,10	Carico perm. Gb ballast (kPa)		9,72		Angolo di attrito terreno (°)		38,00		XG elevazione		0,00				
S paraghiaia (m)	0,60	Carico variab. Q LM71 (kPa)		56,18		Coeff. spinta attiva statica k _a		0,2379		YG elevazione		0,00				
B paraghiaia (m)	13,50	Peso terreno (kN/m ³)		20,00		Coeff. spinta riposo statica k ₀		0,3843		ZG elevazione		0,00				
NOME: MURO PARAGHIAIA				CALCOLO AZIONI CORPO SPALLA												
		F _{x0} (kN)	F _{y0} (kN)	F _{z0} (kN)	x ₀ (m)	y ₀ (m)	z ₀ (m)	M _{x0} (kNm)	M _{y0} (kNm)	M _{z0} (kNm)	F _{xG} (m)	F _{yG} (m)	F _{zG} (m)	M _{xG} (kNm)	M _{yG} (kNm)	M _{zG} (kNm)
Peso proprio	PP	0	0	628	0,00	0,00	-1,55	0	0	0	0	0	628	0	0	0
Ballast	GBH	0	156	0	0,00	-0,30	-1,55	242	0	0	0	156	0	242	0	0
Spinta terreno	THL	0	499	0	0,00	-0,30	-1,03	515	0	0	0	499	0	515	0	0
Sovaccarico long	Q1	0	904	0	0,00	-0,30	-1,55	1401	0	0	0	904	0	1401	0	0

Tabella 46 – Riepilogo azioni elementari statiche

Tipo azione	Descrizione azione	V _{trasv} F _x [kN]	V _{long} F _y [kN]	N _{vert} F _z [kN]	M _{long} M _x [kNm]	M _{trasv} M _y [kNm]	M _{torc} M _z [kNm]
Gk1 Perm. Str.	G1 (peso proprio)	0	0	628	0	0	0
Gk2b Ballast	G2,1 (ballast)	0	156	0	242	0	0
Gk2 Perm. Non Str.	G2,2 (terreno)	0	499	0	515	0	0
Qk1	Q (acc. Traffico)	0	904	0	1401	0	0
E Sisma	Sisma long	0	525	0	814	0	0
	Sisma vert	0	0	88	0	0	0
	-Sisma vert	0	0	-88	0	0	0

Tabella 47 – Risultanti azioni elementari al centro dell'elevazione G (quota estradosso fondazione)

**VI15 da km 22+780,80 a km 23+265,80:
Relazione di calcolo Spalla S2**

COMMESSA	LOTTO	FASE	ENTE	TIPO DOC	OPERA 7 DISCIPLINA			PROGR	REV	FOGLIO
LI0B	02	E	ZZ	CL	VI	15	04	002	B	117

NomeEnv:	TipoComb:	NumComb:	Comb:	Gk1 Perm. Str.-G1 (peso proprio)	Gk2b Ballast-G2,1 (ballast)	Gk2 Perm. Non Str.-G2,2 (terreno)	Qk1-Q (acc. Traffico)	E-Sisma long	E-Sisma vert	E--Sisma vert
SLU	1	1	SLU1	1.35	1.50	1.50	0.00	0.00	0.00	0.00
SLU	2	2	SLU2	1.35	1.50	1.50	1.45	0.00	0.00	0.00
SLU	3	3	SLU3	1.00	1.50	1.50	0.00	0.00	0.00	0.00
SLU	4	4	SLU4	1.00	1.50	1.50	1.45	0.00	0.00	0.00
SLU	5	5	SLU5	1.00	0.00	0.00	1.45	0.00	0.00	0.00
SLV	6	6	SLV1	1.00	1.00	1.00	0.00	1.00	0.30	0.00
SLV	6	7	SLV2	1.00	1.00	1.00	0.00	1.00	0.00	0.30
SLV	6	8	SLV3	1.00	1.00	1.00	0.00	0.30	1.00	0.00
SLV	6	9	SLV4	1.00	1.00	1.00	0.00	0.30	0.00	1.00
SLE RA	7	10	RA1	1.00	1.00	1.00	1.00	0.00	0.00	0.00
SLE RA	8	11	RA2	1.00	1.00	1.00	0.00	0.00	0.00	0.00
SLE QP	8	12	QP1	1.00	1.00	1.00	0.00	0.00	0.00	0.00
SLE QP	9	13	QP2	1.00	0.00	0.00	0.00	0.00	0.00	0.00

Tabella 48 – Combinazioni di carico adottate

LINEA PESCARA – BARI

**RADDOPPIO DELLA TRATTA FERROVIARIA TERMOLI-LESINA
LOTTO 2 e 3 – RADDOPPIO TERMOLI - RIPALTA**

**VI15 da km 22+780,80 a km 23+265,80:
Relazione di calcolo Spalla S2**

COMMESSA	LOTTO	FASE	ENTE	TIPO DOC	OPERA 7 DISCIPLINA			PROGR	REV	FOGLIO
LI0B	02	E	ZZ	CL	VI	15	04	002	B	118

INVILUPPO: SLU		N _{vert}	V _{long}	M _{long}
Tipologia Comb.	Nome Comb.	Fz (kN)	Fy (kN)	Mx (kNm)
N _{vert} Max	SLU2	847	2293	3167
N _{vert} Min	SLU5	628	1310	2031
V _{long} Max	SLU2	847	2293	3167
V _{long} Min	SLU3	628	982	1136
M _{long} Max	SLU2	847	2293	3167
M _{long} Min	SLU3	628	982	1136
INVILUPPO: SLV		N _{vert}	V _{long}	M _{long}
Tipologia Comb.	Nome Comb.	Fz (kN)	Fy (kN)	Mx (kNm)
N _{vert} Max	SLV3	716	812	1002
N _{vert} Min	SLV4	539	812	1002
V _{long} Max	SLV1	654	1180	1571
V _{long} Min	SLV4	539	812	1002
M _{long} Max	SLV1	654	1180	1571
M _{long} Min	SLV4	539	812	1002

Tabella 49 – ENV SLU, SLV - Azioni totali inviluppo

INVILUPPO: SLE RA		N _{vert}	V _{long}	M _{long}
Tipologia Comb.	Nome Comb.	Fz (kN)	Fy (kN)	Mx (kNm)
N _{vert} Max	RA1	628	1559	2158
N _{vert} Min	RA2	628	655	758
V _{long} Max	RA1	628	1559	2158
V _{long} Min	RA2	628	655	758
M _{long} Max	RA1	628	1559	2158
M _{long} Min	RA2	628	655	758
INVILUPPO: SLE QP		N _{vert}	V _{long}	M _{long}
Tipologia Comb.	Nome Comb.	Fz (kN)	Fy (kN)	Mx (kNm)
N _{vert} Max	QP1	628	655	758
N _{vert} Min	QP2	628	0	0
V _{long} Max	QP1	628	655	758
V _{long} Min	QP2	628	0	0
M _{long} Max	QP1	628	655	758
M _{long} Min	QP2	628	0	0

Tabella 50 – ENV SLE RA, SLE QP - Azioni totali inviluppo

VI15 da km 22+780,80 a km 23+265,80:
Relazione di calcolo Spalla S2

COMMESSA	LOTTO	FASE	ENTE	TIPO DOC	OPERA 7 DISCIPLINA			PROGR	REV	FOLGIO
LI0B	02	E	ZZ	CL	VI	15	04	002	B	119

11.5 SOLLECITAZIONI MURO D'ALA

11.5.1 Sezione superiore muro d'ala

In analogia con quanto svolto per gli scarichi di impalcato, sempre mediante foglio di calcolo, si sono valutate le singole azioni caratteristiche permanenti strutturali (G_{k1}), non strutturali (G_{k2}) e accidentali (Q_{ki}) applicate al muro laterale della spalla, secondo le azioni descritte nei capitoli precedenti di analisi dei carichi.

Tutte le azioni elementari caratteristiche sopra descritte, accorpate per gruppi omogenei dello stesso tipo, sono state valutate come forze F_x (trasversali), F_y (longitudinali), F_z (verticali) e momenti M_x (longitudinali), M_y (trasversali), M_z (torcenti) rispetto al punto G posto al baricentro del muro d'ala alla quota del ringrosso della sezione, e i rispettivi assi x, y, z come riportato nella figura seguente.

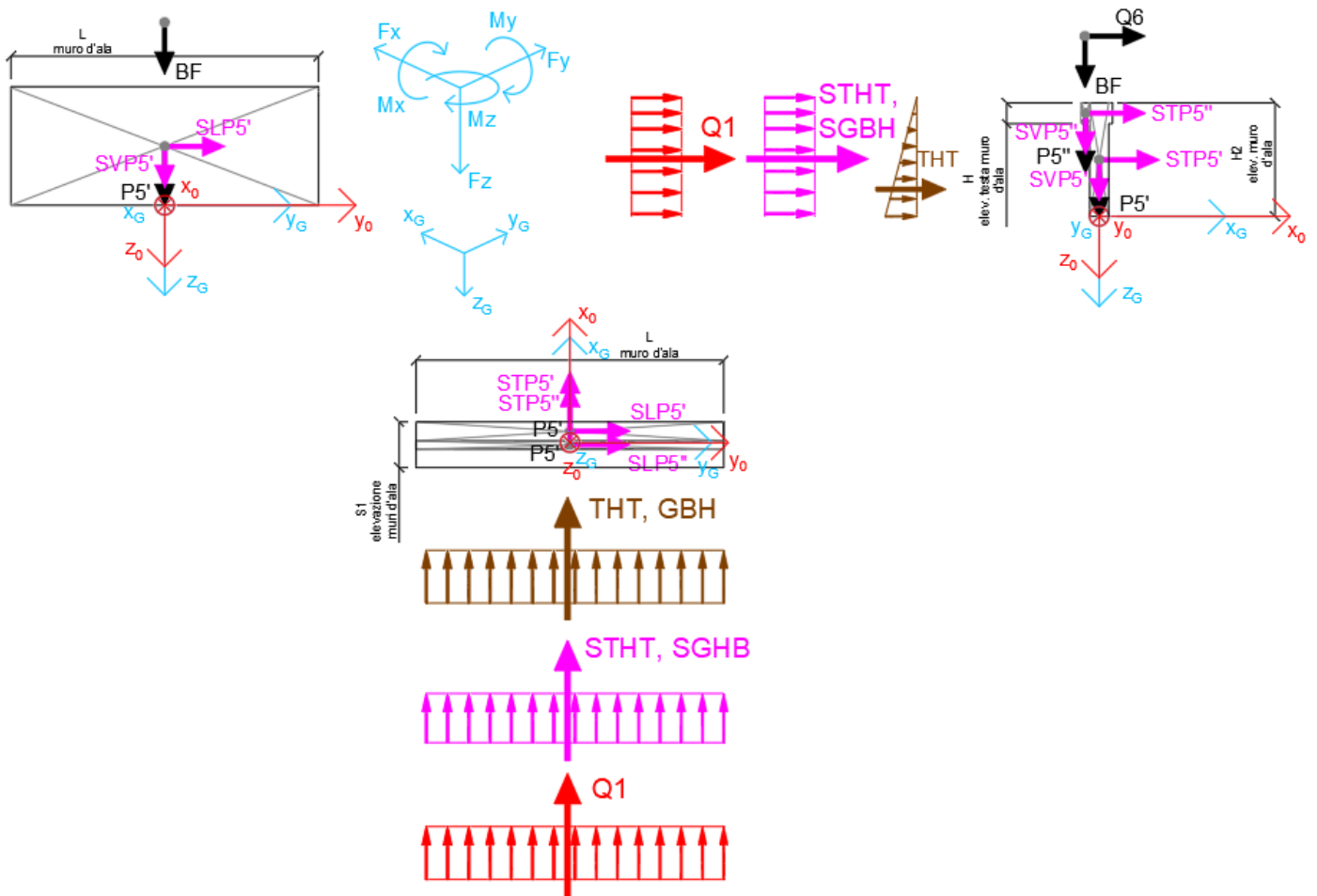


Figura 33 – Schema e sistema di riferimento utilizzato per il calcolo delle azioni applicate

MANDATARIA 		MANDANTI 		LINEA PESCARA – BARI RADDOPPIO DELLA TRATTA FERROVIARIA TERMOLI-LESINA LOTTO 2 e 3 – RADDOPPIO TERMOLI - RIPALTA										
VI15 da km 22+780,80 a km 23+265,80: Relazione di calcolo Spalla S2				COMMESSA	LOTTO	FASE	ENTE	TIPO DOC	OPERA 7 DISCIPLINA			PROGR	REV	FOGLIO
				LI0B	02	E	ZZ	CL	VI	15	04	002	B	120

11.5.1.1 Analisi statica (SLU, SLE) e sismica (SLV)

Nel seguito vengono riportati i dettagli dei calcoli effettuati per la valutazione delle risultanti delle combinazioni statiche SLU / SLE e sismiche SLV, secondo le combinazioni di carico descritte nei capitoli precedenti.

NOME: SEZ. SUP MURO D'ALA SPALLA 2				CALCOLO SPETTRO SISMICO DI PROGETTO															
PGA orizzontale a _g (g)		0,242		Coeff. sismico orizz. k _h				0,2814				Coeff. spinta attiva sismica k _{aE}				0,3878			
Coeff. stratigrafico SS		1,163		Coeff. sismico vert. k _v				0,1407											
NOME: SEZ. SUP MURO D'ALA SPALLA 2				CALCOLO AZIONI SISMICHE CORPO SPALLA															
	F _{x0} (kN)	F _{y0} (kN)	F _{z0} (kN)	x ₀ (m)	y ₀ (m)	z ₀ (m)	M _{x0} (kNm)	M _{y0} (kNm)	M _{z0} (kNm)	F _{xG} (m)	F _{yG} (m)	F _{zG} (m)	M _{xG} (kNm)	M _{yG} (kNm)	M _{zG} (kNm)				
Sisma trasv	STP5'	85	0	0	0,00	0,00	-1,50	0	-128	0									
	STP5"	7	0	0	0,49	0,00	-2,73	0	-19	0									
	STP7	6	0	0	0,00	-5,80	-2,75	0	-17	36									
	STP7'	16	0	0	0,00	-5,22	-1,63	0	-26	84									
	115	0	0				0	-190	119	115	0	0	0	-190	119				
Sisma vert	SVP5'	0	0	43	0,00	0,00	-1,50	0	0	0									
	SVP5"	0	0	3	0,49	0,00	-2,73	0	-2	0									
	SVP7	0	0	3	0,00	-5,80	-2,75	-18	0	0									
	SVP7'	0	0	8	0,00	-5,22	-1,63	-42	0	0									
	0	0	57				-60	-2	0	0	0	57	-60	-2	0				
Sisma ballast trasv	SGBH	48	0	0	-0,25	0,00	-1,50	0	-72	0									
		48	0	0				0	-72	0	48	0	0	0	-72				
Sisma terreno trasv	STHT	149	0	0	-0,25	0,00	-1,00	0	-149	0									
		149	0	0				0	-149	0	149	0	0	0	-149				

Tabella 51 – Calcolo spettri sismici risposta strutturale e riepilogo azioni elementari sismiche

NOME: SEZ. SUP MURO D'ALA SPALLA 2				PARAMETRI DI CALCOLO MURO D'ALA												
S1 elevazione muri d'ala (m)	1,20	L muro d'ala (m)		8,10	S orecchia (m)		3,50	Carico variab. Q LM71 (kPa)				23,15				
S2 elevazione muri d'ala (m)	0,50	S elev. testa muri d'ala (m)		0,22	Peso terreno (kN/m ³)		20,00	Carico ballast (kPa)				9,72				
H1 elev. muro d'ala sx (m)	5,00	H elev. testa muro d'ala (m)		0,55	Coeff. spinta attiva statica k _a		0,2379	X _G muro sx				0,00				
H2 elev. muro d'ala (m)	3,00	H1 orecchia (m)		2,60	Coeff. spinta riposo statica k ₀		0,3843	Y _G muro sx				0,00				
H reinterro muro d'ala sx (m)	8,00	H2 orecchia (m)		0,50					Z _G muro sx				0,00			
NOME: SEZ. SUP MURO D'ALA SPALLA 2				CALCOLO AZIONI CORPO SPALLA												
	F _{x0} (kN)	F _{y0} (kN)	F _{z0} (kN)	x ₀ (m)	y ₀ (m)	z ₀ (m)	M _{x0} (kNm)	M _{y0} (kNm)	M _{z0} (kNm)	F _{xG} (m)	F _{yG} (m)	F _{zG} (m)	M _{xG} (kNm)	M _{yG} (kNm)	M _{zG} (kNm)	
Peso proprio	P5'	0	0	304	0,00	0,00	-1,50	0	0	0						
	P5"	0	0	25	0,49	0,00	-2,73	0	-12	0						
	P7	0	0	22	0,00	-5,80	-2,75	-127	0	0						
	P7'	0	0	57	0,00	-5,22	-1,63	-297	0	0						
	0	0	407				-424	-12	0	0	0	407	-424	-12	0	
Barriera fonoassorbente	BF	0	0	162	-0,35	0,00	-5,50	0	57	0						
		0	0	162				0	57	0	0	0	162	0	57	
Ballast	GBH	91	0	0	-0,25	0,00	-1,50	0	-136	0						
		91	0	0				0	-136	0	91	0	0	0	-136	
Spinta terreno	THT	280	0	0	-0,25	0,00	-1,00	0	-280	0						
		280	0	0				0	-280	0	280	0	0	0	-280	
Sovraccarico traffico	Q1	216	0	0	-0,25	0,00	-1,50	0	-324	0						
		216	0	0				0	-324	0	216	0	0	0	-324	
Vento	Q6	81	0	0	-0,35	0,00	-5,50	0	-443	0						
		81	0	0				0	-443	0	81	0	0	0	-443	

Tabella 52 – Riepilogo azioni elementari statiche

LINEA PESCARA – BARI

**RADDOPPIO DELLA TRATTA FERROVIARIA TERMOLI-LESINA
LOTTO 2 e 3 – RADDOPPIO TERMOLI - RIPALTA**

**VI15 da km 22+780,80 a km 23+265,80:
Relazione di calcolo Spalla S2**

COMMESSA	LOTTO	FASE	ENTE	TIPO DOC	OPERA 7 DISCIPLINA			PROGR	REV	FOGLIO
LI0B	02	E	ZZ	CL	VI	15	04	002	B	121

Tipo azione	Descrizione azione	V _{trasv} F _x [kN]	V _{long} F _y [kN]	N _{vert} F _z [kN]	M _{long} M _x [kNm]	M _{trasv} M _y [kNm]	M _{torc} M _z [kNm]
Gk1 Perm. Str.	G1 (peso proprio)	0	0	407	-424	-12	0
Gk2b Ballast	G2,1 (ballast)	91	0	0	0	-136	0
Gk2 Perm. Non Str.	G2,2 (barriera)	0	0	162	0	57	0
Gk2 Perm. Non Str. altri	G2,3 (terreno)	280	0	0	0	-280	0
Qk1	Q (acc. Traffico)	216	0	0	0	-324	0
Qk6 Vento	Vento MAX	81	0	0	0	-443	0
	Vento MIN	-81	0	0	0	443	0
E Sisma	Sisma trasv	312	0	0	0	-412	119
	-Sisma trasv	-312	0	0	0	412	-119
	Sisma vert	0	0	57	-60	-2	0
	-Sisma vert	0	0	-57	60	2	0

Tabella 53 – Risultanti azioni elementari al centro del muro d'ala G (quota ringrosso sezione)

NomeEnv:	TipoComb:	NumComb:	Comb:	Gk1 Perm. Str.-G1 (peso proprio)	Gk2b Ballast-G2,1 (ballast)	Gk2 Perm. Non Str.-G2,2 (barriera)	Gk2 Perm. Non Str.-G2,3 (terreno)	Qk1-Q (acc. Traffico)	Qk6-Vento MAX	Qk6-Vento MIN	E-Sisma trasv	E-Sisma trasv	E-Sisma vert	E-Sisma vert
SLU	1	1	SLU1	1,35	1,50	1,50	1,50	0,00	0,00	0,00	0,00	0,00	0,00	0,00
SLU	2	2	SLU2	1,35	1,50	1,50	1,50	1,45	0,90	0,00	0,00	0,00	0,00	0,00
SLU	2	3	SLU3	1,35	1,50	1,50	1,50	1,45	0,00	0,90	0,00	0,00	0,00	0,00
SLU	3	4	SLU4	1,35	1,50	1,50	1,50	0,00	1,50	0,00	0,00	0,00	0,00	0,00
SLU	4	5	SLU5	1,35	1,50	1,50	1,50	1,45	0,00	0,00	0,00	0,00	0,00	0,00
SLV	5	6	SLV1	1,00	1,00	1,00	1,00	0,00	0,50	0,00	1,00	0,00	0,30	0,00
SLV	5	7	SLV2	1,00	1,00	1,00	1,00	0,00	0,00	0,50	1,00	0,00	0,30	0,00
SLV	5	8	SLV3	1,00	1,00	1,00	1,00	0,00	0,50	0,00	1,00	0,00	0,00	0,30
SLV	5	9	SLV4	1,00	1,00	1,00	1,00	0,00	0,00	0,50	1,00	0,00	0,00	0,30
SLV	5	10	SLV5	1,00	1,00	1,00	1,00	0,00	0,50	0,00	0,30	0,00	1,00	0,00
SLV	5	11	SLV6	1,00	1,00	1,00	1,00	0,00	0,00	0,50	0,30	0,00	1,00	0,00
SLV	5	12	SLV7	1,00	1,00	1,00	1,00	0,00	0,50	0,00	0,30	0,00	0,00	1,00
SLV	5	13	SLV8	1,00	1,00	1,00	1,00	0,00	0,00	0,50	0,30	0,00	0,00	1,00
SLV	5	14	SLV9	1,00	1,00	1,00	1,00	0,00	0,50	0,00	0,00	1,00	0,30	0,00
SLV	5	15	SLV10	1,00	1,00	1,00	1,00	0,00	0,00	0,50	0,00	1,00	0,30	0,00
SLV	5	16	SLV11	1,00	1,00	1,00	1,00	0,00	0,50	0,00	0,00	1,00	0,00	0,30
SLV	5	17	SLV12	1,00	1,00	1,00	1,00	0,00	0,00	0,50	0,00	1,00	0,00	0,30
SLV	5	18	SLV13	1,00	1,00	1,00	1,00	0,00	0,50	0,00	0,00	0,30	1,00	0,00
SLV	5	19	SLV14	1,00	1,00	1,00	1,00	0,00	0,00	0,50	0,00	0,30	1,00	0,00
SLV	5	20	SLV15	1,00	1,00	1,00	1,00	0,00	0,50	0,00	0,00	0,30	0,00	1,00
SLV	5	21	SLV16	1,00	1,00	1,00	1,00	0,00	0,00	0,50	0,00	0,30	0,00	1,00
SLE RA	6	22	RA1	1,00	1,00	1,00	1,00	1,00	0,60	0,00	0,00	0,00	0,00	0,00
SLE RA	6	23	RA2	1,00	1,00	1,00	1,00	1,00	0,00	0,60	0,00	0,00	0,00	0,00
SLE RA	7	24	RA3	1,00	1,00	1,00	1,00	0,80	1,00	0,00	0,00	0,00	0,00	0,00
SLE RA	7	25	RA4	1,00	1,00	1,00	1,00	0,80	0,00	1,00	0,00	0,00	0,00	0,00
SLE QP	8	26	QP1	1,00	1,00	1,00	1,00	0,00	0,00	0,00	0,00	0,00	0,00	0,00
SLE QP	9	27	QP2	1,00	1,00	1,00	1,00	0,00	0,50	0,00	0,00	0,00	0,00	0,00
SLE QP	9	28	QP3	1,00	1,00	1,00	1,00	0,00	0,00	0,50	0,00	0,00	0,00	0,00

Tabella 54 – Combinazioni di carico adottate

LINEA PESCARA – BARI

**RADDOPPIO DELLA TRATTA FERROVIARIA TERMOLI-LESINA
LOTTO 2 e 3 – RADDOPPIO TERMOLI - RIPALTA**

**VI15 da km 22+780,80 a km 23+265,80:
Relazione di calcolo Spalla S2**

COMMESSA	LOTTO	FASE	ENTE	TIPO DOC	OPERA 7 DISCIPLINA			PROGR	REV	FOGLIO
LI0B	02	E	ZZ	CL	VI	15	04	002	B	122

INVILUPPO: SLU		N _{vert}	V _{trasv}	M _{trasv}
Tipologia Comb.	Nome Comb.	Fz (kN)	Fx (kN)	My (kNm)
N _{vert} Max	SLU3	792	797	-627
N _{vert} Min	SLU5	792	870	-1026
V _{trasv} Max	SLU2	792	942	-1425
V _{trasv} Min	SLU4	792	677	-1221
M _{trasv} Max	SLU5	792	797	-627
M _{trasv} Min	SLU4	792	942	-1425
INVILUPPO: SLV		N _{vert}	V _{trasv}	M _{trasv}
Tipologia Comb.	Nome Comb.	Fz (kN)	Fx (kN)	My (kNm)
N _{vert} Max	SLV14	626	237	-28
N _{vert} Min	SLV15	512	318	-468
V _{trasv} Max	SLV3	552	723	-1004
V _{trasv} Min	SLV10	586	19	261
M _{trasv} Max	SLV12	552	19	262
M _{trasv} Min	SLV1	586	723	-1005

Tabella 55 – ENV SLU, SLV - Azioni totali involuppo

INVILUPPO: SLE RA		N _{vert}	V _{trasv}	M _{trasv}
Tipologia Comb.	Nome Comb.	Fz (kN)	Fx (kN)	My (kNm)
N _{vert} Max	RA4	569	463	-188
N _{vert} Min	RA3	569	624	-1074
V _{trasv} Max	RA1	569	635	-962
V _{trasv} Min	RA4	569	463	-188
M _{trasv} Max	RA4	569	463	-188
M _{trasv} Min	RA3	569	624	-1074
INVILUPPO: SLE QP		N _{vert}	V _{trasv}	M _{trasv}
Tipologia Comb.	Nome Comb.	Fz (kN)	Fx (kN)	My (kNm)
N _{vert} Max	QP3	569	331	-150
N _{vert} Min	QP2	569	411	-593
V _{trasv} Max	QP2	569	411	-593
V _{trasv} Min	QP3	569	331	-150
M _{trasv} Max	QP3	569	331	-150
M _{trasv} Min	QP2	569	411	-593

Tabella 56 – ENV SLE RA, SLE QP - Azioni totali involuppo

VI15 da km 22+780,80 a km 23+265,80:
Relazione di calcolo Spalla S2

COMMESSA	LOTTO	FASE	ENTE	TIPO DOC	OPERA 7 DISCIPLINA			PROGR	REV	FOLGIO
LI0B	02	E	ZZ	CL	VI	15	04	002	B	123

11.5.2 Sezione base muro d'ala

In analogia con quanto svolto per gli scarichi di impalcato, sempre mediante foglio di calcolo, si sono valutate le singole azioni caratteristiche permanenti strutturali (G_{k1}), non strutturali (G_{k2}) e accidentali (Q_{ki}) applicate al muro laterale della spalla, secondo le azioni descritte nei capitoli precedenti di analisi dei carichi.

Tutte le azioni elementari caratteristiche sopra descritte, accorpate per gruppi omogenei dello stesso tipo, sono state valutate come forze F_x (trasversali), F_y (longitudinali), F_z (verticali) e momenti M_x (longitudinali), M_y (trasversali), M_z (torcenti) rispetto al punto G posto al baricentro del muro d'ala a quota estradosso plinto., e i rispettivi assi x, y, z come riportato nella figura seguente.

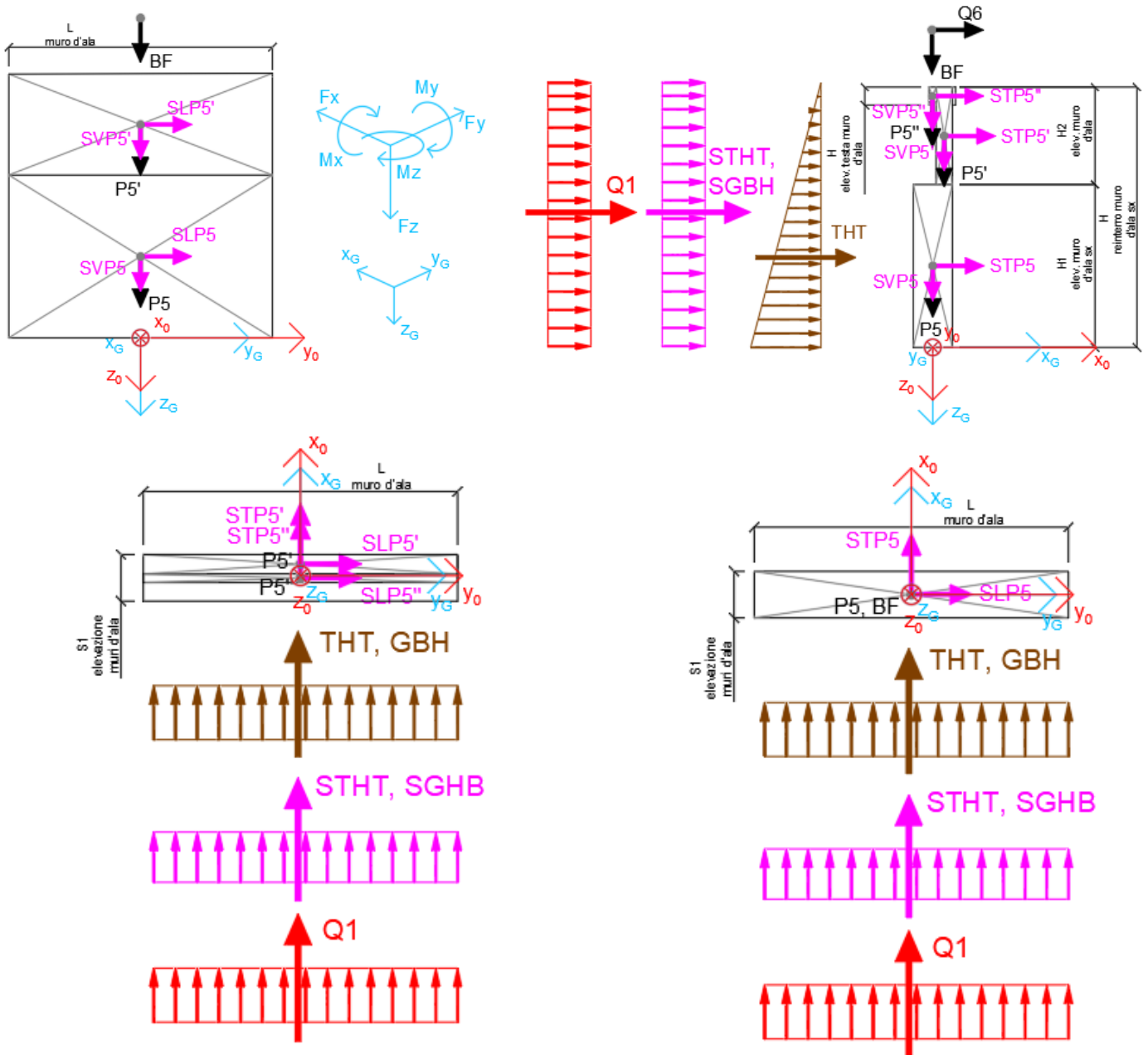


Figura 34 – Schema e sistema di riferimento utilizzato per il calcolo delle azioni applicate

MANDATARIA  CONSORZIO STABILE SOCIETÀ CONSORTILE A R.L.	MANDANTI 	LINEA PESCARA – BARI RADDOPPIO DELLA TRATTA FERROVIARIA TERMOLI-LESINA LOTTO 2 e 3 – RADDOPPIO TERMOLI - RIPALTA										
		VI15 da km 22+780,80 a km 23+265,80: Relazione di calcolo Spalla S2	COMMESSA	LOTTO	FASE	ENTE	TIPO DOC	OPERA 7 DISCIPLINA			PROGR	REV
		LI0B	02	E	ZZ	CL	VI	15	04	002	B	124

11.5.2.1 Analisi statica (SLU, SLE) e sismica (SLV)

Nel seguito vengono riportati i dettagli dei calcoli effettuati per la valutazione delle risultanti delle combinazioni statiche SLU / SLE e sismiche SLV, secondo le combinazioni di carico descritte nei capitoli precedenti.

NOME: SEZ. BASE MURO D'ALA SPALLA 2				CALCOLO SPETTRO SISMICO DI PROGETTO											
PGA orizzontale a _g (g)	0,242			Coeff. sismico orizz. k _h	0,2814			Coeff. spinta attiva sismica k _{hE}					0,3878		
Coeff. stratigrafico SS	1,163			Coeff. sismico vert. k _v	0,1407										
NOME: SEZ. BASE MURO D'ALA SPALLA 2				CALCOLO AZIONI SISMICHE CORPO SPALLA											
	F _{x0} (kN)	F _{y0} (kN)	F _{z0} (kN)	x ₀ (m)	y ₀ (m)	z ₀ (m)	M _{x0} (kNm)	M _{y0} (kNm)	M _{z0} (kNm)	F _{xG} (m)	F _{yG} (m)	F _{zG} (m)	M _{xG} (kNm)	M _{yG} (kNm)	M _{zG} (kNm)
Sisma trasv	STP5	342	0	0	0,00	0,00	-2,50	0	-855	0					
	STP5'	85	0	0	0,35	0,00	-6,50	0	-556	0					
	STP5''	7	0	0	-0,01	0,00	-7,73	0	-53	0					
	STP7	6	0	0	0,35	-5,80	-7,75	0	-48	36					
	STP7'	16	0	0	0,35	-5,22	-6,63	0	-106	84					
		457	0	0				0	-1618	119	457	0	0	0	-1618
Sisma vert	SVP5	0	0	171	0,00	0,00	-2,50	0	0	0					
	SVP5'	0	0	43	0,35	0,00	-6,50	0	-15	0					
	SVP5''	0	0	3	-0,01	0,00	-7,73	0	0	0					
	SVP7	0	0	3	0,35	-5,80	-7,75	-18	-1	0					
	SVP7'	0	0	8	0,35	-5,22	-6,63	-42	-3	0					
		0	0	228				-60	-19	0	0	0	228	-60	-19
Sisma ballast trasv	SGBH	129	0	0	-0,60	0,00	-4,00	0	-515	0	129	0	0	0	-515
Sisma terreno trasv	STHT	1060	0	0	-0,60	0,00	-2,67	0	-2827	0	1060	0	0	0	-2827
		1060	0	0				0	-2827	0	1060	0	0	0	-2827

Tabella 57 – Calcolo spettri sismici risposta strutturale e riepilogo azioni elementari sismiche

NOME: SEZ. BASE MURO D'ALA SPALLA 2				PARAMETRI DI CALCOLO MURO D'ALA											
S1 elevazione muri d'ala (m)	1,20	L muro d'ala (m)		8,10	S orecchia (m)		3,50	Carico variab. Q LM71 (kPa)					23,15		
S2 elevazione muri d'ala (m)	0,50	S elev. testa muri d'ala (m)		0,22	Peso terreno (kN/m ²)		20,00	Carico ballast (kPa)					9,72		
H1 elev. muro d'ala sx (m)	5,00	H elev. testa muro d'ala (m)		0,55	Coeff. spinta attiva statica k _a		0,2379	X _G muro sx					0,00		
H2 elev. muro d'ala (m)	3,00	H1 orecchia (m)		2,60	Coeff. spinta riposo statica k ₀		0,3843	Y _G muro sx					0,00		
H reinterro muro d'ala sx (m)	8,00	H2 orecchia (m)		0,50				Z _G muro sx					0,00		
NOME: SEZ. BASE MURO D'ALA SPALLA 2				CALCOLO AZIONI CORPO SPALLA											
	F _{x0} (kN)	F _{y0} (kN)	F _{z0} (kN)	x ₀ (m)	y ₀ (m)	z ₀ (m)	M _{x0} (kNm)	M _{y0} (kNm)	M _{z0} (kNm)	F _{xG} (m)	F _{yG} (m)	F _{zG} (m)	M _{xG} (kNm)	M _{yG} (kNm)	M _{zG} (kNm)
Peso proprio	P5	0	0	1215	0,00	0,00	-2,50	0	0	0					
	P5'	0	0	304	0,35	0,00	-6,50	0	-106	0					
	P5''	0	0	25	-0,01	0,00	-7,73	0	0	0					
	P7	0	0	22	0,35	-5,80	-7,75	-127	-8	0					
	P7'	0	0	57	0,35	-5,22	-6,63	-297	-20	0					
		0	0	1622				-424	-134	0	0	0	1622	-424	-134
Barriera fonoassorbente	BF	0	0	162	0,00	0,00	-10,50	0	0	0	0	0	162	0	0
Ballast	GBH	242	0	0	-0,60	0,00	-4,00	0	-968	0	242	0	0	0	-968
Spinta terreno	THT	1992	0	0	-0,60	0,00	-2,67	0	-5313	0	1992	0	0	0	-5313
		1992	0	0				0	-5313	0	1992	0	0	0	-5313
Sovraccarico traffico	Q1	577	0	0	-0,60	0,00	-4,00	0	-2306	0	577	0	0	0	-2306
		577	0	0				0	-2306	0	577	0	0	0	-2306
Vento	Q6	81	0	0	0,00	0,00	-10,50	0	-846	0	81	0	0	0	-846
		81	0	0				0	-846	0	81	0	0	0	-846

Tabella 58 – Riepilogo azioni elementari statiche

LINEA PESCARA – BARI

**RADDOPPIO DELLA TRATTA FERROVIARIA TERMOLI-LESINA
LOTTO 2 e 3 – RADDOPPIO TERMOLI - RIPALTA**

**VI15 da km 22+780,80 a km 23+265,80:
Relazione di calcolo Spalla S2**

COMMESSA	LOTTO	FASE	ENTE	TIPO DOC	OPERA 7 DISCIPLINA			PROGR	REV	FOGLIO
LI0B	02	E	ZZ	CL	VI	15	04	002	B	125

Tipo azione	Descrizione azione	V _{trav} F _x [kN]	V _{long} F _y [kN]	N _{vert} F _z [kN]	M _{long} M _x [kNm]	M _{trav} M _y [kNm]	M _{torc} M _z [kNm]
Gk1 Perm. Str.	G1 (peso proprio)	0	0	1622	-424	-134	0
Gk2b Ballast	G2,1 (ballast)	242	0	0	0	-968	0
Gk2 Perm. Non Str.	G2,2 (barriera)	0	0	162	0	0	0
Gk2 Perm. Non Str. altri	G2,3 (terreno)	1992	0	0	0	-5313	0
Qk1	Q (acc. Traffico)	577	0	0	0	-2306	0
Qk6 Vento	Vento MAX	81	0	0	0	-846	0
	Vento MIN	-81	0	0	0	846	0
E Sisma	Sisma trasv	1645	0	0	0	-4959	119
	-Sisma trasv	-1645	0	0	0	4959	-119
	Sisma vert	0	0	228	-60	-19	0
	-Sisma vert	0	0	-228	60	19	0

Tabella 59 – Risultanti azioni elementari al centro del muro d'ala G (quota estradosso fondazione)

NomeEnv:	TipoComb:	NumComb:	Comb:	Gk1 Perm. Str.-G1 (peso proprio)	Gk2b Ballast-G2,1 (ballast)	Gk2 Perm. Non Str.-G2,2 (barriera)	Gk2 Perm. Non Str. altri-G2,3 (terreno)	Qk1-Q (acc. Traffico)	Qk6-Vento MAX	Qk6-Vento MIN	E-Sisma trasv	E-Sisma trasv	E-Sisma vert	E-Sisma vert
SLU	1	1	SLU1	1,35	1,50	1,50	1,50	0,00	0,00	0,00	0,00	0,00	0,00	0,00
SLU	2	2	SLU2	1,35	1,50	1,50	1,50	1,45	0,90	0,00	0,00	0,00	0,00	0,00
SLU	2	3	SLU3	1,35	1,50	1,50	1,50	1,45	0,00	0,90	0,00	0,00	0,00	0,00
SLU	3	4	SLU4	1,35	1,50	1,50	1,50	0,00	1,50	0,00	0,00	0,00	0,00	0,00
SLU	4	5	SLU5	1,35	1,50	1,50	1,50	1,45	0,00	0,00	0,00	0,00	0,00	0,00
SLV	5	6	SLV1	1,00	1,00	1,00	1,00	0,00	0,50	0,00	1,00	0,00	0,30	0,00
SLV	5	7	SLV2	1,00	1,00	1,00	1,00	0,00	0,00	0,50	1,00	0,00	0,30	0,00
SLV	5	8	SLV3	1,00	1,00	1,00	1,00	0,00	0,50	0,00	1,00	0,00	0,00	0,30
SLV	5	9	SLV4	1,00	1,00	1,00	1,00	0,00	0,00	0,50	1,00	0,00	0,00	0,30
SLV	5	10	SLV5	1,00	1,00	1,00	1,00	0,00	0,50	0,00	0,30	0,00	1,00	0,00
SLV	5	11	SLV6	1,00	1,00	1,00	1,00	0,00	0,00	0,50	0,30	0,00	1,00	0,00
SLV	5	12	SLV7	1,00	1,00	1,00	1,00	0,00	0,50	0,00	0,30	0,00	0,00	1,00
SLV	5	13	SLV8	1,00	1,00	1,00	1,00	0,00	0,00	0,50	0,30	0,00	0,00	1,00
SLV	5	14	SLV9	1,00	1,00	1,00	1,00	0,00	0,50	0,00	0,00	1,00	0,30	0,00
SLV	5	15	SLV10	1,00	1,00	1,00	1,00	0,00	0,00	0,50	0,00	1,00	0,30	0,00
SLV	5	16	SLV11	1,00	1,00	1,00	1,00	0,00	0,50	0,00	0,00	1,00	0,00	0,30
SLV	5	17	SLV12	1,00	1,00	1,00	1,00	0,00	0,00	0,50	0,00	1,00	0,00	0,30
SLV	5	18	SLV13	1,00	1,00	1,00	1,00	0,00	0,50	0,00	0,00	0,30	1,00	0,00
SLV	5	19	SLV14	1,00	1,00	1,00	1,00	0,00	0,00	0,50	0,00	0,30	1,00	0,00
SLV	5	20	SLV15	1,00	1,00	1,00	1,00	0,00	0,50	0,00	0,00	0,30	0,00	1,00
SLV	5	21	SLV16	1,00	1,00	1,00	1,00	0,00	0,00	0,50	0,00	0,30	0,00	1,00
SLE RA	6	22	RA1	1,00	1,00	1,00	1,00	1,00	0,60	0,00	0,00	0,00	0,00	0,00
SLE RA	6	23	RA2	1,00	1,00	1,00	1,00	1,00	0,00	0,60	0,00	0,00	0,00	0,00
SLE RA	7	24	RA3	1,00	1,00	1,00	1,00	0,80	1,00	0,00	0,00	0,00	0,00	0,00
SLE RA	7	25	RA4	1,00	1,00	1,00	1,00	0,80	0,00	1,00	0,00	0,00	0,00	0,00
SLE QP	8	26	QP1	1,00	1,00	1,00	1,00	0,00	0,00	0,00	0,00	0,00	0,00	0,00
SLE QP	9	27	QP2	1,00	1,00	1,00	1,00	0,00	0,50	0,00	0,00	0,00	0,00	0,00
SLE QP	9	28	QP3	1,00	1,00	1,00	1,00	0,00	0,00	0,50	0,00	0,00	0,00	0,00

Tabella 60 – Combinazioni di carico adottate

LINEA PESCARA – BARI

**RADDOPPIO DELLA TRATTA FERROVIARIA TERMOLI-LESINA
LOTTO 2 e 3 – RADDOPPIO TERMOLI - RIPALTA**

**VI15 da km 22+780,80 a km 23+265,80:
Relazione di calcolo Spalla S2**

COMMESSA	LOTTO	FASE	ENTE	TIPO DOC	OPERA 7 DISCIPLINA			PROGR	REV	FOGLIO
LI0B	02	E	ZZ	CL	VI	15	04	002	B	126

INVILUPPO: SLU		N _{vert}	V _{trasv}	M _{trasv}
Tipologia Comb.	Nome Comb.	Fz (kN)	Fx (kN)	My (kNm)
N _{vert} Max	SLU4	2433	3473	-10872
N _{vert} Min	SLU5	2433	4188	-12946
V _{trasv} Max	SLU2	2433	4260	-13708
V _{trasv} Min	SLU4	2433	3473	-10872
M _{trasv} Max	SLU5	2433	3473	-10872
M _{trasv} Min	SLU5	2433	4260	-13708
INVILUPPO: SLV		N _{vert}	V _{trasv}	M _{trasv}
Tipologia Comb.	Nome Comb.	Fz (kN)	Fx (kN)	My (kNm)
N _{vert} Max	SLV14	2012	1701	-4523
N _{vert} Min	SLV15	1556	1781	-5331
V _{trasv} Max	SLV3	1716	3920	-11792
V _{trasv} Min	SLV10	1852	549	-1038
M _{trasv} Max	SLV12	1716	549	-1027
M _{trasv} Min	SLV1	1852	3920	-11803

Tabella 61 – ENV SLU, SLV - Azioni totali involuppo

INVILUPPO: SLE RA		N _{vert}	V _{trasv}	M _{trasv}
Tipologia Comb.	Nome Comb.	Fz (kN)	Fx (kN)	My (kNm)
N _{vert} Max	RA4	1784	2615	-7413
N _{vert} Min	RA3	1784	2776	-9106
V _{trasv} Max	RA1	1784	2859	-9229
V _{trasv} Min	RA4	1784	2615	-7413
M _{trasv} Max	RA4	1784	2615	-7413
M _{trasv} Min	RA1	1784	2859	-9229
INVILUPPO: SLE QP		N _{vert}	V _{trasv}	M _{trasv}
Tipologia Comb.	Nome Comb.	Fz (kN)	Fx (kN)	My (kNm)
N _{vert} Max	QP3	1784	2194	-5992
N _{vert} Min	QP2	1784	2275	-6838
V _{trasv} Max	QP2	1784	2275	-6838
V _{trasv} Min	QP3	1784	2194	-5992
M _{trasv} Max	QP3	1784	2194	-5992
M _{trasv} Min	QP2	1784	2275	-6838

Tabella 62 – ENV SLE RA, SLE QP - Azioni totali involuppo

MANDATARIA HUB ENGINEERING <small>CONSORZIO STABILE SOCIETÀ CONSORTILE A R.L.</small>		MANDANTI HYpro S.P.A.		LINEA PESCARA – BARI RADDOPPIO DELLA TRATTA FERROVIARIA TERMOLI-LESINA LOTTO 2 e 3 – RADDOPPIO TERMOLI - RIPALTA										
VI15 da km 22+780,80 a km 23+265,80: Relazione di calcolo Spalla S2				COMMESSA	LOTTO	FASE	ENTE	TIPO DOC	OPERA 7 DISCIPLINA			PROGR	REV	FOGLIO
				LI0B	02	E	ZZ	CL	VI	15	04	002	B	127

11.6 VERIFICHE MURO FRONTALE

Nel seguente paragrafo vengono riportate le sollecitazioni a quota estradosso plinto di fondazione per le combinazioni di carico allo SLU e le relative verifiche di resistenza a pressoflessione e taglio.

11.6.1 Verifica a pressoflessione SLU, SLV, SLE

La sezione è armata con un quantitativo di armatura longitudinale nel lato teso di $\Phi 26/20$ e nel lato compresso di $\Phi 20/20$ come rappresentato nella figura seguente per un totale di 156 ferri. I domini di resistenza M-N e i coefficienti di sicurezza a pressoflessione sono ottenuti attraverso il software SAX 10.0 distribuito da Aztec.

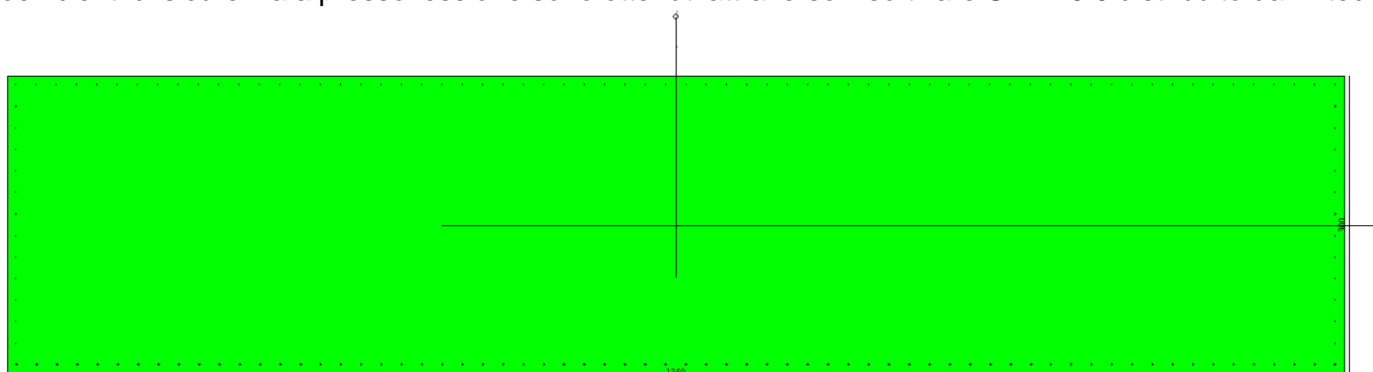


Figura 35 – Sezione trasversale spalla 2 e relativa armatura

Dati

Nome sezione: SEZIONE SPALLA S2

Tipo sezione: Rettangolare
 Base: 1350,0 [cm]
 Altezza: 300,0 [cm]

Caratteristiche geometriche

Area sezione: 405000,00 [cmq]
 Inerzia in direzione X: 61509375000,0 [cm⁴]
 Inerzia in direzione Y: 3037500000,0 [cm⁴]
 Inerzia in direzione XY: 0,0 [cm⁴]
 Ascissa baricentro sezione: $X_G = 675,00$ [cm]
 Ordinata baricentro sezione: $Y_G = 150,00$ [cm]

Elenco ferri

Simbologia adottata

Posizione riferita all'origine
 N°: numero d'ordine
 X: Ascissa posizione ferro espresso in [cm]
 Y: Ordinata posizione ferro espresso in [cm]
 d: Diametro ferro espresso in [mm]
 ω : Area del ferro espresso in [cmq]

N°	X	Y	d	ω
1	1341,00	291,00	20	3,14

LINEA PESCARA – BARI

**RADDOPPIO DELLA TRATTA FERROVIARIA TERMOLI-LESINA
LOTTO 2 e 3 – RADDOPPIO TERMOLI - RIPALTA**

VI15 da km 22+780,80 a km 23+265,80: Relazione di calcolo Spalla S2	COMMESSA	LOTTO	FASE	ENTE	TIPO DOC	OPERA 7 DISCIPLINA			PROGR	REV	FOGLIO
	LI0B	02	E	ZZ	CL	VI	15	04	002	B	128

2	1320,51	291,00	20	3,14
3	1300,02	291,00	20	3,14
4	1279,52	291,00	20	3,14
5	1259,03	291,00	20	3,14
6	1238,54	291,00	20	3,14
7	1218,05	291,00	20	3,14
8	1197,55	291,00	20	3,14
9	1177,06	291,00	20	3,14
10	1156,57	291,00	20	3,14
11	1136,08	291,00	20	3,14
12	1115,58	291,00	20	3,14
13	1095,09	291,00	20	3,14
14	1074,60	291,00	20	3,14
15	1054,11	291,00	20	3,14
16	1033,62	291,00	20	3,14
17	1013,12	291,00	20	3,14
18	992,63	291,00	20	3,14
19	972,14	291,00	20	3,14
20	951,65	291,00	20	3,14
21	931,15	291,00	20	3,14
22	910,66	291,00	20	3,14
23	890,17	291,00	20	3,14
24	869,68	291,00	20	3,14
25	849,18	291,00	20	3,14
26	828,69	291,00	20	3,14
27	808,20	291,00	20	3,14
28	787,71	291,00	20	3,14
29	767,22	291,00	20	3,14
30	746,72	291,00	20	3,14
31	726,23	291,00	20	3,14
32	705,74	291,00	20	3,14
33	685,25	291,00	20	3,14
34	664,75	291,00	20	3,14
35	644,26	291,00	20	3,14
36	623,77	291,00	20	3,14
37	603,28	291,00	20	3,14
38	582,78	291,00	20	3,14
39	562,29	291,00	20	3,14
40	541,80	291,00	20	3,14
41	521,31	291,00	20	3,14
42	500,82	291,00	20	3,14
43	480,32	291,00	20	3,14
44	459,83	291,00	20	3,14
45	439,34	291,00	20	3,14
46	418,85	291,00	20	3,14
47	398,35	291,00	20	3,14
48	377,86	291,00	20	3,14
49	357,37	291,00	20	3,14
50	336,88	291,00	20	3,14
51	316,38	291,00	20	3,14
52	295,89	291,00	20	3,14
53	275,40	291,00	20	3,14
54	254,91	291,00	20	3,14
55	234,42	291,00	20	3,14
56	213,92	291,00	20	3,14
57	193,43	291,00	20	3,14
58	172,94	291,00	20	3,14
59	152,45	291,00	20	3,14
60	131,95	291,00	20	3,14
61	111,46	291,00	20	3,14

LINEA PESCARA – BARI

**RADDOPPIO DELLA TRATTA FERROVIARIA TERMOLI-LESINA
LOTTO 2 e 3 – RADDOPPIO TERMOLI - RIPALTA**

**VI15 da km 22+780,80 a km 23+265,80:
Relazione di calcolo Spalla S2**

COMMESSA	LOTTO	FASE	ENTE	TIPO DOC	OPERA 7 DISCIPLINA			PROGR	REV	FOGLIO
LI0B	02	E	ZZ	CL	VI	15	04	002	B	129

62	90,97	291,00	20	3,14
63	70,48	291,00	20	3,14
64	49,98	291,00	20	3,14
65	29,49	291,00	20	3,14
66	9,00	291,00	20	3,14
67	9,30	9,30	26	5,31
68	29,78	9,30	26	5,31
69	50,27	9,30	26	5,31
70	70,75	9,30	26	5,31
71	91,23	9,30	26	5,31
72	111,72	9,30	26	5,31
73	132,20	9,30	26	5,31
74	152,68	9,30	26	5,31
75	173,16	9,30	26	5,31
76	193,65	9,30	26	5,31
77	214,13	9,30	26	5,31
78	234,61	9,30	26	5,31
79	255,10	9,30	26	5,31
80	275,58	9,30	26	5,31
81	296,06	9,30	26	5,31
82	316,55	9,30	26	5,31
83	337,03	9,30	26	5,31
84	357,51	9,30	26	5,31
85	378,00	9,30	26	5,31
86	398,48	9,30	26	5,31
87	418,96	9,30	26	5,31
88	439,44	9,30	26	5,31
89	459,93	9,30	26	5,31
90	480,41	9,30	26	5,31
91	500,89	9,30	26	5,31
92	521,38	9,30	26	5,31
93	541,86	9,30	26	5,31
94	562,34	9,30	26	5,31
95	582,83	9,30	26	5,31
96	603,31	9,30	26	5,31
97	623,79	9,30	26	5,31
98	644,28	9,30	26	5,31
99	664,76	9,30	26	5,31
100	685,24	9,30	26	5,31
101	705,72	9,30	26	5,31
102	726,21	9,30	26	5,31
103	746,69	9,30	26	5,31
104	767,17	9,30	26	5,31
105	787,66	9,30	26	5,31
106	808,14	9,30	26	5,31
107	828,62	9,30	26	5,31
108	849,11	9,30	26	5,31
109	869,59	9,30	26	5,31
110	890,07	9,30	26	5,31
111	910,56	9,30	26	5,31
112	931,04	9,30	26	5,31
113	951,52	9,30	26	5,31
114	972,00	9,30	26	5,31
115	992,49	9,30	26	5,31
116	1012,97	9,30	26	5,31
117	1033,45	9,30	26	5,31
118	1053,94	9,30	26	5,31
119	1074,42	9,30	26	5,31
120	1094,90	9,30	26	5,31
121	1115,39	9,30	26	5,31

MANDATARIA 		MANDANTI 		LINEA PESCARA – BARI RADDOPPIO DELLA TRATTA FERROVIARIA TERMOLI-LESINA LOTTO 2 e 3 – RADDOPPIO TERMOLI - RIPALTA										
VI15 da km 22+780,80 a km 23+265,80: Relazione di calcolo Spalla S2				COMMESSA	LOTTO	FASE	ENTE	TIPO DOC	OPERA 7 DISCIPLINA			PROGR	REV	FOGLIO
				LI0B	02	E	ZZ	CL	VI	15	04	002	B	130

122	1135,87	9,30	26	5,31
123	1156,35	9,30	26	5,31
124	1176,84	9,30	26	5,31
125	1197,32	9,30	26	5,31
126	1217,80	9,30	26	5,31
127	1238,28	9,30	26	5,31
128	1258,77	9,30	26	5,31
129	1279,25	9,30	26	5,31
130	1299,73	9,30	26	5,31
131	1320,22	9,30	26	5,31
132	1340,70	9,30	26	5,31
133	9,00	269,31	20	3,14
134	9,00	247,62	20	3,14
135	9,00	225,92	20	3,14
136	9,00	204,23	20	3,14
137	9,00	182,54	20	3,14
138	9,00	160,85	20	3,14
139	9,00	139,15	20	3,14
140	9,00	117,46	20	3,14
141	9,00	95,77	20	3,14
142	9,00	74,08	20	3,14
143	9,00	52,38	20	3,14
144	9,00	30,69	20	3,14
145	1341,00	30,69	20	3,14
146	1341,00	52,38	20	3,14
147	1341,00	74,08	20	3,14
148	1341,00	95,77	20	3,14
149	1341,00	117,46	20	3,14
150	1341,00	139,15	20	3,14
151	1341,00	160,85	20	3,14
152	1341,00	182,54	20	3,14
153	1341,00	204,23	20	3,14
154	1341,00	225,92	20	3,14
155	1341,00	247,62	20	3,14
156	1341,00	269,31	20	3,14

Materiale impiegato : Calcestruzzo armato

Caratteristiche calcestruzzo

Resistenza caratteristica calcestruzzo	40,000	[MPa]
Coeff. omogeneizzazione acciaio/calcestruzzo	15,00	
Coeff. omogeneizzazione calcestruzzo teso/compresso	1,00	
Forma diagramma tensione-deformazione - PARABOLA-RETTANGOLO		

Caratteristiche acciaio per calcestruzzo

Tensione ammissibile acciaio	450,000	[MPa]
Tensione snervamento acciaio	450,000	[MPa]
Modulo elastico E	210000,924	[MPa]
Fattore di incrudimento acciaio	1,00	

Combinazioni

Simbologia adottata

N°	numero d'ordine della combinazione
N	sfuerzo normale espresso in[kN]
M _y	momento lungo Y espresso in [kNm]
M _x	momento lungo X espresso in [kNm]
M _t	momento torcente espresso in [kNm]
T _y	taglio lungo Y espresso in [kN]
T _x	taglio lungo X espresso in [kN]

LINEA PESCARA – BARI

**RADDOPPIO DELLA TRATTA FERROVIARIA TERMOLI-LESINA
LOTTO 2 e 3 – RADDOPPIO TERMOLI - RIPALTA**

**VI15 da km 22+780,80 a km 23+265,80:
Relazione di calcolo Spalla S2**

COMMESSA	LOTTO	FASE	ENTE	TIPO DOC	OPERA 7 DISCIPLINA			PROGR	REV	FOGLIO
LI0B	02	E	ZZ	CL	VI	15	04	002	B	131

VD verifica di dominio

VT verifica tensionale (SLER - Combinazione rara, SLER - Combinazione frequente, SLEQP - Combinazione quasi permanente, TAMM - Verifica a tensioni ammissibili)

N°	N	M _y	M _x	M _t	T _y	T _x	VD	VT
1	21219,3400	30769,4600	-4868,7800	0,0000	0,0000	0,0000	SI	NO
2	11393,1800	18024,8200	2939,2500	0,0000	0,0000	0,0000	SI	NO
3	13449,9700	25102,3800	2939,2500	0,0000	0,0000	0,0000	SI	NO
4	16810,8800	24238,4400	-9134,6400	0,0000	0,0000	0,0000	SI	NO
5	21219,3400	30769,4600	-4868,7800	0,0000	0,0000	0,0000	SI	NO
6	11702,5500	17879,0000	0,0000	0,0000	0,0000	0,0000	SI	NO
7	13805,4300	-17764,7100	20213,1700	0,0000	0,0000	0,0000	SI	NO
8	9599,6700	-17764,7100	16628,9100	0,0000	0,0000	0,0000	SI	NO
9	12333,4100	-5329,4100	28213,0400	0,0000	0,0000	0,0000	SI	NO
10	9599,6700	-17764,7100	16628,9100	0,0000	0,0000	0,0000	SI	NO
11	12333,4100	-5329,4100	28213,0400	0,0000	0,0000	0,0000	SI	NO
12	9599,6700	-17764,7100	16628,9100	0,0000	0,0000	0,0000	SI	NO
13	15266,1400	-4448,7100	20990,2800	0,0000	0,0000	0,0000	NO	SLER
14	11496,3000	1959,5000	16313,6700	0,0000	0,0000	0,0000	NO	SLER
15	11496,3000	1959,5000	16313,6700	0,0000	0,0000	0,0000	NO	SLER
16	13718,1000	-6407,4300	17418,1600	0,0000	0,0000	0,0000	NO	SLER
17	15266,1400	-4448,7100	20990,2800	0,0000	0,0000	0,0000	NO	SLER
18	11496,3000	1959,5000	16313,6700	0,0000	0,0000	0,0000	NO	SLER
19	11702,5500	0,0000	14454,8800	0,0000	0,0000	0,0000	NO	SLEQP
20	11702,5500	0,0000	12497,3500	0,0000	0,0000	0,0000	NO	SLEQP
21	11702,5500	0,0000	14454,8800	0,0000	0,0000	0,0000	NO	SLEQP
22	11702,5500	0,0000	12497,3500	0,0000	0,0000	0,0000	NO	SLEQP
23	11702,5500	0,0000	14454,8800	0,0000	0,0000	0,0000	NO	SLEQP
24	11702,5500	0,0000	12497,3500	0,0000	0,0000	0,0000	NO	SLEQP

MANDATARIA 		MANDANTI 		LINEA PESCARA – BARI RADDOPPIO DELLA TRATTA FERROVIARIA TERMOLI-LESINA LOTTO 2 e 3 – RADDOPPIO TERMOLI - RIPALTA										
VI15 da km 22+780,80 a km 23+265,80: Relazione di calcolo Spalla S2				COMMESSA	LOTTO	FASE	ENTE	TIPO DOC	OPERA 7 DISCIPLINA			PROGR	REV	FOGLIO
				LI0B	02	E	ZZ	CL	VI	15	04	002	B	132

Risultati analisi

Caratteristiche asse neutro

Simbologia adottata

N° numero d'ordine della combinazione
 Xc posizione asse neutro espresso in [cm]
 α inclinazione asse neutro rispetto all'orizzontale, espressa in [°]
 (xi; yi) - (xf; yf) Punti di intersezione dell'asse neutro con il perimetro della sezione, espressi in [cm]

N°	Xc	α	(xi; yi)	(xf; yf)
13	569,63	13,79	(1350,00; 586,53)	(-1040,49; 0,00)
14	796,93	-22,05	(-773,13; 300,00)	(1350,00; -559,80)
15	796,93	-22,05	(-773,13; 300,00)	(1350,00; -559,80)
16	402,87	8,08	(1350,00; 406,90)	(-1516,77; 0,00)
17	569,63	13,79	(1350,00; 586,53)	(-1040,49; 0,00)
18	796,93	-22,05	(-773,13; 300,00)	(1350,00; -559,80)
19	1915,73	-83,39	(-578,56; 300,00)	(1350,00; -16335,64)
20	2106,06	-82,36	(-774,91; 300,00)	(1350,00; -15547,13)
21	1915,73	-83,39	(-578,56; 300,00)	(1350,00; -16335,64)
22	2106,06	-82,36	(-774,91; 300,00)	(1350,00; -15547,13)
23	1915,73	-83,39	(-578,56; 300,00)	(1350,00; -16335,64)
24	2106,06	-82,36	(-774,91; 300,00)	(1350,00; -15547,13)

Risultati tensionali

Simbologia adottata

N° numero d'ordine della combinazione
 σ_{c-max} Tensione massima nel calcestruzzo espresso in [MPa]
 σ_{c-min} Tensione minima nel calcestruzzo espresso in [MPa]
 σ_{f-max} Tensione massima nel ferro espresso in [MPa]
 σ_{f-min} Tensione minima nel ferro espresso in [MPa]
 τ_c Tensione tangenziale nel calcestruzzo espresso in [MPa]

N°	σ_{c-max}	σ_{c-min}	τ_c	σ_{f-max}	σ_{f-min}
13	0,795	0,000	0,000	11,687	-0,681
14	0,547	0,000	0,000	8,089	0,250
15	0,547	0,000	0,000	8,089	0,250
16	0,823	0,000	0,000	12,029	-2,259
17	0,795	0,000	0,000	11,687	-0,681
18	0,547	0,000	0,000	8,089	0,250
19	0,440	0,000	0,000	6,573	1,899
20	0,420	0,000	0,000	6,264	2,207
21	0,440	0,000	0,000	6,573	1,899
22	0,420	0,000	0,000	6,264	2,207
23	0,440	0,000	0,000	6,573	1,899
24	0,420	0,000	0,000	6,264	2,207

Sollecitazioni ultime

Simbologia adottata

N° numero d'ordine della combinazione
 N_u Storzo normale ultimo, espresso in [kN]
 M_{Xu} Momento ultimo in direzione X, espresso in [kNm]
 M_{Yu} Momento ultimo in direzione Y, espresso in [kNm]
 FS Fattore di sicurezza

Combinazione n° 1

N_u	M_{Xu}	M_{Yu}	FS
149814,3649	-34374,9232	217240,8335	7,06

**VI15 da km 22+780,80 a km 23+265,80:
Relazione di calcolo Spalla S2**

COMMESSA	LOTTO	FASE	ENTE	TIPO DOC	OPERA 7 DISCIPLINA			PROGR	REV	FOGLIO
LI0B	02	E	ZZ	CL	VI	15	04	002	B	133

<u>744560,1687</u>	<u>-170839,4162</u>	<u>30769,4600</u>	<u>35,09</u>
<u>150485,1542</u>	<u>-4868,7800</u>	<u>218213,5228</u>	<u>7,09</u>
<u>755445,1813</u>	<u>-4868,7800</u>	<u>30769,4600</u>	<u>35,60</u>
<u>21219,3400</u>	<u>-279079,8607</u>	<u>30769,4600</u>	<u>57,32</u>
<u>21219,3400</u>	<u>-11407,9162</u>	<u>72095,1490</u>	<u>2,34</u>
<u>21219,3400</u>	<u>-4868,7800</u>	<u>72112,5850</u>	<u>2,34</u>

Combinazione n° 2

<u>N_u</u>	<u>M_{xu}</u>	<u>M_{yu}</u>	<u>FS</u>
<u>119246,6046</u>	<u>30763,6308</u>	<u>188656,5984</u>	<u>10,47</u>
<u>746387,7626</u>	<u>192555,5667</u>	<u>18024,8200</u>	<u>65,51</u>
<u>119549,9865</u>	<u>2939,2500</u>	<u>189136,5701</u>	<u>10,49</u>
<u>766325,0572</u>	<u>2939,2500</u>	<u>18024,8200</u>	<u>67,26</u>
<u>11393,1800</u>	<u>224723,0369</u>	<u>18024,8200</u>	<u>76,46</u>
<u>11393,1800</u>	<u>9589,7819</u>	<u>58808,9116</u>	<u>3,26</u>
<u>11393,1800</u>	<u>2939,2500</u>	<u>58824,6346</u>	<u>3,26</u>

Combinazione n° 3

<u>N_u</u>	<u>M_{xu}</u>	<u>M_{yu}</u>	<u>FS</u>
<u>75471,0051</u>	<u>16492,8362</u>	<u>140855,4702</u>	<u>5,61</u>
<u>748800,3303</u>	<u>163636,8981</u>	<u>25102,3800</u>	<u>55,67</u>
<u>75571,4328</u>	<u>2939,2500</u>	<u>141042,9036</u>	<u>5,62</u>
<u>760341,8383</u>	<u>2939,2500</u>	<u>25102,3800</u>	<u>56,53</u>
<u>13449,9700</u>	<u>235104,1205</u>	<u>25102,3800</u>	<u>79,99</u>
<u>13449,9700</u>	<u>7215,0721</u>	<u>61619,6247</u>	<u>2,45</u>
<u>13449,9700</u>	<u>2939,2500</u>	<u>61627,8664</u>	<u>2,46</u>

Combinazione n° 4

<u>N_u</u>	<u>M_{xu}</u>	<u>M_{yu}</u>	<u>FS</u>
<u>150008,9782</u>	<u>-81511,3791</u>	<u>216287,5243</u>	<u>8,92</u>
<u>705871,2966</u>	<u>-383553,9948</u>	<u>24238,4400</u>	<u>41,99</u>
<u>152520,6712</u>	<u>-9134,6400</u>	<u>219908,9601</u>	<u>9,07</u>
<u>760999,0583</u>	<u>-9134,6400</u>	<u>24238,4400</u>	<u>45,27</u>
<u>16810,8800</u>	<u>-255498,6705</u>	<u>24238,4400</u>	<u>27,97</u>
<u>16810,8800</u>	<u>-24911,7662</u>	<u>66102,4792</u>	<u>2,73</u>
<u>16810,8800</u>	<u>-9134,6400</u>	<u>66170,7463</u>	<u>2,73</u>

Combinazione n° 5

<u>N_u</u>	<u>M_{xu}</u>	<u>M_{yu}</u>	<u>FS</u>
<u>149814,3649</u>	<u>-34374,9232</u>	<u>217240,8335</u>	<u>7,06</u>
<u>744560,1687</u>	<u>-170839,4162</u>	<u>30769,4600</u>	<u>35,09</u>
<u>150485,1542</u>	<u>-4868,7800</u>	<u>218213,5228</u>	<u>7,09</u>
<u>755445,1813</u>	<u>-4868,7800</u>	<u>30769,4600</u>	<u>35,60</u>
<u>21219,3400</u>	<u>-279079,8607</u>	<u>30769,4600</u>	<u>57,32</u>
<u>21219,3400</u>	<u>-11407,9162</u>	<u>72095,1490</u>	<u>2,34</u>
<u>21219,3400</u>	<u>-4868,7800</u>	<u>72112,5850</u>	<u>2,34</u>

Combinazione n° 6

<u>N_u</u>	<u>M_{xu}</u>	<u>M_{yu}</u>	<u>FS</u>
<u>131419,1669</u>	<u>0,0000</u>	<u>200780,4526</u>	<u>11,23</u>
<u>766474,4876</u>	<u>0,0000</u>	<u>17879,0000</u>	<u>65,50</u>
<u>11702,5500</u>	<u>0,0000</u>	<u>59250,7357</u>	<u>3,31</u>

Combinazione n° 7

**VI15 da km 22+780,80 a km 23+265,80:
Relazione di calcolo Spalla S2**

COMMESSA	LOTTO	FASE	ENTE	TIPO DOC	OPERA 7 DISCIPLINA			PROGR	REV	FOGLIO
LI0B	02	E	ZZ	CL	VI	15	04	002	B	134

N_u	M_{Xu}	M_{Yu}	FS
<u>162569,2985</u>	<u>238025,2456</u>	<u>-209192,7917</u>	11,78
<u>598302,2977</u>	<u>876002,1278</u>	<u>-17764,7100</u>	43,34
<u>182887,1308</u>	20213,1700	<u>-235337,6056</u>	13,25
<u>778886,1119</u>	20213,1700	<u>-17764,7100</u>	56,42
13805,4300	<u>233804,0092</u>	<u>-17764,7100</u>	11,57
13805,4300	<u>52731,5896</u>	<u>-46344,1112</u>	2,61
13805,4300	20213,1700	<u>-46589,2244</u>	2,62

Combinazione n° 8

N_u	M_{Xu}	M_{Yu}	FS
<u>52851,6517</u>	<u>91551,6220</u>	<u>-97804,8480</u>	5,51
<u>568175,9920</u>	<u>984215,8569</u>	<u>-17764,7100</u>	59,19
<u>54351,7162</u>	16628,9100	<u>-100580,7987</u>	5,66
<u>778975,5165</u>	16628,9100	<u>-17764,7100</u>	81,15
9599,6700	<u>208137,6988</u>	<u>-17764,7100</u>	12,52
9599,6700	<u>38052,0101</u>	<u>-40651,0664</u>	2,29
9599,6700	16628,9100	<u>-40777,8673</u>	2,30

Combinazione n° 9

N_u	M_{Xu}	M_{Yu}	FS
<u>404067,7244</u>	<u>924316,8654</u>	<u>-174602,3663</u>	32,76
<u>508144,9054</u>	<u>1162396,4938</u>	<u>-5329,4100</u>	41,20
<u>555893,8516</u>	28213,0400	<u>-240208,2029</u>	45,07
<u>781861,7293</u>	28213,0400	<u>-5329,4100</u>	63,39
12333,4100	<u>229827,5706</u>	<u>-5329,4100</u>	8,15
12333,4100	<u>195670,6561</u>	<u>-36961,9563</u>	6,94
12333,4100	28213,0400	<u>-44512,7533</u>	8,35

Combinazione n° 10

N_u	M_{Xu}	M_{Yu}	FS
<u>52851,6517</u>	<u>91551,6220</u>	<u>-97804,8480</u>	5,51
<u>568175,9920</u>	<u>984215,8569</u>	<u>-17764,7100</u>	59,19
<u>54351,7162</u>	16628,9100	<u>-100580,7987</u>	5,66
<u>778975,5165</u>	16628,9100	<u>-17764,7100</u>	81,15
9599,6700	<u>208137,6988</u>	<u>-17764,7100</u>	12,52
9599,6700	<u>38052,0101</u>	<u>-40651,0664</u>	2,29
9599,6700	16628,9100	<u>-40777,8673</u>	2,30

Combinazione n° 11

N_u	M_{Xu}	M_{Yu}	FS
<u>404067,7244</u>	<u>924316,8654</u>	<u>-174602,3663</u>	32,76
<u>508144,9054</u>	<u>1162396,4938</u>	<u>-5329,4100</u>	41,20
<u>555893,8516</u>	28213,0400	<u>-240208,2029</u>	45,07
<u>781861,7293</u>	28213,0400	<u>-5329,4100</u>	63,39
12333,4100	<u>229827,5706</u>	<u>-5329,4100</u>	8,15
12333,4100	<u>195670,6561</u>	<u>-36961,9563</u>	6,94
12333,4100	28213,0400	<u>-44512,7533</u>	8,35

Combinazione n° 12

N_u	M_{Xu}	M_{Yu}	FS
<u>52851,6517</u>	<u>91551,6220</u>	<u>-97804,8480</u>	5,51
<u>568175,9920</u>	<u>984215,8569</u>	<u>-17764,7100</u>	59,19
<u>54351,7162</u>	16628,9100	<u>-100580,7987</u>	5,66
<u>778975,5165</u>	16628,9100	<u>-17764,7100</u>	81,15

**VI15 da km 22+780,80 a km 23+265,80:
Relazione di calcolo Spalla S2**

COMMESSA	LOTTO	FASE	ENTE	TIPO DOC	OPERA 7 DISCIPLINA			PROGR	REV	FOGLIO
LI0B	02	E	ZZ	CL	VI	15	04	002	B	135

9599,6700	208137,6988	-17764,7100	12,52
9599,6700	38052,0101	-40651,0664	2,29
9599,6700	16628,9100	-40777,8673	2,30

Risultati fessurazione

Simbologia adottata

N°	numero d'ordine della combinazione
M _x	Momento di prima fessurazione in direzione X, espresso in [kNm]
M _y	Momento di prima fessurazione in direzione Y, espresso in [kNm]
σ _t	Tensione nell'acciaio, espressa in [MPa]
σ _c	Tensione nel calcestruzzo, espressa in [MPa]
A _{eff}	Area efficace a trazione, espressa in [cm ²]
ε	Deformazione media acciaio teso, espressa in [‰]
S _{rm}	Distanza media tra le fessure, espresso in [mm]
w	Ampiezza delle fessure, espressa in [mm]

N°	M _x	M _y	σ _t	σ _c	A _{eff}	ε	S _{rm}	w
13	124318,2130	-26348,1801	-326,008	-22,263	104407,58	0,0000	0	0,0000
14	151564,1903	18204,9797	-373,095	-25,260	141445,60	0,0000	0	0,0000
15	151564,1903	18204,9797	-373,095	-25,260	141445,60	0,0000	0	0,0000
16	90383,9209	-33248,5547	-355,497	-24,443	122753,34	0,0000	0	0,0000
17	124318,2130	-26348,1801	-326,008	-22,263	104407,58	0,0000	0	0,0000
18	151564,1903	18204,9797	-373,095	-25,260	141445,60	0,0000	0	0,0000
19	231413,5945	0,0000	-641,767	-43,188	163734,73	0,0000	0	0,0000
20	231415,7732	0,0000	-641,775	-43,189	163734,73	0,0000	0	0,0000
21	231413,5945	0,0000	-641,767	-43,188	163734,73	0,0000	0	0,0000
22	231415,7732	0,0000	-641,775	-43,189	163734,73	0,0000	0	0,0000
23	231413,5945	0,0000	-641,767	-43,188	163734,73	0,0000	0	0,0000
24	231415,7732	0,0000	-641,775	-43,189	163734,73	0,0000	0	0,0000

Inviluppo verifiche a pressoflessione

Simbologia adottata

N	Storzo normale espresso in [kN]
M _x	Momento in direzione X espresso in [kNm]
M _y	Momento in direzione Y espresso in [kNm]
N _u	Storzo normale ultimo espresso in [kN]
M _{x,u}	Momento ultimo in direzione X espresso in [kNm]
M _{y,u}	Momento ultimo in direzione Y espresso in [kNm]
FS	Fattore di sicurezza
Comb.	Combinazione critica

Sezione n° 1 - SEZIONE SPALLA S2

N	M _x	M _y	N	M _{x,u}	M _{y,u}	FS	Comb.
9599,67	16628,91	-17764,71	52851,65	91551,62	-97804,85	5.506	8
21219,34	-4868,78	30769,46	744560,17	-170839,42	30769,46	35.089	1
11702,55	0,00	17879,00	11702,55	0,00	59250,74	3.314	6
21219,34	-4868,78	30769,46	755445,18	-4868,78	30769,46	35.602	1
12333,41	28213,04	-5329,41	12333,41	229827,57	-5329,41	8.146	9
9599,67	16628,91	-17764,71	9599,67	38052,01	-40651,07	2.288	8
9599,67	16628,91	-17764,71	9599,67	16628,91	-40777,87	2.295	8

Inviluppo verifiche tensionali

Simbologia adottata

TC	Tipo combinazione
scc	tensione di compressione nel cls espresso in [MPa]
scl	tensione di compressione limite nel cls espresso in [MPa]
sct	tensione di trazione nel cls espresso in [MPa]
sctl	tensione di trazione limite nel cls espresso in [MPa]
sfc, sft	tensione minima e massima nell'armatura espressa in [MPa]
sf	tensione limite nell'armatura espressa in [MPa]

LINEA PESCARA – BARI

**RADDOPPIO DELLA TRATTA FERROVIARIA TERMOLI-LESINA
LOTTO 2 e 3 – RADDOPPIO TERMOLI - RIPALTA**

VI15 da km 22+780,80 a km 23+265,80: Relazione di calcolo Spalla S2	COMMESSA	LOTTO	FASE	ENTE	TIPO DOC	OPERA 7 DISCIPLINA			PROGR	REV	FOGLIO
	LI0B	02	E	ZZ	CL	VI	15	04	002	B	136

Comb. Combinazione critica

Sezione n° 1 - SEZIONE SPALLA S2

TC	scc	scl	sct	sctl	sfc	sft	sfl	Comb.
SLEQP	0,440	14,940	0,124	3,099	1,899	6,573	450,000	19
SLER	0,823	18,260	-0,171	3,099	-2,259	12,029	337,500	16

Inviluppo verifiche fessurazione

Simbologia adottata

TC	Tipo combinazione
sf	tensione nell'acciaio espresso in [MPa]
sc	tensione nel cls espresso in [MPa]
Aeff	Area efficace a trazione espresso in [cmq]
Eps	Deformazione espressa in [%]
sr	spaziatura tra le fessure espressa in [mm]
w, wl	ampiezza fessure e fessura limite espresse in [mm]
Comb.	Combinazione critica

Sezione n° 1 - SEZIONE SPALLA S2

TC	sf	sc	Aeff	Esp	sr	w	wl	Comb.
SLEQP	-641,767	-43,188	16057,147	0,0000	0,000	0,000	0,200	19
SLER	-326,008	-22,263	10239,049	0,0000	0,000	0,000	0,200	13

**VI15 da km 22+780,80 a km 23+265,80:
Relazione di calcolo Spalla S2**

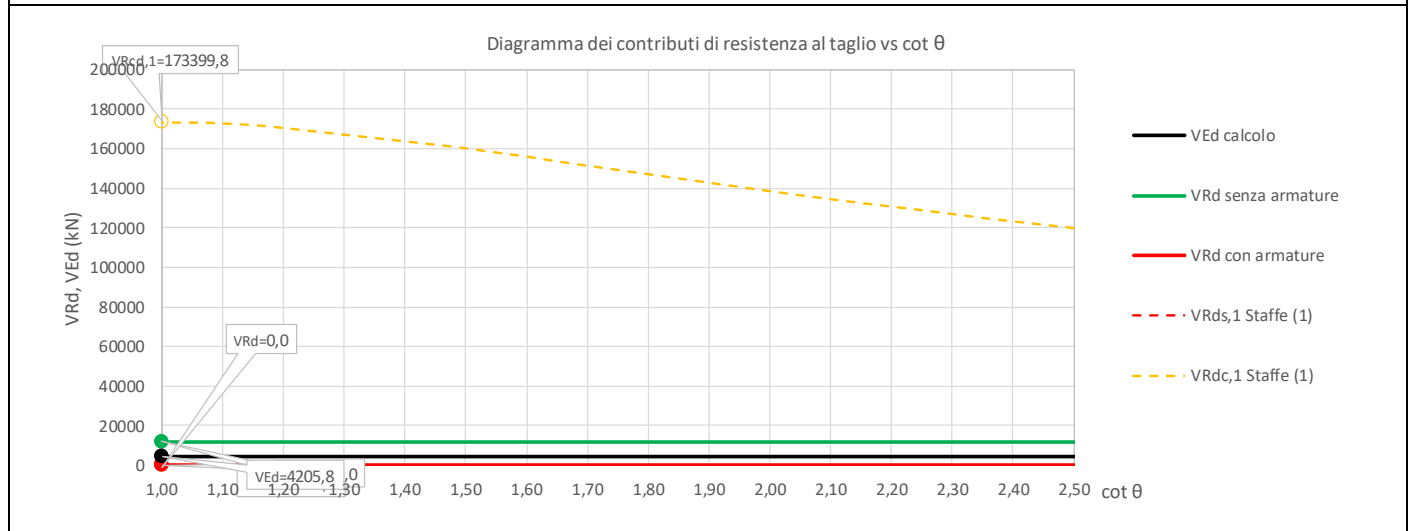
COMMESSA	LOTTO	FASE	ENTE	TIPO DOC	OPERA 7 DISCIPLINA			PROGR	REV	FOGLIO
LI0B	02	E	ZZ	CL	VI	15	04	002	B	137

11.6.2 Verifica a taglio SLU, SLV

Secondo le sollecitazioni a quota spiccato elevazione (estradosso plinto) per le combinazioni di carico allo SLU riportate nel capitolo precedente, si riporta la relativa verifica di resistenza a taglio.

Il valore dei tagli resistenti è stato, invece, ricavato attraverso un apposito foglio di calcolo realizzato in accordo con il D.M. 14/01/2008 p.to 4.1.2.1.3.2.

NOME: SLV TRASV		CALCOLO TAGLIO RESISTENTE SEZIONE RETTANGOLARE (NTC 2008)							Rev. 10.1	
DATI SEZIONE				AZIONI CALCOLO			CALCESTRUZZO			
b_w	d	θ	$\cotg \theta$	N_{Ed}	V_{Ed}	M_{Ed}	f_{ck}	f_{cd}	Y_c	
(m)	(m)	(°)		(kN)	(kN)	(kNm)	(MPa)	(MPa)		
3,00	13,41	45,00	1,00	-13805,4	4205,8	20213,2	33,20	18,81	1,50	
				$1,00 \leq \cotg \theta \leq 2,50$						
VERIFICA ARMATURE LONGITUDINALI (§4.1.2.1.3.1)										
	f_{yd}	n	\varnothing	$A_{s1,\varnothing}$	A_{s1}					
	(MPa)		(mm)	(cm ²)	(cm ²)					
Barre B450C	391,3	14	20	3,14	43,98					
VERIFICA SENZA ARMATURE TRASVERSALI (§4.1.2.1.3.1)										
	A_{s1}	k_1	k	ρ_l (%)	V_{min}	σ_{cp}	α_c	V_{Rd}	V_{Ed}/V_{Rd}	
	(cm ²)			(%)	(MPa)	(MPa)		(kN)		
	43,98	0,15	1,12	0,01%	0,24	0,34	1,02	11714,6	35,9%	VERIFICA OK



Non si è reso necessario l'inserimento di armatura trasversale per questa sezione.

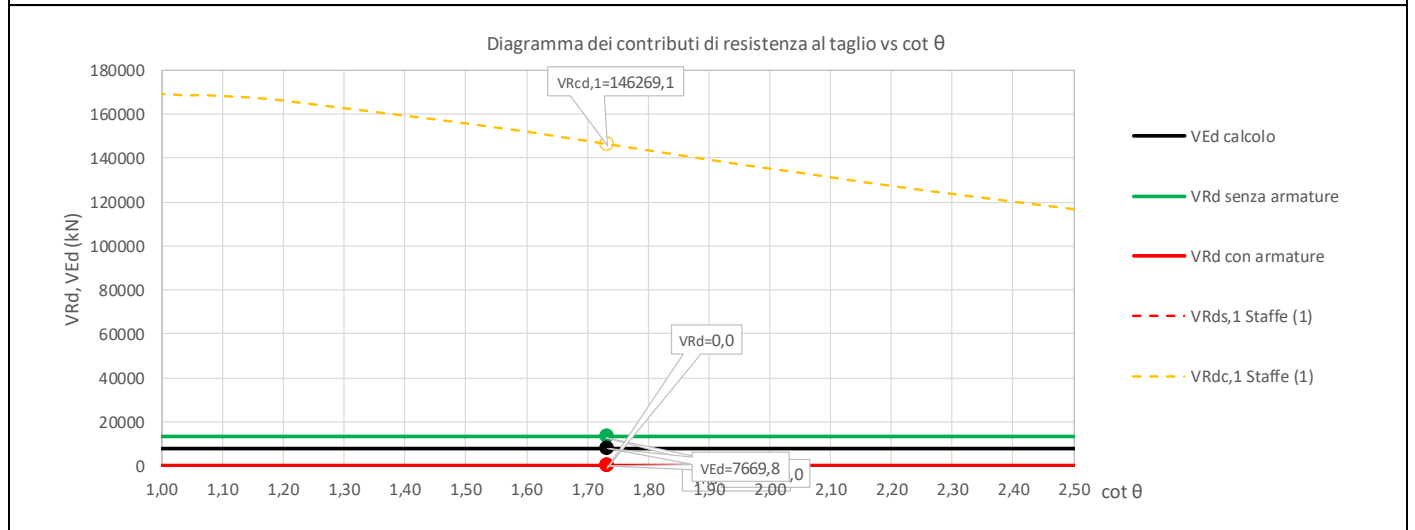
LINEA PESCARA – BARI

**RADDOPPIO DELLA TRATTA FERROVIARIA TERMOLI-LESINA
LOTTO 2 e 3 – RADDOPPIO TERMOLI - RIPALTA**

**VI15 da km 22+780,80 a km 23+265,80:
Relazione di calcolo Spalla S2**

COMMESSA	LOTTO	FASE	ENTE	TIPO DOC	OPERA 7 DISCIPLINA			PROGR	REV	FOGLIO
LI0B	02	E	ZZ	CL	VI	15	04	002	B	138

NOME: SLV LONG		CALCOLO TAGLIO RESISTENTE SEZIONE RETTANGOLARE (NTC 2008)							Rev. 10.1																													
DATI SEZIONE				AZIONI CALCOLO			CALCESTRUZZO																															
b_w (m)	d (m)	θ (°)	$\cotg \theta$	N_{Ed} (kN)	V_{Ed} (kN)	M_{Ed} (kNm)	f_{ck} (MPa)	f_{cd} (MPa)	γ_c																													
13,50	2,91	30,00	1,73	-12333,4	7669,8	5329,4	33,20	18,81	1,50																													
<p>1,00 $\leq \cotg \theta \leq 2,50$</p> <p>VERIFICA ARMATURE LONGITUDINALI (§4.1.2.1.3.1)</p> <table border="1"> <thead> <tr> <th>f_{yd} (MPa)</th> <th>n</th> <th>\varnothing (mm)</th> <th>$A_{s1,\varnothing}$ (cm²)</th> <th>A_{s1} (cm²)</th> </tr> </thead> <tbody> <tr> <td>391,3</td> <td>66</td> <td>26</td> <td>5,31</td> <td>350,41</td> </tr> </tbody> </table> <p>VERIFICA SENZA ARMATURE TRASVERSALI (§4.1.2.1.3.1)</p> <table border="1"> <thead> <tr> <th>A_{s1} (cm²)</th> <th>k_1</th> <th>k</th> <th>ρ_l (%) (%)</th> <th>v_{min} (MPa)</th> <th>σ_{cp} (MPa)</th> <th>α_c</th> <th>V_{Rd} (kN)</th> <th>V_{Ed}/V_{Rd}</th> </tr> </thead> <tbody> <tr> <td>350,41</td> <td>0,15</td> <td>1,26</td> <td>0,09%</td> <td>0,29</td> <td>0,31</td> <td>1,02</td> <td>13074,3</td> <td>58,7%</td> </tr> </tbody> </table> <p>VERIFICA OK</p>											f_{yd} (MPa)	n	\varnothing (mm)	$A_{s1,\varnothing}$ (cm ²)	A_{s1} (cm ²)	391,3	66	26	5,31	350,41	A_{s1} (cm ²)	k_1	k	ρ_l (%) (%)	v_{min} (MPa)	σ_{cp} (MPa)	α_c	V_{Rd} (kN)	V_{Ed}/V_{Rd}	350,41	0,15	1,26	0,09%	0,29	0,31	1,02	13074,3	58,7%
f_{yd} (MPa)	n	\varnothing (mm)	$A_{s1,\varnothing}$ (cm ²)	A_{s1} (cm ²)																																		
391,3	66	26	5,31	350,41																																		
A_{s1} (cm ²)	k_1	k	ρ_l (%) (%)	v_{min} (MPa)	σ_{cp} (MPa)	α_c	V_{Rd} (kN)	V_{Ed}/V_{Rd}																														
350,41	0,15	1,26	0,09%	0,29	0,31	1,02	13074,3	58,7%																														



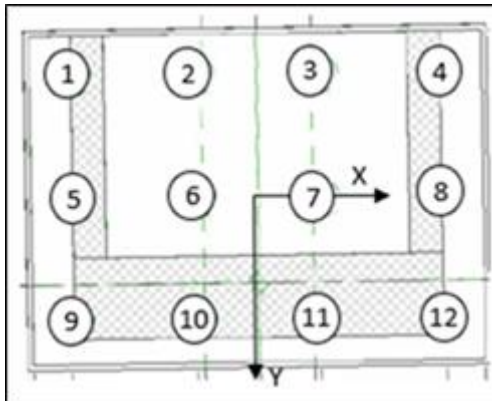
Non si è reso necessario l'inserimento di armatura trasversale per questa sezione.

**VI15 da km 22+780,80 a km 23+265,80:
Relazione di calcolo Spalla S2**

COMMESSA	LOTTO	FASE	ENTE	TIPO DOC	OPERA 7 DISCIPLINA			PROGR	REV	FOGLIO
LI0B	02	E	ZZ	CL	VI	15	04	002	B	139

11.7 VERIFICHE PLINTO FONDAZIONE

Nel presente paragrafo sono stati eseguite le verifiche strutturali del plinto di fondazione, considerando le reazioni in testa palo riportate nella specifica relazione di dimensionamento geotecnico delle palificate, di cui di seguito si riportano gli schemi generali e le azioni calcolate per i vari stati limite.



Azioni		Ripartizione degli sforzi normali sui pali della palificata												
Combo		Palo n.1	Palo n.2	Palo n.3	Palo n.4	Palo n.5	Palo n.6	Palo n.7	Palo n.8	Palo n.9	Palo n.10	Palo n.11	Palo n.12	Hmax, singolo palo
		N [kN]	N [kN]	N [kN]	N [kN]	N [kN]	N [kN]	N [kN]	N [kN]	N [kN]	N [kN]	N [kN]	N [kN]	N [kN]
Nvert Max	SLU6	3210	3302	3393	3484	5379	5470	5562	5653	7548	7639	7730	7822	980
Nvert Min	SLU24	2572	2516	2459	2403	3663	3606	3550	3493	4753	4697	4640	4584	670
Vtrasv Max	SLU3	3190	3353	3517	3681	5051	5214	5378	5542	6911	7075	7239	7403	982
Vtrasv Min	SLU24	2572	2516	2459	2403	3663	3606	3550	3493	4753	4697	4640	4584	670
Mtrasv Max	SLU6	3732	3675	3618	3562	4953	4897	4840	4784	6175	6119	6062	6006	964
Mtrasv Min	SLU24	1952	2116	2279	2443	3760	3924	4088	4251	5568	5732	5896	6059	718
Vlong Max	SLU11	3190	3353	3517	3681	5051	5214	5378	5542	6911	7075	7239	7403	982
Vlong Min	SLU20	2491	2491	2491	2491	3604	3604	3604	3604	4717	4717	4717	4717	665
Mlong Max	SLU2	3210	3302	3393	3484	5379	5470	5562	5653	7548	7639	7730	7822	980
Mlong Min	SLU15	2572	2516	2459	2403	3663	3606	3550	3493	4753	4697	4640	4584	670
Mtorc Max	SLU2	3732	3675	3618	3562	4953	4897	4840	4784	6175	6119	6062	6006	964
Mtorc Min	SLU15	1952	2116	2279	2443	3760	3924	4088	4251	5568	5732	5896	6059	718
Nvert Max	SLV5	2126	2430	2734	3038	3693	3997	4301	4605	5260	5564	5868	6172	951
Nvert Min	SLV6	1274	1578	1882	2186	2603	2907	3211	3515	3931	4235	4539	4843	951
Vtrasv Max	SLV3	764	1777	2790	3804	2248	3261	4274	5287	3731	4744	5758	6771	1409
Vtrasv Min	SLV6	1274	1578	1882	2186	2603	2907	3211	3515	3931	4235	4539	4843	951
Mtrasv Max	SLV1	628	932	1236	1540	3311	3615	3919	4223	5995	6299	6603	6907	1736
Mtrasv Min	SLV6	508	1522	2535	3548	1920	2934	3947	4960	3333	4346	5359	6372	1409
Vlong Max	SLV1	628	932	1236	1540	3311	3615	3919	4223	5995	6299	6603	6907	1736
Vlong Min	SLV6	1274	1578	1882	2186	2603	2907	3211	3515	3931	4235	4539	4843	951
Mlong Max	SLV1	628	932	1236	1540	3311	3615	3919	4223	5995	6299	6603	6907	1736
Mlong Min	SLV4	1274	1578	1882	2186	2603	2907	3211	3515	3931	4235	4539	4843	951
Mtorc Max	SLV5	2126	2430	2734	3038	3693	3997	4301	4605	5260	5564	5868	6172	951
Mtorc Min	SLV4	508	1522	2535	3548	1920	2934	3947	4960	3333	4346	5359	6372	1409

SLU	3675	3618		5470	5562			982
SLV	2430	2790		3997	4301			1736

LINEA PESCARA – BARI

**RADDOPPIO DELLA TRATTA FERROVIARIA TERMOLI-LESINA
LOTTO 2 e 3 – RADDOPPIO TERMOLI - RIPALTA**

**VI15 da km 22+780,80 a km 23+265,80:
Relazione di calcolo Spalla S2**

COMMESSA	LOTTO	FASE	ENTE	TIPO DOC	OPERA 7 DISCIPLINA			PROGR	REV	FOGLIO
LI0B	02	E	ZZ	CL	VI	15	04	002	B	140

Azioni		Ripartizione degli sforzi normali sui pali della palificata												
Combo		Palo n.1	Palo n.2	Palo n.3	Palo n.4	Palo n.5	Palo n.6	Palo n.7	Palo n.8	Palo n.9	Palo n.10	Palo n.11	Palo n.12	Hmax, singolo palo
		N [kN]	N [kN]	N [kN]	N [kN]	N [kN]	N [kN]	N [kN]	N [kN]	N [kN]	N [kN]	N [kN]	N [kN]	N [kN]
Nvert Max	RA1	2220	2304	2388	2471	3775	3859	3943	4026	5330	5414	5498	5581	659
Nvert Min	RA12	2625	2587	2550	2512	3643	3606	3568	3530	4662	4624	4586	4548	622
Vtrasv Max	RA3	2183	2295	2408	2521	3717	3830	3942	4055	5251	5364	5476	5589	660
Vtrasv Min	RA12	2625	2587	2550	2512	3643	3606	3568	3530	4662	4624	4586	4548	622
Mtrasv Max	RA1	2625	2587	2550	2512	3643	3606	3568	3530	4662	4624	4586	4548	622
Mtrasv Min	RA12	2183	2295	2408	2521	3717	3830	3942	4055	5251	5364	5476	5589	660
Vlong Max	RA11	2183	2295	2408	2521	3717	3830	3942	4055	5251	5364	5476	5589	660
Vlong Min	RA8	2336	2419	2503	2587	3775	3859	3943	4026	5215	5299	5382	5466	616
Mlong Max	RA12	2220	2304	2388	2471	3775	3859	3943	4026	5330	5414	5498	5581	659
Mlong Min	RA3	2625	2587	2550	2512	3643	3606	3568	3530	4662	4624	4586	4548	622
Mtorc Max	RA12	2625	2587	2550	2512	3643	3606	3568	3530	4662	4624	4586	4548	622
Mtorc Min	RA3	2183	2295	2408	2521	3717	3830	3942	4055	5251	5364	5476	5589	660
Nvert Max	QP1	2670	2670	2670	2670	3604	3604	3604	3604	4537	4537	4537	4537	545
Nvert Min	QP12	2749	2749	2749	2749	3604	3604	3604	3604	4459	4459	4459	4459	516
Vtrasv Max	QP1	2670	2670	2670	2670	3604	3604	3604	3604	4537	4537	4537	4537	545
Vtrasv Min	QP12	2749	2749	2749	2749	3604	3604	3604	3604	4459	4459	4459	4459	516
Mtrasv Max	QP1	2670	2670	2670	2670	3604	3604	3604	3604	4537	4537	4537	4537	545
Mtrasv Min	QP12	2749	2749	2749	2749	3604	3604	3604	3604	4459	4459	4459	4459	516
Vlong Max	QP1	2670	2670	2670	2670	3604	3604	3604	3604	4537	4537	4537	4537	545
Vlong Min	QP12	2749	2749	2749	2749	3604	3604	3604	3604	4459	4459	4459	4459	516
Mlong Max	QP1	2670	2670	2670	2670	3604	3604	3604	3604	4537	4537	4537	4537	545
Mlong Min	QP12	2749	2749	2749	2749	3604	3604	3604	3604	4459	4459	4459	4459	516
Mtorc Max	QP1	2670	2670	2670	2670	3604	3604	3604	3604	4537	4537	4537	4537	545
Mtorc Min	QP12	2749	2749	2749	2749	3604	3604	3604	3604	4459	4459	4459	4459	516

SLE RA	2587	2550	3859	3943	660
SLE QP	2749	2749	3604	3604	545

**VI15 da km 22+780,80 a km 23+265,80:
Relazione di calcolo Spalla S2**

COMMESSA	LOTTO	FASE	ENTE	TIPO DOC	OPERA 7 DISCIPLINA			PROGR	REV	FOGLIO
LI0B	02	E	ZZ	CL	VI	15	04	002	B	141

11.7.1 Verifiche a flessione (SLU, SLV, SLE)

Per valutare lo stato di sollecitazione del plinto di fondazione, si considera uno schema di trave a mensola incastrata con luce libera L che va dal filo esterno dell'elevazione spalla fino al bordo libero della fondazione, applicato alla coppia dei pali più sollecitati all'interno della fondazione, con larghezza di collaborazione B determinata dall'interasse tra i pali. La mensola è sollecitata da due azioni verticali N_{Ed1} , N_{Ed2} e da una massima orizzontale H_{Ed} applicate ad una distanza x_1 , x_2 dall'incastro, e stabilizzate dall'azione distribuita del peso proprio strutturale PP e del peso del terreno PT di rinterro del plinto (valutati a favore di sicurezza con coefficiente 1.35 e 1.50).

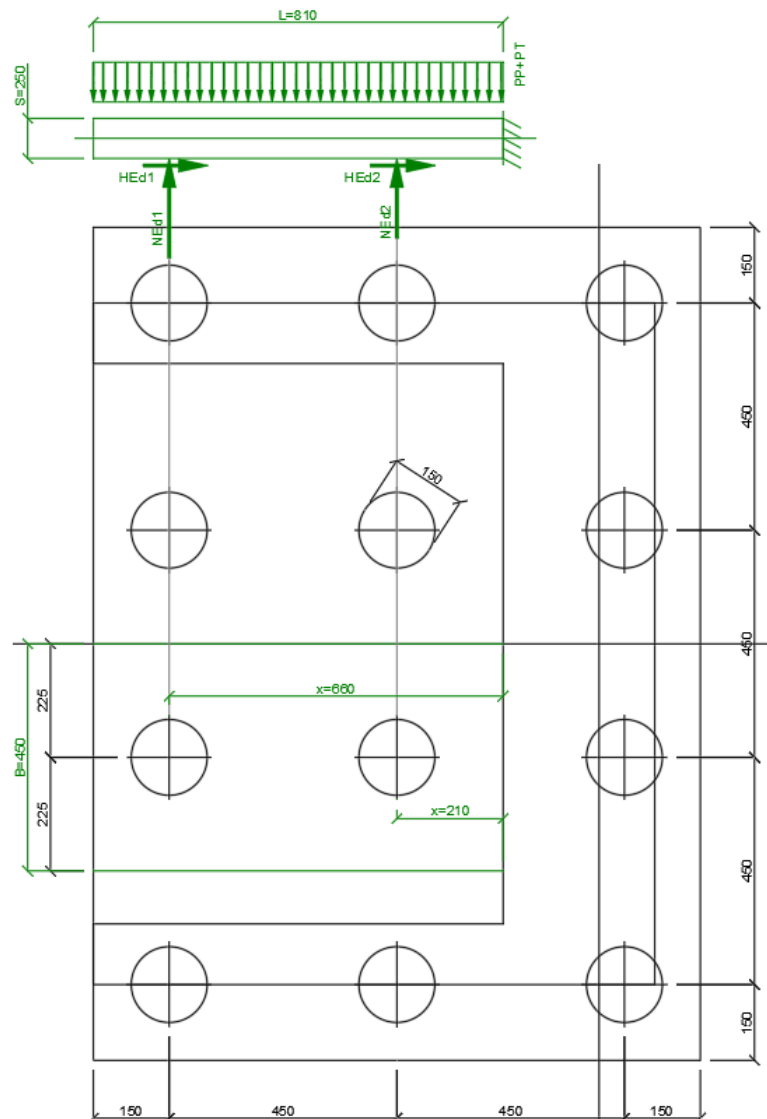
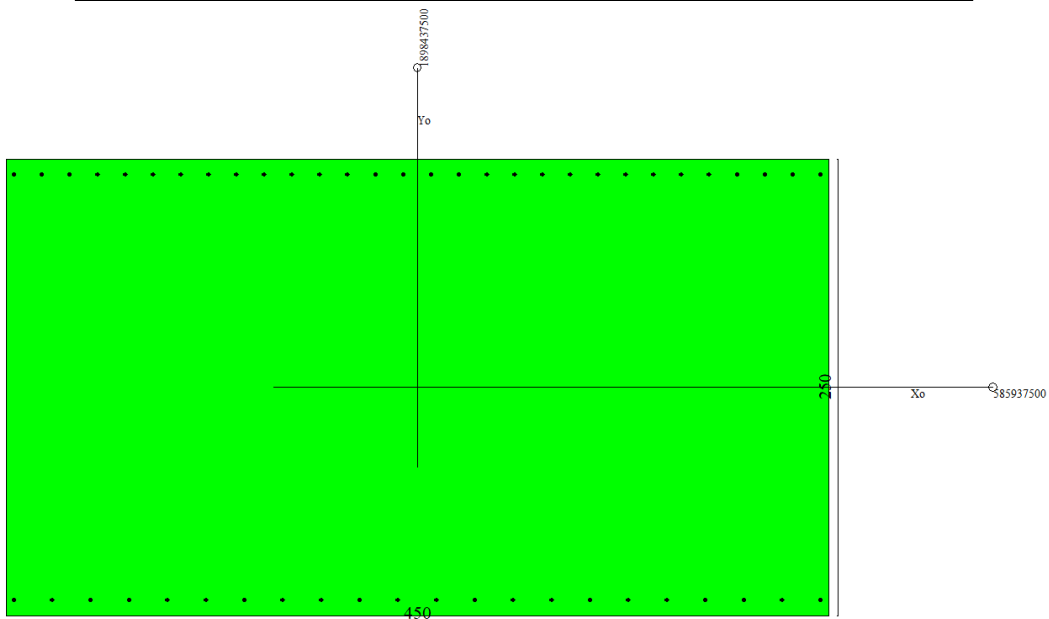


Figura 36 – Schema delle verifiche a flessione del plinto per il palo più caricato

VI15 da km 22+780,80 a km 23+265,80:
Relazione di calcolo Spalla S2

COMMESSA	LOTTO	FASE	ENTE	TIPO DOC	OPERA 7 DISCIPLINA			PROGR	REV	FOGLIO
LI0B	02	E	ZZ	CL	VI	15	04	002	B	142

NOME: PALO 2-6, 3-7			CALCOLO MOMENTI PLINTO			
HT (m)	B (m)	S (m)	PP (kN/m)	PT (kN/m)	L (m)	
8.00	4.50	2.50	281.3	720.0	8.10	
	x (m)		SLU	SLV	SLE RA	SLE QP
Palo 2	6.60	N _{Ed1} (kN)	3675.024	2429.876	2587.241	2749.028
Palo 6	2.10	N _{Ed2} (kN)	5470.439	3997.098	3859.011	3603.917
		H _{Ed1} =H _{Ed2} (kN)	982.2621	1735.844	660.1634	544.9167
		M _{Ed} (kNm)	-10914	-6245	-6841	-6453
	x (m)		SLU	SLV	SLE RA	SLE QP
Palo 3	6.60	N _{Ed1} (kN)	3618.476	2790.337	2549.537	2749.028
Palo 7	2.10	N _{Ed2} (kN)	5561.728	4301.069	3942.656	3603.917
		H _{Ed1} =H _{Ed2} (kN)	982	1736	660	545
		M _{Ed} (kNm)	-11096	-3228	-6914	-6453



Dati

Nome sezione: SPALLA S2
 Tipo sezione: Rettangolare
 Base: 450,0 [cm]
 Altezza: 250,0 [cm]

Caratteristiche geometriche

Area sezione: 112500,00 [cmq]
 Inerzia in direzione X: 1898437500,0 [cm⁴]
 Inerzia in direzione Y: 585937500,0 [cm⁴]

LINEA PESCARA – BARI

**RADDOPPIO DELLA TRATTA FERROVIARIA TERMOLI-LESINA
LOTTO 2 e 3 – RADDOPPIO TERMOLI - RIPALTA**

VI15 da km 22+780,80 a km 23+265,80: Relazione di calcolo Spalla S2	COMMESSA	LOTTO	FASE	ENTE	TIPO DOC	OPERA 7 DISCIPLINA			PROGR	REV	FOGLIO
	LI0B	02	E	ZZ	CL	VI	15	04	002	B	143

Inerzia in direzione XY

0,0 [cm⁴]

Ascissa baricentro sezione

X_G = 225,00 [cm]

Ordinata baricentro sezione

Y_G = 125,00 [cm]

Elenco ferri

Simbologia adottata

Posizione riferita all'origine

N° numero d'ordine

X Ascissa posizione ferro espresso in [cm]

Y Ordinata posizione ferro espresso in [cm]

d Diametro ferro espresso in [mm]

ω Area del ferro espresso in [cm²]

N°	X	Y	d	ω
1	445,80	242,80	24	4,52
2	435,76	242,80	24	4,52
3	425,73	242,80	24	4,52
4	415,69	242,80	24	4,52
5	405,65	242,80	24	4,52
6	395,62	242,80	24	4,52
7	385,58	242,80	24	4,52
8	375,55	242,80	24	4,52
9	365,51	242,80	24	4,52
10	355,47	242,80	24	4,52
11	345,44	242,80	24	4,52
12	335,40	242,80	24	4,52
13	325,36	242,80	24	4,52
14	315,33	242,80	24	4,52
15	305,29	242,80	24	4,52
16	295,25	242,80	24	4,52
17	285,22	242,80	24	4,52
18	275,18	242,80	24	4,52
19	265,15	242,80	24	4,52
20	255,11	242,80	24	4,52
21	245,07	242,80	24	4,52
22	235,04	242,80	24	4,52
23	225,00	242,80	24	4,52
24	214,96	242,80	24	4,52
25	204,93	242,80	24	4,52
26	194,89	242,80	24	4,52
27	184,85	242,80	24	4,52
28	174,82	242,80	24	4,52
29	164,78	242,80	24	4,52
30	154,75	242,80	24	4,52
31	144,71	242,80	24	4,52
32	134,67	242,80	24	4,52
33	124,64	242,80	24	4,52
34	114,60	242,80	24	4,52
35	104,56	242,80	24	4,52
36	94,53	242,80	24	4,52
37	84,49	242,80	24	4,52
38	74,45	242,80	24	4,52
39	64,42	242,80	24	4,52
40	54,38	242,80	24	4,52
41	44,35	242,80	24	4,52
42	34,31	242,80	24	4,52
43	24,27	242,80	24	4,52
44	14,24	242,80	24	4,52
45	4,20	242,80	24	4,52
46	4,20	8,50	24	4,52

MANDATARIA 		MANDANTI 		LINEA PESCARA – BARI RADDOPPIO DELLA TRATTA FERROVIARIA TERMOLI-LESINA LOTTO 2 e 3 – RADDOPPIO TERMOLI - RIPALTA										
VI15 da km 22+780,80 a km 23+265,80: Relazione di calcolo Spalla S2				COMMESSA	LOTTO	FASE	ENTE	TIPO DOC	OPERA 7 DISCIPLINA			PROGR	REV	FOGLIO
				LI0B	02	E	ZZ	CL	VI	15	04	002	B	144

47	25,23	8,50	24	4,52
48	46,26	8,50	24	4,52
49	67,29	8,50	24	4,52
50	88,31	8,50	24	4,52
51	109,34	8,50	24	4,52
52	130,37	8,50	24	4,52
53	151,40	8,50	24	4,52
54	172,43	8,50	24	4,52
55	193,46	8,50	24	4,52
56	214,49	8,50	24	4,52
57	235,51	8,50	24	4,52
58	256,54	8,50	24	4,52
59	277,57	8,50	24	4,52
60	298,60	8,50	24	4,52
61	319,63	8,50	24	4,52
62	340,66	8,50	24	4,52
63	361,69	8,50	24	4,52
64	382,71	8,50	24	4,52
65	403,74	8,50	24	4,52
66	424,77	8,50	24	4,52
67	445,80	8,50	24	4,52

Materiale impiegato : Calcestruzzo armato

Caratteristiche calcestruzzo

Resistenza caratteristica calcestruzzo	30,000	[MPa]
Coeff. omogeneizzazione acciaio/calcestruzzo	15,00	
Coeff. omogeneizzazione calcestruzzo teso/compresso	1,00	
Forma diagramma tensione-deformazione - PARABOLA-RETTANGOLO		

Caratteristiche acciaio per calcestruzzo

Tensione ammissibile acciaio	450,000	[MPa]
Tensione snervamento acciaio	450,000	[MPa]
Modulo elastico E	210000,000	[MPa]
Fattore di incrudimento acciaio	1,00	

Combinazioni

Simbologia adottata

N°	numero d'ordine della combinazione
N	sforzio normale espresso in[kN]
M _Y	momento lungo Y espresso in [kNm]
M _X	momento lungo X espresso in [kNm]
M _t	momento torcente espresso in [kNm]
T _Y	taglio lungo Y espresso in [kN]
T _X	taglio lungo X espresso in [kN]
VD	verifica di dominio
VT	verifica tensionale (SLER - Combinazione rara, SLER - Combinazione frequente, SLEQP - Combinazione quasi permanente, TAMM - Verifica a tensioni ammissibili)

N°	N	M _Y	M _X	M _t	T _Y	T _X	VD	VT
1	0,0000	-10914,1400	0,0000	0,0000	0,0000	0,0000	SI	NO
2	0,0000	-11095,6500	0,0000	0,0000	0,0000	0,0000	SI	NO
3	0,0000	-6245,1100	0,0000	0,0000	0,0000	0,0000	SI	NO
4	0,0000	-3227,7300	0,0000	0,0000	0,0000	0,0000	SI	NO
5	0,0000	-6841,0900	0,0000	0,0000	0,0000	0,0000	NO	SLER
6	0,0000	-6914,2800	0,0000	0,0000	0,0000	0,0000	NO	SLER
7	0,0000	-6453,0500	0,0000	0,0000	0,0000	0,0000	NO	SLEQP
8	0,0000	-6453,0500	0,0000	0,0000	0,0000	0,0000	NO	SLEQP

MANDATARIA 		MANDANTI 		LINEA PESCARA – BARI RADDOPPIO DELLA TRATTA FERROVIARIA TERMOLI-LESINA LOTTO 2 e 3 – RADDOPPIO TERMOLI - RIPALTA										
VI15 da km 22+780,80 a km 23+265,80: Relazione di calcolo Spalla S2				COMMESSA	LOTTO	FASE	ENTE	TIPO DOC	OPERA 7 DISCIPLINA			PROGR	REV	FOGLIO
				LI0B	02	E	ZZ	CL	VI	15	04	002	B	145

Risultati analisi

Caratteristiche asse neutro

Simbologia adottata

N° numero d'ordine della combinazione
 Xc posizione asse neutro espresso in [cm]
 α inclinazione asse neutro rispetto all'orizzontale, espressa in [°]
 (xi; yi) - (xf; yf) Punti di intersezione dell'asse neutro con il perimetro della sezione, espressi in [cm]

N°	Xc	α	(xi; yi)	(xf; yf)
5	48,66	0,00	(450,00; 48,66)	(0,00; 48,66)
6	48,66	0,00	(450,00; 48,66)	(0,00; 48,66)
7	48,66	0,00	(450,00; 48,66)	(0,00; 48,66)
8	48,66	0,00	(450,00; 48,66)	(0,00; 48,66)

Risultati tensionali

Simbologia adottata

N° numero d'ordine della combinazione
 σ_{c-max} Tensione massima nel calcestruzzo espresso in [MPa]
 σ_{c-min} Tensione minima nel calcestruzzo espresso in [MPa]
 σ_{f-max} Tensione massima nel ferro espresso in [MPa]
 σ_{f-min} Tensione minima nel ferro espresso in [MPa]
 τ_c Tensione tangenziale nel calcestruzzo espresso in [MPa]

N°	σ_{c-max}	σ_{c-min}	τ_c	σ_{f-max}	σ_{f-min}
5	2,470	0,000	0,000	30,579	-147,804
6	2,496	0,000	0,000	30,906	-149,386
7	2,330	0,000	0,000	28,845	-139,421
8	2,330	0,000	0,000	28,845	-139,421

Sollecitazioni ultime

Simbologia adottata

N° numero d'ordine della combinazione
 N_u Sforzo normale ultimo, espresso in [kN]
 M_{Xu} Momento ultimo in direzione X, espresso in [kNm]
 M_{Yu} Momento ultimo in direzione Y, espresso in [kNm]
 FS Fattore di sicurezza

Combinazione n° 1

N_u	M_{Xu}	M_{Yu}	FS
0,0000	0,0000	-18681,2657	1,71

Combinazione n° 2

N_u	M_{Xu}	M_{Yu}	FS
0,0000	0,0000	-18681,2657	1,68

Combinazione n° 3

N_u	M_{Xu}	M_{Yu}	FS
0,0000	0,0000	-18681,2657	2,99

Combinazione n° 4

N_u	M_{Xu}	M_{Yu}	FS
0,0000	0,0000	-18681,2657	5,79

<p>MANDATARIA</p>  <p>MANDANTI</p> 	<p>LINEA PESCARA – BARI</p> <p>RADDOPPIO DELLA TRATTA FERROVIARIA TERMOLI-LESINA</p> <p>LOTTO 2 e 3 – RADDOPPIO TERMOLI - RIPALTA</p>																						
<p>VI15 da km 22+780,80 a km 23+265,80:</p> <p>Relazione di calcolo Spalla S2</p>	<table border="1" style="width: 100%; text-align: center;"> <tr> <th>COMMESSA</th> <th>LOTTO</th> <th>FASE</th> <th>ENTE</th> <th>TIPO DOC</th> <th colspan="3">OPERA 7 DISCIPLINA</th> <th>PROGR</th> <th>REV</th> <th>FOGLIO</th> </tr> <tr> <td>LI0B</td> <td>02</td> <td>E</td> <td>ZZ</td> <td>CL</td> <td>VI</td> <td>15</td> <td>04</td> <td>002</td> <td>B</td> <td>146</td> </tr> </table>	COMMESSA	LOTTO	FASE	ENTE	TIPO DOC	OPERA 7 DISCIPLINA			PROGR	REV	FOGLIO	LI0B	02	E	ZZ	CL	VI	15	04	002	B	146
COMMESSA	LOTTO	FASE	ENTE	TIPO DOC	OPERA 7 DISCIPLINA			PROGR	REV	FOGLIO													
LI0B	02	E	ZZ	CL	VI	15	04	002	B	146													

Risultati fessurazione

Simbologia adottata

N°	numero d'ordine della combinazione
M _x	Momento di prima fessurazione in direzione X, espresso in [kNm]
M _y	Momento di prima fessurazione in direzione Y, espresso in [kNm]
σ _t	Tensione nell'acciaio, espressa in [MPa]
σ _c	Tensione nel calcestruzzo, espressa in [MPa]
A _{eff}	Area efficace a trazione, espressa in [cmq]
ε	Deformazione media acciaio teso, espressa in [‰]
S _{rm}	Distanza media tra le fessure, espresso in [mm]
w	Ampiezza delle fessure, espressa in [mm]

N°	M _x	M _y	σ _t	σ _c	A _{eff}	ε	S _{rm}	w
5	0,0000	-9495,5139	-205,154	-14,184	11340,00	0,0000	0	0,0000
6	0,0000	-9495,5139	-205,154	-14,184	11340,00	0,0000	0	0,0000
7	0,0000	-9495,5139	-205,154	-14,184	11340,00	0,0000	0	0,0000
8	0,0000	-9495,5139	-205,154	-14,184	11340,00	0,0000	0	0,0000

Inviluppo verifiche tensionali

Simbologia adottata

TC	Tipo combinazione
scc	tensione di compressione nel cls espresso in [MPa]
scl	tensione di compressione limite nel cls espresso in [MPa]
sct	tensione di trazione nel cls espresso in [MPa]
sctl	tensione di trazione limite nel cls espresso in [MPa]
sfc, sft	tensione minima e massima nell'armatura espressa in [MPa]
sf	tensione limite nell'armatura espressa in [MPa]
Comb.	Combinazione critica

Sezione n° 3 - SPALLA S2

TC	scc	scl	sct	sctl	sfc	sft	sfl	Comb.
SLEQP	2,330	9,960	-9,639	2,558	-139,421	28,845	450,000	7
SLER	2,496	13,695	-10,328	2,558	-149,386	30,906	337,500	6

Inviluppo verifiche fessurazione

Simbologia adottata

TC	Tipo combinazione
sf	tensione nell'acciaio espresso in [MPa]
sc	tensione nel cls espresso in [MPa]
A _{eff}	Area efficace a trazione espresso in [cmq]
Eps	Deformazione espressa in [‰]
sr	spaziatura tra le fessure espressa in [mm]
w, wl	ampiezza fessure e fessura limite espresse in [mm]
Comb.	Combinazione critica

Sezione n° 3 - SPALLA S2

TC	sf	sc	A _{eff}	Esp	sr	w	wl	Comb.
SLEQP	-205,154	-14,184	1112,092	0,0000	0,000	0,000	0,300	7
SLER	-205,154	-14,184	1112,092	0,0000	0,000	0,000	0,300	5

VI15 da km 22+780,80 a km 23+265,80:
Relazione di calcolo Spalla S2

COMMESSA	LOTTO	FASE	ENTE	TIPO DOC	OPERA 7 DISCIPLINA			PROGR	REV	FOGLIO
LI0B	02	E	ZZ	CL	VI	15	04	002	B	147

11.7.2 Verifiche a taglio-punzonamento (SLU, SLV)

La verifica a taglio-punzonamento viene condotta, in accordo con i paragrafi descrittivi iniziali, rispetto al palo di bordo più caricato (quello interno è più carico ma il cono di rottura è più grande) con la massima reazione verticale di $V_{Ed} = 5561.7$ kN, vedi schemi di calcolo seguenti.

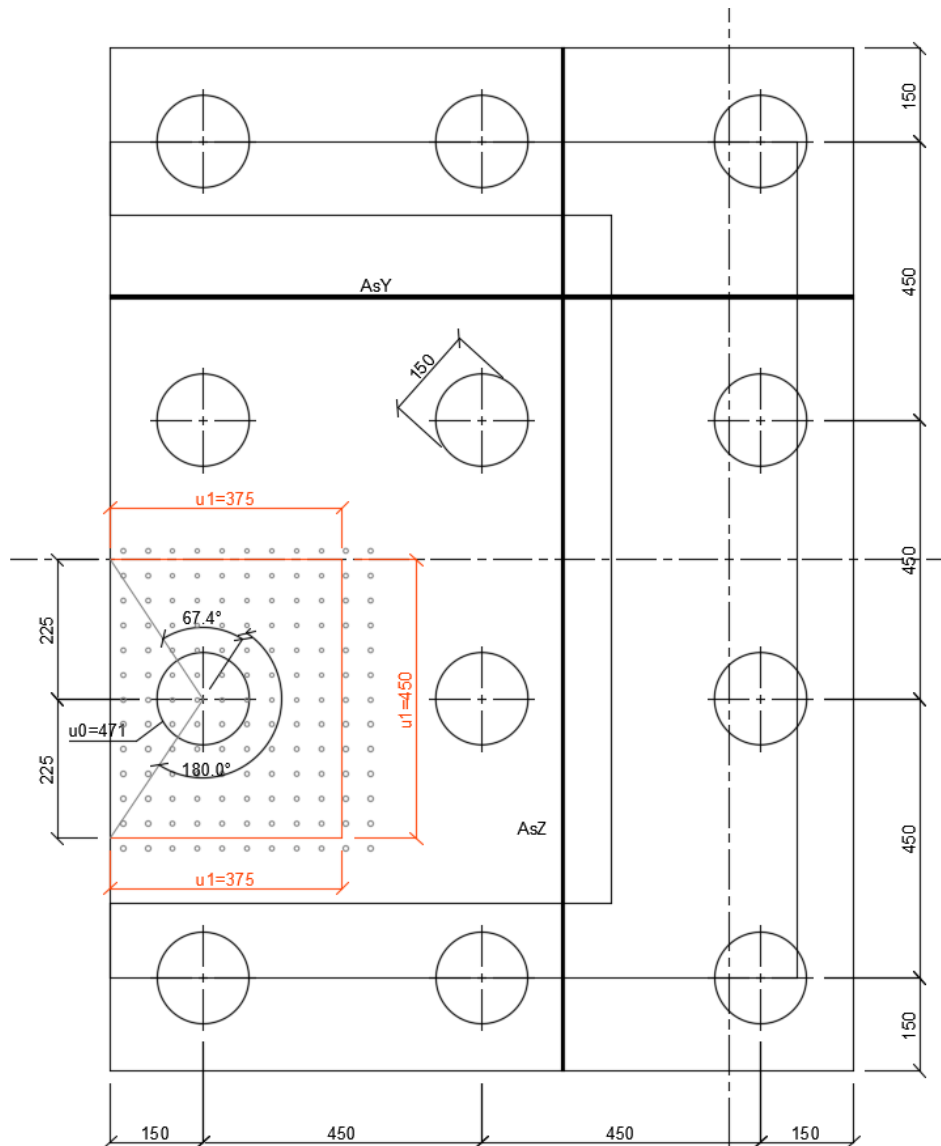


Figura 37 – Schema delle verifiche a taglio-punzonamento per il palo più caricato

VI15 da km 22+780,80 a km 23+265,80:
Relazione di calcolo Spalla S2

COMMESSA	LOTTO	FASE	ENTE	TIPO DOC	OPERA 7 DISCIPLINA			PROGR	REV	FOGLIO
LI0B	02	E	ZZ	CL	VI	15	04	002	B	148

NOME: SPALLA SP2		CALCOLO TAGLIO-PUNZONAMENTO - UNI ENV 1992-1-1: 2005							Rev. 10				
DATI SEZIONE E ARMATURE						AZIONE CALCOLO		CALCESTRUZZO					
	d	A _c	A _s	ρ _l	N _{Ed}	σ _{cp}	V _{Ed}	β	f _{ck}	f _{cd}	γ _c		
	(m)	(m ²)	(cm ²)	(%)	(kN)	(MPa)	(kN)		(MPa)	(MPa)			
direzione Y	2.41	2.41	45.22	0.19%	0.0	0.00	5561.7	1.40	24.90	14.11	1.50		
direzione Z	2.39	2.39	45.22	0.19%	0.0	0.00							
VERIFICA AREA CARICATA (§6.4.5)													
Verifiche a taglio-punzonamento eseguite sul perimetro u ₁ posto a 001d < 2d da bordo pilastro						c	u ₀	v	V _{Ed}	V _{Rd,max}	V _{Ed} /V _{Rd,max}		
						(m)	(m)		(MPa)	(MPa)			
						1.50	4.71	0.54	0.69	3.81	18.1% VERIFICA OK		
VERIFICA SENZA ARMATURE TRASVERSALI (§6.4.4)													
Angolo settore di verifica (°)	a	k ₁	k	d	ρ _l	V _{min}	σ _{cp}	V _{Ed}	V _{Rd,c}	V _{Ed} /V _{Rd,c}			
	(m)			(m)	(%)	(MPa)	(MPa)	(MPa)	(MPa)				
247	2.03	0.10	1.29	2.40	0.19%	0.26	0.00	0.27	0.61	44.2% VERIFICA OK			
A	Perimetro di verifica più esterno che richiede armatura a taglio										u ₁ (m)	r _{u1} (m)	
B	Primo perimetro di verifica entro il quale non è richiesta armatura a taglio										u _{out,ef} (m)	r _{min} (m)	
											da bordo pilastro a 001d	12.00	2.78
											oltre 000d da bordo pilastro	5.30	1.23
(*) Staffe / Pfoi: n° totale barre su una fila di passo radiale s _r estesa a u ₁ Ferri piegati: n° totale barre all'interno del campo radiale s _r =1,5d esteso a u ₁													

Non si è reso necessario l'inserimento di armatura trasversale per questa sezione.

MANDATARIA HUB ENGINEERING CONSORZIO STABILE SOCIETÀ CONSORTILE A R.L.	MANDANTI HYpro S.P.A.	LINEA PESCARA – BARI RADDOPPIO DELLA TRATTA FERROVIARIA TERMOLI-LESINA LOTTO 2 e 3 – RADDOPPIO TERMOLI - RIPALTA									
		VI15 da km 22+780,80 a km 23+265,80: Relazione di calcolo Spalla S2	COMMESSA LI0B	LOTTO 02	FASE E	ENTE ZZ	TIPO DOC CL	OPERA 7 DISCIPLINA VI 15 04			PROGR 002

11.8 VERIFICHE MURO PARAGHIAIA

Nel seguente paragrafo vengono riportate le sollecitazioni a quota estradosso elevazione per le combinazioni di carico allo SLU e le relative verifiche di resistenza a pressoflessione e taglio.

11.8.1 Verifica a pressoflessione SLU, SLV, SLE

La sezione è armata con un quantitativo di armatura longitudinale nel lato teso di $\Phi 16/10$ e nel lato compresso di $\Phi 14/20$ come rappresentato nella figura seguente per un totale di 15 ferri. I domini di resistenza M-N e i coefficienti di sicurezza a pressoflessione sono ottenuti attraverso il software SAX 10.0 distribuito da Aztec.

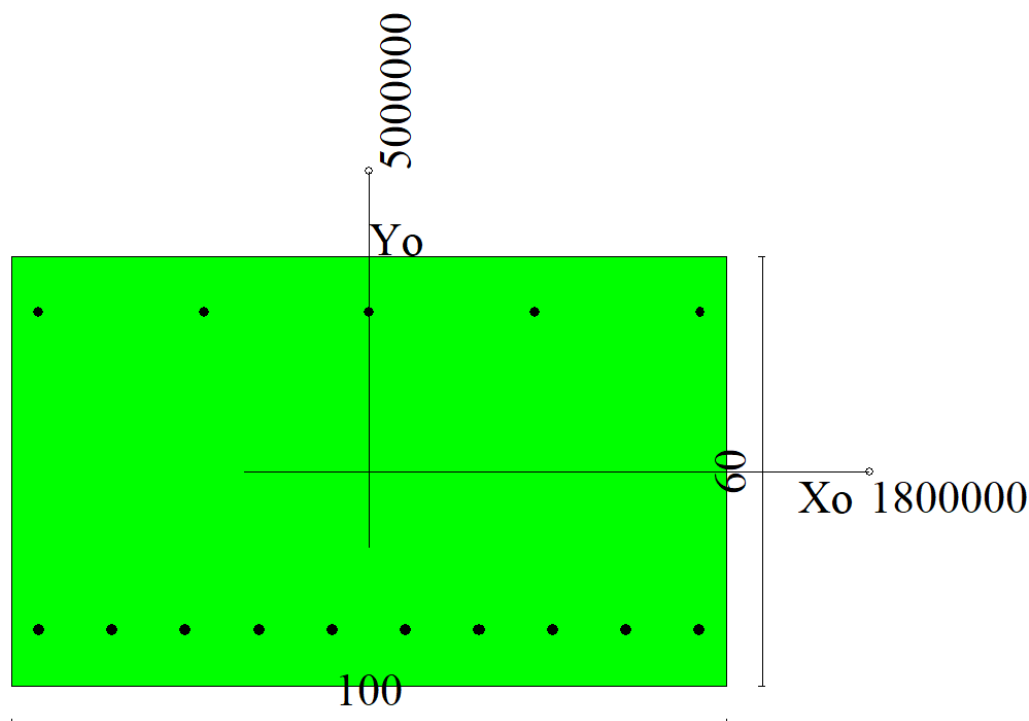


Figura 38 – Sezione trasversale muro paraghiaia e relativa armatura

Dati

Nome sezione: SEZIONE MURO PARAGHIAIA

Tipo sezione: Rettangolare
Base: 100,0 [cm]
Altezza: 60,0 [cm]

Caratteristiche geometriche

Area sezione: 6000,00 [cmq]
Inerzia in direzione X: 5000000,0 [cm⁴]
Inerzia in direzione Y: 1800000,0 [cm⁴]
Inerzia in direzione XY: 0,0 [cm⁴]
Ascissa baricentro sezione: $X_G = 50,00$ [cm]
Ordinata baricentro sezione: $Y_G = 30,00$ [cm]

MANDATARIA 		MANDANTI 		LINEA PESCARA – BARI RADDOPPIO DELLA TRATTA FERROVIARIA TERMOLI-LESINA LOTTO 2 e 3 – RADDOPPIO TERMOLI - RIPALTA										
VI15 da km 22+780,80 a km 23+265,80: Relazione di calcolo Spalla S2				COMMESSA	LOTTO	FASE	ENTE	TIPO DOC	OPERA 7 DISCIPLINA			PROGR	REV	FOGLIO
				LI0B	02	E	ZZ	CL	VI	15	04	002	B	150

Elenco ferri

Simbologia adottata

Posizione riferita all'origine

N°	numero d'ordine
X	Ascissa posizione ferro espresso in [cm]
Y	Ordinata posizione ferro espresso in [cm]
d	Diametro ferro espresso in [mm]
ω	Area del ferro espresso in [cmq]

N°	X	Y	d	ω
1	3,80	7,00	16	2,01
2	14,07	7,00	16	2,01
3	24,33	7,00	16	2,01
4	34,60	7,00	16	2,01
5	44,87	7,00	16	2,01
6	55,13	7,00	16	2,01
7	65,40	7,00	16	2,01
8	75,67	7,00	16	2,01
9	85,93	7,00	16	2,01
10	96,20	7,00	16	2,01
11	96,30	53,10	14	1,54
12	73,15	53,10	14	1,54
13	50,00	53,10	14	1,54
14	26,85	53,10	14	1,54
15	3,70	53,10	14	1,54

Materiale impiegato : Calcestruzzo armato

Caratteristiche calcestruzzo

Resistenza caratteristica calcestruzzo	40,000	[MPa]
Coeff. omogeneizzazione acciaio/calcestruzzo	15,00	
Coeff. omogeneizzazione calcestruzzo teso/compresso	1,00	
Forma diagramma tensione-deformazione - PARABOLA-RETTANGOLO		

Caratteristiche acciaio per calcestruzzo

Tensione ammissibile acciaio	450,000	[MPa]
Tensione snervamento acciaio	450,000	[MPa]
Modulo elastico E	210000,000	[MPa]
Fattore di incrudimento acciaio	1,00	

Combinazioni

Simbologia adottata

N°	numero d'ordine della combinazione
N	sfuerzo normale espresso in [kN]
M _Y	momento lungo Y espresso in [kNm]
M _X	momento lungo X espresso in [kNm]
M _t	momento torcente espresso in [kNm]
T _Y	taglio lungo Y espresso in [kN]
T _X	taglio lungo X espresso in [kN]
VD	verifica di dominio
VT	verifica tensionale (SLER - Combinazione rara, SLER - Combinazione frequente, SLEQP - Combinazione quasi permanente, TAMM - Verifica a tensioni ammissibili)

N°	N	M _Y	M _X	M _t	T _Y	T _X	VD	VT
1	62,7800	234,6100	0,0000	0,0000	0,0000	169,8300	SI	NO
2	46,5000	150,4400	0,0000	0,0000	0,0000	97,0600	SI	NO
3	62,7800	234,6100	0,0000	0,0000	0,0000	169,8300	SI	NO
4	46,5000	84,1700	0,0000	0,0000	0,0000	72,7700	SI	NO
5	53,0400	74,2000	0,0000	0,0000	0,0000	60,1800	SI	NO

MANDATARIA 		MANDANTI 		LINEA PESCARA – BARI RADDOPPIO DELLA TRATTA FERROVIARIA TERMOLI-LESINA LOTTO 2 e 3 – RADDOPPIO TERMOLI - RIPALTA										
VI15 da km 22+780,80 a km 23+265,80: Relazione di calcolo Spalla S2				COMMESSA	LOTTO	FASE	ENTE	TIPO DOC	OPERA 7 DISCIPLINA			PROGR	REV	FOGLIO
				LI0B	02	E	ZZ	CL	VI	15	04	002	B	151

6	39,9600	74,2000	0,0000	0,0000	0,0000	60,1800	SI	NO
7	48,4600	116,4000	0,0000	0,0000	0,0000	87,4100	SI	NO
8	39,9600	74,2000	0,0000	0,0000	0,0000	60,1800	SI	NO
9	46,5000	159,8600	0,0000	0,0000	0,0000	115,4500	NO	SLER
10	46,5000	56,1100	0,0000	0,0000	0,0000	48,5100	NO	SLER
11	46,5000	159,8600	0,0000	0,0000	0,0000	115,4500	NO	SLER
12	46,5000	56,1100	0,0000	0,0000	0,0000	48,5100	NO	SLER
13	46,5000	56,1100	0,0000	0,0000	0,0000	48,5100	NO	SLEQP
14	46,5000	0,0000	0,0000	0,0000	0,0000	0,0000	NO	SLEQP
15	46,5000	56,1100	0,0000	0,0000	0,0000	48,5100	NO	SLEQP
16	46,5000	0,0000	0,0000	0,0000	0,0000	0,0000	NO	SLEQP

Risultati analisi

Caratteristiche asse neutro

Simbologia adottata

N°	numero d'ordine della combinazione
Xc	posizione asse neutro espresso in [cm]
α	inclinazione asse neutro rispetto all'orizzontale, espressa in [°]
(xi; yi) - (xf; yf)	Punti di intersezione dell'asse neutro con il perimetro della sezione, espressi in [cm]

N°	Xc	α	(xi; yi)	(xf; yf)
9	15,50	0,00	(0,00; 44,50)	(100,00; 44,50)
10	17,24	0,00	(0,00; 42,76)	(100,00; 42,76)
11	15,50	0,00	(0,00; 44,50)	(100,00; 44,50)
12	17,24	0,00	(0,00; 42,76)	(100,00; 42,76)
13	17,24	0,00	(0,00; 42,76)	(100,00; 42,76)
14	503,37	0,00	(0,00; -443,37)	(100,00; -443,37)
15	17,24	0,00	(0,00; 42,76)	(100,00; 42,76)
16	503,37	0,00	(0,00; -443,37)	(100,00; -443,37)

Risultati tensionali

Simbologia adottata

N°	numero d'ordine della combinazione
σ_{c-max}	Tensione massima nel calcestruzzo espresso in [MPa]
σ_{c-min}	Tensione minima nel calcestruzzo espresso in [MPa]
σ_{t-max}	Tensione massima nel ferro espresso in [MPa]
σ_{t-min}	Tensione minima nel ferro espresso in [MPa]
τ_c	Tensione tangenziale nel calcestruzzo espresso in [MPa]

N°	σ_{c-max}	σ_{c-min}	τ_c	σ_{t-max}	σ_{t-min}
9	4,262	0,000	0,000	35,466	-154,701
10	1,521	0,000	0,000	13,683	-47,316
11	4,262	0,000	0,000	35,466	-154,701
12	1,521	0,000	0,000	13,683	-47,316
13	1,521	0,000	0,000	13,683	-47,316
14	0,077	0,000	0,000	1,142	1,036
15	1,521	0,000	0,000	13,683	-47,316
16	0,077	0,000	0,000	1,142	1,036

Sollecitazioni ultime

Simbologia adottata

N°	numero d'ordine della combinazione
N _u	Sforzo normale ultimo, espresso in [kN]
M _{Xu}	Momento ultimo in direzione X, espresso in [kNm]
M _{Yu}	Momento ultimo in direzione Y, espresso in [kNm]
FS	Fattore di sicurezza

LINEA PESCARA – BARI

**RADDOPPIO DELLA TRATTA FERROVIARIA TERMOLI-LESINA
LOTTO 2 e 3 – RADDOPPIO TERMOLI - RIPALTA**

**VI15 da km 22+780,80 a km 23+265,80:
Relazione di calcolo Spalla S2**

COMMESSA	LOTTO	FASE	ENTE	TIPO DOC	OPERA 7 DISCIPLINA			PROGR	REV	FOGLIO
LI0B	02	E	ZZ	CL	VI	15	04	002	B	152

Combinazione n° 1

N_u	M_{Xu}	M_{Yu}	FS
<u>113,6621</u>	0,0000	<u>424,7575</u>	1,81
<u>10845,3853</u>	0,0000	234,6100	172,75
62,7800	0,0000	<u>412,0092</u>	1,76

Combinazione n° 2

N_u	M_{Xu}	M_{Yu}	FS
<u>132,7625</u>	0,0000	<u>429,5223</u>	2,86
<u>11236,2645</u>	0,0000	150,4400	241,64
46,5000	0,0000	<u>407,9137</u>	2,71

Combinazione n° 3

N_u	M_{Xu}	M_{Yu}	FS
<u>113,6621</u>	0,0000	<u>424,7575</u>	1,81
<u>10845,3853</u>	0,0000	234,6100	172,75
62,7800	0,0000	<u>412,0092</u>	1,76

Combinazione n° 4

N_u	M_{Xu}	M_{Yu}	FS
<u>253,8251</u>	0,0000	<u>459,4507</u>	5,46
<u>11537,1828</u>	0,0000	84,1700	248,11
46,5000	0,0000	<u>407,9136</u>	4,85

Combinazione n° 5

N_u	M_{Xu}	M_{Yu}	FS
<u>344,1596</u>	0,0000	<u>481,4600</u>	6,49
<u>11581,8526</u>	0,0000	74,2000	218,36
53,0400	0,0000	<u>409,5599</u>	5,52

Combinazione n° 6

N_u	M_{Xu}	M_{Yu}	FS
<u>246,4617</u>	0,0000	<u>457,6441</u>	6,17
<u>11581,8571</u>	0,0000	74,2000	289,84
39,9600	0,0000	<u>406,2661</u>	5,48

Combinazione n° 7

N_u	M_{Xu}	M_{Yu}	FS
<u>184,1312</u>	0,0000	<u>442,2797</u>	3,80
<u>11391,6579</u>	0,0000	116,4000	235,07
48,4600	0,0000	<u>408,4072</u>	3,51

Combinazione n° 8

N_u	M_{Xu}	M_{Yu}	FS
<u>246,4617</u>	0,0000	<u>457,6441</u>	6,17
<u>11581,8571</u>	0,0000	74,2000	289,84
39,9600	0,0000	<u>406,2661</u>	5,48

Risultati fessurazione

Simbologia adottata

N° numero d'ordine della combinazione

**VI15 da km 22+780,80 a km 23+265,80:
Relazione di calcolo Spalla S2**

COMMESSA	LOTTO	FASE	ENTE	TIPO DOC	OPERA 7 DISCIPLINA			PROGR	REV	FOGLIO
LI0B	02	E	ZZ	CL	VI	15	04	002	B	153

M_x Momento di prima fessurazione in direzione X, espresso in [kNm]
M_y Momento di prima fessurazione in direzione Y, espresso in [kNm]
σ_f Tensione nell'acciaio, espressa in [MPa]
σ_c Tensione nel calcestruzzo, espressa in [MPa]
A_{eff} Area efficace a trazione, espressa in [cm²]
ε Deformazione media acciaio teso, espressa in [‰]
S_{rm} Distanza media tra le fessure, espresso in [mm]
w Ampiezza delle fessure, espressa in [mm]

N°	M _x	M _y	σ _f	σ _c	A _{eff}	ε	S _{rm}	w
9	0,0000	155,3483	-150,026	-11,870	1900,00	0,0390	204	0,1354
10	0,0000	155,3436	-150,021	-11,870	1900,00	0,0000	0	0,0000
11	0,0000	155,3483	-150,026	-11,870	1900,00	0,0390	204	0,1354
12	0,0000	155,3436	-150,021	-11,870	1900,00	0,0000	0	0,0000
13	0,0000	155,3436	-150,021	-11,870	1900,00	0,0000	0	0,0000
14	0,0000	0,0000	1,036	0,068	0,00	0,0000	0	0,0000
15	0,0000	155,3436	-150,021	-11,870	1900,00	0,0000	0	0,0000
16	0,0000	0,0000	1,036	0,068	0,00	0,0000	0	0,0000

Inviluppo verifiche tensionali

Simbologia adottata

TC Tipo combinazione
scc tensione di compressione nel cls espresso in [MPa]
scl tensione di compressione limite nel cls espresso in [MPa]
sct tensione di trazione nel cls espresso in [MPa]
sctl tensione di trazione limite nel cls espresso in [MPa]
sfc, sft tensione minima e massima nell'armatura espressa in [MPa]
sf tensione limite nell'armatura espressa in [MPa]
Comb. Combinazione critica

Sezione n° 1 - SEZIONE MURO PARAGHIAIA

TC	scc	scl	sct	sctl	sfc	sft	sfl	Comb.
SLEQP	1,521	13,280	-3,772	3,099	-47,316	13,683	450,000	13
SLER	4,262	18,260	-12,238	3,099	-154,701	35,466	337,500	9

Inviluppo verifiche fessurazione

Simbologia adottata

TC Tipo combinazione
sf tensione nell'acciaio espresso in [MPa]
sc tensione nel cls espresso in [MPa]
A_{eff} Area efficace a trazione espresso in [cm²]
Eps Deformazione espressa in [‰]
sr spaziatura tra le fessure espressa in [mm]
w, wl ampiezza fessure e fessura limite espresse in [mm]
Comb. Combinazione critica

Sezione n° 1 - SEZIONE MURO PARAGHIAIA

TC	sf	sc	A _{eff}	Esp	sr	w	wl	Comb.
SLEQP	-150,021	-11,870	186,329	0,0000	0,000	0,000	0,200	13
SLER	-150,026	-11,870	186,329	0,0390	204,132	0,135	0,200	9

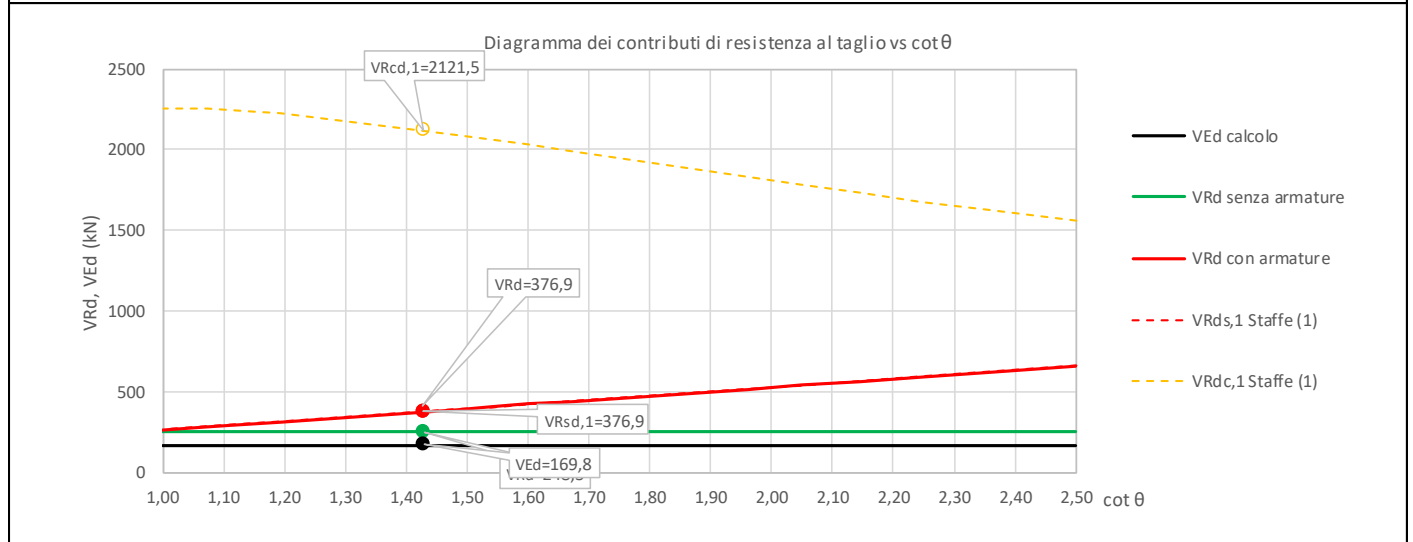
MANDATARIA HUB ENGINEERING <small>CONSORZIO STABILE SOCIETÀ CONSORTILE A R.L.</small>	MANDANTI HYpro S.P.A.	LINEA PESCARA – BARI RADDOPPIO DELLA TRATTA FERROVIARIA TERMOLI-LESINA LOTTO 2 e 3 – RADDOPPIO TERMOLI - RIPALTA									
		VI15 da km 22+780,80 a km 23+265,80: Relazione di calcolo Spalla S2	COMMESSA LI0B	LOTTO 02	FASE E	ENTE ZZ	TIPO DOC CL	OPERA 7 DISCIPLINA VI 15 04			PROGR 002

11.8.2 Verifica a taglio SLU, SLV

Secondo le sollecitazioni a quota spiccato muro paraghiaia (estradosso elevazione) per le combinazioni di carico allo SLU riportate nel capitolo precedente, si riporta la relativa verifica di resistenza a taglio.

Il valore dei tagli resistenti è stato, invece, ricavato attraverso un apposito foglio di calcolo realizzato in accordo con il D.M. 14/01/2008 p.to 4.1.2.1.3.2.

NOME: MURO PARAGHIAIA		CALCOLO TAGLIO RESISTENTE SEZIONE RETTANGOLARE (NTC 2008)							Rev. 10.1	
DATI SEZIONE				AZIONI CALCOLO			CALCESTRUZZO			
b_w	d	θ	$\cotg \theta$	N_{Ed}	V_{Ed}	M_{Ed}	f_{ck}	f_{cd}	γ_c	
(m)	(m)	(°)		(kN)	(kN)	(kNm)	(MPa)	(MPa)		
1,00	0,53	35,00	1,43	-62,8	169,8	234,6	33,20	18,81	1,50	
				$1,00 \leq \cotg \theta \leq 2,50$						
VERIFICA ARMATURE LONGITUDINALI (§4.1.2.1.3.1)										
	f_{yd}	n	\emptyset	$A_{sl,\emptyset}$	A_{sl}					
	(MPa)		(mm)	(cm ²)	(cm ²)					
Barre B450C	391,3	10	16	2,01	20,11					
VERIFICA SENZA ARMATURE TRASVERSALI (§4.1.2.1.3.1)										
	A_{sl}	k_1	k	ρ_l (%)	v_{min}	σ_{cp}	α_c	V_{Rd}	V_{Ed}/V_{Rd}	
	(cm ²)			(%)	(MPa)	(MPa)		(kN)		
	20,11	0,15	1,61	0,38%	0,41	0,12	1,01	248,3	68,4%	VERIFICA OK



Non si è reso necessario l'inserimento di armatura trasversale per questa sezione.

MANDATARIA HUB ENGINEERING <small>CONSORZIO STABILE SOCIETÀ CONSORTILE & R.L.</small>		MANDANTI HYpro S.P.A.		LINEA PESCARA – BARI RADDOPPIO DELLA TRATTA FERROVIARIA TERMOLI-LESINA LOTTO 2 e 3 – RADDOPPIO TERMOLI - RIPALTA										
VI15 da km 22+780,80 a km 23+265,80: Relazione di calcolo Spalla S2				COMMESSA	LOTTO	FASE	ENTE	TIPO DOC	OPERA 7 DISCIPLINA			PROGR	REV	FOGLIO
				LI0B	02	E	ZZ	CL	VI	15	04	002	B	155

11.9 VERIFICHE MURO D'ALA

11.9.1 Verifica sezione superiore muro d'ala

Nel seguente paragrafo vengono riportate le sollecitazioni alla quota del ringrosso della sezione per le combinazioni di carico allo SLU e le relative verifiche di resistenza a pressoflessione e taglio.

11.9.1.1 Verifica a pressoflessione SLU, SLV, SLE

La sezione è armata con un quantitativo di armatura longitudinale nel lato teso di $\Phi 20/10$ e nel lato compresso di $\Phi 16/10$ come rappresentato nella figura seguente per un totale di 20 ferri. I domini di resistenza M-N e i coefficienti di sicurezza a pressoflessione sono ottenuti attraverso il software SAX 10.0 distribuito da Aztec.

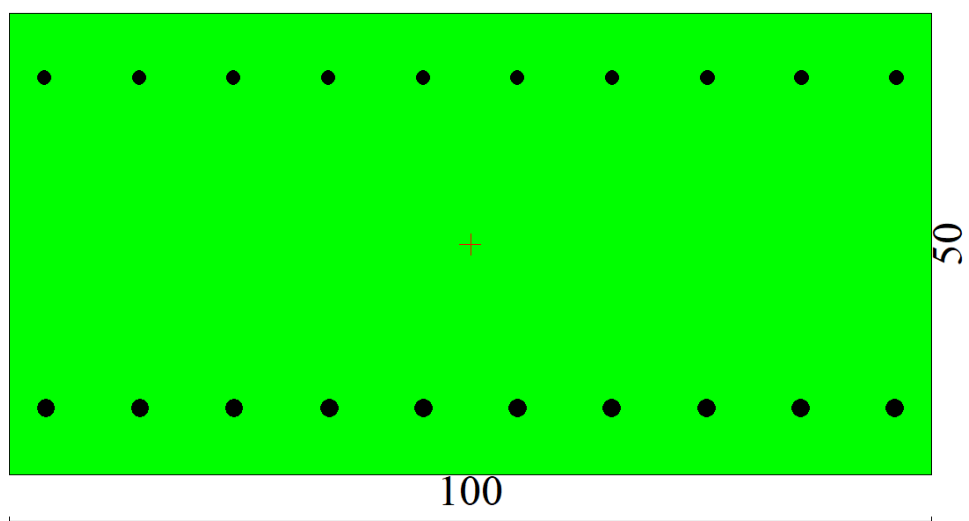


Figura 39 – Sezione trasversale muro d'ala e relativa armatura

Dati

Nome sezione: SEZIONE SUP MURO D'ALA SP2

Tipo sezione: Rettangolare
 Base: 100,0 [cm]
 Altezza: 50,0 [cm]

Caratteristiche geometriche

Area sezione: 5000,00 [cmq]
 Inerzia in direzione X: 4166666,7 [cm⁴]
 Inerzia in direzione Y: 1041666,7 [cm⁴]
 Inerzia in direzione XY: 0,0 [cm⁴]
 Ascissa baricentro sezione: $X_G = 50,00$ [cm]
 Ordinata baricentro sezione: $Y_G = 25,00$ [cm]

Elenco ferri

MANDATARIA 		MANDANTI 		LINEA PESCARA – BARI RADDOPPIO DELLA TRATTA FERROVIARIA TERMOLI-LESINA LOTTO 2 e 3 – RADDOPPIO TERMOLI - RIPALTA										
VI15 da km 22+780,80 a km 23+265,80: Relazione di calcolo Spalla S2				COMMESSA	LOTTO	FASE	ENTE	TIPO DOC	OPERA 7 DISCIPLINA			PROGR	REV	FOGLIO
				LI0B	02	E	ZZ	CL	VI	15	04	002	B	156

Simbologia adottata

Posizione riferita all'origine

N°	numero d'ordine
X	Ascissa posizione ferro espresso in [cm]
Y	Ordinata posizione ferro espresso in [cm]
d	Diametro ferro espresso in [mm]
ω	Area del ferro espresso in [cm ²]

N°	X	Y	d	ω
1	4,00	7,20	20	3,14
2	14,22	7,20	20	3,14
3	24,44	7,20	20	3,14
4	34,67	7,20	20	3,14
5	44,89	7,20	20	3,14
6	55,11	7,20	20	3,14
7	65,33	7,20	20	3,14
8	75,56	7,20	20	3,14
9	85,78	7,20	20	3,14
10	96,00	7,20	20	3,14
11	96,20	43,00	16	2,01
12	85,93	43,00	16	2,01
13	75,67	43,00	16	2,01
14	65,40	43,00	16	2,01
15	55,13	43,00	16	2,01
16	44,87	43,00	16	2,01
17	34,60	43,00	16	2,01
18	24,33	43,00	16	2,01
19	14,07	43,00	16	2,01
20	3,80	43,00	16	2,01

Materiale impiegato : Calcestruzzo armato

Caratteristiche calcestruzzo

Resistenza caratteristica calcestruzzo	40,000	[MPa]
Coeff. omogeneizzazione acciaio/calcestruzzo	15,00	
Coeff. omogeneizzazione calcestruzzo teso/compresso	1,00	
Forma diagramma tensione-deformazione - PARABOLA-RETTANGOLO		

Caratteristiche acciaio per calcestruzzo

Tensione ammissibile acciaio	450,000	[MPa]
Tensione snervamento acciaio	450,000	[MPa]
Modulo elastico E	205942,924	[MPa]
Fattore di incrudimento acciaio	1,00	

Combinazioni

Simbologia adottata

N°	numero d'ordine della combinazione
N	sfuerzo normale espresso in [kN]
M _y	momento lungo Y espresso in [kNm]
M _x	momento lungo X espresso in [kNm]
M _t	momento torcente espresso in [kNm]
T _y	taglio lungo Y espresso in [kN]
T _x	taglio lungo X espresso in [kN]
VD	verifica di dominio
VT	verifica tensionale (SLER - Combinazione rara, SLER - Combinazione frequente, SLEQP - Combinazione quasi permanente, TAMM - Verifica a tensioni ammissibili)

N°	N	M _y	M _x	M _t	T _y	T _x	VD	VT
1	97,8300	77,4000	0,0000	0,0000	0,0000	98,4400	SI	NO
2	97,8300	126,6500	0,0000	0,0000	0,0000	107,3900	SI	NO
3	97,8300	77,4000	0,0000	0,0000	0,0000	98,4400	SI	NO

LINEA PESCARA – BARI

**RADDOPPIO DELLA TRATTA FERROVIARIA TERMOLI-LESINA
LOTTO 2 e 3 – RADDOPPIO TERMOLI - RIPALTA**

VI15 da km 22+780,80 a km 23+265,80: Relazione di calcolo Spalla S2	COMMESSA	LOTTO	FASE	ENTE	TIPO DOC	OPERA 7 DISCIPLINA			PROGR	REV	FOGLIO
	LI0B	02	E	ZZ	CL	VI	15	04	002	B	157

4	97,8300	175,9000	0,0000	0,0000	0,0000	116,3500	SI	NO
5	77,3200	3,4800	0,0000	0,0000	0,0000	29,2700	SI	NO
6	63,1800	57,7900	0,0000	0,0000	0,0000	39,2200	SI	NO
7	68,1300	32,3600	0,0000	0,0000	0,0000	2,3200	SI	NO
8	72,3700	124,1200	0,0000	0,0000	0,0000	89,2800	SI	NO
9	70,2500	23,1800	0,0000	0,0000	0,0000	57,2000	NO	SLER
10	70,2500	132,6300	0,0000	0,0000	0,0000	77,1000	NO	SLER
11	70,2500	23,1800	0,0000	0,0000	0,0000	57,2000	NO	SLER
12	70,2500	132,6300	0,0000	0,0000	0,0000	77,1000	NO	SLER
13	70,2500	18,5200	0,0000	0,0000	0,0000	40,8200	NO	SLEQP
14	70,2500	73,2400	0,0000	0,0000	0,0000	50,7700	NO	SLEQP
15	70,2500	18,5200	0,0000	0,0000	0,0000	40,8200	NO	SLEQP
16	70,2500	73,2400	0,0000	0,0000	0,0000	50,7700	NO	SLEQP

Risultati analisi

Caratteristiche asse neutro

Simbologia adottata

N° numero d'ordine della combinazione
Xc posizione asse neutro espresso in [cm]
α inclinazione asse neutro rispetto all'orizzontale, espressa in [°]
(xi; yi) - (xf; yf) Punti di intersezione dell'asse neutro con il perimetro della sezione, espressi in [cm]

N°	Xc	α	(xi; yi)	(xf; yf)
9	22,83	0,00	(0,00; 27,17)	(100,00; 27,17)
10	15,95	0,00	(0,00; 34,05)	(100,00; 34,05)
11	22,83	0,00	(0,00; 27,17)	(100,00; 27,17)
12	15,95	0,00	(0,00; 34,05)	(100,00; 34,05)
13	25,38	0,00	(0,00; 24,62)	(100,00; 24,62)
14	16,99	0,00	(0,00; 33,01)	(100,00; 33,01)
15	25,38	0,00	(0,00; 24,62)	(100,00; 24,62)
16	16,99	0,00	(0,00; 33,01)	(100,00; 33,01)

Risultati tensionali

Simbologia adottata

N° numero d'ordine della combinazione
σ_{c-max} Tensione massima nel calcestruzzo espresso in [MPa]
σ_{c-min} Tensione minima nel calcestruzzo espresso in [MPa]
σ_{f-max} Tensione massima nel ferro espresso in [MPa]
σ_{f-min} Tensione minima nel ferro espresso in [MPa]
τ_c Tensione tangenziale nel calcestruzzo espresso in [MPa]

N°	σ _{c-max}	σ _{c-min}	τ _c	σ _{f-max}	σ _{f-min}
9	0,749	0,000	0,000	7,788	-9,830
10	4,036	0,000	0,000	33,978	-101,868
11	0,749	0,000	0,000	7,788	-9,830
12	4,036	0,000	0,000	33,978	-101,868
13	0,604	0,000	0,000	6,557	-6,217
14	2,263	0,000	0,000	19,957	-51,590
15	0,604	0,000	0,000	6,557	-6,217
16	2,263	0,000	0,000	19,957	-51,590

Sollecitazioni ultime

Simbologia adottata

N° numero d'ordine della combinazione
N_u Sforzo normale ultimo, espresso in [kN]

**VI15 da km 22+780,80 a km 23+265,80:
Relazione di calcolo Spalla S2**

COMMESSA	LOTTO	FASE	ENTE	TIPO DOC	OPERA 7 DISCIPLINA			PROGR	REV	FOGLIO
LI0B	02	E	ZZ	CL	VI	15	04	002	B	158

M_{Xu} Momento ultimo in direzione X, espresso in [kNm]
 M_{Yu} Momento ultimo in direzione Y, espresso in [kNm]
 FS Fattore di sicurezza

Combinazione n° 1

N_u	M_{Xu}	M_{Yu}	FS
<u>789,1537</u>	0,0000	<u>624,3534</u>	8,07
<u>10597,7672</u>	0,0000	77,4000	108,33
97,8300	0,0000	<u>500,6309</u>	6,47

Combinazione n° 2

N_u	M_{Xu}	M_{Yu}	FS
<u>434,0742</u>	0,0000	<u>561,9492</u>	4,44
<u>10325,5172</u>	0,0000	126,6500	105,55
97,8300	0,0000	<u>500,6309</u>	3,95

Combinazione n° 3

N_u	M_{Xu}	M_{Yu}	FS
<u>789,1537</u>	0,0000	<u>624,3534</u>	8,07
<u>10597,7672</u>	0,0000	77,4000	108,33
97,8300	0,0000	<u>500,6309</u>	6,47

Combinazione n° 4

N_u	M_{Xu}	M_{Yu}	FS
<u>298,9869</u>	0,0000	<u>537,5835</u>	3,06
<u>10049,1238</u>	0,0000	175,9000	102,72
97,8300	0,0000	<u>500,6308</u>	2,85

Combinazione n° 5

N_u	M_{Xu}	M_{Yu}	FS
<u>8777,9312</u>	0,0000	<u>395,0750</u>	113,53
<u>10998,0310</u>	0,0000	3,4800	142,24
77,3200	0,0000	<u>496,8169</u>	142,76

Combinazione n° 6

N_u	M_{Xu}	M_{Yu}	FS
<u>657,6058</u>	0,0000	<u>601,5043</u>	10,41
<u>10704,9436</u>	0,0000	57,7900	169,44
63,1800	0,0000	<u>494,1826</u>	8,55

Combinazione n° 7

N_u	M_{Xu}	M_{Yu}	FS
<u>1582,2171</u>	0,0000	<u>751,5125</u>	23,22
<u>10842,8535</u>	0,0000	32,3600	159,15
68,1300	0,0000	<u>495,1053</u>	15,30

Combinazione n° 8

N_u	M_{Xu}	M_{Yu}	FS
<u>315,1576</u>	0,0000	<u>540,5190</u>	4,35
<u>10339,6095</u>	0,0000	124,1200	142,87
72,3700	0,0000	<u>495,8953</u>	4,00

Risultati fessurazione

**VI15 da km 22+780,80 a km 23+265,80:
Relazione di calcolo Spalla S2**

COMMESSA	LOTTO	FASE	ENTE	TIPO DOC	OPERA 7 DISCIPLINA			PROGR	REV	FOGLIO
LI0B	02	E	ZZ	CL	VI	15	04	002	B	159

Simbologia adottata

N°	numero d'ordine della combinazione
M _X	Momento di prima fessurazione in direzione X, espresso in [kNm]
M _Y	Momento di prima fessurazione in direzione Y, espresso in [kNm]
σ _f	Tensione nell'acciaio, espressa in [MPa]
σ _c	Tensione nel calcestruzzo, espressa in [MPa]
A _{eff}	Area efficace a trazione, espressa in [cmq]
ε	Deformazione media acciaio teso, espressa in [‰]
S _{rm}	Distanza media tra le fessure, espresso in [mm]
w	Ampiezza delle fessure, espressa in [mm]

N°	M _X	M _Y	σ _f	σ _c	A _{eff}	ε	S _{rm}	w
9	0,0000	121,1427	-92,134	-7,797	1696,39	0,0000	0	0,0000
10	0,0000	121,1414	-92,133	-7,797	1696,39	0,0292	182	0,0903
11	0,0000	121,1427	-92,134	-7,797	1696,39	0,0000	0	0,0000
12	0,0000	121,1414	-92,133	-7,797	1696,39	0,0292	182	0,0903
13	0,0000	121,1468	-92,138	-7,797	1696,39	0,0000	0	0,0000
14	0,0000	121,1464	-92,137	-7,797	1696,39	0,0000	0	0,0000
15	0,0000	121,1468	-92,138	-7,797	1696,39	0,0000	0	0,0000
16	0,0000	121,1464	-92,137	-7,797	1696,39	0,0000	0	0,0000

Inviluppo verifiche tensionali

Simbologia adottata

TC	Tipo combinazione
scc	tensione di compressione nel cls espresso in [MPa]
scl	tensione di compressione limite nel cls espresso in [MPa]
sct	tensione di trazione nel cls espresso in [MPa]
sctl	tensione di trazione limite nel cls espresso in [MPa]
sfc, sft	tensione minima e massima nell'armatura espressa in [MPa]
sf	tensione limite nell'armatura espressa in [MPa]
Comb.	Combinazione critica

Sezione n° 2 - SEZIONE SUP MURO D'ALA SP2

TC	scc	scl	sct	sctl	sfc	sft	sfl	Comb.
SLEQP	2,263	14,940	-4,399	3,099	-51,590	19,957	450,000	14
SLER	4,036	18,260	-8,613	3,099	-101,868	33,978	337,500	10

Inviluppo verifiche fessurazione

Simbologia adottata

TC	Tipo combinazione
sf	tensione nell'acciaio espresso in [MPa]
sc	tensione nel cls espresso in [MPa]
A _{eff}	Area efficace a trazione espresso in [cmq]
Eps	Deformazione espressa in [‰]
sr	spaziatura tra le fessure espressa in [mm]
w, wl	ampiezza fessure e fessura limite espresse in [mm]
Comb.	Combinazione critica

Sezione n° 2 - SEZIONE SUP MURO D'ALA SP2

TC	sf	sc	A _{eff}	Eps	sr	w	wl	Comb.
SLEQP	-92,138	-7,797	166,362	0,0000	0,000	0,000	0,200	13
SLER	-92,133	-7,797	166,361	0,0292	181,642	0,090	0,200	10

**VI15 da km 22+780,80 a km 23+265,80:
Relazione di calcolo Spalla S2**

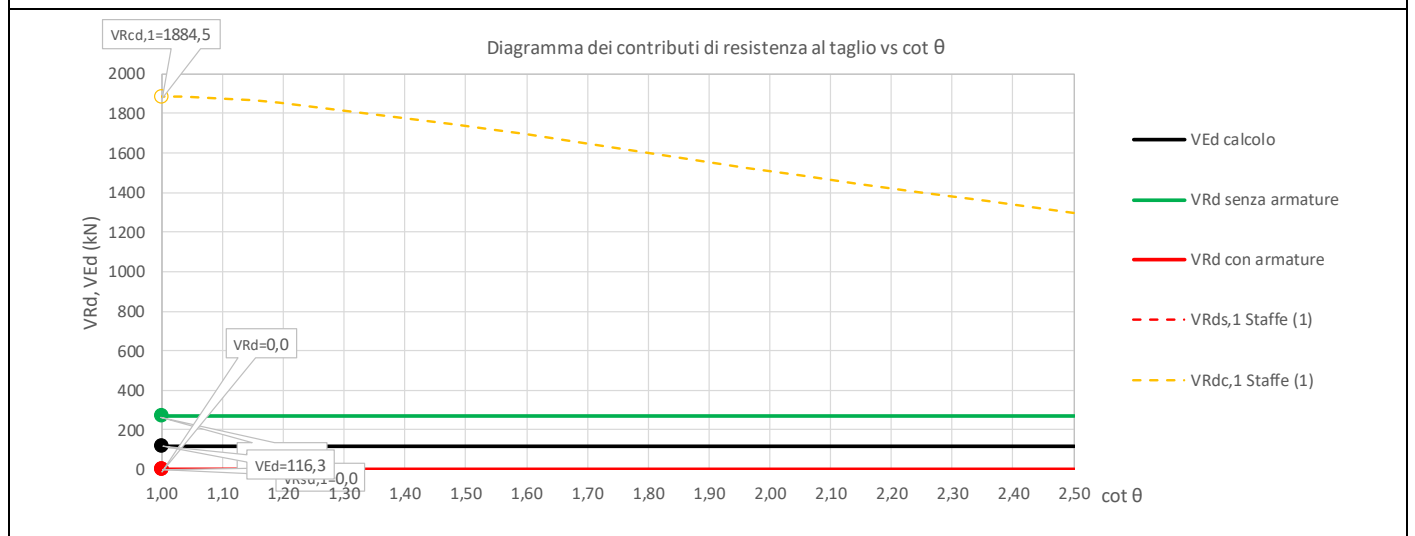
COMMESSA	LOTTO	FASE	ENTE	TIPO DOC	OPERA 7 DISCIPLINA			PROGR	REV	FOGLIO
LI0B	02	E	ZZ	CL	VI	15	04	002	B	160

11.9.1.2 Verifica a taglio SLU, SLV

Secondo le sollecitazioni a quota spiccato muro d'ala (estradosso plinto) per le combinazioni di carico allo SLU riportate nel capitolo precedente, si riporta la relativa verifica di resistenza a taglio.

Il valore dei tagli resistenti è stato, invece, ricavato attraverso un apposito foglio di calcolo realizzato in accordo con il D.M. 14/01/2008 p.to 4.1.2.1.3.2. Non si è reso necessario l'inserimento di armatura trasversale per questa sezione.

NOME: SEZ SUP			CALCOLO TAGLIO RESISTENTE SEZIONE RETTANGOLARE (NTC 2008)							Rev. 10.1
DATI SEZIONE				AZIONI CALCOLO			CALCESTRUZZO			
b_w	d	θ	$\cotg \theta$	N_{Ed}	V_{Ed}	M_{Ed}	f_{ck}	f_{cd}	γ_c	
(m)	(m)	(°)		(kN)	(kN)	(kNm)	(MPa)	(MPa)		
1,00	0,44	45,00	1,00	-97,8	116,3	175,9	33,20	18,81	1,50	
				$1,00 \leq \cotg \theta \leq 2,50$						
VERIFICA ARMATURE LONGITUDINALI (§4.1.2.1.3.1)										
	f_{yd}	n	\varnothing	$A_{s1,\varnothing}$	A_{s1}					
	(MPa)		(mm)	(cm ²)	(cm ²)					
Barre B450C	391,3	10	20	3,14	31,42					
VERIFICA SENZA ARMATURE TRASVERSALI (§4.1.2.1.3.1)										
	A_{s1}	k_1	k	ρ_1 (%)	V_{min}	σ_{cp}	α_c	V_{Rd}	V_{Ed}/V_{Rd}	
	(cm ²)			(%)	(MPa)	(MPa)		(kN)		
	31,42	0,15	1,67	0,71%	0,44	0,22	1,01	268,6	43,3% VERIFICA OK	



MANDATARIA HUB ENGINEERING CONSORZIO STABILE SOCIETÀ CONSORTILE & S.R.L.	MANDANTI HYpro S.P.A.	LINEA PESCARA – BARI RADDOPPIO DELLA TRATTA FERROVIARIA TERMOLI-LESINA LOTTO 2 e 3 – RADDOPPIO TERMOLI - RIPALTA									
		VI15 da km 22+780,80 a km 23+265,80: Relazione di calcolo Spalla S2	COMMESSA LI0B	LOTTO 02	FASE E	ENTE ZZ	TIPO DOC CL	OPERA 7 DISCIPLINA VI 15 04			PROGR 002

11.9.2 Verifica sezione base muro d'ala

Nel seguente paragrafo vengono riportate le sollecitazioni a quota estradosso plinto di fondazione per le combinazioni di carico allo SLU e le relative verifiche di resistenza a pressoflessione e taglio.

11.9.2.1 Verifica a pressoflessione SLU, SLV, SLE

La sezione è armata con un quantitativo di armatura longitudinale nel lato teso di due strati di $\Phi 26/10$ e nel lato compresso di $\Phi 24/10$ come rappresentato nella figura seguente per un totale di 30 ferri. I domini di resistenza M-N e i coefficienti di sicurezza a pressoflessione sono ottenuti attraverso il software SAX 10.0 distribuito da Aztec.

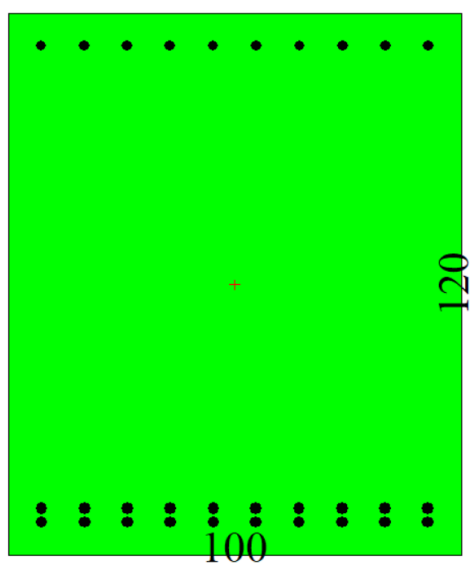


Figura 40 – Sezione trasversale muro d'ala e relativa armatura

Dati

Nome sezione: SEZIONE BASE MURO D'ALA SP2

Tipo sezione: Rettangolare
Base: 100,0 [cm]
Altezza: 120,0 [cm]

Caratteristiche geometriche

Area sezione: 12000,00 [cmq]
Inerzia in direzione X: 10000000,0 [cm⁴]
Inerzia in direzione Y: 14400000,0 [cm⁴]
Inerzia in direzione XY: 0,0 [cm⁴]
Ascissa baricentro sezione: $X_G = 50,00$ [cm]
Ordinata baricentro sezione: $Y_G = 60,00$ [cm]

<p>MANDATARIA</p>  <p>MANDANTI</p> 	<p>LINEA PESCARA – BARI</p> <p>RADDOPPIO DELLA TRATTA FERROVIARIA TERMOLI-LESINA</p> <p>LOTTO 2 e 3 – RADDOPPIO TERMOLI - RIPALTA</p>																						
<p>VI15 da km 22+780,80 a km 23+265,80:</p> <p>Relazione di calcolo Spalla S2</p>	<table border="1"> <tr> <th>COMMESSA</th> <th>LOTTO</th> <th>FASE</th> <th>ENTE</th> <th>TIPO DOC</th> <th colspan="3">OPERA 7 DISCIPLINA</th> <th>PROGR</th> <th>REV</th> <th>FOGLIO</th> </tr> <tr> <td>LI0B</td> <td>02</td> <td>E</td> <td>ZZ</td> <td>CL</td> <td>VI</td> <td>15</td> <td>04</td> <td>002</td> <td>B</td> <td>162</td> </tr> </table>	COMMESSA	LOTTO	FASE	ENTE	TIPO DOC	OPERA 7 DISCIPLINA			PROGR	REV	FOGLIO	LI0B	02	E	ZZ	CL	VI	15	04	002	B	162
COMMESSA	LOTTO	FASE	ENTE	TIPO DOC	OPERA 7 DISCIPLINA			PROGR	REV	FOGLIO													
LI0B	02	E	ZZ	CL	VI	15	04	002	B	162													

Elenco ferri

Simbologia adottata

Posizione riferita all'origine

N°	numero d'ordine
X	Ascissa posizione ferro espresso in [cm]
Y	Ordinata posizione ferro espresso in [cm]
d	Diametro ferro espresso in [mm]
ω	Area del ferro espresso in [cmq]

N°	X	Y	d	ω
1	92,80	112,80	24	4,52
2	83,29	112,80	24	4,52
3	73,78	112,80	24	4,52
4	64,27	112,80	24	4,52
5	54,76	112,80	24	4,52
6	45,24	112,80	24	4,52
7	35,73	112,80	24	4,52
8	26,22	112,80	24	4,52
9	16,71	112,80	24	4,52
10	7,20	112,80	24	4,52
11	7,30	7,30	26	5,31
12	16,79	7,30	26	5,31
13	26,28	7,30	26	5,31
14	35,77	7,30	26	5,31
15	45,26	7,30	26	5,31
16	54,74	7,30	26	5,31
17	64,23	7,30	26	5,31
18	73,72	7,30	26	5,31
19	83,21	7,30	26	5,31
20	92,70	7,30	26	5,31
21	7,30	10,30	26	5,31
22	16,79	10,30	26	5,31
23	26,28	10,30	26	5,31
24	35,77	10,30	26	5,31
25	45,26	10,30	26	5,31
26	54,74	10,30	26	5,31
27	64,23	10,30	26	5,31
28	73,72	10,30	26	5,31
29	83,21	10,30	26	5,31
30	92,70	10,30	26	5,31

Materiale impiegato : Calcestruzzo armato

Caratteristiche calcestruzzo

Resistenza caratteristica calcestruzzo	40,000	[MPa]
Coeff. omogeneizzazione acciaio/calcestruzzo	15,00	
Coeff. omogeneizzazione calcestruzzo teso/compresso	1,00	
Forma diagramma tensione-deformazione - PARABOLA-RETTANGOLO		

Caratteristiche acciaio per calcestruzzo

Tensione ammissibile acciaio	450,000	[MPa]
Tensione snervamento acciaio	450,000	[MPa]
Modulo elastico E	205942,924	[MPa]
Fattore di incrudimento acciaio	1,00	

Combinazioni

Simbologia adottata

LINEA PESCARA – BARI

**RADDOPPIO DELLA TRATTA FERROVIARIA TERMOLI-LESINA
LOTTO 2 e 3 – RADDOPPIO TERMOLI - RIPALTA**

**VI15 da km 22+780,80 a km 23+265,80:
Relazione di calcolo Spalla S2**

COMMESSA	LOTTO	FASE	ENTE	TIPO DOC	OPERA 7 DISCIPLINA			PROGR	REV	FOGLIO
LI0B	02	E	ZZ	CL	VI	15	04	002	B	163

N° numero d'ordine della combinazione
 N sforzo normale espresso in [kN]
 M_Y momento lungo Y espresso in [kNm]
 M_X momento lungo X espresso in [kNm]
 M_t momento torcente espresso in [kNm]
 T_Y taglio lungo Y espresso in [kN]
 T_X taglio lungo X espresso in [kN]
 VD verifica di dominio
 VT verifica tensionale (SLER - Combinazione rara, SLER - Combinazione frequente, SLEQP - Combinazione quasi permanente, TAMM - Verifica a tensioni ammissibili)

N°	N	M _Y	M _X	M _t	T _Y	T _X	VD	VT
1	300,3300	1342,1800	0,0000	0,0000	0,0000	428,7100	SI	NO
2	300,3300	1598,2800	0,0000	0,0000	0,0000	516,9900	SI	NO
3	300,3300	1342,1800	0,0000	0,0000	0,0000	428,7100	SI	NO
4	300,3300	1692,3000	0,0000	0,0000	0,0000	525,9400	SI	NO
5	248,4300	558,3600	0,0000	0,0000	0,0000	209,9500	SI	NO
6	192,0700	658,1900	0,0000	0,0000	0,0000	219,9000	SI	NO
7	211,7900	126,7500	0,0000	0,0000	0,0000	67,7600	SI	NO
8	228,7000	1457,1700	0,0000	0,0000	0,0000	483,9500	SI	NO
9	220,2500	915,2400	0,0000	0,0000	0,0000	322,8500	NO	SLER
10	220,2500	1124,1900	0,0000	0,0000	0,0000	342,7500	NO	SLER
11	220,2500	915,2400	0,0000	0,0000	0,0000	322,8500	NO	SLER
12	220,2500	1139,3400	0,0000	0,0000	0,0000	353,0000	NO	SLER
13	220,2500	739,7200	0,0000	0,0000	0,0000	270,8800	NO	SLEQP
14	220,2500	844,2000	0,0000	0,0000	0,0000	280,8300	NO	SLEQP
15	220,2500	739,7200	0,0000	0,0000	0,0000	270,8800	NO	SLEQP
16	220,2500	844,2000	0,0000	0,0000	0,0000	280,8300	NO	SLEQP

MANDATARIA 		MANDANTI 		LINEA PESCARA – BARI RADDOPPIO DELLA TRATTA FERROVIARIA TERMOLI-LESINA LOTTO 2 e 3 – RADDOPPIO TERMOLI - RIPALTA										
VI15 da km 22+780,80 a km 23+265,80: Relazione di calcolo Spalla S2				COMMESSA	LOTTO	FASE	ENTE	TIPO DOC	OPERA 7 DISCIPLINA			PROGR	REV	FOGLIO
				LI0B	02	E	ZZ	CL	VI	15	04	002	B	164

Risultati analisi

Caratteristiche asse neutro

Simbologia adottata

N° numero d'ordine della combinazione
 Xc posizione asse neutro espresso in [cm]
 α inclinazione asse neutro rispetto all'orizzontale, espressa in [°]
 (xi; yi) - (xf; yf) Punti di intersezione dell'asse neutro con il perimetro della sezione, espressi in [cm]

N°	Xc	α	(xi; yi)	(xf; yf)
9	45,88	0,00	(0,00; 74,12)	(100,00; 74,12)
10	45,11	0,00	(0,00; 74,89)	(100,00; 74,89)
11	45,88	0,00	(0,00; 74,12)	(100,00; 74,12)
12	45,06	0,00	(0,00; 74,94)	(100,00; 74,94)
13	46,88	0,00	(0,00; 73,12)	(100,00; 73,12)
14	46,24	0,00	(0,00; 73,76)	(100,00; 73,76)
15	46,88	0,00	(0,00; 73,12)	(100,00; 73,12)
16	46,24	0,00	(0,00; 73,76)	(100,00; 73,76)

Risultati tensionali

Simbologia adottata

N° numero d'ordine della combinazione
 σ_{c-max} Tensione massima nel calcestruzzo espresso in [MPa]
 σ_{c-min} Tensione minima nel calcestruzzo espresso in [MPa]
 σ_{f-max} Tensione massima nel ferro espresso in [MPa]
 σ_{f-min} Tensione minima nel ferro espresso in [MPa]
 τ_c Tensione tangenziale nel calcestruzzo espresso in [MPa]

N°	σ_{c-max}	σ_{c-min}	τ_c	σ_{f-max}	σ_{f-min}
9	3,677	0,000	0,000	46,496	-80,307
10	4,477	0,000	0,000	56,439	-100,634
11	3,677	0,000	0,000	46,496	-80,307
12	4,535	0,000	0,000	57,160	-102,108
13	3,003	0,000	0,000	38,132	-63,246
14	3,404	0,000	0,000	43,112	-73,399
15	3,003	0,000	0,000	38,132	-63,246
16	3,404	0,000	0,000	43,112	-73,399

Sollecitazioni ultime

Simbologia adottata

N° numero d'ordine della combinazione
 N_u Sforzo normale ultimo, espresso in [kN]
 M_{Xu} Momento ultimo in direzione X, espresso in [kNm]
 M_{Yu} Momento ultimo in direzione Y, espresso in [kNm]
 FS Fattore di sicurezza

Combinazione n° 1

N_u	M_{Xu}	M_{Yu}	FS
1074,8353	0,0000	4803,4575	3,58
<u>23227,7194</u>	0,0000	1342,1800	77,34
300,3300	0,0000	<u>4442,8783</u>	3,31

Combinazione n° 2

N_u	M_{Xu}	M_{Yu}	FS
886,6278	0,0000	4718,4078	2,95
<u>22653,5641</u>	0,0000	1598,2800	75,43

**VI15 da km 22+780,80 a km 23+265,80:
Relazione di calcolo Spalla S2**

COMMESSA	LOTTO	FASE	ENTE	TIPO DOC	OPERA 7 DISCIPLINA			PROGR	REV	FOGLIO
LI0B	02	E	ZZ	CL	VI	15	04	002	B	165

300,3300 0,0000 4442,8783 2,78

Combinazione n° 3

N_u	M_{Xu}	M_{Yu}	FS
1074,8353	0,0000	<u>4803,4575</u>	3,58
<u>23227,7194</u>	0,0000	1342,1800	77,34
300,3300	0,0000	<u>4442,8783</u>	3,31

Combinazione n° 4

N_u	M_{Xu}	M_{Yu}	FS
<u>832,9396</u>	0,0000	<u>4693,4493</u>	2,77
<u>22441,2958</u>	0,0000	1692,3000	74,72
300,3300	0,0000	<u>4442,8783</u>	2,63

Combinazione n° 5

N_u	M_{Xu}	M_{Yu}	FS
<u>2354,6878</u>	0,0000	<u>5292,2896</u>	9,48
<u>24944,1986</u>	0,0000	558,3600	100,41
248,4300	0,0000	<u>4418,1674</u>	7,91

Combinazione n° 6

N_u	M_{Xu}	M_{Yu}	FS
<u>1445,9104</u>	0,0000	<u>4954,8798</u>	7,53
<u>24729,3081</u>	0,0000	658,1900	128,75
192,0700	0,0000	<u>4391,2726</u>	6,67

Combinazione n° 7

N_u	M_{Xu}	M_{Yu}	FS
<u>9999,0373</u>	0,0000	<u>5984,1257</u>	47,21
<u>25859,2370</u>	0,0000	126,7500	122,10
211,7900	0,0000	<u>4400,6901</u>	34,72

Combinazione n° 8

N_u	M_{Xu}	M_{Yu}	FS
<u>729,0215</u>	0,0000	<u>4644,9861</u>	3,19
<u>22970,6655</u>	0,0000	1457,1700	100,44
228,7000	0,0000	<u>4408,7594</u>	3,03

Risultati fessurazione

Simbologia adottata

N° numero d'ordine della combinazione
 M_x Momento di prima fessurazione in direzione X, espresso in [kNm]
 M_y Momento di prima fessurazione in direzione Y, espresso in [kNm]
 σ_f Tensione nell'acciaio, espressa in [MPa]
 σ_c Tensione nel calcestruzzo, espressa in [MPa]
 A_{eff} Area efficace a trazione, espressa in [cmq]
 ϵ Deformazione media acciaio teso, espressa in [°]
 S_{rm} Distanza media tra le fessure, espresso in [mm]
 w Ampiezza delle fessure, espressa in [mm]

N°	M_x	M_y	σ_f	σ_c	A_{eff}	ϵ	S_{rm}	w
9	0,0000	831,7601	-72,190	-5,342	2830,00	0,0232	179	0,0709
10	0,0000	831,7798	-72,192	-5,342	2830,00	0,0363	179	0,1107
11	0,0000	831,7601	-72,190	-5,342	2830,00	0,0232	179	0,0709

LINEA PESCARA – BARI

**RADDOPPIO DELLA TRATTA FERROVIARIA TERMOLI-LESINA
LOTTO 2 e 3 – RADDOPPIO TERMOLI - RIPALTA**

**VI15 da km 22+780,80 a km 23+265,80:
Relazione di calcolo Spalla S2**

COMMESSA	LOTTO	FASE	ENTE	TIPO DOC	OPERA 7 DISCIPLINA			PROGR	REV	FOGLIO
LI0B	02	E	ZZ	CL	VI	15	04	002	B	166

12	0,0000	831,8072	-72,195	-5,342	2830,00	0,0372	179	0,1134
13	0,0000	831,7877	-72,193	-5,342	2830,00	0,0000	0	0,0000
14	0,0000	831,7926	-72,193	-5,342	2830,00	0,0184	179	0,0561
15	0,0000	831,7877	-72,193	-5,342	2830,00	0,0000	0	0,0000
16	0,0000	831,7926	-72,193	-5,342	2830,00	0,0184	179	0,0561

Inviluppo verifiche tensionali

Simbologia adottata

TC	Tipo combinazione
scc	tensione di compressione nel cls espresso in [MPa]
scl	tensione di compressione limite nel cls espresso in [MPa]
sct	tensione di trazione nel cls espresso in [MPa]
sctl	tensione di trazione limite nel cls espresso in [MPa]
sfc, sft	tensione minima e massima nell'armatura espressa in [MPa]
sf	tensione limite nell'armatura espressa in [MPa]
Comb.	Combinazione critica

Sezione n° 1 - SEZIONE BASE MURO D'ALA SP2

TC	scc	scl	sct	sctl	sfc	sft	sfl	Comb.
SLEQP	3,404	14,940	-5,431	3,099	-73,399	43,112	450,000	14
SLER	4,535	18,260	-7,542	3,099	-102,108	57,160	337,500	12

Inviluppo verifiche fessurazione

Simbologia adottata

TC	Tipo combinazione
sf	tensione nell'acciaio espresso in [MPa]
sc	tensione nel cls espresso in [MPa]
Aeff	Area efficace a trazione espresso in [cmq]
Eps	Deformazione espressa in [%]
sr	spaziatura tra le fessure espressa in [mm]
w, wl	ampiezza fessure e fessura limite espresse in [mm]
Comb.	Combinazione critica

Sezione n° 1 - SEZIONE BASE MURO D'ALA SP2

TC	sf	sc	Aeff	Esp	sr	w	wl	Comb.
SLEQP	-72,193	-5,342	277,533	0,0184	179,447	0,056	0,200	14
SLER	-72,195	-5,342	277,533	0,0372	179,447	0,113	0,200	12

**VI15 da km 22+780,80 a km 23+265,80:
Relazione di calcolo Spalla S2**

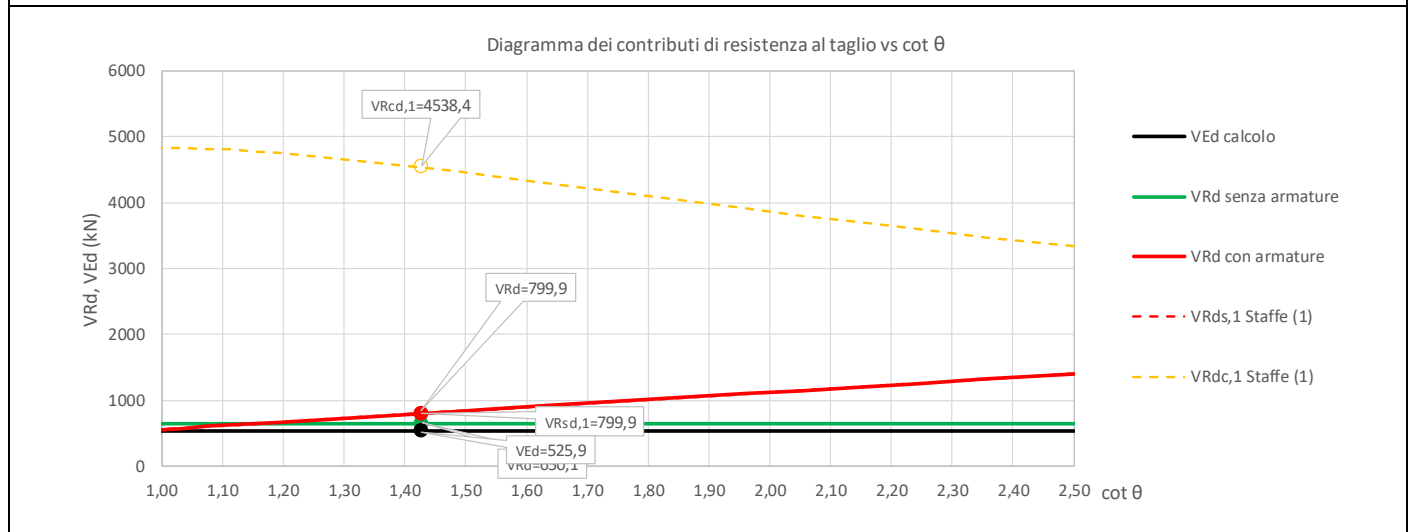
COMMESSA	LOTTO	FASE	ENTE	TIPO DOC	OPERA 7 DISCIPLINA			PROGR	REV	FOGLIO
LI0B	02	E	ZZ	CL	VI	15	04	002	B	167

11.9.2.2 Verifica a taglio SLU, SLV

Secondo le sollecitazioni a quota spiccato muro d’ala (estradosso plinto) per le combinazioni di carico allo SLU riportate nel capitolo precedente, si riporta la relativa verifica di resistenza a taglio.

Il valore dei tagli resistenti è stato, invece, ricavato attraverso un apposito foglio di calcolo realizzato in accordo con il D.M. 14/01/2008 p.to 4.1.2.1.3.2. Non si è reso necessario l’inserimento di armatura trasversale per questa sezione.

NOME: SEZ BASE				CALCOLO TAGLIO RESISTENTE SEZIONE RETTANGOLARE (NTC 2008)							Rev. 10.1
DATI SEZIONE				AZIONI CALCOLO			CALCESTRUZZO				
b_w	d	θ	$\cotg \theta$	N_{Ed}	V_{Ed}	M_{Ed}	f_{ck}	f_{cd}	γ_c		
(m)	(m)	(°)		(kN)	(kN)	(kNm)	(MPa)	(MPa)			
1,00	1,13	35,00	1,43	-300,3	525,9	1692,3	33,20	18,81	1,50		
				$1,00 \leq \cotg \theta \leq 2,50$							
VERIFICA ARMATURE LONGITUDINALI (§4.1.2.1.3.1)											
	f_{yd}	n	\varnothing	$A_{s1,\varnothing}$	A_{s1}						
	(MPa)		(mm)	(cm ²)	(cm ²)						
Barre B450C	391,3	20	26	5,31	106,19						
VERIFICA SENZA ARMATURE TRASVERSALI (§4.1.2.1.3.1)											
	A_{s1}	k_1	k	ρ_l (%)	V_{min}	σ_{cp}	α_c	V_{Rd}	V_{Ed}/V_{Rd}		
	(cm ²)			(%)	(MPa)	(MPa)		(kN)			
	106,19	0,15	1,42	0,94%	0,34	0,27	1,01	650,1	80,9%	VERIFICA OK	



**VI15 da km 22+780,80 a km 23+265,80:
Relazione di calcolo Spalla S2**

COMMESSA	LOTTO	FASE	ENTE	TIPO DOC	OPERA 7 DISCIPLINA			PROGR	REV	FOGLIO
LI0B	02	E	ZZ	CL	VI	15	04	002	B	168

12. VERIFICHE LOCALI

12.1 BAGGIOLI

Si procede alla verifica del baggiolo tipologico di dimensioni 150x180x30 cm, armato in verticale con 1Ø14/10 distribuiti sui lati perimetrali, armato in orizzontale con 1Ø12/10 staffe cerchiati esterne (n°2 braccia per direzione) e 6Ø12/10 ganci interni (n°6 braccia per direzione).

Al fine di mantenere un abbondante margine di sicurezza, i carichi di progetto verticale N_{Ed} ed orizzontale V_{Ed} sono stati ipotizzati come i massimi concomitanti previsti su tutti gli appoggi (F)-(UT)-(UL)-(M), vedi tabelle specifiche, inoltre l'impronta degli appoggi stessi è stata assunta cautelativamente assunta di 80x80 cm.

Le verifiche sono state svolte secondo le indicazioni del CEB-FIP Model Code 90 e secondo quanto riportato in letteratura riguardo gli studi di diffusione delle tensioni di compressione e trazione su un volume generico di calcestruzzo (Leonhardt, 1973).

Per le azioni dell'appoggio si considera una eccentricità addizionale di 5 cm, quindi una centratura non ottimale delle azioni sul volume di calcestruzzo del baggiolo con conseguente riduzione dell'area efficace di contatto.

Si sono considerate le armature di cerchiatura come collaboranti per il 0% ai fini dell'aumento della resistenza a compressione del calcestruzzo in zona compressa (Region I), mentre per le tensioni di trazione interna si sono considerate solo le armature trasversali interne (Region II).

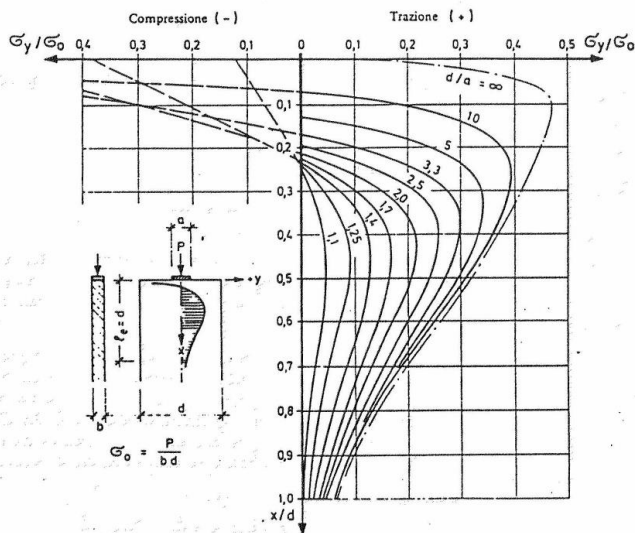


Fig. 3.6: Curve e grandezza delle tensioni trasversali σ_y , riferite a $\sigma_0 = \frac{P}{b \cdot d}$, lungo l'asse x per condizioni diverse d/a (40)

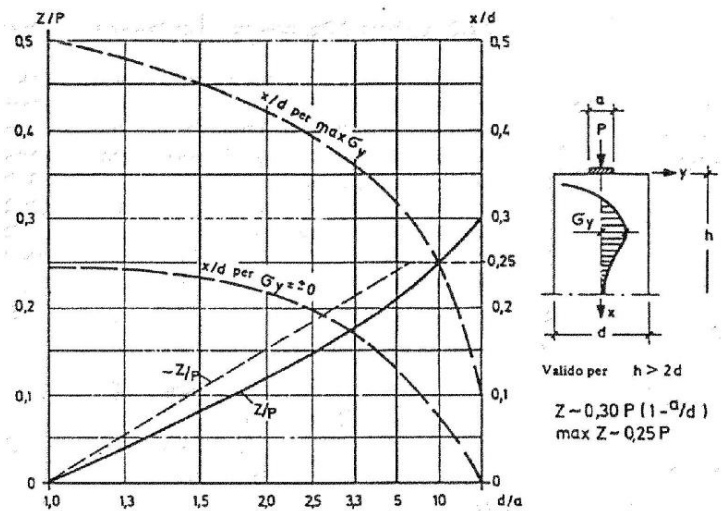


Fig. 3.8: Grandezza della forza di fenditura risultante Z, riferita al carico P, distanza della tensione massima trasversale $\max \sigma_y$ e distanza del punto con $\sigma_y = 0$ dal bordo caricato in lastre con $h > 2d$ (40)

Figura 41 – Grafici da F. Leonhardt, 1973 "Casi speciali di dimensionamento delle strutture in c.a. e c.a.p."

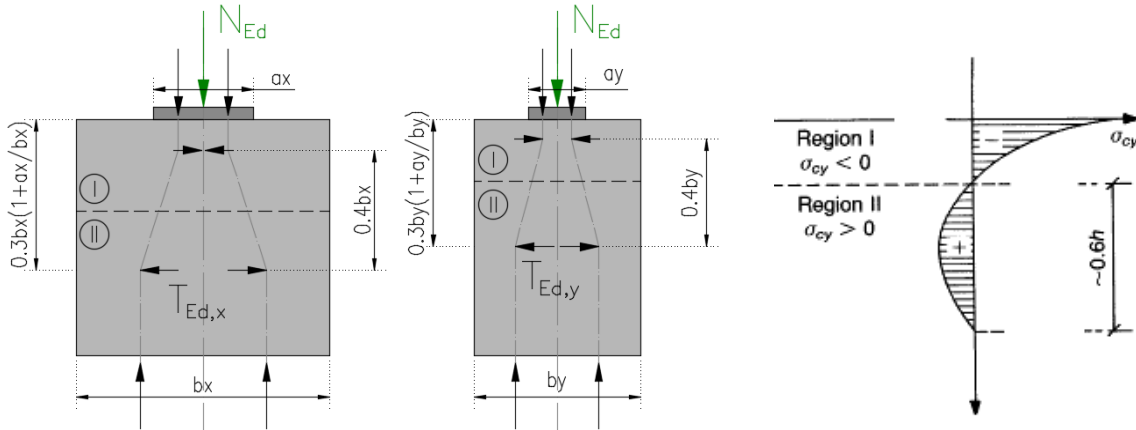
**VI15 da km 22+780,80 a km 23+265,80:
Relazione di calcolo Spalla S2**

COMMESSA	LOTTO	FASE	ENTE	TIPO DOC	OPERA 7 DISCIPLINA			PROGR	REV	FOGLIO
LI0B	02	E	ZZ	CL	VI	15	04	002	B	169

NOME: **BAGGIOLO TIPO**

VERIFICA BAGGIOLI (CEB-FIP MODEL CODE 90, F. LEONHARDT - 1973)

Rev. 09



GEOMETRIA, AZIONI E MATERIALI VOLUME DI CALCOLO (MC90 §3.3.1, Leonhart §3.3.1)

N_{Ed} (kN)	4450,0	b_x (m)	1,500	f_{yd} (MPa)	391,3
M_{Ed} (kNm)	222,5	b_y (m)	1,800	f_{ck} (MPa)	33,2
e_{max} (m)	0,050	a_x (m)	0,800	a'_x (m)	0,750
		a_y (m)	0,800	a'_y (m)	0,750
				α_{cc}	0,85

Direz.	Altezza (m)	Posiz. T_{Ed} (m)	Altezza zona (m)		Posizione zona		Posizione zona		b/a'
			Region II	Region I	Region II	Region I			
X	1,50	0,69	0,90	0,22	0,22	1,12	0,00	0,22	2,00
Y	1,80	0,78	1,08	0,23	0,23	1,31	0,00	0,23	2,40

VERIFICA ARMATURE ORIZZONTALI (Trazione, Region II, MC90 §3.3.1, Leonhart §3.3.1)

Direz.	A_{sh} (cm ²)	T_{Rd} (kN)	T_{Ed} (kN)	T_{Ed}/T_{Rd}	VERIFICA
X	3x6Ø12	20,35	796,2	> 667,5	83,8% VERIFICA OK
Y	3x6Ø12	20,35	796,2	> 778,8	97,8% VERIFICA OK

VERIFICA CALCESTRUZZO CONFINATO (Compressione, Region I, MC90 §3.3.1, Leonhart §3.3.1)

Direz.	A_{sh} (cm ²)	σ_l (MPa)	α	σ_2 (MPa)	$f_{ck,c}$ (MPa)	$f_{cd,c}$ (MPa)	σ_{Ed} (MPa)	$\sigma_{Ed}/f_{cd,c}$	VERIFICA
X	2x2Ø12	3,77	0,08	0,00	0,00	33,2	18,8	> 10,8	57,3% VERIFICA OK
Y	2x2Ø12	3,77	0,08	0,00	0,00	33,2	18,8	> 10,3	54,8% VERIFICA OK

$v = 0,20$ (formule cls confinato da EN 1992-1-1: 2005, NTC2018) (stress compression σ_{Ed} con distribuzione approssimata triangolare)
 C_{Ed} (kN) 890,0 ($C_{Ed} = v \cdot N_{Ed}$)

VERIFICA ARMATURE VERTICALI (Giunto di taglio, MC90 §6.10.2)

$V_{Ed,x}$ (kN)	4450,0	$N_{Ed,min}$ (kN)	1350,0	μ	0,60
$V_{Ed,y}$ (kN)	3000,0	$\sigma_{Ed,min}$ (MPa)	2,40	β_{fctd} (MPa)	0,00
V_{Ed} (kN)	5366,8	$f_{cd,c}$ (MPa)	18,8	A_{sv} (cm ²)	89,24 <-- (2x14+2x17)Ø14
$\tau_{Rd} = \beta f_{ctd} + \mu(\rho f_{yd} + \sigma_{cd}) < 0,25 f_{cd}$		T_{Rd} (MPa)	2,22	T_{Ed} (MPa)	1,99
				T_{Ed}/T_{Rd}	89,7% VERIFICA OK

Figura 42 – Baggioli tipo – Verifica del calcestruzzo armato a compressione e trazione

MANDATARIA HUB ENGINEERING <small>CONSORZIO STABILE SOCIETÀ CONSORTILE & R.L.</small>		MANDANTI HYpro S.P.A.		LINEA PESCARA – BARI RADDOPPIO DELLA TRATTA FERROVIARIA TERMOLI-LESINA LOTTO 2 e 3 – RADDOPPIO TERMOLI - RIPALTA										
VI15 da km 22+780,80 a km 23+265,80: Relazione di calcolo Spalla S2				COMMESSA	LOTTO	FASE	ENTE	TIPO DOC	OPERA 7 DISCIPLINA			PROGR	REV	FOGLIO
				LI0B	02	E	ZZ	CL	VI	15	04	002	B	170

12.2 DEFORMABILITA' SPALLA

12.2.1 Verifiche sicurezza del binario

Per la sicurezza del binario occorre garantire quanto riportato al §2.5.1.4.5.2-3 del MdP.

“Al fine di garantire la sicurezza del binario rispetto a fenomeni di instabilità per compressione e rottura per trazione della rotaia, nonché rispetto ad eccessivi scorrimenti nel ballast, causa di un suo rapido deterioramento, occorre che vengano rispettati i seguenti limiti sull'incremento delle tensioni nel binario e sugli spostamenti relativi tra binario ed estradosso dell'impalcato o del rilevato. L'incremento massimo consentito di tensione nella rotaia causato dall'interazione binario-struttura prodotta dalle azioni indicate in 2.5.1.4.5.1 sarà assunto pari a:

$\Delta\sigma_{c,max} = 60 \text{ N/mm}^2$ (per la compressione)

$\Delta\sigma_{t,max} = 70 \text{ N/mm}^2$ (per la trazione)

Lo spostamento massimo consentito tra estradosso dell'impalcato o del rilevato e la faccia inferiore della traversa dovuto alle sole forze di avviamento e/o di frenatura sarà assunto pari a 5 mm. La verifica di sicurezza del binario, in termini di tensioni e spostamenti, andrà condotta considerando la combinazione caratteristica (rara) del metodo S.L.E., adottando per le azioni di cui al precedente punto 2.5.1.4.5.1 coefficienti $\gamma_{oi}=1,0$ fermi restando i su esposti limiti di incremento di tensione nella rotaia.”

“Gli effetti dell'interazione binario-struttura in termini di azioni longitudinali trasmesse alla sottostruttura (reazioni vincolari negli appoggi fissi), tensioni supplementari nel binario e scorrimenti relativi binario-impalcato, saranno valutati mediante una serie di analisi di simulazione del comportamento del ponte soggetto alle azioni termiche ed ai carichi orizzontali e verticali dei convogli in transito, portando in conto la resistenza ai movimenti longitudinali del binario e la rigidità della struttura, attraverso un modello di calcolo del tipo riportato in Fig. 2.5.1.4.5.3-1. In alternativa, è possibile effettuare una valutazione semplificata delle reazioni vincolari con il metodo riportato nell'Allegato 3, oppure con il metodo di cui all'Allegato 4 qualora siano rispettate le condizioni ivi elencate. In tal caso il rispetto dei limiti sulle altre grandezze di interesse (tensioni nelle rotaie e spostamenti relativi binario-impalcato) può ritenersi adeguatamente soddisfatto senza specifiche verifiche.”

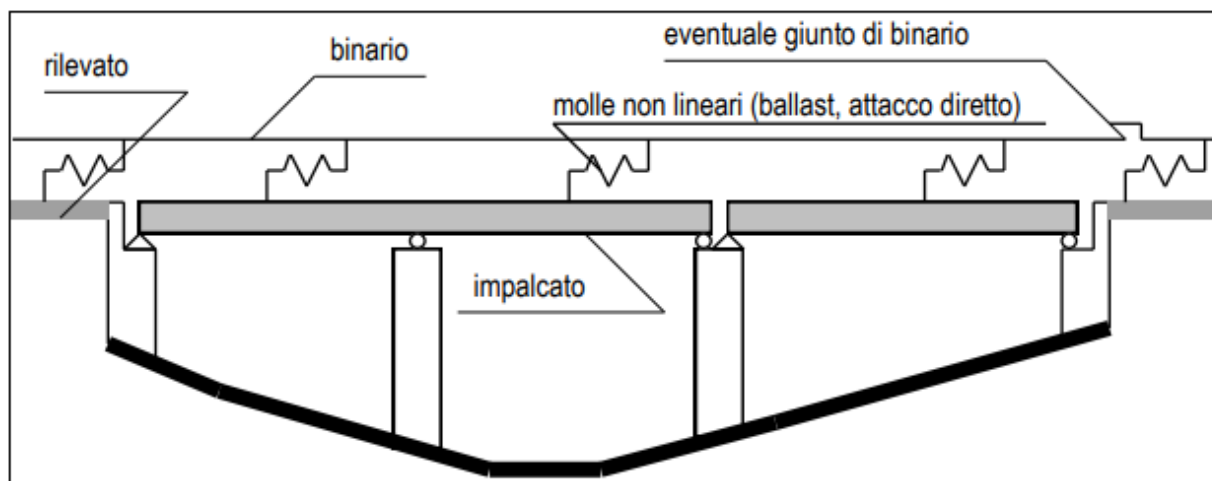


Fig. 2.5.1.4.5.3-1 - Schema di modello strutturale per valutare l'interazione.

Figura 43 – Interazione binario- struttura - Schema generale di calcolo

“ALLEGATO 4 – VALUTAZIONE SEMPLIFICATA DELLE REAZIONI DOVUTE AGLI EFFETTI DI INTERAZIONE, METODO PER SINGOLA LUCE APPOGGIATA

Per una sovrastruttura realizzata con un singolo impalcato (in semplice appoggio) non è necessario il controllo delle tensioni nella rotaia se:

- *La sottostruttura ha rigidezza K sufficiente a limitare lo spostamento dell'impalcato in direzione longitudinale dovuto all'avviamento e alla frenatura δ_B , ad un massimo di 5 mm in presenza delle forze longitudinali dovute all'avviamento e alla frenatura definite in*

MANDATARIA HUB ENGINEERING <small>CONSORZIO STABILE SOCIETÀ CONSORTILE & R.L.</small>	MANDANTI HYpro S.P.A.	LINEA PESCARA – BARI RADDOPPIO DELLA TRATTA FERROVIARIA TERMOLI-LESINA LOTTO 2 e 3 – RADDOPPIO TERMOLI - RIPALTA										
		VI15 da km 22+780,80 a km 23+265,80: Relazione di calcolo Spalla S2	COMMESSA	LOTTO	FASE	ENTE	TIPO DOC	OPERA 7 DISCIPLINA			PROGR	REV
		LI0B	02	E	ZZ	CL	VI	15	04	002	B	171

2.5.1.4.3.3; per la determinazione degli spostamenti si raccomanda di prendere in conto la configurazione e le proprietà della struttura date in 2.5.1.4.5.3;

- Per le azioni da traffico verticale lo spostamento longitudinale dell'estradosso dell'impalcato all'estremità dovuto alla deformazione dell'impalcato δH , non supera i 5mm;
- La lunghezza di espansione L_T è minore di 40 m.”

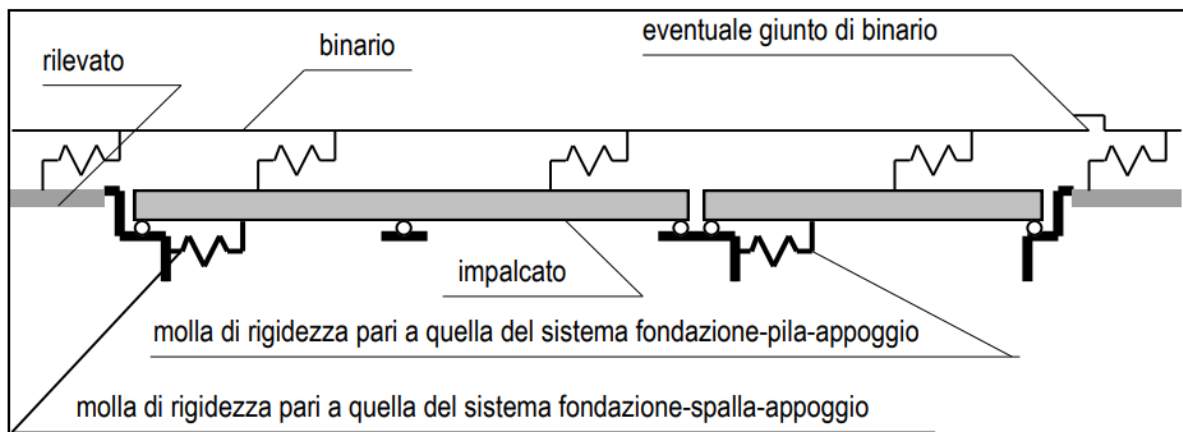


Fig. 2.5.1.4.5.3-3 - Schema di modello strutturale semplificato per valutare l'interazione.

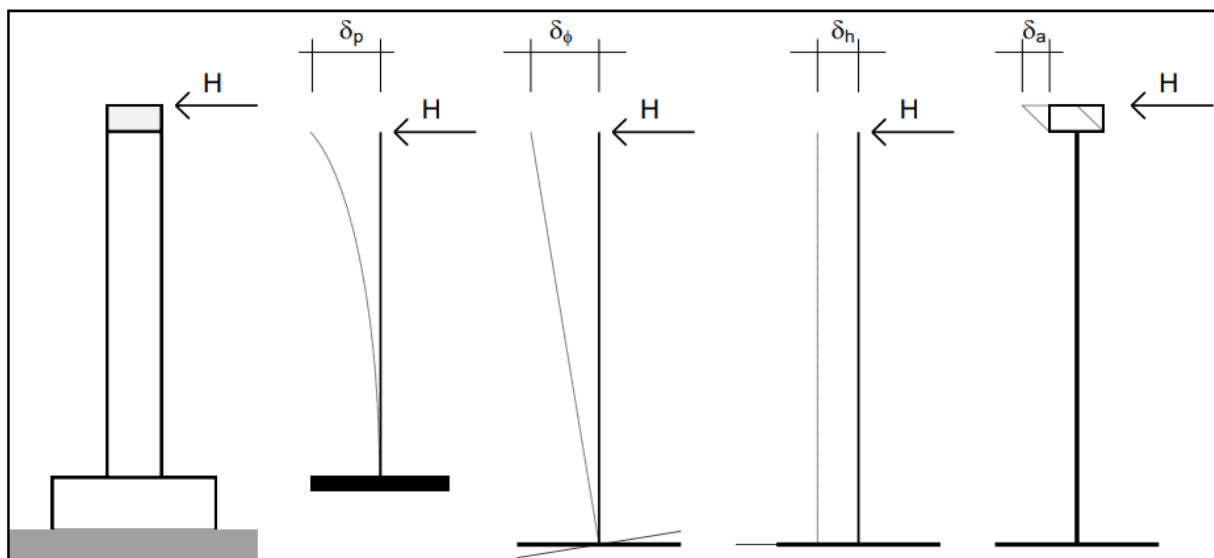


Fig. 2.5.1.4.5.3-4 - Individuazione dei contributi alla deformabilità complessiva del sistema fondazione-pila-appoggio

Figura 44 – Interazione binario- struttura - Schema semplificato di calcolo

Nel caso in oggetto, considerando la massima altezza pila prevista e le valutazioni effettuate nel dimensionamento delle sottofondazioni, alla cui documentazione di calcolo si rimanda per ulteriori dettagli, per la verifica di sicurezza si ha quanto segue.

MANDATARIA HUB ENGINEERING CONSORZIO STABILE SOCIETÀ CONSORTILE & S.R.L.	MANDANTI HYpro S.P.A.	LINEA PESCARA – BARI RADDOPPIO DELLA TRATTA FERROVIARIA TERMOLI-LESINA LOTTO 2 e 3 – RADDOPPIO TERMOLI - RIPALTA									
		VI15 da km 22+780,80 a km 23+265,80: Relazione di calcolo Spalla S2	COMMESSA LI0B	LOTTO 02	FASE E	ENTE ZZ	TIPO DOC CL	OPERA 7 DISCIPLINA VI 15 04			PROGR 002

NOME: IMPALCATO L=25 m		CALCOLO FORZA AVVIAMENTO / FRENATURA				Rev. 00
L calcolo (m)	22,80	Lunghezza tra appoggi		Distanza PF/appoggi (m)	3,30	
L (m)	25,00	Lunghezza di binario carico				
TRENO LM71 e SW/0		TRENO SW/2				
α (-)	1,10	α (-)	1,00			
$Q_{3,f}$ (kN)	550,0	$Q_{3,f}$ (kN)	875,0	Forza frenatura caratt. longitudinale		
$V_{3,f}$ (kNm)	79,6	$V_{3,f}$ (kNm)	126,6	Forza frenatura caratt. verticale		
$Q_{3,a}$ (kN)	907,5	$Q_{3,a}$ (kN)	825,0	Forza avviamento caratt. longitudinale		
$V_{3,a}$ (kNm)	131,3	$V_{3,a}$ (kNm)	119,4	Forza avviamento caratt. verticale		
VERIFICHE SICUREZZA BINARIO (§2.5.1.4.5.3 MdP)						
$Q_{3,f}$ (kN)	875,0	Massima azione frenatura per LM71 o SW/0 o SW/2				
$Q_{3,a}$ (kN)	907,5	Massima azione avviamento per LM71 o SW/0 o SW/2				
H (kN)	1782,5	Massima azione applicata all'appoggio				
I_L (m ⁴)	30,38	Inerzia longitudinale elevazione				
E (MPa)	33346	Modulo elastico elevazione				
H_{elev} (m)	5,00	Altezza elevazione				
K (kN/m)	24309234	$K=(3 \cdot E \cdot I_L) / H_{elev}^3$				
δ_p (mm)	0,1	Spostamento deformabilità elastica elevazione		(da calcolo fondazioni)		
δ_φ (mm)	0,0	Spostamento deformabilità rotazione fondazione		φ (rad)	0,00001	
δ_n (mm)	1,0	Spostamento deformabilità traslazionefondazione		s_n (mm)	1,0	
δ_a (mm)	1,0	Spostamento deformabilità appoggi				
$\Sigma \delta_i$ (mm)	2,1	Spostamento totale	<	5.0 mm	OK VERIFICATO	

12.2.2 Effetti del secondo ordine

Con riferimento alle valutazioni degli spostamenti orizzontali di testa spalla effettuati nella condizione di esercizio SLE RA (verifica di sicurezza del binario) e nella condizione sismica SLV (verifiche escursione giunti), visti i valori trascurabili in relazione alle dimensioni e alla snellezza della sottostruttura, si conferma che gli effetti del secondo ordine dei carichi applicati verticali sono irrilevanti ai fini dei calcoli di dimensionamento.

MANDATARIA 		MANDANTI 		LINEA PESCARA – BARI RADDOPPIO DELLA TRATTA FERROVIARIA TERMOLI-LESINA LOTTO 2 e 3 – RADDOPPIO TERMOLI - RIPALTA										
VI15 da km 22+780,80 a km 23+265,80: Relazione di calcolo Spalla S2				COMMESSA	LOTTO	FASE	ENTE	TIPO DOC	OPERA 7 DISCIPLINA			PROGR	REV	FOGLIO
				LI0B	02	E	ZZ	CL	VI	15	04	002	B	173

12.3 RITEGNI

Si verificano i ritegni trasversali e longitudinali alle massime azioni sismiche SLV secondo il modello teorico locale a tirante – puntone, come previsto in ENV 1992 e CEB-FIP Model Code 90.

Nei paragrafi seguenti viene indicata la geometria, lo schema di calcolo, le armature previste e le massime azioni orizzontali N_{Ed} considerate nei vari casi, nell'ipotesi a favore di sicurezza di un'amplificazione delle forze sismiche trasmesse di 1.10 e di spessori strutturali delle superfici di contatto cautelativamente ridotte.

12.3.1 Campata L=25 m

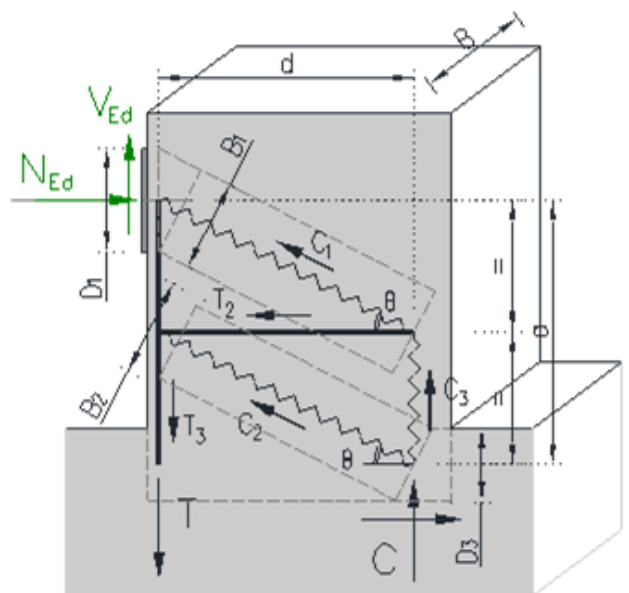
12.3.1.1 Ritegni trasversali

Dato che si tratta degli stessi elementi di ritegno, fare riferimento a quanto riportato nella relazione di calcolo delle pile.

12.3.1.2 Ritegni longitudinali

Si considera l'azione $N_{Ed}=1.10 \cdot 4450 = 4895$ kN, un'armatura al corrente teso verticale di $1\text{Ø}26/10$ e un'armatura distribuita interna di staffe/ganci $1\text{Ø}16/10/10$ ad assorbire le trazioni orizzontali all'interno del ritegno. A favore di sicurezza, si considera un effetto di confinamento delle armature trasversali nullo.

NOME: RITEGNI LONG. L=25m		VERIFICHE LOCALI METODO STRUT-TIE (ENV 1992, CEB-FIP MC90)				Rev. 09	
GEOMETRIA			MATERIALI			AZIONI	
D_1 (m)	0,20	B (m)	1,80	f_{yd} (MPa)	391,3	N_{Ed} (kN)	4895,0
D_3 (m)	0,20	θ (rad)	0,288 (16,5°)	f_{ck} (MPa)	33,20	V_{Ed} (kN)	0,0
a (m)	0,45			α_{cc}	0,85		
d (m)	0,76			ν	0,87		
VERIFICA ARMATURA							
- Tiranti tesi							
$T=T_3$ (kN)	3655,8						
A_s (mm ²)	9552 (1x1Ø26/10)	σ_{Ed}/f_{yd}	97,8%	VERIFICA OK			
σ_s (MPa)	382,73						
$T_w=T_2$ (kN)	4895,0						
A_{sw} (mm ²)	16278 (1Ø16/10/10)	σ_{Ed}/f_{yd}	76,8%	VERIFICA OK			
σ_{sw} (MPa)	300,72						
VERIFICA CALCESTRUZZO							
- Armatura di confinamento (NTC2018 §4.1.2.1.2.1)							
A_{sh} (mm ²)	0 (-)	$f_{ck,c}$ (MPa)	33,2				
σ_1 (MPa)	0,00	$f_{cd,c}$ (MPa)	18,8				
α	1,00	$\sigma_{Rd,max}$ (MPa)	16,31				
σ_2 (MPa)	0,00						
- Puntoni compressi							
C_1 (kN)	5105,0						
B_1 (m)	0,19	$\sigma_{Ed}/\sigma_{Rd,max}$	90,6%	VERIFICA OK			
σ_{c1} (MPa)	14,79						
$C=C_2$ (kN)	5105,0						
B_2 (m)	0,70	$\sigma_{Ed}/\sigma_{Rd,max}$	24,7%	VERIFICA OK			
σ_{c2} (MPa)	4,03						



**VI15 da km 22+780,80 a km 23+265,80:
Relazione di calcolo Spalla S2**

COMMESSA	LOTTO	FASE	ENTE	TIPO DOC	OPERA 7 DISCIPLINA			PROGR	REV	FOGLIO
LI0B	02	E	ZZ	CL	VI	15	04	002	B	174

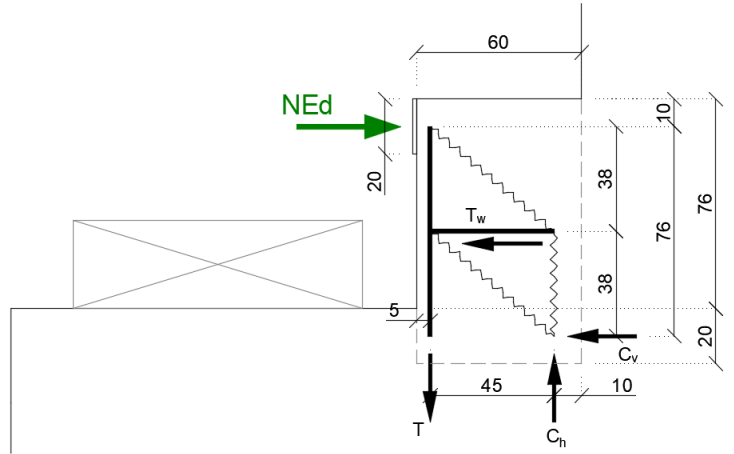


Figura 45 – Schema delle verifiche locali del ritegno longitudinale

MANDATARIA HUB ENGINEERING <small>CONSORZIO STABILE SOCIETÀ CONSORTILE A R.L.</small>		MANDANTI HYpro S.P.A.		LINEA PESCARA – BARI RADDOPPIO DELLA TRATTA FERROVIARIA TERMOLI-LESINA LOTTO 2 e 3 – RADDOPPIO TERMOLI - RIPALTA								
VI15 da km 22+780,80 a km 23+265,80: Relazione di calcolo Spalla S2		COMMESSA	LOTTO	FASE	ENTE	TIPO DOC	OPERA 7 DISCIPLINA			PROGR	REV	FOGLIO
		LI0B	02	E	ZZ	CL	VI	15	04	002	B	175

13. RIEPILOGO INCIDENZE C.A.

Dalle verifiche effettuate sugli elementi in c.a. costituenti la sottostruttura in oggetto, si riassumono di seguito i principali valori di incidenza di armature previsti rispetto ai volumi totali di calcestruzzo.

Sottostruttura	Plinto (kg/m ²)	Elevazione (kg/m ²)	Muri (kg/m ²)	Paraghiaia (kg/m ²)	Baggioli (kg/m ²)	Ritegni (kg/m ²)
SPALLA SP2	100	80	150	100	350	450

MANDATARIA 		MANDANTI 		LINEA PESCARA – BARI RADDOPPIO DELLA TRATTA FERROVIARIA TERMOLI-LESINA LOTTO 2 e 3 – RADDOPPIO TERMOLI - RIPALTA										
VI15 da km 22+780,80 a km 23+265,80: Relazione di calcolo Spalla S2				COMMESSA	LOTTO	FASE	ENTE	TIPO DOC	OPERA 7 DISCIPLINA			PROGR	REV	FOGLIO
				LI0B	02	E	ZZ	CL	VI	15	04	002	B	176

14. APPOGGI E GIUNTI

14.1 APPOGGI

Gli apparecchi d'appoggio sono dimensionati per le massime azioni statiche orizzontali, trasversali e verticali in condizione statica SLU e sismica SLV, con riferimento all'analisi elastica con $q=1.00$.

Le massime azioni sismiche assorbite dai vincoli dell'impalcato in c.a.p L=25 m sono state valutate considerando lo spettro elastico longitudinale o trasversale del primo periodo di vibrazione della pila più sollecitata in condizione sismica, nel caso del viadotto in esame quella di altezza massima H=7.5 m.

Tale assunzione risulta a favore di sicurezza anche per le spalle.

Massa efficace longitudinale (kg)	1288603	(Intera campata)
Massa efficace trasversale (kg)	687982	(Mezza campata)
Massa efficace verticale (kg)	687982	(Mezza campata)
Forza sismica longitudinale (kN)	8456	
Forza sismica trasversale (kN)	3004	
Forza sismica verticale (kN)	1757	
Spettro elastico longitudinale $S_e(T)$ (g)	0,6689	(vedi calcolo pila H=7.5m)
Spettro elastico trasversale $S_e(T)$ (g)	0,4451	
Spettro elastico verticale $S_v(T)$ (g)	0,2603	

IMPALCATO CAP L=25m									
APPOGGI	Appoggio (F)			Appoggio (UL)			Appoggio (M)		
	Long.	Trasv.	Vert.	Long.	Trasv.	Vert.	Long.	Trasv.	Vert.
SLU PERM									
Max (kN)	±0	±0	+1350	±0	±0	+1350	±0	±0	+2750
Min (kN)	±0	±0	+1350	±0	±0	+1350	±0	±0	+2750
SLU									
Max (kN)	±300	±350	+3050	±0	±650	+3350	±0	±0	+4450
Min (kN)	-±850	-±50	+950	±0	-±100	+950	±0	±0	+1550
SLV									
Max (kN)	±4450	±1500	+1500	±0	±3000	+1500	±0	±0	+2450
Min (kN)	-±4050	-±1500	+500	±0	-±3000	+500	±0	±0	+1200
TOTALE (kN)	±4450	±1500	±3050	±0	±3000	±3350	±0	±0	±4450
Spost. Max (mm)	-	-	-	±110	-	-	±110	±5	-

Le massime azioni sismiche assorbite dai vincoli dell'impalcato in acciaio-calcestruzzo L=35 m sono state valutate considerando lo spettro elastico longitudinale o trasversale del primo periodo di vibrazione della pila più sollecitata in condizione sismica, nel caso del viadotto in esame quella di altezza massima H=7.0 m.

Tale assunzione risulta a favore di sicurezza anche per le spalle.

LINEA PESCARA – BARI

**RADDOPPIO DELLA TRATTA FERROVIARIA TERMOLI-LESINA
LOTTO 2 e 3 – RADDOPPIO TERMOLI - RIPALTA**

**VI15 da km 22+780,80 a km 23+265,80:
Relazione di calcolo Spalla S2**

COMMESSA	LOTTO	FASE	ENTE	TIPO DOC	OPERA 7 DISCIPLINA			PROGR	REV	FOGLIO
LI0B	02	E	ZZ	CL	VI	15	04	002	B	177

Massa efficace longitudinale (kg)	1331410	(Intera campata)
Massa efficace trasversale (kg)	705865	(Mezza campata)
Massa efficace verticale (kg)	705865	(Mezza campata)
Forza sismica longitudinale (kN)	8222	
Forza sismica trasversale (kN)	2891	
Forza sismica verticale (kN)	1803	
Spettro elastico longitudinale Se(T) (g)	0,6295	(vedi calcolo pila transizione H=7m)
Spettro elastico trasversale Se(T) (g)	0,4175	
Spettro elastico verticale Sve(T) (g)	0,2603	

IMPALCATO ACCIAIO L=35m									
APPOGGI	Appoggio (F)			Appoggio (UL)			Appoggio (M)		
	Long.	Trasv.	Vert.	Long.	Trasv.	Vert.	Long.	Trasv.	Vert.
SLU PERM									
Max (kN)	±0	±0	+1200	±0	±0	+1200	±0	±0	+2550
Min (kN)	±0	±0	+1200	±0	±0	+1200	±0	±0	+2550
SLU									
Max (kN)	±300	±250	+2350	±0	±200	+2450	±0	±0	+3000
Min (kN)	-±850	-±150	+800	±0	-±100	+850	±0	±0	+1250
SLV									
Max (kN)	±4300	±1450	+1150	±0	±2900	+1150	±0	±0	+2150
Min (kN)	-±3900	-±1450	+550	±0	-±2900	+550	±0	±0	+1050
TOTALE (kN)	±4300	±1450	±2350	±0	±2900	±2450	±0	±0	±3000
Spont. Max (mm)	-	-	-	±160	-	-	±160	±5	-

MANDATARIA 		MANDANTI 		LINEA PESCARA – BARI RADDOPPIO DELLA TRATTA FERROVIARIA TERMOLI-LESINA LOTTO 2 e 3 – RADDOPPIO TERMOLI - RIPALTA										
VI15 da km 22+780,80 a km 23+265,80: Relazione di calcolo Spalla S2				COMMESSA	LOTTO	FASE	ENTE	TIPO DOC	OPERA 7 DISCIPLINA			PROGR	REV	FOGLIO
				LI0B	02	E	ZZ	CL	VI	15	04	002	B	178

14.2 ESCURSIONE DEI GIUNTI

In accordo con il p.to 2.5.2.1.5.1 del RFI DTC SICS PS MA IFS 001 A, per ponti e viadotti costituiti da una serie di travi semplicemente appoggiate di uguale luce, l'entità dell'escursione totale dei giunti e degli apparecchi di appoggio può essere valutata come segue:

$$E_L = k_1 \cdot (E_1 + E_2 + E_3) = k_1 \cdot (2D_t + 4d_{Ed} \cdot k_2 + 2d_{eg})$$

E_1 spostamento dovuto alla variazione termica uniforme

E_2 spostamento dovuto alla risposta della struttura all'azione sismica

E_3 spostamento dovuto all'azione sismica fra le fondazioni non collegate

k_1 coefficiente di non contemporaneità dei valori massimi corrispondenti a ciascun evento singolo

k_2 coefficiente legato alla probabilità di moto in controfase di due pile adiacenti

$d_E = \pm \mu_d \cdot d_{Ee}$ spostamento relativo totale tra le parti, pari allo spostamento d_E prodotto dall'azione sismica di progetto, calcolato come indicato nel paragrafo 7.3.3.3 delle NTC 2008

d_{Ee} spostamento corrispondente al periodo di vibrazione della pila ricavato dallo spettro elastico in termini di spostamento e $\mu_D = q$ per $T_1 \geq T_C$ oppure $\mu_D = 1 + (q-1) \cdot T_C / T_1$ per $T_1 < T_C$ e con la limitazione $\mu_D \leq 5q-4$ (q è il fattore di struttura).

d_{eg} spostamento relativo tra le parti dovuto agli spostamenti relativi del terreno, da valutare secondo il paragrafo 3.2.3.3 delle NTC 2008. Il valore di spostamento assoluto orizzontale massimo del suolo di un punto può calcolarsi come $d_g = 0.025 \cdot a_g \cdot S \cdot T_C T_D$

a_g, S, T_C, T_D parametri sismici definiti ai capitoli precedenti

Nel caso in esame si suppone in via cautelativa che tale spostamento assoluto coincida con lo spostamento relativo tra due punti, ossia si sta valutando lo spostamento relativo della fondazione in esame rispetto ad un punto fermo.

NOME: SPALLA S2		CALCOLO GIUNTI IMPALCATO (MdP ITF Opere civili 2019)						Rev. 00
SPOSTAMENTO (§2.5.2.1.5.1)								
1) Termico uniforme		2) Sismico strutturale		3) Sismico fondazioni non collegate				
E_1 (mm)	11,3	+	E_2 (mm)	69,6	+	E_3 (mm)	166,6	
E_T (mm)	±5,6		d_{Ed} (mm)	±31,6		d_{eg} (mm)	±83,3	
			k_2	0,55		a_g SLV (g)	0,242	
			μ_d	1,00		S	1,163	
L (mm)	25000		q	1,00		T_B (s)	0,157	
α (1/°Cm)	1,00E-05		T_1 (s)	0,000		T_C (s)	0,470	
ΔT (°C)	±22,5					T_D (s)	2,567	
						F_0	2,452	
Spostamento sismico a livello giunti:		d_{Ee} (mm)		31,6 (da calcoli)				
CORSA APPOGGI MOBILI (§2.5.2.1.5.2)		± ($E_L/2 + \text{Min}(E_L/8; 15 \text{ mm})$)		±98 mm				
ESCURSIONI GIUNTI (§2.5.2.1.5.3)		± ($E_L/2 + 10 \text{ mm}$)		±93 mm				
OK		Escursione giunti progetto		±110 mm		← E_L (mm) 166,6		
AMPIEZZA VARCHI (§2.5.2.1.5.4)		$V \geq (E_L/2 + 20 \text{ mm})$		±103 mm				
OK		Varco impalcati progetto		±150 mm				